

6 Anhang

Tabelle I: *in-vitro*-Testung an *S. mansoni*

Allgemeine Vorbemerkungen und Laborzyklus

Die im Institut für Parasitologie (JLU Gießen) etablierte Laborzucht geht auf einen liberianischen Stamm von *S. mansoni* (BAYER AG, Monheim) zurück.^[684] Der Laborzyklus umfasst Süßwasserschnecken der Gattung *Biomphalaria glabrata* als Zwischenwirte und syrische Goldhamster (*Mesocricetus auratus*) als Endwirte.

Alle Tierversuche wurden vom Regierungspräsidium Gießen (V54-19 c 20/15 h 02 GI 18/10 Nr. A 14/2017) genehmigt und in Übereinstimmung mit der Europäischen Konvention zum Schutz von Wirbeltieren für Versuche und andere wissenschaftliche Zwecke durchgeführt (ETS Nr. 123; überarbeiteter Anhang A).

Die als Endwirt verwendeten Hamster stammten entweder aus der eigenen Zucht (ZVTH Gießen) oder von der Firma JANVIER. Ihre Infektion erfolgt nach einem etablierten Protokoll von DETTMAN *et al.* durch Baden der Hamster in Zerkarien-haltigem Wasser.^[685] Vor der eigentlichen Infektion wurden die Hamster zum Aufweichen der Haut für etwa 20 Minuten in 30 °C warmem Wasser gebadet, um die anschließende Penetration zu erleichtern. Die Infektion erfolgt dann über 30 Minuten mit 2000 Zerkarien pro Individuum. Nach Infektion wurden die Hamster über einen Zeitraum von 46 Tagen gehalten.

Die adulten Schistosomen wurden schließlich durch Perfusion der infizierten Hamster gemäß DUVALL *et al.* gewonnen.^[686] Hierzu wurden die Hamster zunächst mit Isofluran betäubt, erhielten eine intraperitoneale Injektion mit einer Überdosis eines Sedativumgemisches aus Ketamin und Xylazin und wurden anschließend durch Ausbluten getötet. Es folgte eine Öffnung des Brustkorbs, die Freilegung der inneren Organe und das Anritzen der Pfortader. Der linke Herzventrikel wurde mit einer Kanüle punktiert und Perfusionsmedium in das Blutsystem des Hamsters geleitet. Dadurch wurden die adulten Würmer aus dem Gefäßsystem des Hamsters gespült und auf einem Nylonnetz aufgefangen. Mit einem Pinsel wurden die Würmer in Kulturschalen mit M199-Medium überführt und darauffolgend in Petrischalen umsortiert.

Für die Infektion der Süßwasserschnecken mit Miracidien wurden Eier aus den Lebern der infizierten Hamster nach der Perfusion isoliert. Zum Aufschluss wurde das Gewebe mit einem Mixer homogenisiert und das Gemisch bei 5000 rpm für 15 Minuten zentrifugiert. Das so erhaltene Pellet wurde zweimal mit physiologischer Kochsalzlösung gewaschen, in warmem Wasser resuspendiert und in einen Erlenmeyerkolben mit einem Steigrohr überführt. Das Steigrohrende wurde mit Licht bestrahlt, woraufhin aus den im Leberhomogenat befindlichen

Eiern Miracidien schlüpfen, die sich in Richtung der Lichtquelle bewegten, wo sie abgesammelt werden konnten. Die Miracidien wurden im Weiteren direkt für die Infektion des Zwischenwirtes eingesetzt. Diese erfolgte in 12-well-Mikrotiterplatten in je 2 mL „Schneckenwasser“ pro Schnecke über 12 Stunden mit 10-15 Miracidien (polymiracidal).

Die als Zwischenwirte verwendeten Schnecken wurden in belüfteten und mit kommerziell erhältlichem Wasser (Rossbacher 2:1) gefüllten Aquarien bei einer Temperatur von 26 °C gehalten. Die Raumbelichtung gewährleistete einen konstanten Tages-/Nachtrhythmus mit 16 Lichtstunden und 8 Stunden Dunkelheit.

Für die Gewinnung von Zerkarien wurden die Schnecken 3-4 Wochen nach der Infektion mit Miracidien für 2 Wochen abgedunkelt, um vorzeitiges und unkontrolliertes Freisetzen von Zerkarien zu verhindern. Nach dem Ablauf dieses Zeitraums wurden die Schnecken in 12-well-Platten mit 2 mL Schneckenwasser überführt und für etwa eine Stunde auf einer Leuchtplatte inkubiert. Der Lichtreiz induzierte die Freisetzung der Zerkarien aus der Schnecke. Die infektiösen Larven wurden innerhalb von 2-3 Stunden aus dem Schneckenwasser gesammelt und schließlich für die Infektion der Endwirte verwendet.

Erläuterungen zur Tabelle der Ergebnisse der *in-vitro*-Testung an *S. mansoni*

Wie bereits beschrieben, erfolgte die Beurteilung der verschiedenen Parameter jeweils nach 24, 48 und 72 Stunden. Somit sind die drei untereinanderstehenden Zahlenwerte innerhalb einer Zeile als 24, 48, 72-h-Zeitwert zu verstehen. Bei Mehrfachmessungen sind alle Werte der Einzeltestungen aufgeführt. Zur statistischen Auswertung wurden der Mittelwert und Standardfehler berechnet. Allerdings erfolgte dies nicht für alle Parameter, sondern lediglich für die Spalten „Paare (von 10)“, „absolute Eizahl“ und „WMS normiert“. Diese Spalten sind mit einer fett formatierten Überschrift gekennzeichnet. Die Ergebnisse der Berechnungen sind unterhalb der Einzeltestungen in der genannten Reihenfolge aufgeführt und grau hinterlegt. Dabei wurden die Werte auf eine Nachkommastelle gerundet.

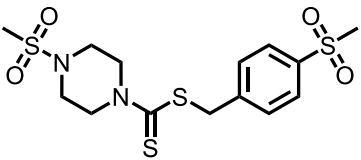
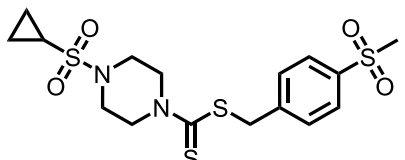
Die Bewertung der Intensität der Phänotypen berücksichtigte neben dem Grad der Ausprägung auch die Anzahl betroffener Würmer. Das heißt im Klartext, wurde nur ein Wurm mit beispielsweise starken Darmdilatationen gesichtet, wurde jene Beobachtung in der Spalte lediglich mit einem (+) vermerkt. Waren hingegen alle Würmer von schwach-mittleren Darmdilatationen betroffen, wurde diese Beobachtung anstelle eines + mit einem ++ festgehalten. Während die Stundenzahl den Zeitpunkt der erstmaligen Beobachtung anzeigt, gibt die Intensität den Zustand nach 72 h wieder.

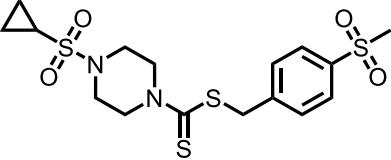
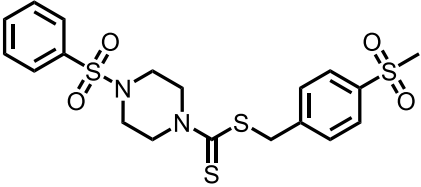
Spalte „Konzentration“	Endkonzentration der zu testenden Verbindung in μM
Spalte „Paare (von 10)“	Anzahl der gepaarten Schistosomenpärchen (von insgesamt 10 eingesetzten <i>S. mansoni</i> -Pärchen)
Spalte „Paare angesaugt“	Anzahl der angesaugten Schistosomenpärchen
Spalte „♂ angesaugt“	Anzahl der entpaarten und angesaugten Schistosomenmännchen; die nicht angesaugten Schistosomenmännchen ergeben sich aus der Differenz der nicht gepaarten Schistosomenpärchen und den angesaugten Schistosomenmännchen
Spalte „♀ angesaugt“	Anzahl der entpaarten und angesaugten Schistosomenweibchen; die nicht angesaugten Schistosomenweibchen ergeben sich aus der Differenz der nicht gepaarten Schistosomenpärchen und den angesaugten Schistosomenweibchen
Spalte „absolute Eizahlen“	absolute Anzahl von Schistosomeneiern, die absolute Anzahl ergibt sich aus der Summe aus deformierten und normalen Eiern
Spalte „Deformation [%]“	Prozentsatz von deformierten Schistosomeneiern, bezogen auf die absolute Anzahl von Schistosomeneiern
Spalte „Eizahlen normiert [%]“	Anzahl von Schistosomeneiern normiert auf die korrespondierende DMSO-Kontrolle in Prozent
Spalte „WMS: \emptyset ($\frac{\text{♂}}{\text{♂}}/\frac{\text{♀}}{\text{♀}}$)“	<i>worm motility score</i> : Gesamt (Paare/Männchen/Weibchen), letale Effekte sind rot hinterlegt
Spalte „WMS normiert [%]“	Gesamt-WMS normiert auf die korrespondierende DMSO-Kontrolle (WMS = 3) in Prozent
Spalte „Tegumentschäden“	das Auftreten von Tegumentschäden wurde bei der angegebenen Konzentration beobachtet; angegeben sind der Zeitpunkt der Beobachtung sowie das Geschlecht der betroffenen Schistosomen-Würmer, die Intensität der Ausprägung wurde dabei bewertet mit (+) für vereinzelt schwache Effekte bis hin zu einem +++ für sehr starke Effekte, die bei einem Großteil aller Würmer auftraten

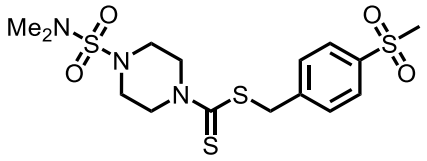
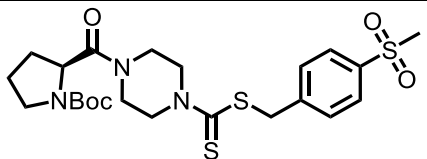
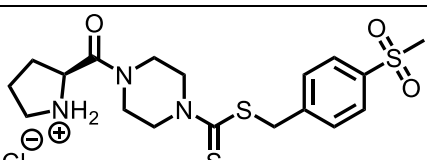
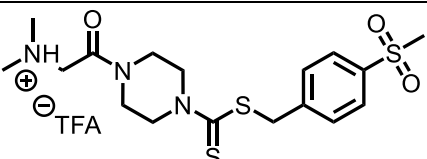
Spalte „Darmdilatationen“

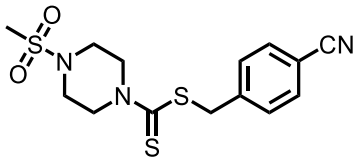
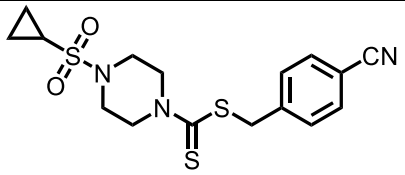
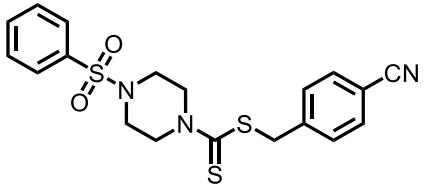
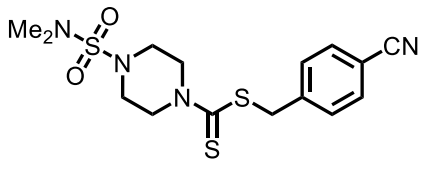
das Auftreten von Darmdilatationen wurde bei der angegebenen Konzentration beobachtet; angegeben sind der Zeitpunkt der Beobachtung sowie das Geschlecht der betroffenen Schistosomen-Würmer, die Intensität der Ausprägung wurde dabei bewertet mit (+) für vereinzelt schwache Effekte bis hin zu einem +++ für sehr starke Effekte, die bei einem Großteil aller Würmer auftraten

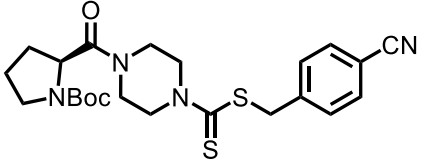
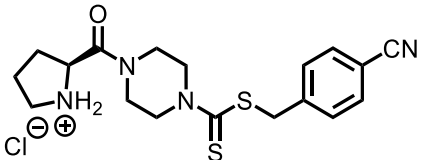
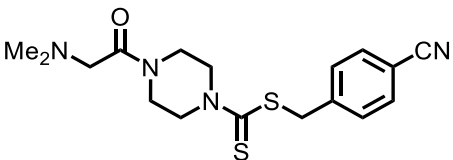
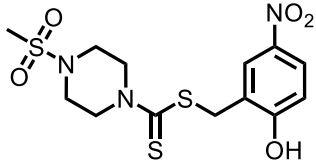
Kombinationsserie I

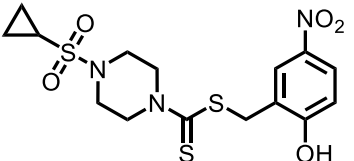
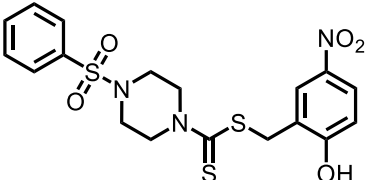
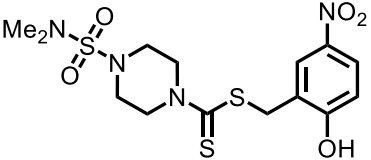
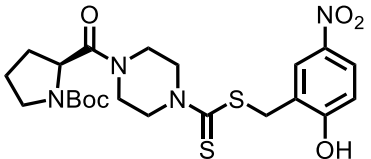
Strukturformel	Konzentration [μM]	Paare (von 10)	Paare angesaugt	σ angesaugt	♀ angesaugt	absolute Eizahl	Deformation [%]	Eizahl normiert [%]	WMS: \emptyset ($\text{♀}/\sigma/\text{♀}$)	WMS normiert [%]	Tegument-schäden	Darm-dilatation
 <p>Schi-33.001</p>	10	10	10	-	-	159	12	121	3(3/-/-)	100		
		10	10	-	-	638	12	142	3(3/-/-)	100		
		10	10	-	-	320	13	58	2,9(2,9/-/-)	97		
		7	7	3	2	98	12	50	2,75(2,86/3/2)	92		
		6	5	4	0	57	9	20	2,55(2,83/3/1,25)	85		
		6	5	3	0	263	9	113	2,7(2,83/2,75/2,25)	90		
 <p>Schi-33.015</p>	10	9	5	0	0	29	10	22	2,5(2,56/2/2)	83		
		3	0	0	0	16	6	4	1,7(2/1,57/1,57)	57	$\sigma/72/+$	$\text{♀}/48/+$
		1	0	0	0	10	100	<1(0,2)	0,5(1/0,3/0,5)	17		
		10	7	-	-	204	21	116	2,7(2,7/-/-)	90		
		7	0	0	0	84	27	13	2,3(2,29/2,33/2,33)	77	$\sigma/48/(+)$	$\text{♀}/24/+$
		2	0	0	0	38	16	5	1,3(1,5/1,25/1,25)	43		
		3	1	2	0	22	0	14	2,3(2,33/2,29/2,29)	77		
		1	0	0	0	1	0	<1(0,3)	1,5(2/1,44/1,44)	50	$\text{♀}/72/+$	
		1	0	0	0	2	0	<1(0,5)	1,4(2/1,22/1,44)	47		
		5	1	0	0	18	28	10	1,75(1,8/1,6/1,8)	58		
		4	0	0	0	5	40	2	1,75(1,5/1,83/2)	58	$\sigma/72/(+)$	
		0	-	0	0	9	44	2	1,25(-/1,3/1,2)	42		
		7	2	0	0	23	22	12	2,1(2,14/2/2)	70		
1	1	1	0	43	19	15	1,75(2/2/1,44)	58	$\text{♀}/48/+$	$\text{♀}/48/(+)$		
0	-	0	0	15	47	6	1,15(-/1,1/1,2)	38				
		6,8 \pm 1,3				59,2 \pm 36,2		75,6 \pm 5,5				
		3,2 \pm 1,1				29,8 \pm 15,4		60,0 \pm 4,5				
		0,8 \pm 0,4				14,8 \pm 6,2		37,7 \pm 5,3				

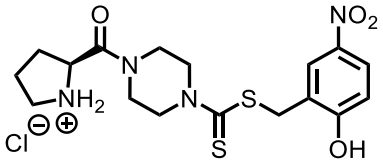
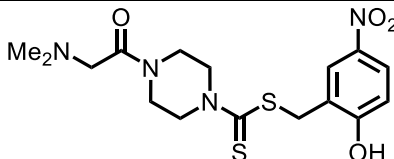
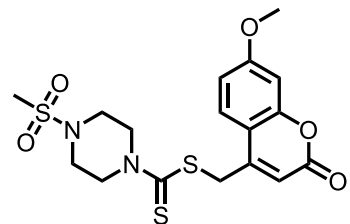
Strukturformel	Konzentration [μM]	Paare (von 10)	Paare angesaugt	♂ angesaugt	♀ angesaugt	absolute Eizahl	Deformation [%]	Eizahl normiert [%]	WMS: ϕ (♀/♂/♀)	WMS normiert [%]	Tegument-schäden	Darm-dilatation		
 <p>Schl-33.015</p>	5	10	9	-	-	44	20	25	2,9(2,9/-/-)	97				
		9	5	0	0	153	16	23	2,55(1,78/2/3)	85				
		8	5	0	0	127	15	16	2,45(2,1/3/3)	82				
 <p>Schl-33.014</p>	10	10	10	-	-	87	8	66	3(3/-/-)	100				
		7	6	3	1	115	9	26	2,3(2,57/2/1,33)	77	♂/72/(+)	♀/48/+		
		4	4	1	0	10	20	2	1,6(2/1,33/1,33)	53				
		9	8	1	0	59	20	34	2,65(2,66/3/2)	88				
		8	6	0	2	83	13	13	2,55(2,63/2/1,5)	85	♀/72/+	♀/24/+		
		6	4	3	1	108	30	13	2,05(2,17/2/1,75)	68				
		10	9	-	-	179	12	129	2,7(2,7/-/-)	90				
		4	2	5	0	81	9	25	2,35(2,5/2,33/2)	78		♀/24/++		
		2	1	1	0	9	56	2	1,85(2/2,13/1,5)	62				
		8	6	1	0	72	10	37	2,8(2,88/2,5/2,5)	93				
		5	5	3	3	30	23	11	2,7(2,8/2,6/2,6)	90				
		5	4	3	2	23	30	10	2,65(2,8/2,6/2,4)	88				
				9,3 ± 0,5			99,3 ± 27,2			92,8 ± 2,6				
				6,0 ± 0,9			77,3 ± 17,6			82,5 ± 3,1				
		4,3 ± 0,9			37,5 ± 23,7			67,8 ± 7,4						
5	9	8	1	1	158	15	90	2,9(2,89/3/3)	97					
	9	8	1	1	281	17	42	2,9(2,89/3/3)	97					
	8	8	1	2	343	17	42	2,2(2,13/2,5/2,5)	73					

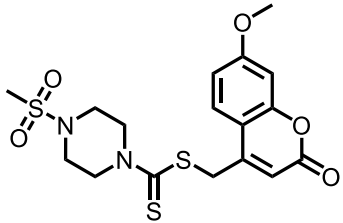
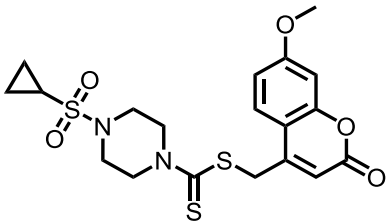
Strukturformel	Konzentration [μM]	Paare (von 10)	Paare angesaugt	σ^7 angesaugt	σ^8 angesaugt	absolute Eizahl	Deformation [%]	Eizahl normiert [%]	WMS: ϕ ($\sigma^7/\sigma^8/\sigma^9$)	WMS normiert [%]	Tegument-schäden	Darm-dilatation
 <p>Schi-33.021</p>	10	10 8 8	10 6 5	- 2 2	- 0 0	14 147 278	0 13 13	11 33 51	3(3/-/-) 2,7(2,75/3/2) 2,5(2,63/2/2)	100 90 83		
 <p>Schi-33.033</p>	10	10 9 9	10 9 9	- 1 1	- 1 1	112 251 196	5 13 9	57 88 84	2,9(2,9/-/-) 2,9(2,89/3/3) 3(3/3/3)	97 97 100		
 <p>Schi-33.041</p>	10	10 10 8	10 10 7	- - 2	- - 2	348 582 500	26 16 31	198 88 61	2,9(2,9/-/-) 3(3/-/-) 2,9(2,88/3/3)	97 100 97		
 <p>Schi-33.020</p>	10	9 9 9	9 8 9	1 0 1	1 1 1	305 472 309	5 13 10	198 172 205	3(3/3/3) 2,85(2,89/2/3) 2,9(2,89/3/3)	100 95 97		
	5	10 9 8	9 8 6	- 1 1	- 1 2	161 490 341	16 10 6	105 178 226	2,9(2,9/-/-) 2,9(2,89/3/3) 2,75(2,75/2,5/3)	97 97 92		

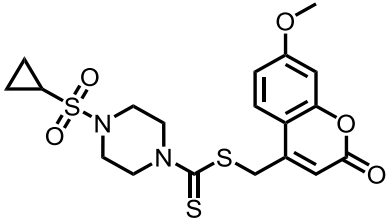
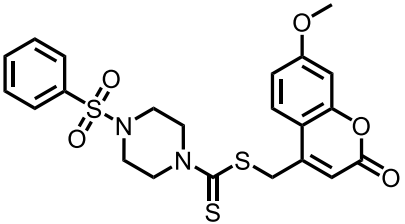
Strukturformel	Konzentration [μM]	Paare (von 10)	Paare angesaugt	♂ angesaugt	♀ angesaugt	absolute Eizahl	Deformation [%]	Eizahl normiert [%]	WMS: \emptyset (♀/♂/♀)	WMS normiert [%]	Tegument-schäden	Darm-dilatation
 SchI-33.165	10	10 10 10	10 10 10	- - -	- - -	427 476 556	11 6 7	326 107 101	3(3/-/-) 3(3/-/-) 3(3/-/-)	100 100 100		
 SchI-33.172	10	9 9 9	9 8 8	0 1 1	0 0 1	354 299 345	14 41 17	107 91 113	2,55(2,67/2/1) 2,65(2,67/2/3) 2,65(2,67/2/3)	85 88 88		
 SchI-33.173	10	10 10 8	10 10 7	- - 2	- - 1	572 226 393	12 9 6	437 50 72	3(3/-/-) 2,7(2,7/-/-) 2,45(2,5/2/2,5)	100 90 82		
 SchI-33.171	10	10 10 10	10 10 9	- - -	- - -	551 652 624	8 7 5	421 146 114	3(3/-/-) 3(3/-/-) 2,9(2,9/-/-)	100 100 97		

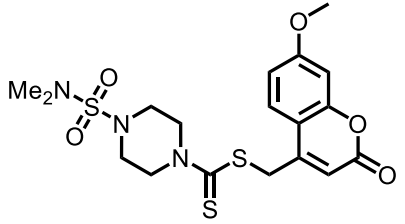
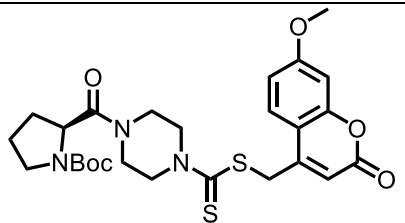
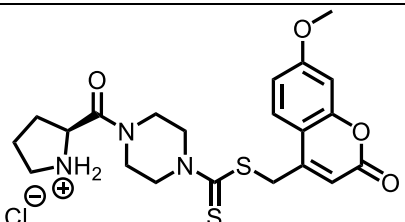
Strukturformel	Konzentration [μM]	Paare (von 10)	Paare angesaugt	♂ angesaugt	♀ angesaugt	absolute Eizahl	Deformation [%]	Eizahl normiert [%]	WMS: ϕ ($\phi/\sigma/\phi$)	WMS normiert [%]	Tegument-schäden	Darm-dilatation
 <p>Schl-33.170</p>	10	10 10 10	10 10 8	- - -	- - -	133 140 398	11 10 16	96 44 88	3(3/-/-) 3(3/-/-) 2,9(2,9/-/-)	100 100 97		
 <p>Schl-33.176</p>	10	9 9 4	9 8 4	1 1 5	1 1 2	490 531 386	19 53 59	250 186 166	2,9(2,89/3/3) 2,9(2,89/3/3) 2,85(3/2,83/2,67)	97 97 95		
 <p>Schl-33.169</p>	10	8 8 10	8 7 10	2 2 -	2 2 -	289 525 449	21 39 29	87 160 147	2,9(2,88/3/3) 2,85(2,88/2,5/3) 2,8(2,8/-/-)	97 95 93		
 <p>Schl-33.004</p>	10	10 10 9	10 9 7	- - 0	- - 1	152 359 391	5 10 9	92 66 119	2,9(2,9/-/-) 2,8(2,8/-/-) 2,75(2,78/2/3)	97 93 92		

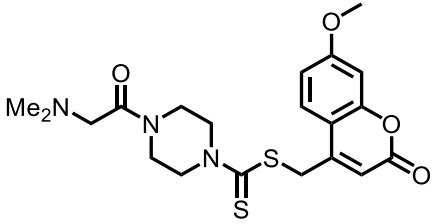
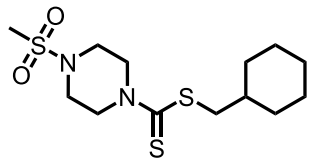
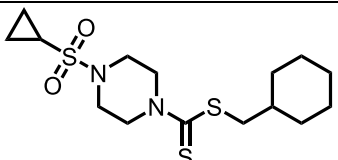
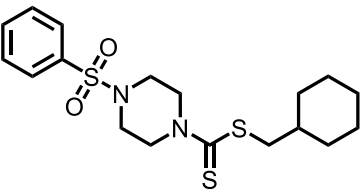
Strukturformel	Konzentration [μM]	Paare (von 10)	Paare angesaugt	♂ angesaugt	♀ angesaugt	absolute Eizahl	Deformation [%]	Eizahl normiert [%]	WMS: ϕ (ϕ / σ / ϕ)	WMS normiert [%]	Tegument-schäden	Darm-dilatation
 <p>Schl-33.102</p>	10	8 9 9	8 9 9	1 0 1	1 1 1	153 446 622	12 11 12	143 139 190	2,85(2,88/2,5/3) 2,95(3/2/3) 2,95(3/2/3)	95 98 98	σ /72/(+)	
 <p>Schl-33.108</p>	10	10 10 10	10 10 9	- - -	- - -	69 768 465	10 12 15	39 116 57	2,9(2,9/-/-) 3(3/-/-) 2,9 (2,9/-/-)	97 100 97		
 <p>Schl-33.111</p>	10	10 10 10	9 10 10	- - -	- - -	215 446 776	16 10 11	122 67 98	2,9(2,9/-/-) 3(3/-/-) 2,9(2,9/-/-)	97 100 97		
 <p>Schl-33.086</p>	10	10 9 8	9 9 8	- 1 2	- 0 1	66 163 396	11 15 10	48 51 87	2,8(2,8/-/-) 2,9(2,89/3/3) 2,8(2,75/3/3)	93 97 93		

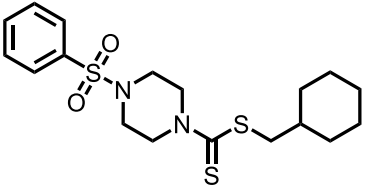
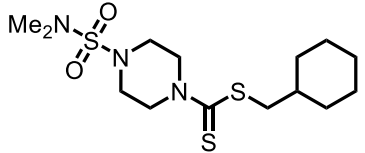
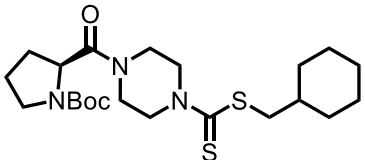
Strukturformel	Konzentration [μM]	Paare (von 10)	Paare angesaugt	♂ angesaugt	♀ angesaugt	absolute Eizahl	Deformation [%]	Eizahl normiert [%]	WMS: ϕ (♀/♂/♀)	WMS normiert [%]	Tegument-schäden	Darm-dilatation
 <p>Schl-33.113</p>	10	9	9	1	1	61	7	57	2,9(2,89/3/3)	97		♀/72/(+)
		8	8	2	2	281	8	99	2,9(2,88/3/3)	97		
		8	7	2	1	254	9	109	2,85(2,88/3/2,5)	95		
 <p>Schl-33.087</p>	10	10	10	-	-	213	4	153	3(3/-/-)	100		
		10	9	-	-	414	9	129	2,9(2,9/-/-)	97		
		10	9	-	-	543	7	119	2,8(2,8/-/-)	93		
 <p>Schl-33.003</p>	10	9	9	1	1	72	15	55	2,75(2,78/3/2)	92		
		1	0	0	0	1	0	<1(0,2)	1,3(2/1,22/1,22)	43	♀/48/++	♀/48/++
		0	-	0	0	0	-	0	1(-/1/1)	33		
		10	9	-	-	161	4	91	2,9(2,9/-/-)	97		
		10	10	-	-	290	9	44	2,8(2,8/-/-)	93	♂/48/+	♀/48/+
		4	0	0	0	91	7	11	1,7(1,75/1,33/2)	57		
		9	8	1	0	45	9	32	2,55(2,56/3/2)	85		
		0	-	0	0	0	-	0	1,4(-/1,4/1,4)	47	♀/48/++	♀/24/++
		0	-	0	0	0	-	0	0,95(-/0,9/1)	32		
		9	2	0	0	58	9	37	2(2/1/3)	67		
0	-	0	0	0	-	0	1,15(-/1,1/1,2)	38	♀/48/++	♀/24/++		
0	-	0	0	0	-	0	0,9(-/0,9/0,9)	30				
10	10	-	-	75	4	38	2,9(2,9/-/-)	97				
4	4	5	2	112	30	39	2,6(2,75/2,67/2,33)	87			♀/72/(+)	
5	5	4	1	126	22	54	2,55(3/2,6/1,6)	85				

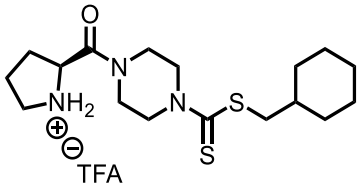
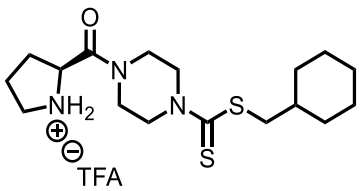
Strukturformel	Konzentration [μM]	Paare (von 10)	Paare angesaugt	σ angesaugt	Q angesaugt	absolute Eizahl	Deformation [%]	Eizahl normiert [%]	WMS: ϕ ($\sigma/\sigma/\text{Q}$)	WMS normiert [%]	Tegument-schäden	Darm-dilatation	
 <p>Schl-33.003</p>		10	10	-	-	241	6	157	2,8(2,8/-/-)	93			
		7	4	3	0	226	21	82	2,35(2,43/2,67/1,67)	78	$\text{Q}/48/++$	$\text{Q}/48/+$	
		0	-	0	0	3	0	2	0,85(-/0,6/1,1)	28			
		10	9	-	-	154	3	100	2,8(2,8/-/-)	93			
		2	0	0	0	20	15	7	1,7(1,5/1,63/1,88)	57	$\text{Q}/48/++$	$\text{Q}/48/++$	
		0	-	0	0	0	-	0	0,65(-/0,5/0,8)	22			
				9,6 \pm 0,2				115,1 \pm 27,2		89,1 \pm 4,0			
				3,4 \pm 1,5				92,7 \pm 45,8		63,3 \pm 8,5			
				1,3 \pm 0,8				31,4 \pm 20,3		41,0 \pm 8,4			
		5	10	10	-	-	233	6	132	3(3/-/-)	100		
	10	10	-	-	551	7	83	3(3/-/-)	100				
	9	9	1	0	334	20	41	2,9(2,89/3/3)	97				
 <p>Schl-33.023</p>	10	10	10	-	-	192	14	147	3(3/-/-)	100			
		10	10	-	-	57	11	13	2,5(2,5/-/-)	83	$\sigma/48/(+)$	$\text{Q}/48/+$	
		0	-	0	0	2	0	<1(0,3)	0,8(-/0,8/0,8)	27			
		10	10	-	-	86	20	49	3(3/-/-)	100			
		10	10	-	-	214	11	32	2,7(2,7/-/-)	90	$\text{Q}/72/+$	$\text{Q}/48/++$	
		6	0	0	0	37	35	5	0,95(1/0,75/1)	32			
		10	9	-	-	72	17	52	2,8(2,8/-/-)	93			
		9	8	0	0	223	10	70	2,7(2,78/2/2)	90		$\text{Q}/72/++$	
		8	6	0	0	208	14	46	1,5(1,5/1,5/1,5)	50			
		10	10	-	-	38	8	22	2,8(2,8/-/-)	93			
	8	2	0	0	84	5	33	2,15(2,25/2/1,5)	72	$\text{Q}/72/+$	$\text{Q}/48/++$		
	0	-	0	0	4	0	1	1,35(-/1,4/1,3)	45				
	10	9	-	-	255	7	130	2,9(2,9/-/-)	97				
	10	9	-	-	411	11	144	2,8(2,8/-/-)	93		$\text{Q}/72/(+)$		
	9	3	1	0	150	10	64	1,85(1,89/2/1)	62				
		10,0 \pm 0,0				128,6 \pm 40,8		96,6 \pm 1,6					
		9,4 \pm 0,4				197,8 \pm 62,9		85,6 \pm 3,8					
		4,6 \pm 1,9				80,2 \pm 41,8		43,2 \pm 6,3					

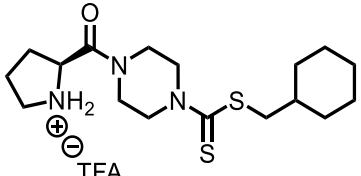
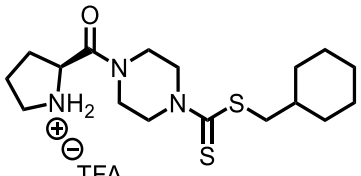
Strukturformel	Konzentration [μM]	Paare (von 10)	Paare angesaugt	σ angesaugt	q angesaugt	absolute Eizahl	Deformation [%]	Eizahl normiert [%]	WMS: ϕ ($\text{q}/\sigma/\text{q}$)	WMS normiert [%]	Tegument-schäden	Darm-dilatation
 <p>Schl-33.023</p>	5	10	10	-	-	197	14	119	3(3/-/-)	100		
		10	10	-	-	528	16	80	2,9(2,9/-/-)	97		
		10	10	-	-	303	11	37	3(3/-/-)	100		
		<p>$10,0 \pm 0,0$ $6,8 \pm 2,0$ $2,8 \pm 1,8$</p>										
 <p>Schl-33.022</p>	10	10	10	-	-	336	6	256	3(3/-/-)	100		
		10	9	-	-	633	7	141	2,9(2,9/-/-)	97	$\sigma/72/(+)$	$\text{q}/72/++$
		8	7	0	0	108	6	20	1,75(1,88/3/2)	58		
		10	10	-	-	103	8	74	3(3/-/-)	100		
		9	9	1	1	142	6	44	2,45(2,44/3/2)	82	$\sigma/48/(+)$	$\text{q}/48/++$
		2	1	6	0	30	13	7	1,4(1,5/1,38/1,38)	47		
		10	10	-	-	75	20	43	2,8(2,8/-/-)	93		
		1	0	6	0	66	9	26	1,7(1/2/1,56)	57	$\text{q}/48/++$	$\text{q}/48/++$
		0	-	0	0	13	8	3	1,2(-/1,2/1,2)	40		
		10	9	-	-	167	17	85	2,8(2,8/-/-)	93		
7	5	0	0	69	39	24	1,7(1,86/1,67/1)	57	$\sigma/48/+$	$\text{q}/48/+$		
1	0	0	0	1	0	<1(0,4)	1,1(1/1/1,22)	37				
<p>$170,3 \pm 58,5$ $227,5 \pm 136,3$ $38,0 \pm 24,1$</p>												
5	10	10	-	-	111	5	57	2,9(2,9/-/-)	97			
	10	10	-	-	416	8	146	3(3/-/-)	100			
	10	8	-	-	418	8	179	2,9(2,9/-/-)	97			

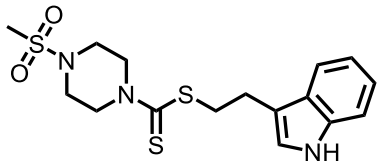
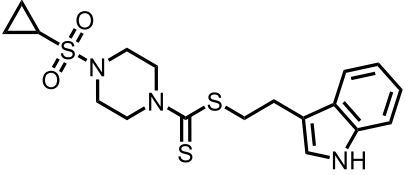
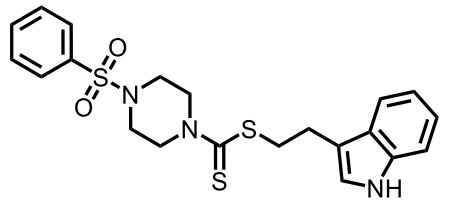
Strukturformel	Konzentration [μM]	Paare (von 10)	Paare angesaugt	♂ angesaugt	♀ angesaugt	absolute Eizahl	Deformation [%]	Eizahl normiert [%]	WMS: ϕ (♀/♂/♀)	WMS normiert [%]	Tegument-schäden	Darm-dilatation
 <p>Schl-33.072</p>	10	10 10 10	10 10 8	- - -	- - -	267 635 369	12 12 6	204 142 67	3(3/-/-) 2,9(2,9/-/-) 2,9(2,9/-/-)	100 97 97		
 <p>Schl-33.024</p>	10	10 10 10	10 10 8	- - -	- - -	311 218 299	6 8 9	101 91 107	3(3/-/-) 3(3/-/-) 3(3/-/-)	100 100 100		
 <p>Schl-33.031</p>	10	10 10 10	10 9 9	- - -	- - -	820 1022 518	20 29 39	466 154 64	3(3/-/-) 2,9(2,9/-/-) 2,9(2,9/-/-)	100 97 97		

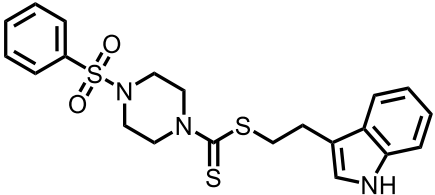
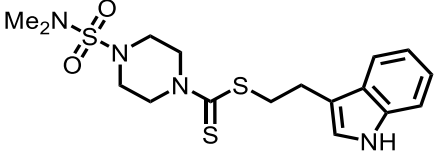
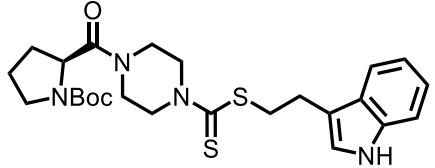
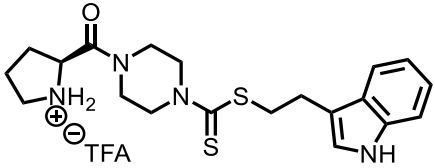
Strukturformel	Konzentration [μM]	Paare (von 10)	Paare angesaugt	σ angesaugt	φ angesaugt	absolute Eizahl	Deformation [%]	Eizahl normiert [%]	WMS: \emptyset ($\varphi/\sigma/\varphi$)	WMS normiert [%]	Tegument-schäden	Darm-dilatation
 <p>Schl-33.032</p>	10	10 9 6	10 9 4	- 1 3	- 0 2	282 449 519	16 16 31	264 140 159	3(3/-/-) 2,85(2,89/3/2) 2,25(2,67/1,75/1,5)	100 95 75		$\varphi/72/++$
 <p>Schl-33.174</p>	10	10 10 10	3 5 3	- - -	- - -	171 120 161	18 19 24	94 33 78	2,7(2,7/-/-) 2(2/-/-) 2,3(2,3/-/-)	90 67 77		
 <p>Schl-33.182</p>	10	10 10 10	7 5 4	- - -	- - -	17 196 404	0 12 12	16 61 124	2,8(2,8/-/-) 2,6(2,6/-/-) 2,6(2,6/-/-)	93 88 88		
 <p>Schl-33.181</p>	10	10 6 2	10 6 2	- 4 2	- 3 4	170 372 108	8 16 37	159 116 33	3(3/-/-) 2,6(2,67/2,5/2,5) 1,4(1,5/1,25/1,5)	100 87 47		$\sigma/72/+$
		9 6 3	8 4 2	1 2 4	1 2 2	97 68 25	8 18 44	55 27 6	2,8(2,78/3/3) 2,5(2,67/2,5/2) 2,3(2,33/2,43/2,14)	93 83 77		$\varphi/48/(+)$
		9 8 7	8 5 4	1 0 0	1 2 3	108 264 191	10 9 14	61 104 49	2,85(2,89/2/3) 2,6(2,63/2/3) 2,35(2,29/2,33/2,67)	95 87 78		$\varphi/72/(+)$

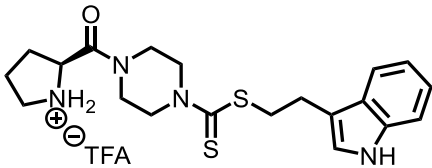
Strukturformel	Konzentration [μM]	Paare (von 10)	Paare angesaugt	♂ angesaugt	♀ angesaugt	absolute Eizahl	Deformation [%]	Eizahl normiert [%]	WMS: ϕ (♂/♂/♀)	WMS normiert [%]	Tegument-schäden	Darm-dilatation
 <p>Schl-33.181</p>		10	10	-	-	113	12	81	2,9(2,9/-/-)	97		
		4	4	5	3	193	12	60	2,6(2,75/2,5/2,5)	87		♀/48/(+)
		2	1	4	0	183	14	40	2,7(2,5/2,75/2,75)	90		
		8	8	2	2	172	9	88	2,95(3/3/2,5)	98		
		6	6	4	2	107	12	38	2,7(2,83/3/2)	90	♂/72/(+)	♀/48/+
		2	1	6	3	87	24	37	2,25(2,5/2,5/1,88)	75		
		9	9	1	1	145	7	74	3(3/3/3)	100		
		8	8	2	2	135	14	47	2,85(2,9/3/2,5)	95		♀/48/(+)
		4	4	5	2	117	12	50	2,45(2,75/2,5/2)	82		
				9,2 ± 0,3			134,2 ± 13,4			97,2 ± 1,1		
		6,3 ± 0,6			189,8 ± 46,0			88,2 ± 1,6				
		3,3 ± 0,8			118,5 ± 25,3			74,8 ± 6,0				
 <p>Schl-33.183</p>	10	10	10	-	-	139	16	130	2,9(2,9/-/-)	97		
		10	9	-	-	497	14	155	2,9(2,9/-/-)	97		
		10	8	-	-	160	22	49	2,7(2,7/-/-)	90		
 <p>Schl-33.783</p>	10	10	10	-	-	60	7	34	2,8(2,8/-/-)	93		
		9	8	0	1	93	8	37	2,85(2,89/2/3)	95		♂/72/(+)
		9	5	0	0	250	14	64	2,7(2,78/2/2)	90		
		10	9	-	-	37	11	19	2,9(2,9/-/-)	97		
		9	7	1	1	86	21	30	2,8(2,78/3/3)	93		
		8	7	2	2	190	15	82	2,75(2,75/3/2,5)	92		

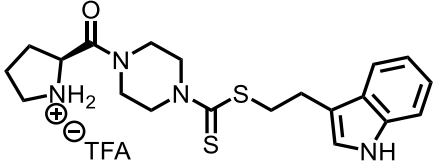
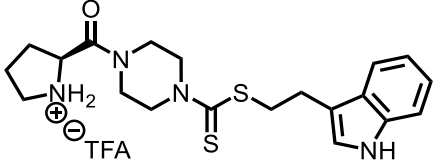
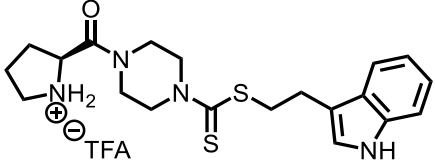
Strukturformel	Konzentration [μM]	Paare (von 10)	Paare angesaugt	σ angesaugt	q angesaugt	absolute Eizahl	Deformation [%]	Eizahl normiert [%]	WMS: ϕ ($\sigma/\sigma/\text{q}$)	WMS normiert [%]	Tegument-schäden	Darm-dilatation
 <p>Schl-33.792</p>	10	1	0	9	0	323	49	210	2,45(3/2,78/2)	82		$\sigma/72/+$
		0	-	0	0	21	91	8	2,5(-/2,4/2,6)	83		
		0	-	0	0	0	-	0	0,8(-/0,5/1,1)	27		
		0	-	6	1	119	70	60	2,65(-/2,5/2,8)	88		$\sigma/48/(+)$
		0	-	0	0	9	0	4	1,25(-/1,4/1,1)	42		
		0	-	0	0	5	20	4	0,95(-/0,9/1)	32		
		0	-	3	0	57	75	29	2,55(-/2,3/2,8)	85		$\sigma/72/(+)$
		0	-	0	0	0	-	0	1,15(-/1,2/1,1)	38		
		0	-	0	0	2	0	2	0,9(-/0,8/1)	30		
		0	-	2	0	107	63	54	2,45(-/2,2/2,7)	82		$\sigma/72/(+)$
0	-	0	0	0	-	0	1,2(-/1,3/1,1)	40				
0	-	0	0	3	33	3	0,9(-/0,8/1)	30				
		0,25 \pm 0,25			151,5 \pm 58,7			84,3 \pm 1,4				
		0,0 \pm 0,0			7,5 \pm 5,0			50,8 \pm 10,8				
		0,0 \pm 0,0			2,5 \pm 1,0			29,8 \pm 1,0				
 <p>Schl-33.792</p>	5	9	9	1	1	338	9	220	2,9(2,89/3/3)	97		
		4	4	3	1	475	46	173	2,65(2,75/2,67/2,83)	88		
		0	-	1	3	193	81	128	2,2(-/1,7/2,7)	73		
		6	5	4	1	480	39	240	2,75(2,83/3/2,25)	92		$\sigma/72/(+)$
		2	2	7	0	96	80	40	2,55(2,5/2,75/2,38)	85		
		0	-	2	0	87	92	74	2,1(-/1,5/2,7)	70		
		8	7	2	1	779	30	390	2,85(2,88/3/2,5)	95		
		1	1	9	0	169	78	71	2,6(2/2,78/2,56)	87		
		0	-	2	0	67	87	57	2,2(-/1,8/2,6)	73		
		8	7	2	0	601	34	301	2,7(2,75/3/2)	90		$\sigma/72/(+)$
0	-	8	0	128	78	54	2,55(-/2,6/2,5)	85				
0	-	3	1	82	76	70	2,15(-/1,7/2,6)	72				
		7,8 \pm 0,6			549,5 \pm 93,5			93,5 \pm 1,6				
		1,8 \pm 0,9			217,0 \pm 87,3			86,3 \pm 0,8				
		0,0 \pm 0,0			107,3 \pm 28,9			72,0 \pm 0,7				

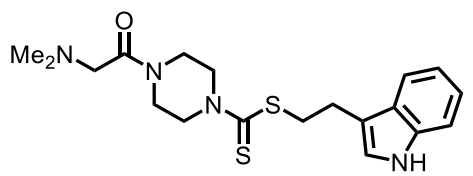
Strukturformel	Konzentration [μM]	Paare (von 10)	Paare angesaugt	σ^7 angesaugt	σ^8 angesaugt	absolute Eizahl	Deformation [%]	Eizahl normiert [%]	WMS: ϕ ($\sigma^7/\sigma^8/\sigma^9$)	WMS normiert [%]	Tegument-schäden	Darm-dilatation		
 <p>Schl-33.792</p>	4	8	7	2	0	619	15	310	2,8(2,88/2,5/2,5)	93				
		3	3	2	0	210	57	88	2,6(2,67/2,43/2,71)	87				
		0	-	0	0	146	61	124	2,75(-/2,6/2,9)	92				
		7	7	3	3	454	29	227	2,95(3/3/2,67)	98				
		3	2	6	4	170	68	71	2,65(2,67/2,57/2,71)	88				
		3	1	5	4	62	86	53	2,65(2,67/2,57/2,71)	88				
		10	10	-	-	676	11	338	2,9(2,9/-/-)	97				
		3	3	6	1	180	61	76	2,7(2,67/2,71/2,71)	90				
		1	0	6	1	149	55	126	2,75(3/2,67/2,78)	92				
				8,3 \pm 0,9			583,0 \pm 66,6			96,0 \pm 1,5				
		3,0 \pm 0,0			186,7 \pm 12,0			88,3 \pm 0,9						
		1,3 \pm 0,9			119,0 \pm 28,5			90,7 \pm 1,3						
 <p>Schl-33.792</p>	3	9	9	1	1	634	30	317	2,9(2,89/3/3)	97				
		6	6	3	1	353	28	148	2,55(2,86/2,75/2)	85	$\sigma^7/72/(+)$			
		4	3	5	1	107	49	91	2,7(2,75/2,83/2,5)	90				
		9	8	1	0	609	22	305	2,75(2,88/3/2)	92				
		7	7	2	0	365	25	153	2,75(2,86/2,67/2,33)	92				
		4	4	5	1	68	56	58	2,8(2,75/2,83/2,83)	93				
		8	8	2	2	588	28	294	2,9(2,88/3/3)	97				
		6	6	4	2	355	25	149	2,8(3/2,75/2,25)	93				
		1	1	8	6	164	43	139	2,7(3/2,78/2,56)	90				
				8,7 \pm 0,3			610,3 \pm 13,3			95,3 \pm 1,7				
				6,3 \pm 0,3			357,7 \pm 3,7			90,0 \pm 2,5				
				3,0 \pm 1,0			113 \pm 27,9			91,0 \pm 1,0				
		2	10	9	-	-	440	14	220	2,9(2,9/-/-)	97			
6	6		4	3	336	30	141	2,85(3/3/2,25)	95					
3	3		6	5	258	35	219	2,75(3/2,71/2,57)	92					

Strukturformel	Konzentration [μM]	Paare (von 10)	Paare angesaugt	♂ angesaugt	♀ angesaugt	absolute Eizahl	Deformation [%]	Eizahl normiert [%]	WMS: ϕ (♀/♂/♀)	WMS normiert [%]	Tegument-schäden	Darm-dilatation
 <p>Schl-33.152</p>	10	10	9	-	-	449	12	420	2,8(2,8/-/-)	93		
		10	10	-	-	520	18	163	2,8(2,8/-/-)	93		
		10	9	-	-	893	16	273	2,9(2,9/-/-)	97		
 <p>Schl-33.525</p>	10	10	10	-	-	94	5	57	2,3(2,3/-/-)	77		
		10	3	-	-	188	10	34	2,6(2,6/-/-)	87		
		10	4	-	-	266	10	81	2,7(2,7/-/-)	90		
		10	9	-	-	150	12	77	2,9(2,9/-/-)	97		
		10	7	-	-	374	11	131	2,7(2,7/-/-)	90		
9	4	0	0	280	10	120	2,65(2,67/3/2)	83				
 <p>Schl-33.236</p>	10	9	7	1	1	51	6	31	2,55(2,56/2/3)	85		
		2	0	1	0	6	17	1	2,45(2/2,38/2,75)	82	♀/48/+	
		1	0	0	0	2	0	<1(0,6)	2,05(2/1,89/2,22)	68		
		8	7	0	0	146	12	67	2,7(2,75/2/3)	90		
		3	0	0	0	43	14	11	2,25(2/2/2,71)	75	♂/72/+	
		2	0	0	0	0	-	0	1,5(1,5/1,38/1,63)	50		
		10	10	-	-	241	12	116	2,9(2,9/-/-)	97		
		7	1	0	0	15	13	4	1,85(1,86/1,67/2)	62	♀/48/++	
		1	0	0	0	6	17	3	1,45(2/1,56/1,22)	48		
9	8	0	0	152	10	109	2,65(2,67/3/2)	88				
2	0	0	1	15	7	5	1,7(2/1,5/1,75)	57	♀/72/(+)			
2	0	0	0	0	-	0	1,4(1,5/1,38/1,38)	47				

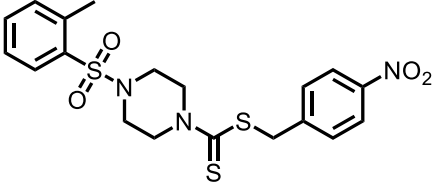
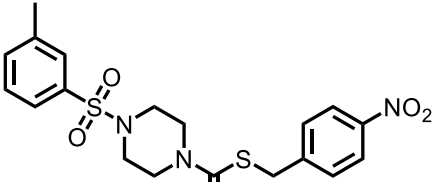
Strukturformel	Konzentration [μM]	Paare (von 10)	Paare angesaugt	♂ angesaugt	♀ angesaugt	absolute Eizahl	Deformation [%]	Eizahl normiert [%]	WMS: ϕ (♂/♂/♀)	WMS normiert [%]	Tegument-schäden	Darm-dilatation
 Schi-33.236		8	8	2	0	104	14	53	2,85(2,88/3/2,5)	95	♀/48/++	
		3	2	0	0	27	11	10	1,5(1,67/1,57/1,29)	50		
		0	-	0	0	0	-	0	1,3(-/1,3/1,3)	43		
		8,8 ± 0,4		138,8 ± 31,3		91,0 ± 2,2						
5	10	9	-	-	203	5	93	3(3/-/-)	100			
	9	6	0	1	198	11	49	2,65(2,67/2/5)	88			
	9	7	1	1	111	16	27	2,65(2,67/2/3)	88			
 Schi-33.228	10	10	9	-	-	411	11	124	2,9(2,9/-/-)	97		
		10	9	-	-	470	11	143	2,9(2,9/-/-)	97		
		10	9	-	-	768	14	252	2,9(2,9/-/-)	97		
 Schi-33.785	10	10	10	-	-	138	11	70	2,9(2,9/-/-)	97		
		10	8	-	-	274	12	96	2,8(2,8/-/-)	93		
		9	9	0	0	254	6	109	2,8(2,89/2/2)	93		
 Schi-33.791	10	3	2	4	0	277	11	141	2,35(2,33/2,57/2,14)	78		
		1	1	0	0	37	38	13	1,25(1/1,33/1,22)	42		♂/24/+
		0	-	0	0	1	0	<1(0,4)	1,05(-/1/1,1)	35		
		2	2	1	1	194	12	126	2,25(2,5/2,5/1,88)	75		
		0	-	0	0	9	11	3	1,2(-/1,2/1,2)	40		♂/48/++
		0	-	0	0	0	-	0	1(-/1/1)	33		

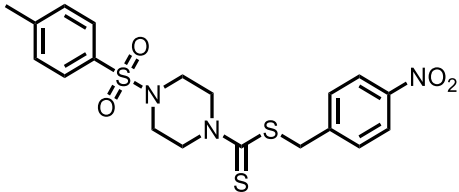
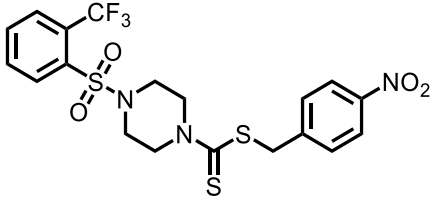
Strukturformel	Konzentration [μM]	Paare (von 10)	Paare angesaugt	σ angesaugt	φ angesaugt	absolute Eizahl	Deformation [%]	Eizahl normiert [%]	WMS: ϕ ($\varphi/\sigma/\varphi$)	WMS normiert [%]	Tegument-schäden	Darm-dilatation	
		2	1	6	0	145	8	94	2,05(1,5/2,4/2)	68		$\varphi/24/++$	
		0	-	0	0	14	14	5	1,2(-/1,3/1,1)	40			
		0	-	0	0	0	-	0	1(-/1/1)	33			
		2	1	0	0	260	7	130	1,65(2/1,5/1,44)	55		$\varphi/24/+$	
		0	-	0	0	2	50	<1(0,8)	1,35(-/1,4/1,3)	45			
		0	-	0	0	2	0	2	1,15(-/1,1/1,2)	38			
		2,3 \pm 0,3			219,0 \pm 30,5			69,0 \pm 5,1					
		0,3 \pm 0,3			15,5 \pm 7,6			41,8 \pm 1,2					
		0,0 \pm 0,3			0,8 \pm 0,5			34,8 \pm 1,2					
 <p style="text-align: center;">Schi-33.791</p>	5	9	9	1	0	342	4	222	2,8(2,89/2/2)	93		$\varphi/48/+$	
		5	5	5	2	331	9	120	2,7(3/2,6/2,2)	90			
		0	-	4	3	12	33	8	1,35(-/1,4/1,3)	45			
		10	10	-	-	488	14	244	2,8(2,8/-/-)	93			$\varphi/48/++$
		6	6	3	2	188	13	79	2,5(2,67/2,25/2,25)	83			
		0	-	5	1	57	25	48	1,35(-/1,4/1,3)	45			
	5	10	10	-	-	337	17	169	2,9(2,9/-/-)	97		$\varphi/48/+$	
		3	3	5	3	162	6	68	2,5(2,67/2,43/2,43)	83			
		0	-	1	0	26	35	22	1,55(-/1,5/1,6)	52			
		10	9	-	-	468	16	234	2,8(2,8/-/-)	93			$\varphi/48/++$
		5	4	4	3	188	10	79	2,25(2,6/2,2/1,6)	75			
		0	-	2	2	34	29	29	1,3(-/1,2/1,4)	43			
		9,8 \pm 0,3			408,8 \pm 40,2			94,0 \pm 1,0					
		4,8 \pm 0,6			217,3 \pm 38,4			82,8 \pm 3,1					
		0,0 \pm 0,0			32,3 \pm 9,4			46,3 \pm 2,0					
	4	10	9	-	-	414	6	207	2,8(2,8/-/-)	93		$\sigma/72/(+)$	
		9	9	1	0	382	7	161	2,65(2,67/3/2)	88			
		2	2	8	1	143	13	121	2,2(2,5/1,63/2,63)	73			
		10	10	-	-	390	13	195	3(3/-/-)	100			$\sigma/48/+$
		6	5	4	0	413	12	174	2,6(2,83/2/2,5)	87			
1	1	5	2	31	13	26	2,05(2/1,67/2,44)	68					

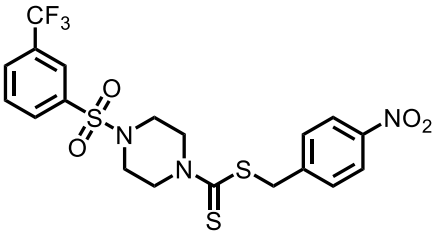
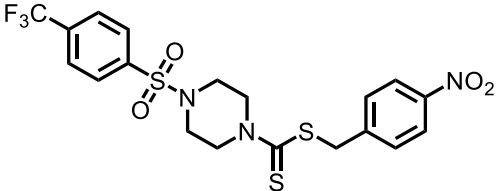
Strukturformel	Konzentration [μM]	Paare (von 10)	Paare angesaugt	σ angesaugt	Q angesaugt	absolute Eizahl	Deformation [%]	Eizahl normiert [%]	WMS: ϕ ($\text{Q}/\sigma/\text{Q}$)	WMS normiert [%]	Tegument-schäden	Darm-dilatation
 <p>Schi-33.791</p>		10	10	-	-	547	13	274	2,9(2,9/-/-)	97		$\sigma/72/(+)$
		7	6	3	0	377	9	158	2,5(2,57/2,67/2)	83		
		1	0	7	1	59	14	50	1,8(2/1,56/2)	60		
		10,0 \pm 0,0 7,3 \pm 0,9 1,3 \pm 0,3				450,3 \pm 48,8 390,7 \pm 11,3 77,7 \pm 33,7			96,7 \pm 2,0 86,0 \pm 1,5 67,0 \pm 3,8			
 <p>Schi-33.791</p>	3	10	10	-	-	395	7	198	3(3/-/-)	100		$\sigma/72/(+)$
		10	10	-	-	364	6	153	2,8(2,8/-/-)	93		
		9	9	1	1	291	14	247	2,75(2,78/3/2)	92		
		10	10	-	-	512	10	256	2,9(2,9/-/-)	97		
		9	9	1	1	319	5	134	2,85(2,89/3/2)	95		
		7	7	3	1	223	9	189	2,6(2,57/3/2,33)	87		
		10	10	-	-	433	8	217	3(3/-/-)	100		
		10	10	-	-	391	7	164	2,8(2,8/-/-)	93		
		8	7	2	0	262	14	222	2,7(2,75/3/2)	90		
		10,0 \pm 0,0 9,7 \pm 0,3 8,0 \pm 0,6				446,7 \pm 34,5 358,0 \pm 21,0 258,7 \pm 19,7			99,0 \pm 1,0 93,7 \pm 0,7 89,7 \pm 1,5			
 <p>Schi-33.791</p>	2	10	10	-	-	451	9	226	3(3/-/-)	100		
		10	10	-	-	347	5	146	3(3/-/-)	100		
		10	9	-	-	297	6	252	2,9(2,9/-/-)	97		
	1	10	9	-	-	424	8	212	2,9(2,9/-/-)	97		
		10	9	-	-	382	7	161	2,9(2,9/-/-)	97		
		10	9	-	-	314	9	266	2,9(2,9/-/-)	97		

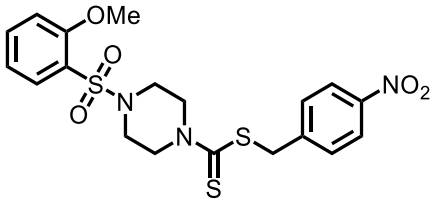
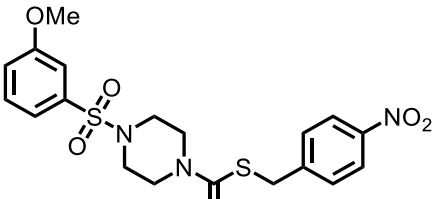
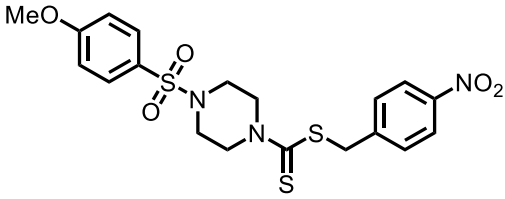
Strukturformel	Konzentration [μM]	Paare (von 10)	Paare angesaugt	σ angesaugt	Q angesaugt	absolute Eizahl	Deformation [%]	Eizahl normiert [%]	WMS: \emptyset ($\sigma/\sigma/\text{Q}$)	WMS normiert [%]	Tegument-schäden	Darm-dilatation			
 <p>Schl-33.780</p>	10	9	9	1	0	276	5	90	2,75(2,78/3/2)	92					
		5	5	4	1	143	6	60	2,55(2,6/2,4/2,6)	85		$\text{Q}/48/(+)$			
		5	4	3	1	6	83	2	2,7(2,8/2,6/2,6)	90					
		6	6	4	0	334	11	190	2,55(2,67/2,75/2)	85					
		0	-	9	1	107	17	42	2,55(-/2,6/2,5)	85		$\text{Q}/72/(+)$			
		0	-	7	2	71	13	18	2,25(-/2,7/1,7)	75					
		10	10	-	-	233	5	119	2,8(2,8/-/-)	93					
		0	-	9	6	180	21	63	2,6(-/2,7/2,5)	87		$\text{Q}/48/+$			
		0	-	0	0	22	14	9	1,9(-/2,2/1,6)	63					
		10	10	-	-	295	13	192	2,8(2,8/-/-)	93					
		5	3	5	2	284	8	103	2,6(2,6/3/2,2)	87	$\sigma/48/(+)$	$\text{Q}/48/+$			
		1	1	6	0	43	33	29	2,2(3/2,44/1,78)	73					
					$8,8 \pm 1,0$			$284,5 \pm 42,0$			$90,8 \pm 1,9$				
					$2,5 \pm 1,4$			$178,5 \pm 76,4$			$86,0 \pm 0,6$				
			$1,5 \pm 1,2$			$35,5 \pm 28,1$			$75,3 \pm 5,6$						
5	9	9	1	0	323	8	210	2,95(3/3/2)	98						
	8	8	2	1	405	5	147	2,95(3/3/2,5)	98						
	8	8	1	1	279	10	185	2,8(2,88/2,5/2,5)	93						

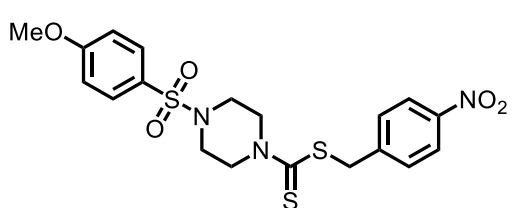
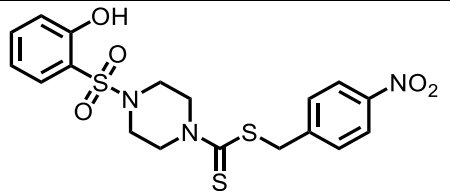
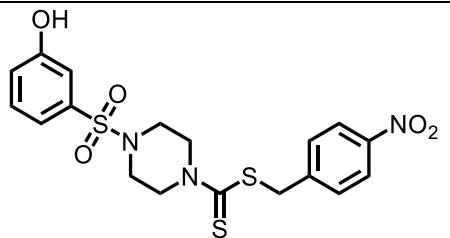
Sulfonamide

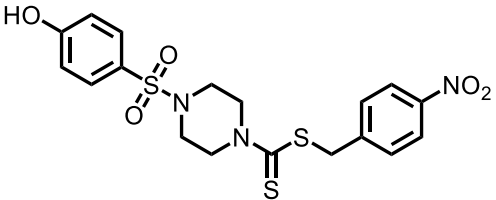
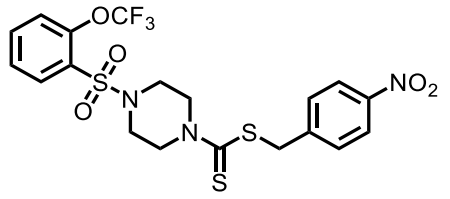
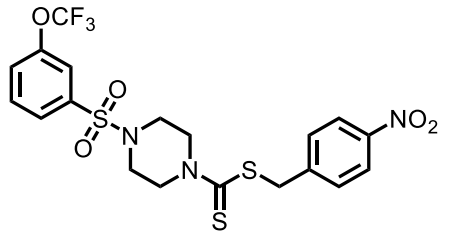
Strukturformel	Konzentration [μM]	Paare (von 10)	Paare angesaugt	σ angesaugt	f angesaugt	absolute Eizahl	Deformation [%]	Eizahl normiert [%]	WMS: \emptyset ($\text{f}/\sigma/\text{f}$)	WMS normiert [%]	Tegument-schäden	Darm-dilatation
 <p>Schl-33.047</p>	10	9	9	1	1	430	46	229	3(3/3/3)	100		
		9	8	1	1	446	24	237	2,8(2,78/3/3)	93		
		8	8	2	2	310	18	165	2,8(2,75/3/3)	93		
 <p>Schl-33.048</p>	10	10	10	-	-	459	30	244	3(3/-/-)	100		
		4	3	6	2	70	27	37	2,05(2,5/1,5/2)	68		$\text{f}/48/(+)$
		0	-	7	0	0	-	0	1,15(-/1,3/1)	38		
		10	10	-	-	586	17	201	2,9(2,9/-/-)	97		
		3	3	4	0	122	11	41	1,45(1,67/1,57/1,14)	48	$\sigma/72/+$	$\text{f}/48/++$
		0	-	0	3	0	-	0	1,15(-/1,0/1,3)	38		
		10	10	-	-	468	11	358	3(3/-/-)	100		
		5	5	4	0	220	6	49	2,05(2,6/1,8/1,2)	68	$\sigma/48/(+)$	$\text{f}/48/++$
		2	2	3	0	21	10	4	1,35(1,5/1,38/1,25)	45		
				10,0 \pm 0,0				504,3 \pm 40,9		99,0 \pm 1,0		
		4,0 \pm 0,6				137,3 \pm 44,0		61,3 \pm 6,7				
		0,7 \pm 0,7				7,0 \pm 7,0		40,3 \pm 2,3				
5	10	7	-	-	529	16	182	3(3/-/-)	100			
	10	8	-	-	589	15	197	3(3/-/-)	100			
	10	10	-	-	406	15	133	3(3/-/-)	100			

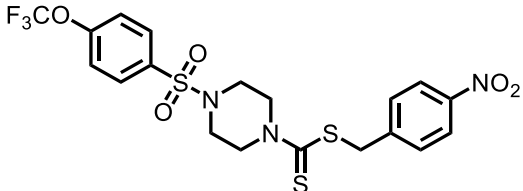
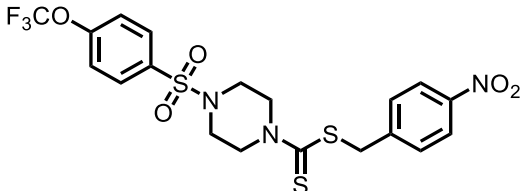
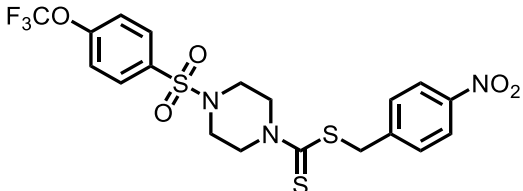
Strukturformel	Konzentration [μM]	Paare (von 10)	Paare angesaugt	♂ angesaugt	♀ angesaugt	absolute Eizahl	Deformation [%]	Eizahl normiert [%]	WMS: \emptyset (♂/♂/♀)	WMS normiert [%]	Tegument-schäden	Darm-dilatation
 <p>Schl-33.053</p>	10	9	8	0	0	158	18	84	2,2(2,1/3/3)	73		
		4	3	0	0	9	33	5	1,2(1,5/1/1)	40	♂/48/+	♀/24/+
		0	-	0	0	1	0	<1(0,5)	1,1(-/1,2/1)	37		
		8	6	0	0	76	14	26	2,35(2,38/2/2,5)	78		
		3	2	3	0	0	-	0	1,5(2/1,57/1)	50	♂/24/+	♀/48/++
		1	1	0	0	0	-	0	1,4(2/1,44/1,22)	47		
		10	9	-	-	151	6	115	2,9(2,9/-/-)	97		
		6	6	2	0	360	12	80	1,8(2/1,5/1,5)	50		♀/48/+
		1	0	2	0	4	50	<1(0,7)	1,1(1/1,25/1)	37		
				9,0 ± 0,6			128,3 ± 26,3			82,7 ± 7,3		
		4,3 ± 0,9			123,0 ± 118,5			46,7 ± 3,3				
		0,7 ± 0,3			1,7 ± 1,2			40,3 ± 3,3				
 <p>Schl-33.046</p>	10	10	10	-	-	414	37	220	3(3/-/-)	100		
		10	10	-	-	382	10	203	3(3/-/-)	100		
		10	10	-	-	396	13	210	3(3/-/-)	100		
		5	10	9	-	-	218	11	75	3(3/-/-)	100	
		10	9	-	-	376	11	126	3(3/-/-)	100		
		9	8	1	1	492	15	161	2,9(2,89/3/3)	97		

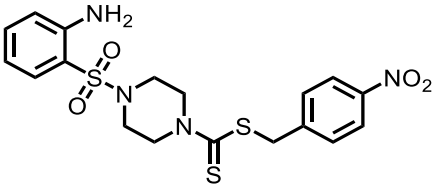
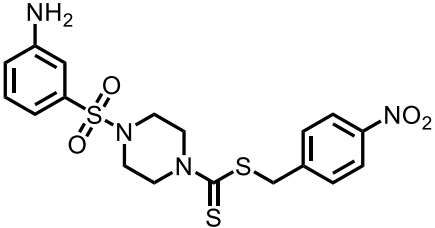
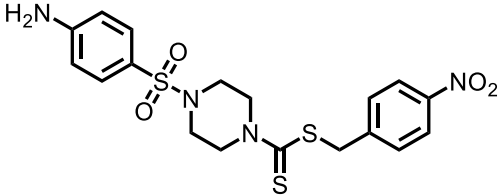
Strukturformel	Konzentration [μM]	Paare (von 10)	Paare angesaugt	σ^7 angesaugt	Q angesaugt	absolute Eizahl	Deformation [%]	Eizahl normiert [%]	WMS: \emptyset ($\text{Q}^7/\sigma^7/\text{Q}$)	WMS normiert [%]	Tegument-schäden	Darm-dilatation
 <p>Schl-33.045</p>	10	10	10	-	-	401	39	213	3(3/-/-)	100	$\text{Q}^7/72/+$	
		10	10	-	-	337	9	179	3(3/-/-)	100		
		8	6	0	0	165	19	88	2,4(2,5/2/2)	80		
 <p>Schl-33.066</p>	10	9	9	0	0	298	38	159	2,9(3/2/2)	97	$\text{Q}^7/48/+$	
		7	7	0	0	105	17	56	1,85(2/1/2)	62		
		1	0	0	0	1	100	<1(0,5)	1(1/1/1)	33		
		10	9	-	-	266	15	91	3(3/-/-)	100	$\text{Q}^7/48/++$	$\text{Q}^7/48/++$
		4	1	0	0	94	9	31	1,6(2/1,33/1,33)	53		
		0	-	0	0	4	0	1	1,2(-/1,2/1,2)	40		
		10	10	-	-	285	11	218	3(3/-/-)	100	$\sigma^7/48/++$	$\text{Q}^7/72/+$
		4	0	0	0	312	6	70	1,6(2/1,33/1,33)	53		
		1	0	0	0	12	25	2	1,1(1/1/1,22)	37		
				$9,7 \pm 0,3$			$283,0 \pm 9,3$			$99,0 \pm 1,0$		
		$5,0 \pm 1,0$			$170,3 \pm 70,9$			$56,0 \pm 3,0$				
		$0,7 \pm 0,3$			$5,7 \pm 3,3$			$36,7 \pm 2,0$				
5	10	10	-	-	290	12	100	3(3/-/-)	100	$\text{Q}^7/48/(+)$		
	10	10	-	-	465	13	156	3(3/-/-)	100			
	10	10	-	-	511	14	168	3(3/-/-)	100			

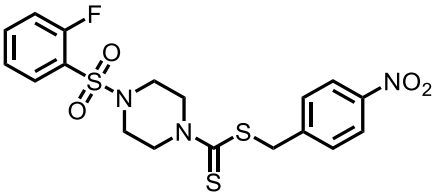
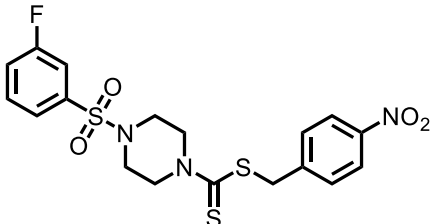
Strukturformel	Konzentration [μM]	Paare (von 10)	Paare angesaugt	σ^7 angesaugt	Q angesaugt	absolute Eizahl	Deformation [%]	Eizahl normiert [%]	WMS: \emptyset ($\text{Q}^7/\sigma^7/\text{Q}$)	WMS normiert [%]	Tegument-schäden	Darm-dilatation
 <p>Schi-33.405</p>	10	9 8 9	9 8 8	1 2 0	1 1 0	554 439 351	5 13 10	189 104 91	2,9(2,89/3/3) 3(3/3/3) 2,8(2,78/3/3)	97 100 93		
 <p>Schi-33.054</p>	10	9 7 7 10 8 9	9 7 6 10 7 9	1 2 1 - 2 1	1 1 2 - 2 0	347 265 317 371 587 542	4 8 11 12 14 19	250 83 70 112 179 178	3(3/3/3) 2,65(2,71/2,67/2,33) 2,75(2,86/2,33/2,67) 2,9(2,9/-/-) 2,75(2,75/3/2,5) 2,85(2,89/2/3)	100 88 92 97 92 95		$\text{Q}^7/48/(+)$
 <p>Schi-33.056</p>	10	5 2 1 8 0 0 10 2 0	3 0 0 6 - - 8 1 -	0 0 0 1 0 0 - 5 1	0 0 0 0 0 0 - 0 0	295 3 0 223 4 2 427 103 3	15 0 - 14 0 50 6 10 33	163 <1(0,8) 0 81 <1(0,8) <1(0,4) 307 32 <1(0,7)	1,6(1,6/2/1,2) 1,3(1,5/1,25/1,25) 0,85(1/0,67/1) 2,4(2,5/2/2) 1,2(-/1,2/1,2) 0,9(-/0,8/1) 2,7(2,7/-/-) 2(2/2,13/1,88) 1,3(-/1,4/1,2)	53 43 28 80 40 30 90 67 43	$\text{Q}^7/48/++$	$\text{Q}^7/24/++$ $\text{Q}^7/24/++$ $\sigma^7/48/(+)$ $\text{Q}^7/48/++$

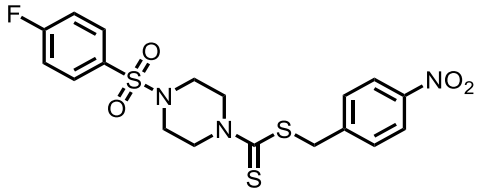
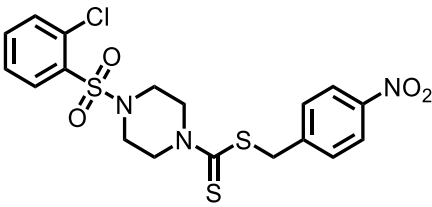
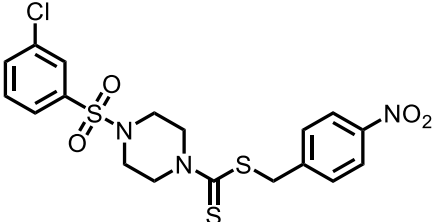
Strukturformel	Konzentration [μM]	Paare (von 10)	Paare angesaugt	♂ angesaugt	♀ angesaugt	absolute Eizahl	Deformation [%]	Eizahl normiert [%]	WMS: \emptyset (♂/♂/♀)	WMS normiert [%]	Tegument-schäden	Darm-dilatation
 <p>Schi-33.056</p>	5	5	0	0	0	229	12	70	1,55(1,6/1,6/1,4)	52	♀/48/++	♀/24/++
		1	0	0	0	2	0	<1(0,6)	1,2(1,1,22/1,22)	40		
		1	0	0	0	0	-	0	0,75(1/0,67/0,78)	25		
		7,0 ± 1,2			293,5 ± 47,4			68,8 ± 9,6				
1,3 ± 0,5			28,0 ± 25,0			47,5 ± 6,5						
0,5 ± 0,3			1,3 ± 0,8			31,5 ± 4,0						
 <p>Schi-33.485</p>	10	8	8	2	1	352	15	194	2,9(2,88/3/3)	97		
		9	9	1	1	212	20	59	2,9(2,89/3/3)	97		
		9	8	1	1	193	28	94	2,9(2,89/3/3)	97		
 <p>Schi-33.423</p>	10	10	10	-	-	443	5	151	2,9(2,9/-/-)	97		
		9	8	0	1	316	12	75	2,75(2,78/2/3)	92		
		9	7	0	1	423	13	109	2,75(2,74/-/3)	92		

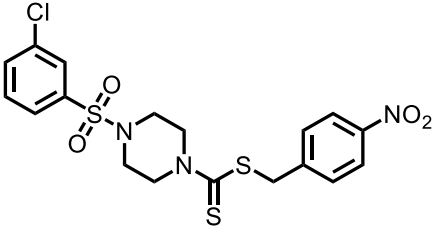
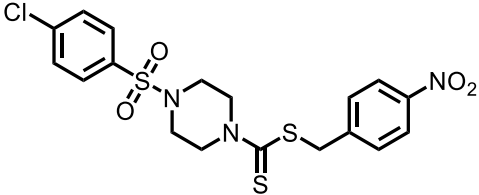
Strukturformel	Konzentration [μM]	Paare (von 10)	Paare angesaugt	σ^7 angesaugt	σ^8 angesaugt	absolute Eizahl	Deformation [%]	Eizahl normiert [%]	WMS: ϕ ($\sigma^7/\sigma^8/\sigma^9$)	WMS normiert [%]	Tegument-schäden	Darm-dilatation
 SchI-33.401	10	7	4	3	0	119	8	72	2,45(2,43/2,33/2,67)	82		
		7	6	3	1	332	12	61	2,6(2,57/2,33/3)	87		
		6	4	3	3	370	9	112	2,65(2,67/2,5/2,75)	88		
 SchI-33.440	10	10	8	-	-	119	13	41	2,9(2,9/-/-)	97		
		10	6	-	-	93	20	22	2,9(2,9/-/-)	97		
		10	6	-	-	178	10	46	2,8(2,8/-/-)	93		
 SchI-33.442	10	10	10	-	-	190	12	116	3(3/-/-)	100		
		8	6	2	2	138	14	34	2,8(2,75/3/3)	93		
		7	5	2	1	74	47	27	2,75(2,71/2,67/3)	92		
	5	9	9	1	0	109	9	67	3(3/3/3)	100		
		7	7	3	3	261	7	65	2,95(3/2,67/3)	98		
		7	7	3	3	271	7	1	2,95(3/2,67/3)	98		

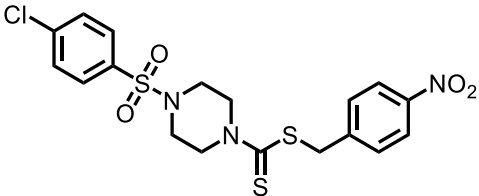
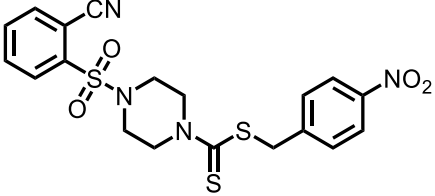
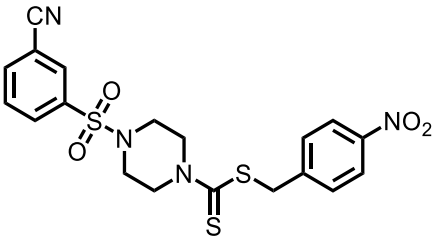
Strukturformel	Konzentration [μM]	Paare (von 10)	Paare angesaugt	σ angesaugt	φ angesaugt	absolute Eizahl	Deformation [%]	Eizahl normiert [%]	WMS: \emptyset ($\sigma/\sigma/\varphi$)	WMS normiert [%]	Tegument-schäden	Darm-dilatation
 <p>Schi-33.439</p>	10	10	10	-	-	228	8	78	3(3/-/-)	100		
		0	-	0	0	133	15	31	2,25(-/1,8/2,7)	75	$\sigma/48/+$	$\varphi/48/+$
		0	-	0	0	0	-	0	1,65(-/1,3/2)	55		
		8	8	2	0	231	4	151	2,85(2,88/3/2,5)	95		
		0	-	0	0	85	11	28	1,5(-/1,2/1,8)	50	$\varphi/48/++$	$\varphi/72/+$
		0	-	0	0	0	-	0	0,7(-/0,4/1)	23		
		10	10	-	-	195	7	119	3(3/-/-)	100		
 <p>Schi-33.439</p>	5	2	0	0	1	10	10	3	1,25(1/1,13/1,5)	42	$\varphi/48/+$	$\varphi/48/++$
		1	0	0	0	0	-	0	1,05(1/1/1,11)	35		
		10	10	-	-	317	15	228	2,9(2,9/-/-)	97		
		3	0	0	0	82	11	26	1,6(1,67/1,43/1,71)	53		$\varphi/48/++$
		0	-	0	0	11	36	2	1,55(-/1,6/1,5)	52		
		10	9	-	-	303	11	172	2,6(2,6/-/-)	87		
		0	-	0	0	18	0	7	1,35(-/1,3/1,4)	45	$\varphi/48/++$	
0	-	0	0	1	0	<1(0,3)	1(-/0,8/1,2)	33				
10	8	-	-	288	8	164	2,8(2,8/-/-)	93				
	2	0	0	0	11	0	4	1,3(1/1,13/1,63)	43	$\varphi/48/++$	$\varphi/48/(+)$	
	1	0	0	0	0	-	0	0,9(1/0,56/1,22)	30			
		9,7 \pm 0,3			260,3 \pm 20,0			95,3 \pm 2,0				
		1,2 \pm 0,5			56,5 \pm 20,8			51,3 \pm 5,0				
		0,3 \pm 0,2			2,0 \pm 1,8			38,0 \pm 5,2				
 <p>Schi-33.439</p>	5	10	10	-	-	178	7	116	2,9(2,9/-/-)	97		
		10	10	-	-	472	7	156	2,9(2,9/-/-)	97		
		10	8	-	-	394	6	122	2,7(2,7/-/-)	90		
		9	9	1	1	189	8	115	3(3/3/3)	100		
		9	9	1	1	313	5	78	2,9(2,89/3/3)	97		
		9	7	1	1	452	4	167	2,8(2,78/3/3)	93		

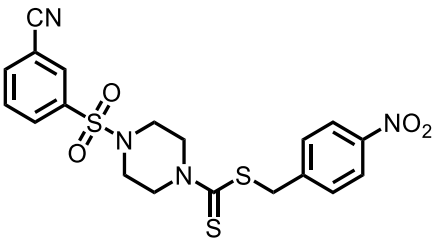
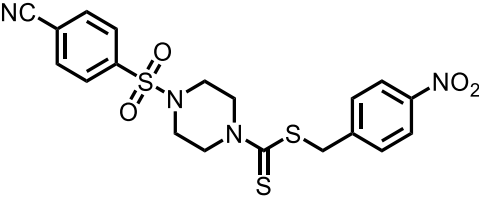
Strukturformel	Konzentration [μM]	Paare (von 10)	Paare angesaugt	σ^7 angesaugt	Q angesaugt	absolute Eizahl	Deformation [%]	Eizahl normiert [%]	WMS: \emptyset ($\text{Q}^7/\sigma^7/\text{Q}$)	WMS normiert [%]	Tegument-schäden	Darm-dilatation
 <p>Schl-33.095</p>	10	10 9 9	9 9 8	- 1 1	- 0 0	451 392 315	7 6 6	344 88 57	3(3/-/-) 2,9(2,89/3/3) 2,4(2,44/2/2)	100 97 80	$\sigma^7/72/(+)$	$\text{Q}^7/72/(+)$
 <p>Schl-33.092</p>	10	10 10 10	10 10 10	- - -	- - -	646 455 416	7 8 7	493 102 76	3(3/-/-) 3(3/-/-) 3(3/-/-)	100 100 100		
 <p>Schl-33.094</p>	10	9 8 8	9 8 8	1 2 2	1 1 2	186 417 453	10 7 7	142 93 83	3(3/3/3) 2,85(2,88/3/2,5) 2,85(2,88/3/2,5)	100 95 95		

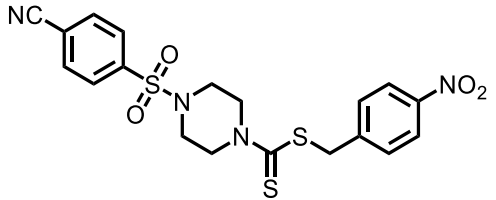
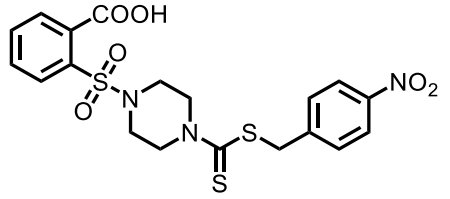
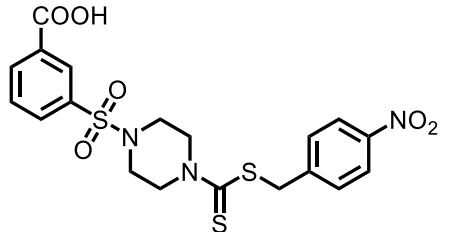
Strukturformel	Konzentration [μM]	Paare (von 10)	Paare angesaugt	σ angesaugt	φ angesaugt	absolute Eizahl	Deformation [%]	Eizahl normiert [%]	WMS: \emptyset ($\varphi/\sigma/\varphi$)	WMS normiert [%]	Tegument-schäden	Darm-dilatation
 <p>Schl-33.061</p>	10	10	10	-	-	227	31	121	3(3/-/-)	100		
		10	8	-	-	383	26	204	2,9(2,9/-/-)	97		
		10	9	-	-	370	9	197	2,9(2,9/-/-)	97		
 <p>Schl-33.058</p>	10	9	6	0	0	144	31	77	2(2/2/2)	67		
		1	1	1	0	17	35	9	1,3(2/1,22/1,22)	43	φ /24/+	
		0	-	0	0	1	0	<1(0,5)	1,3(-/1,3/1,3)	43		
		10	10	-	-	210	19	72	2,3(2,3/-/-)	77		
		3	1	4	0	3	0	1	1,5(2/1,57/1)	50	φ /72/+	φ /24/++
		1	0	0	0	0	-	0	1,3(2/1,22/1,22)	43		
		10	9	-	-	532	9	406	2,9(2,9/-/-)	97		
		7	7	0	0	94	10	21	1,9(2,29/1/1)	63	σ /48/(+)	φ /48/++
		1	0	3	0	56	13	10	0,9(1/1,22/0,78)	30		
		10	9	-	-	198	11	143	2,8(2,8/-/-)	93		
1	1	6	1	109	12	34	2,25(2/2,22/2,33)	75	φ /72/+	φ /48/+		
0	-	3	2	13	8	35	1,25(-/1,3/1,2)	42				
		9,8 \pm 0,3			271,0 \pm 88,2			83,5 \pm 7,0				
		3,0 \pm 1,4			55,8 \pm 26,7			57,8 \pm 7,1				
		0,5 \pm 0,3			17,5 \pm 13,2			39,5 \pm 3,2				
	5	10	9	-	-	232	11	80	3(3/-/-)	100		
		10	8	-	-	525	15	176	2,8(2,8/-/-)	93		φ /48/(+)
		9	8	1	0	308	20	101	2,75(2,78/3/2)	92		

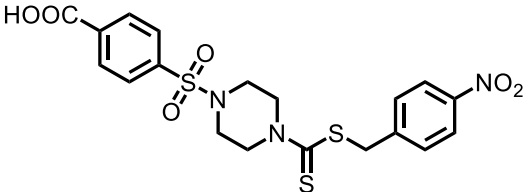
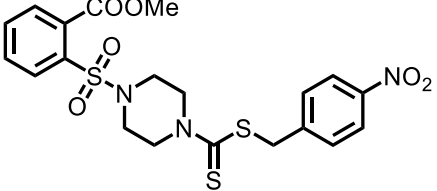
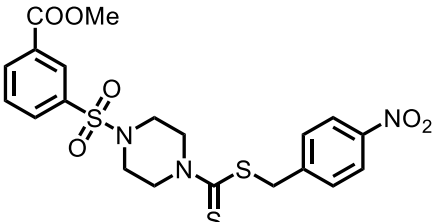
Strukturformel	Konzentration [μM]	Paare (von 10)	Paare angesaugt	σ^7 angesaugt	Q angesaugt	absolute Eizahl	Deformation [%]	Eizahl normiert [%]	WMS: \emptyset ($\text{Q}^7/\sigma^7/\text{Q}$)	WMS normiert [%]	Tegument-schäden	Darm-dilatation
 <p>Schl-33.065</p>	10	10 9 6	10 8 4	- 0 2	- 0 0	279 178 125	35 22 13	148 95 66	3(3/-/-) 2,8(2,89/2/2) 2,85(3/2,75/2,5)	100 93 95		$\text{Q}^7/72/(+)$
 <p>Schl-33.062</p>	10	10 9 6	10 9 5	- 1 1	- 0 0	290 402 224	12 12 17	100 134 73	3(3/-/-) 3(3/3/3) 2,65(2,67/2,75/2,5)	100 100 88		$\text{Q}^7/72/(+)$
 <p>Schl-33.064</p>	10	9 0 0 10 3 0 10 2 1 7 0 0	9 - - 10 1 - 9 2 0 7 - -	1 2 0 - 3 0 - 3 0 3 5 1	0 0 0 - 0 0 - 0 0 0 0 0	218 2 0 229 24 0 171 13 0 220 20 0	8 0 - 19 13 - 15 8 - 9 0 -	75 <1(0,6) 0 123 6 0 131 3 0 134 5 0	2,35(2,44/2/1) 1,3(-/1,6/1) 1,1(-/1,2/1,0) 2,7(2,7/-/-) 1,6(2/1,57/1,29) 1,15(-/1,3/1) 2,8(2,8/-/-) 1,35(2/1,38/1) 0,9(1/0,89/0,89) 2,45(2,71/2/1,67) 1,55(-/1,7/1,4) 1,05(-/1,1/1)	78 43 37 90 53 38 93 45 30 82 52 35	$\text{Q}^7/72/+$	$\text{Q}^7/24/++$ $\sigma^7/48/+$ $\text{Q}^7/48/++$ $\text{Q}^7/24/+$

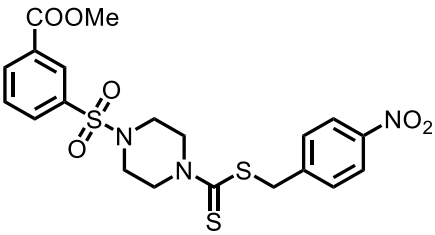
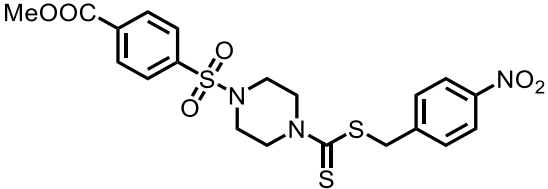
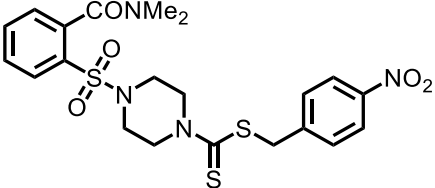
Strukturformel	Konzentration [μM]	Paare (von 10)	Paare angesaugt	σ angesaugt	φ angesaugt	absolute Eizahl	Deformation [%]	Eizahl normiert [%]	WMS: \emptyset ($\sigma/\sigma/\varphi$)	WMS normiert [%]	Tegument-schäden	Darm-dilatation		
		10	10	-	-	350	10	169	2,9(2,9/-/-)	97				
		6	5	2	0	71	11	18	2,1(2,5/1,5/1,5)	70			$\varphi/72/+$	$\varphi/24/+$
		2	0	0	0	0	-	0	1,25(1/1,5/1,13)	42				
				9,2 \pm 0,6			237,6 \pm 29,9		88,0 \pm 3,5					
				2,2 \pm 1,1			26,0 \pm 11,9		52,6 \pm 4,8					
				0,6 \pm 0,4		0,0 \pm 0,0		36,4 \pm 2,0						
 SchI-33.064	5	10	9	-	-	200	14	108	3(3/-/-)	100		$\varphi/72/+$		
		9	9	1	1	148	18	36	2,95(3/3/2)	98				
		7	7	3	0	139	8	34	2,35(2,71/2/1)	78				
		10	10	-	-	256	6	156	3(3/-/-)	100				
		8	8	2	2	416	8	103	2,9(2,88/3/3)	97				
		7	7	3	3	246	6	91	2,9(2,86/3/3)	97				
 SchI-33.063	10	8	8	2	2	307	14	105	3(3/3/3)	100		$\varphi/72/(+)$		
		7	7	0	0	120	21	40	2,7(3/2/2)	90				
		5	5	3	5	112	13	37	2,1(2,4/1,6/2)	70				
		10	10	-	-	163	7	117	3(3/-/-)	100		$\sigma/72/(+)$	$\varphi/48/(+)$	
		9	8	1	1	191	12	60	2,55(2,56/3/2)	85				
		7	4	0	0	171	14	38	1,85(1,86/1,33/2,33)	62				
		7	7	3	2	156	20	89	2,85(2,86/3/2,67)	95				
		5	4	3	2	166	21	65	2,5(2,6/2,4/2,4)	83				
		4	4	3	3	75	24	19	2,55(2,75/2,5/2,33)	85				
		10	9	-	-	229	4	149	2,8(2,8/-/-)	95		$\varphi/72/+$	$\varphi/48/+$	
		5	2	0	0	128	14	47	1,8(2/2/1,2)	60				
		3	0	0	0	48	31	32	1,4(1,67/1,29/1,29)	47				

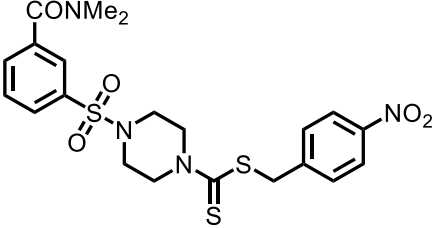
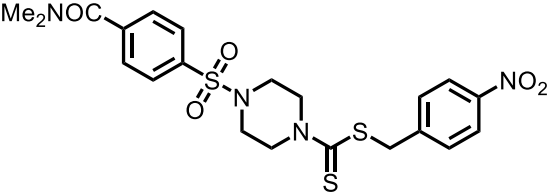
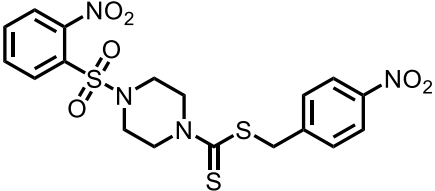
Strukturformel	Konzentration [μM]	Paare (von 10)	Paare angesaugt	♂ angesaugt	♀ angesaugt	absolute Eizahl	Deformation [%]	Eizahl normiert [%]	WMS: \emptyset (♀/♂/♀)	WMS normiert [%]	Tegument-schäden	Darm-dilatation
 Schl-33.063		8	7	1	0	211	15	106	2,75(2,88/2,5/2)	92	♀/72/(+)	♀/48/+
		6	0	0	0	48	23	20	1,9(2/2/1,5)	63		
		4	0	0	1	18	22	15	1,4(1,5/1,5/1,17)	47		
						8,6 ± 0,6	213,2 ± 27,2			96,4 ± 1,6		
					6,4 ± 0,8	130,6 ± 24,3			76,2 ± 6,1			
				4,6 ± 0,7	84,8 ± 26,5			62,2 ± 7,2				
	5	10	9	-	-	130	15	74	2,9(2,9/-/-)	97		
		8	6	1	2	319	10	125	2,7(2,88/2/2)	90		
		8	7	1	1	369	15	95	2,65(2,63/2,5/3)	88		
 Schl-33.060	10	10	10	-	-	228	14	78	3(3/-/-)	100		
		10	10	-	-	469	9	157	3(3/-/-)	100		
		8	7	2	2	341	12	112	3(3/3/3)	100		
 Schl-33.070		10	10	-	-	404	12	139	3(3/-/-)	100	♀/72/+	♀/72/+
		9	9	1	1	274	16	92	3(3/3/3)	100		
		4	2	0	0	65	12	21	1,85(2/1,67/1,83)	62		
	10	9	8	1	0	126	8	91	2,7(2,67/3/3)	90		
		5	5	5	4	114	14	36	2,8(2,8/3/2,6)	93		
		6	5	4	3	237	15	52	2,85(2,83/3/2,75)	95		
		7	7	2	0	66	21	38	2,7(2,86/2,67/2)	90		
		5	4	3	1	47	30	18	2,55(2,8/2/2,6)	85	♂/72/(+)	
		2	0	0	2	57	21	15	1,55(1,5/1,63/1,5)	52		
		9	9	1	1	110	15	63	2,9(2,89/3/3)	97		
7	7	1	2	135	17	53	2,85(3/2,33/2,67)	95	♀/72/(+)			
7	3	1	0	155	27	40	2,3(2,43/1,67/2,33)	77				

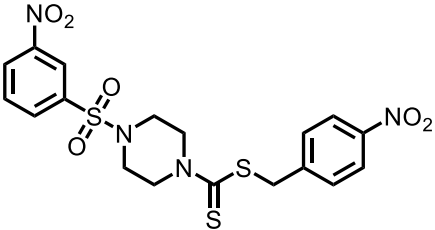
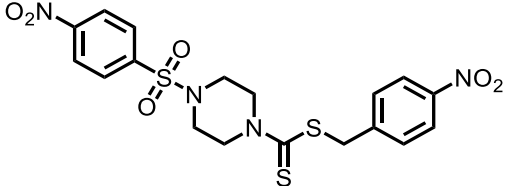
Strukturformel	Konzentration [μM]	Paare (von 10)	Paare angesaugt	σ angesaugt	φ angesaugt	absolute Eizahl	Deformation [%]	Eizahl normiert [%]	WMS: \emptyset ($\varphi/\sigma/\varphi$)	WMS normiert [%]	Tegument-schäden	Darm-dilatation	
 <p>Schl-33.070</p>		10	9	-	-	183	10	119	2,9(2,9/-/-)	97			
		10	10	-	-	244	16	89	2,9(2,9/-/-)	97			
		9	9	1	1	175	6	116	2,8(2,78/3/3)	93			
		10	10	-	-	250	10	125	3(3/-/-)	100			
		10	10	-	-	340	9	143	2,9(2,9/-/-)	97			
		10	10	-	-	101	5	86	2,9(2,9/-/-)	97			
			9,2 \pm 0,5			189,8 \pm 50,1			95,7 \pm 1,9				
			7,7 \pm 1,0			192,3 \pm 45,4			94,5 \pm 2,1				
			6,3 \pm 1,2			131,7 \pm 28,6			79,3 \pm 7,7				
	 <p>Schl-33.059</p>	10	10	10	-	-	424	19	146	3(3/-/-)	100		
9			9	1	0	70	17	23	2,75(2,78/3/2)	92	φ /48/+	φ /48/++	
4			2	0	0	1	0	<1(0,3)	2,1(2,25/2,67/1,33)	70			
10			10	-	-	681	12	520	3(3/-/-)	100			
8			7	2	1	326	12	73	2,4(2,5/2/2)	80	σ /48/+	φ /48/++	
5			5	3	0	112	33	20	1,65(2/1,6/1)	55			
10			10	-	-	485	13	276	3(3/-/-)	100			
8			6	2	0	311	22	47	2,5(2,5/3/2)	83	σ /48/+	φ /48/+	
5			5	2	0	13	31	2	1,5(1,6/1,6/1,2)	50			
10			9	-	-	332	8	239	2,9(2,9/-/-)	97			
9			5	1	1	38	29	12	2,25(2,22/2/3)	75		φ /48/++	
4			1	0	0	7	57	2	2,6(2,5/2,67/2,67)	87			
9			9	1	1	228	13	130	2,85(2,89/3/2)	95			
8			6	0	2	258	22	101	2,45(2,5/2/2,5)	82	φ /72/+	φ /48/(+)	
2			2	3	1	25	28	6	1,65(2/1,63/1,5)	55			
10			9	-	-	246	14	140	2,9(2,9/-/-)	97			
9	6	0	0	358	7	140	2,6(2,67/3/3)	87		φ /48/+			
6	4	0	1	151	21	39	2,15(2,17/2/2,25)	72					
		9,8 \pm 0,2			399,3 \pm 69,5			98,2 \pm 0,9					
		8,5 \pm 0,2			226,8 \pm 56,4			83,2 \pm 2,4					
		4,3 \pm 0,6			51,5 \pm 26,0			64,8 \pm 5,7					

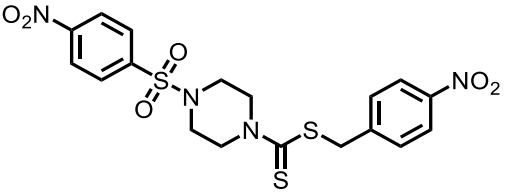
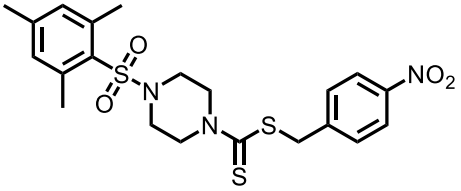
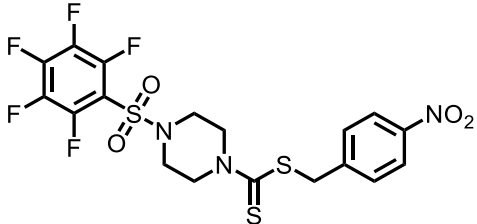
Strukturformel	Konzentration [μM]	Paare (von 10)	Paare angesaugt	σ angesaugt	φ angesaugt	absolute Eizahl	Deformation [%]	Eizahl normiert [%]	WMS: \emptyset ($\varphi/\sigma/\varphi$)	WMS normiert [%]	Tegument-schäden	Darm-dilatation
 <p>Schl-33.059</p>	5	10 9 10	10 9 10	- 1 -	- 1 -	658 579 535	11 10 81	502 129 97	3(3/-/-) 3(3/3/3) 2,9(2,9/-/-)	100 100 97	$\sigma/72/(+)$	$\varphi/72/(+)$
 <p>Schl-33.466</p>	10	10 9 8	10 9 7	- 0 2	- 1 2	236 356 201	3 8 6	144 88 74	3(3/-/-) 2,95(3/2/3) 2,9(2,88/3/3)	100 98 97		
 <p>Schl-33.069</p>	10	10 10 10	9 9 10	- - -	- - -	102 415 785	7 14 14	95 130 240	3(3/-/-) 2,9(2,9/-/-) 3(3/-/-)	100 97 100		

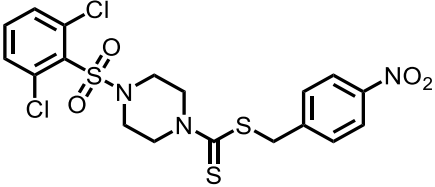
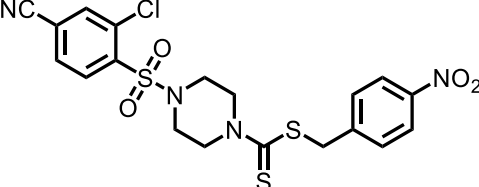
Strukturformel	Konzentration [μM]	Paare (von 10)	Paare angesaugt	σ angesaugt	q angesaugt	absolute Eizahl	Deformation [%]	Eizahl normiert [%]	WMS: \emptyset ($\text{q}/\sigma/\text{q}$)	WMS normiert [%]	Tegument-schäden	Darm-dilatation
 <p>Schl-33.068</p>	10	9 10 10	9 10 10	1 - -	1 - -	169 559 875	10 11 19	158 175 268	3(3/3/3) 2,9(2,9/-/-) 3(3/-/-)	100 97 100		
 <p>Schl-33.215</p>	10	10 10 10	10 8 8	- - -	- - -	193 138 118	20 24 25	58 42 39	2,7(2,7/-/-) 2,8(2,8/-/-) 2,8(2,8/-/-)	90 93 93		
 <p>Schl-33.556</p>	10	10 8 4 10 10 3 10 9 7 8 8 3	9 2 0 10 5 0 10 9 5 8 3 0	- 1 0 - - 0 - 1 1 1 1 0 0 0	- 0 0 - - 1 - 1 1 0 0 1	194 196 9 166 302 110 172 404 248 182 32 21	5 6 0 11 8 10 12 8 10 8 41 0	140 61 2 107 96 26 98 158 64 118 12 14	2,9(2,9/-/-) 2,4(2,38/2,5/2,5) 1,6(1,75/1,5/1,5) 2,9(2,9/-/-) 2,2(2,2/-/-) 1,55(1,67/1,57/1,43) 2,9(2,9/-/-) 2,8(2,78/3/3) 2,3(2,29/2,33/2,33) 2,8(2,88/2,5/2,5) 1,6(2/2/1,5) 2(1,67/2/2,29)	97 80 53 97 73 52 97 93 77 93 53 67	$\text{q}/72+$	$\text{q}/48+$ $\text{q}/48+$ $\text{q}/72(+)$ $\sigma/72+$ $\text{q}/72+$

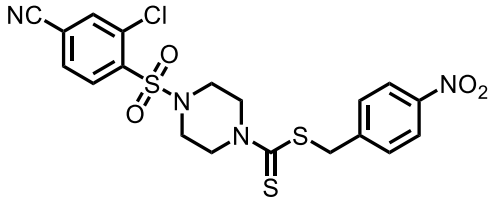
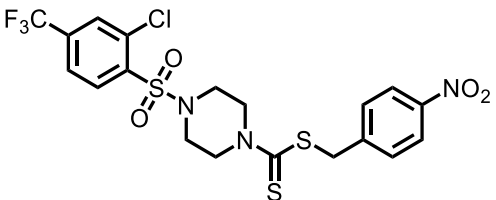
Strukturformel	Konzentration [μM]	Paare (von 10)	Paare angesaugt	♂ angesaugt	♀ angesaugt	absolute Eizahl	Deformation [%]	Eizahl normiert [%]	WMS: \emptyset (♀/♂/♀)	WMS normiert [%]	Tegument-schäden	Darm-dilatation
 Schi-33.556		10	10	-	-	191	6	124	2,9(2,9/-/-)	97	♀/72/+	♀/48/+
		9	5	0	0	196	9	71	2,2(2,22/2/2)	73		
		3	0	0	0	13	0	9	1,85(2/1,71/1,86)	62		
				9,6 ± 0,4			181,0 ± 5,4			96,2 ± 0,8		
	5	10	10	-	-	198	7	128	3(3/-/-)	100		
		10	10	-	-	380	6	120	3(3/-/-)	100		
		10	9	-	-	504	6	120	2,9(2,9/-/-)	97		
				8,8 ± 0,4			226,0 ± 62,0			74,4 ± 6,5		
 Schi-33.441	10	8	8	2	0	91	12	31	2,4(2,25/3/3)	80		
		6	6	4	0	151	11	36	2,6(2,5/2,5/3)	87		
		8	7	0	0	182	13	47	2,85(2,88/2,5/3)	95		
				4,0 ± 0,8			80,2 ± 45,9			62,2 ± 4,6		
 Schi-33.577	10	9	9	1	1	225	9	137	3(3/3/3)	100		
		7	7	3	3	302	6	75	3(3/3/3)	100		
		8	8	2	1	258	9	95	2,95(3/2,5/3)	98		

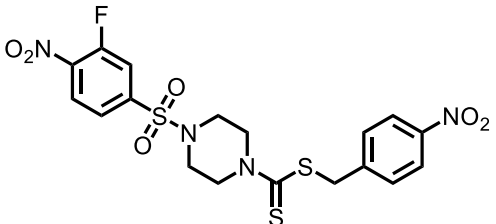
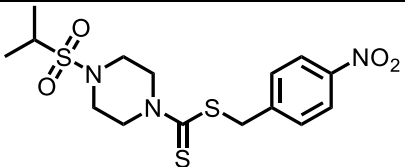
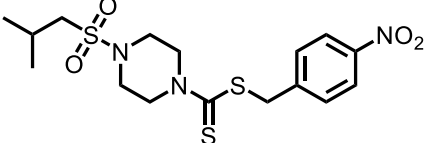
Strukturformel	Konzentration [μM]	Paare (von 10)	Paare angesaugt	♂ angesaugt	♀ angesaugt	absolute Eizahl	Deformation [%]	Eizahl normiert [%]	WMS: \emptyset (♀/♂/♀)	WMS normiert [%]	Tegument-schäden	Darm-dilatation
 <p>Schl-33.342</p>	10	10 10 10	10 9 9	- - -	- - -	396 511 581	9 9 11	135 121 150	3(3/-/-) 3(3/-/-) 2,9(2,9/-/-)	100 100 97		
 <p>Schl-33.563</p>	10	10 10 10	9 9 7	- - -	- - -	354 626 542	7 5 9	215 114 164	2,9(2,9/-/-) 2,9(2,9/-/-) 2,8(2,8/-/-)	97 97 93		
 <p>Schl-33.052</p>	10	10 10 10	10 10 10	- - -	- - -	355 451 274	26 22 8	189 240 146	3(3/-/-) 3(3/-/-) 2,9(2,9/-/-)	100 100 97		

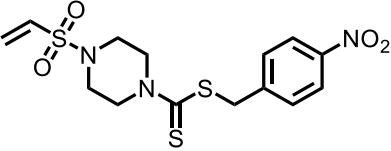
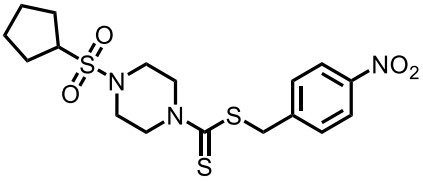
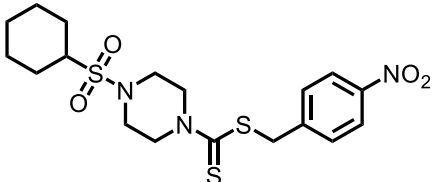
Strukturformel	Konzentration [μM]	Paare	Paare angesaugt	σ° angesaugt	φ angesaugt	absolute Eizahl	Deformation [%]	Eizahl normiert [%]	WMS: \emptyset ($\varphi^{\circ}/\sigma^{\circ}/\varphi$)	WMS normiert [%]	Tegument-schäden	Darm-dilatation
		(von 10)										
 <p>Schl-33.055</p>	10	10	10	-	-	319	26	170	3(3/-/-)	100		
		7	7	1	0	117	22	62	2,25(2,57/2/1)	75	$\varphi^{\circ}/48/+$	
		1	0	3	0	1	0	<1(0,5)	1,25(1/1,33/1,22)	42		
		9	9	1	0	219	18	75	3(3/3/3)	100		
		9	8	1	0	109	20	36	2,4(2,44/2/2)	80	$\sigma^{\circ}/72/(+)$	$\varphi/48/++$
	3	3	0	0	15	40	5	1,45(3/1,29/1,14)	48			
	9	9	0	0	399	5	305	2,9(2,88/3/3)	97			
	8	8	2	2	311	10	69	2,15/2,25/2/1,5)	72		$\varphi/48/++$	
	2	2	5	0	25	12	5	1,2(1/1,25/1,25)	40			
			9,3 \pm 0,3				312,3 \pm 52,1			99,0 \pm 1,7		
		8,0 \pm 0,6				179,0 \pm 66,0			75,7 \pm 4,0			
		2,0 \pm 0,6				13,7 \pm 7,0			43,3 \pm 4,2			
 <p>Schl-33.051</p>	5	10	9	-	-	236	15	81	3(3/-/-)	100		
		10	9	-	-	488	16	163	2,6(2,6/-/-)	87		
		9	9	1	1	311	16	102	3(3/3/3)	100		
	10	9	3	0	0	231	20	123	2(2/2/2)	67		
		0	-	3	0	6	33	3	1,25(-/1,5/1)	42	$\varphi^{\circ}/48/+$	
		0	-	0	0	2	0	1	1(-/1/1)	33		
		9	5	0	0	110	9	38	2,55(2,56/3/2)	85		
		0	-	0	0	0	-	0	1,75(-/1,3/2,2)	58	$\varphi^{\circ}/48/+$	$\varphi/72/+$
		0	-	0	0	2	0	<1(0,6)	1,35(-/1,4/1,3)	45		
9	5	0	0	129	6	98	2,65(2,67/2/3)	88				
1	0	0	0	2	0	<1(0,4)	1,55(2/1,67/1,33)	52	$\sigma^{\circ}/24/(+)$			
0	-	0	0	0	-	0	1,1(-/1,1/1,1)	37				
9	6	0	0	130	6	94	2,55(2,56/2/3)	85				
1	0	0	0	9	11	3	2,25(2/2,33/2,22)	75	$\varphi^{\circ}/48/+$			
0	-	0	0	2	0	<1(0,4)	1,6(-/1,6/1,6)	53				
		9,0 \pm 0,0				150,0 \pm 27,4			81,3 \pm 4,8			
		0,5 \pm 0,3				4,3 \pm 2,0			56,8 \pm 6,9			
		0,0 \pm 0,0				1,5 \pm 0,5			42,0 \pm 4,4			

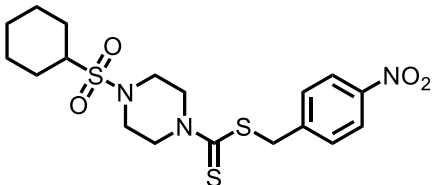
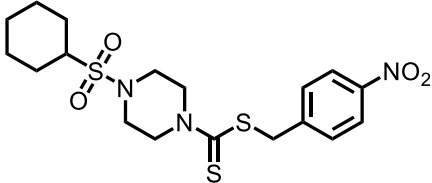
Strukturformel	Konzentration [μM]	Paare (von 10)	Paare angesaugt	σ^7 angesaugt	σ^8 angesaugt	absolute Eizahl	Deformation [%]	Eizahl normiert [%]	WMS: \emptyset ($\sigma^7/\sigma^8/\sigma^9$)	WMS normiert [%]	Tegument-schäden	Darm-dilatation
 <p>Schl-33.051</p>	5	10 9 9	10 7 9	- 1 1	- 0 0	183 216 301	12 17 14	63 72 99	3(3/-/-) 2,75(2,78/3/2) 2,75(2,78/3/2)	100 92 92		
 <p>Schl-33.542</p>	10	9 5 6	7 2 3	1 4 3	1 3 3	90 65 133	10 12 16	55 12 40	2,75(2,78/2/3) 2,75(2,6/2,8/3) 2,55(2,5/2,25/3)	92 92 85		
 <p>Schl-33.532</p>	10	9 6 4 10 7 2	6 4 1 8 6 2	1 3 3 - 3 7	0 0 0 - 1 0	37 24 52 93 113 68	6 29 15 14 7 32	22 4 16 67 35 15	2,65(2,67/2/3) 2,6(2,5/2,5/3) 2,45(2,25/2,17/3) 2,7(2,7/-/-) 2,75(2,71/3/2,67) 2,65(2,5/2,75/2,63)	88 87 82 90 92 88		

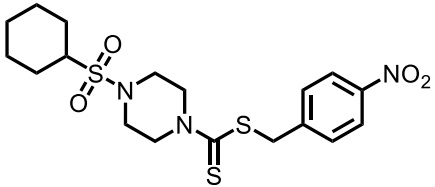
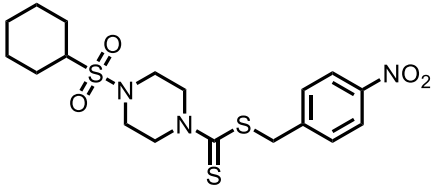
Strukturformel	Konzentration [μM]	Paare (von 10)	Paare angesaugt	σ^7 angesaugt	Q angesaugt	absolute Eizahl	Deformation [%]	Eizahl normiert [%]	WMS: \emptyset ($\text{Q}^7/\sigma^7/\text{Q}$)	WMS normiert [%]	Tegument-schäden	Darm-dilatation
 <p>Schl-33.543</p>	10	10	9	-	-	78	10	47	2,9(2,9/-/-)	97		
		10	6	-	-	198	12	36	2,8(2,8/-/-)	93		
		10	5	-	-	252	8	73	2,5(2,5/-/-)	83		
 <p>Schl-33.541</p>	10	8	7	2	2	203	15	76	2,9(2,88/3/3)	97		
		5	2	1	0	52	31	34	1,8(1,6/1,6/2,4)	60	$\text{Q}^7/48/+$	$\text{Q}/48/+$
		0	-	1	0	1	100	<1(0,8)	1,2(-/1,2/1,2)	40		
		10	10	-	-	102	7	62	2,8(2,8/-/-)	93		
		3	3	6	0	157	10	29	1,8(2/1,86/1,57)	60	$\text{Q}^7/72/(+)$	$\text{Q}/48/+$
		0	-	0	0	0	-	0	1,65(-/1,9/1,4)	55		
		8	7	1	1	196	9	90	2,8(2,88/2,5/2,5)	93		
		1	0	3	0	18	61	5	2,1(2/1,78/2,44)	70	$\text{Q}^7/72/(+)$	$\text{Q}/48/++$
		0	-	0	0	0	-	0	1,15(-/1,2/1,1)	38		
		9	9	1	0	339	9	244	2,9(2,89/3/3)	97		
		9	8	1	0	215	10	67	2,9(2,89/3/3)	97		$\text{Q}/72/(+)$
		7	5	0	0	87	22	19	2,45(2,43/2,67/2,33)	82		
		9	8	1	1	264	10	170	2,85(2,89/3/2)	95		
7	6	0	0	76	8	24	2,15(2,43/1,67/1,33)	72		$\text{Q}/24/+$		
1	0	0	0	1	0	<1(0,2)	1,4(2/1,33/1,33)	47				
10	10	-	-	163	9	105	2,9(2,9/-/-)	97				
3	1	2	0	20	5	6	1,85(2,33/1,57/1,71)	62	$\sigma^7/72/(+)$	$\text{Q}/24/+$		
0	-	0	0	0	-	0	1,25(-/1,3/1,2)	42				
		9,0 \pm 0,4			211,2 \pm 33,5			95,3 \pm 0,8				
		4,7 \pm 1,2			89,7 \pm 32,6			70,2 \pm 5,8				
		1,3 \pm 1,2			14,8 \pm 14,4			50,7 \pm 6,7				

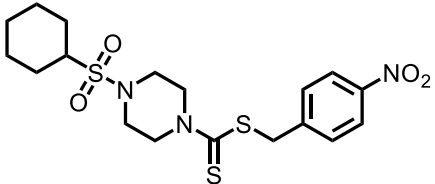
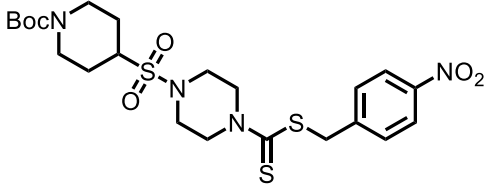
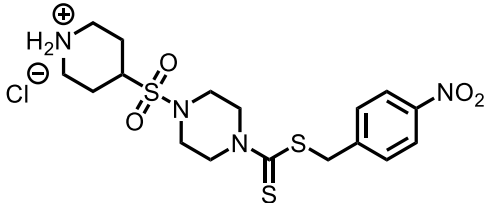
Strukturformel	Konzentration [μM]	Paare (von 10)	Paare angesaugt	σ angesaugt	q angesaugt	absolute Eizahl	Deformation [%]	Eizahl normiert [%]	WMS: \emptyset ($\text{q}/\sigma/\text{q}$)	WMS normiert [%]	Tegument-schäden	Darm-dilatation	
 <p>Schl-33.541</p>	5	10	10	-	-	146	5	67	2,9(2,9/-/-)	97			
		10	9	-	-	294	6	73	2,9(2,9/-/-)	97			
		10	10	-	-	174	9	42	2,9(2,9/-/-)	97			
				8,5 \pm 0,6				174,0 \pm 31,1		95,5 \pm 1,2			
 <p>Schl-33.549</p>	10	8	8	1	0	91	6	55	2,9(2,88/3/3)	97			
		7	6	3	1	168	16	31	2,8(2,86/2,67/2,67)	93			
		5	5	0	0	75	25	23	2,45(2,4/2/3)	82			
		6	6	3	2	74	16	42	2,7(2,83/2,5/2,5)	90		$\text{q}/72/(+)$	
		4	4	4	4	36	19	14	2,5(2,5/2,67/2,33)	83			
		2	1	0	2	51	20	13	1,55(1,5/1,38/1,75)	52			
		9	8	1	0	218	6	142	2,9(3/2/2)	97		$\sigma/72/(+)$	$\text{q}/48/(+)$
		3	2	5	3	124	15	45	2,6(2,67/2,71/2,43)	87			
		3	3	4	0	53	11	35	1,9(2,67/2,14/1)	63			
		9	9	1	0	206	8	134	2,85(2,89/3/2)	95			
		7	7	3	2	166	15	60	2,8(2,86/3/2,33)	93			
		6	6	2	0	89	15	59	2,15(2,67/2/1,75)	72			
		10	10	-	-	269	11	175	2,9(2,9/-/-)	97		$\text{q}/72/(+)$	
		8	6	2	0	253	20	92	2,7(2,75/2,5/2,5)	90			
		9	4	0	0	120	43	79	2,3(2,33/2/2)	77			
		9	9	1	1	186	8	93	2,9(2,89/3/3)	97			$\text{q}/48/(+)$
7	6	2	0	146	10	61	2,65(2,86/2/1,67)	88					
7	3	1	0	28	32	24	1,85(2/1,33/1,67)	62					
		6,0 \pm 0,8				148,8 \pm 28,8		89,0 \pm 1,6					
		5,3 \pm 1,1				69,3 \pm 13,3		68,0 \pm 4,5					

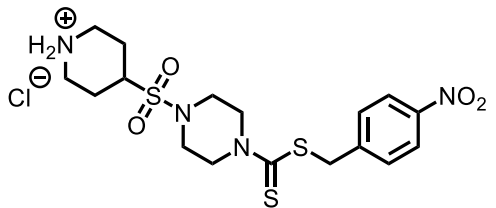
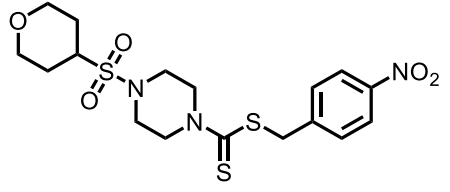
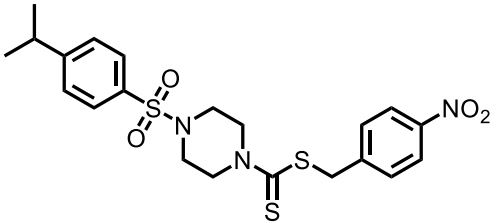
Strukturformel	Konzentration [μM]	Paare (von 10)	Paare angesaugt	♂ angesaugt	♀ angesaugt	absolute Eizahl	Deformation [%]	Eizahl normiert [%]	WMS: \emptyset (♀/♂/♀)	WMS normiert [%]	Tegument-schäden	Darm-dilatation		
 Schi-33.588	5	10	9	-	-	141	6	68	2,9(2,9/-/-)	97				
		5	3	3	0	137	10	34	2,7(2,6/2,6/3)	90				
		3	2	4	6	33	36	14	2,5(2,33/2,29/2,86)	83				
		9	9	1	0	103	11	74	2,9(2,89/3/3)	97				
		6	6	3	0	169	9	53	2,65(2,67/2,5/2,67)	88				
		5	4	5	3	97	9	21	2,75(2,6/3/2,2,8)	92				
 Schi-33.611	10	8	7	1	0	203	7	76	2,75(2,75/2,5/3)	92				
		8	8	0	0	178	10	118	2,6(2,63/2/3)	87				
		8	6	2	0	169	11	127	2,7(2,75/2/3)	90				
		7	2	2	0	129	16	48	2,05(1,86/2/3)	68				
 Schi-33.610	10	0	-	0	0	4	50	3	1,4(-/1,4/1,4)	47	♀/48/+	♀/48/++		
		0	-	0	0	0	-	0	0	1(-/1/1)	33			
		7	5	0	2	183	1	108	2,55(2,57/2,33/2,66)	85				
		3	0	0	0	8	0	3	1,15(1/1,14/1,29)	38	♂/48/+	♀/24/++		
		1	0	0	0	0	-	0	0,9(1/0,7/0,9)	30				
		7	5	3	0	62	11	38	2,7(2,71/3/2,33)	90				
		3	1	0	0	2	0	<1(0,5)	1,2(1,33/1,14/1,14)	40	♀/48/+	♀/24/++		
		0	-	0	0	0	-	0	1,15(-/1,1/1,2)	38				
				7,0 ± 0,0			124,7 ± 35,0			81,0 ± 6,7				
				2,0 ± 1,0			4,7 ± 1,8			41,7 ± 2,7				
		0,3 ± 0,3			0,0 ± 0,0			33,7 ± 2,3						
5	10	8	-	-	107	3	63	2,9(2,9/-/-)	97					
	7	7	2	1	113	10	40	2,7(2,71/2,33/3)	90					
	7	7	0	0	91	18	48	2,55(2,71/1,67/2,67)	85					

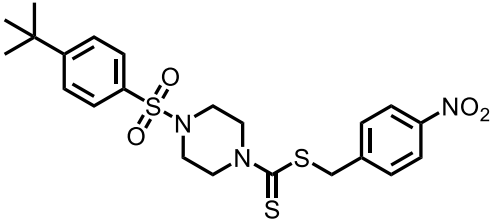
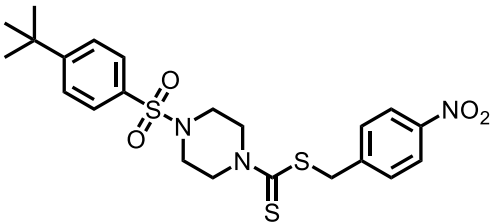
Strukturformel	Konzentration [μM]	Paare (von 10)	Paare angesaugt	σ^7 angesaugt	Q angesaugt	absolute Eizahl	Deformation [%]	Eizahl normiert [%]	WMS: \emptyset ($\text{Q}^7/\sigma^7/\text{Q}$)	WMS normiert [%]	Tegument-schäden	Darm-dilatation
 <p>Schl-33.647</p>	10	9 5 4	9 4 4	1 4 4	1 5 5	87 259 266	7 11 21	33 172 200	2,7(2,67/3/3) 2,85(2,8/2,8/3) 2,4(2,5/2/2,67)	90 95 80		
 <p>Schl-33.600</p>	10	5 2 2 4 0 0 6 0 0	5 1 0 4 - - 6 - -	5 3 0 4 3 0 4 1 0	1 0 0 0 0 0 1 0 0	94 17 1 52 2 0 72 32 1	10 6 100 8 0 - 7 13 100	45 4 <1(0,4) 17 <1(0,8) 0 52 10 <1(0,2)	2,6(2,6/2,6/2,6) 1,55(2/1,75/1,13) 0,9(1/1/0,75) 2,45(2,25/2,83/2,33) 1,2(-/1,4/1) 1,05(-/1,1/1) 2,3(2,33/2,5/2) 1,6(-/1,7/1,5) 1,05(-/1/1,1)	87 52 30 82 40 35 77 53 35	$\text{Q}^7/72/(+)$	$\text{Q}^7/48/++$ $\text{Q}^7/24/+$ $\text{Q}^7/24/++$
						$5,0 \pm 0,6$ $0,7 \pm 0,7$ $0,7 \pm 0,7$	$72,7 \pm 12,1$ $17,0 \pm 8,7$ $0,7 \pm 0,3$	$82,0 \pm 2,9$ $48,3 \pm 4,2$ $33,3 \pm 1,7$				
	5	9 6 5	9 5 4	1 3 2	1 3 5	79 133 89	8 12 28	26 55 32	3(3/3/3) 2,85(2,83/2,75/2) 2,65(2,6/2,4/3)	100 95 88		$\text{Q}^7/72/(+)$
 <p>Schl-33.071</p>	10	9 5 0 3 0 0	3 0 - 1 - -	0 0 0 4 0 0	0 0 0 0 0 0	33 0 0 99 1 1	76 - - 25 0 0	18 0 0 36 <1(0,2) <1(0,2)	1,3(1,33/1/1) 1,2(1,4/1/1) 1(-/1/1) 1,65(2/1,71/1,29) 1,25(-/1,3/1,2) 0,95(-/0,9/1)	43 40 33 55 42 32	$\sigma^7/48/+$ $\sigma^7/48/++$	$\text{Q}^7/24/+++$ $\text{Q}^7/24/+++$

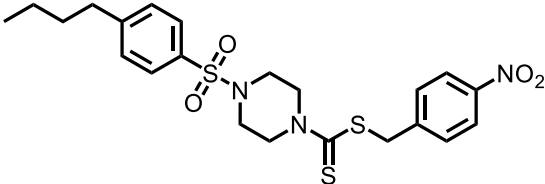
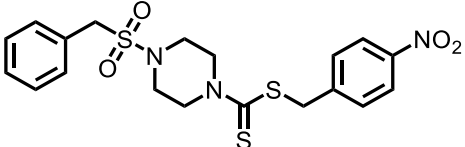
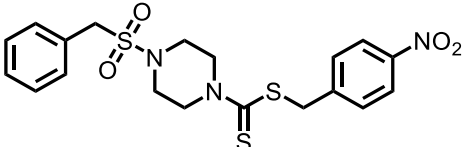
Strukturformel	Konzentration [μM]	Paare (von 10)	Paare angesaugt	σ° angesaugt	q angesaugt	absolute Eizahl	Deformation [%]	Eizahl normiert [%]	WMS: \emptyset ($\sigma^{\circ}/\sigma^{\circ}/\text{q}$)	WMS normiert [%]	Tegument-schäden	Darm-dilatation
		1	0	7	0	127	13	91	1,9(2/2,11/1,67)	63	$\text{q}^{\circ}/72/+$	$\text{q}^{\circ}/24/+++$
		0	-	0	0	0	-	0	1,25(-/1,3/1,2)	42		
		0	-	0	0	0	-	0	1(-/1/1)	33		
		1	0	1	0	67	8	20	1,35(2/1,44/1,11)	45	$\text{q}^{\circ}/48/++$	$\text{q}^{\circ}/24/+++$
1	0	0	0	3	0	<1(0,9)	1,05(1/1/1,1)	35				
0	-	0	0	0	-	0	0,75(-/0,8/0,7)	25				
		3,5 \pm 1,9			81,5 \pm 20,3			51,5 \pm 4,7				
		1,5 \pm 1,2			1,0 \pm 0,7			39,8 \pm 1,7				
		0,0 \pm 0,0			0,3 \pm 0,3			30,8 \pm 1,9				
 <p>Schl-33.071</p>	5	7	7	2	2	156	78	86	2,55(2,71/2,33/2)	85	$\text{q}^{\circ}/48/+$	$\text{q}^{\circ}/24/++$
		1	0	0	0	13	38	4	1,4(-/1,6/1,2)	47		
		1	0	1	0	0	-	0	1,1(1/1,11/1,11)	37		
		10	9	-	-	272	6	99	2,8(2,8/-/-)	93	$\text{q}^{\circ}/24/++$	
0	-	0	0	19	26	37	1,45(-/1,5/1,4)	48				
0	-	6	0	0	-	0	1,3(-/1,4/1,2)	43				
9	9	1	0	85	7	61	2,8(2,89/3/1)	93	$\text{q}^{\circ}/24/++$			
2	2	5	0	65	11	20	1,95(2/2,5/1,88)	65				
1	0	3	0	1	0	<1(0,2)	1,15(1/1,22/1,11)	38				
		8,7 \pm 0,9			171,0 \pm 54,5			90,3 \pm 2,7				
		1,0 \pm 0,6			32,3 \pm 16,4			53,3 \pm 5,8				
		0,7 \pm 0,3			0,3 \pm 0,3			39,3 \pm 1,9				
 <p>Schl-33.071</p>	4	9	9	1	0	147	3	48	2,95(3/3/2)	98	$\text{q}^{\circ}/48/++$	
		1	1	9	0	11	18	5	2,1(2/2,56/1,67)	70		
		0	-	3	0	1	0	<1(0,4)	1,55(-/1,9/1,2)	52		
		9	9	1	1	59	16	34	2,9(2,89/3/3)	97	$\text{q}^{\circ}/48/(+)$	
6	3	4	3	59	7	23	2,6(2,5/3/2,5)	87				
6	4	4	2	47	28	12	2,3(2,5/2,5/1,5)	77				
6	6	4	0	165	19	94	2,65(2,67/3/2,25)	88	$\text{q}^{\circ}/48/+$			
0	-	6	0	8	25	3	1,9(-/2,4/1,4)	63				
0	-	4	0	0	-	0	1,35(-/1,5/1,2)	45				

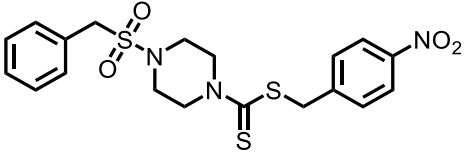
Strukturformel	Konzentration [μM]	Paare (von 10)	Paare angesaugt	♂ angesaugt	♀ angesaugt	absolute Eizahl	Deformation [%]	Eizahl normiert [%]	WMS: \emptyset ($\sigma^2/\sigma^2/\sigma^2$)	WMS normiert [%]	Tegument-schäden	Darm-dilatation	
		10	10	-	-	125	7	81	2,8(2,8/-/-)	93		♀/24/++	
		1	0	8	0	45	16	16	2,5(2/2,67/2,44)	83			
		0	-	4	0	1	0	<1(0,7)	1,35(-/1,4/1,3)	45			
		7	7	3	2	189	9	123	2,65(2,71/3/2)	88			
		3	3	5	0	10	40	4	2,5(2,67/2,57/2,29)	83		♀/24/++	
		2	2	2	0	0	-	0	1,3(1,5/1,25/1,25)	43			
		8,2 \pm 0,7			137,0 \pm 22,2			92,8 \pm 2,1					
		2,2 \pm 1,1			26,6 \pm 10,6			77,2 \pm 4,6					
		1,6 \pm 1,2			9,8 \pm 9,3			52,4 \pm 6,3					
		 <p>Schl-33.071</p>	3	8	8	2	2	78	8	25	2,9(2,88/3/3)	97	♀/48/+
				5	5	5	2	33	15	14	2,8(2,8/3/2,6)	93	
				1	1	2	0	0	-	0	2,4(2/2,78/2,11)	80	
9	9			1	1	117	10	67	2,9(2,89/3/3)	97			
		5	4	5	3	43	12	17	2,5(2,4/2,6/2,6)	83		♀/48/+	
		2	2	7	3	12	17	3	2(2/2,38/1,63)	67			
		10	10	-	-	102	14	58	3(3/-/-)	100			
		10	10	-	-	34	29	13	2,7(2,7/-/-)	90			
		3	3	7	1	7	57	2	2,1(2/2,71/1,57)	70		♀/48/+	
		9,0 \pm 0,6			99,0 \pm 11,4			98,0 \pm 1,0					
		6,7 \pm 1,7			36,7 \pm 3,2			88,7 \pm 3,0					
		2,0 \pm 0,6			6,3 \pm 3,5			72,3 \pm 3,9					
 <p>Schl-33.071</p>		2	9	9	1	1	84	12	27	2,9(2,89/3/3)	97	♀/72/+	
			6	6	4	3	93	12	39	2,9(2,83/3/3)	97		
			2	2	8	2	16	38	6	2,5(2,5/2,63/2,38)	83		
			10	9	-	-	145	12	82	2,9(2,9/-/-)	97		
			9	9	1	1	197	8	77	2,9(2,89/3/3)	97		
			9	9	0	1	306	7	79	2,95(3/2/3)	98		

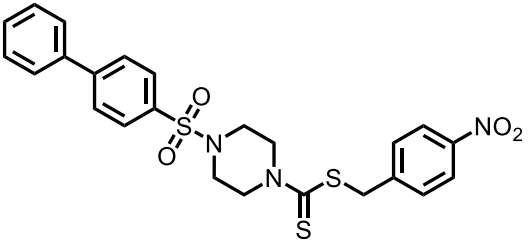
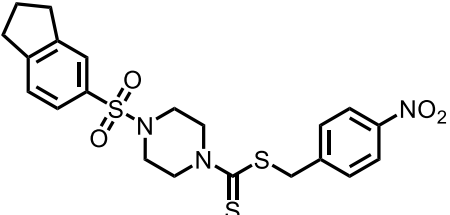
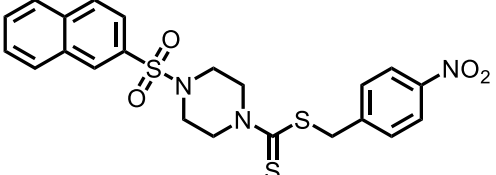
Strukturformel	Konzentration [μM]	Paare (von 10)	Paare angesaugt	♂ angesaugt	♀ angesaugt	absolute Eizahl	Deformation [%]	Eizahl normiert [%]	WMS: \emptyset (♀/♂/♀)	WMS normiert [%]	Tegument-schäden	Darm-dilatation
 <p>Schi-33.071</p>		9	9	0	1	125	13	71	2,95(3/2/3)	98		
		8	8	1	0	89	15	35	2,8(3/2,5/1,5)	93		♀/72/(+)
		6	6	2	0	80	21	21	2,55(2,67/2,5/2,25)	85		
			9,3 ± 0,3 7,7 ± 0,9 5,7 ± 2,0			118,0 ± 18,0 126,3 ± 35,4 134,0 ± 88,8			97,3 ± 0,3 95,7 ± 1,3 88,7 ± 4,7			
	1	10	9	-	-	138	11	50	3(3/-/-)	100		
		10	10	-	-	329	13	64	3(3/-/-)	100		
		10	10	-	-	371	10	74	3(3/-/-)	100		
 <p>Schi-33.619</p>		10	10	-	-	269	4	101	3(3/-/-)	100		
		10	10	-	-	293	10	194	2,8(2,8/-/-)	93		
		9	9	0	1	282	14	212	2,65(2,67/2/3)	88		
 <p>Schi-33.645</p>		8	7	1	0	181	22	68	2,55(2,5/2,5/3)	85		
		4	2	1	1	177	18	117	2,3(2,5/2,17/2,17)	77		♂/72/++
		1	0	0	0	54	83	41	1,25(1/1,22/1,33)	42		
		2	2	6	2	42	19	25	2,3(2/2,38/2,38)	77		
		0	-	0	0	5	20	2	1,1(-/1,1/1,1)	37		♂/48/+++
		0	-	0	0	0	-	0	1(-/1/1)	33		
		3	2	3	0	144	10	88	2,25(2/2,29/2,43)	75		
		1	0	0	0	5	80	1	1,45(1/1,56/1,44)	48		♂/48/+++
	0	-	0	0	0	-	0	1,2(-/1,1/1,3)	40			
		4,3 ± 1,9 1,7 ± 1,2 0,3 ± 0,3			122,3 ± 41,6 62,3 ± 57,3 18,0 ± 18,0			79,0 ± 3,1 54,0 ± 11,9 38,3 ± 2,7				

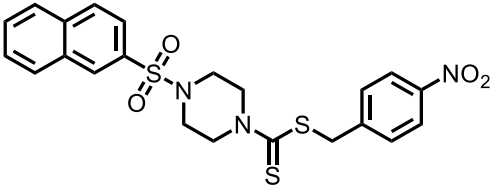
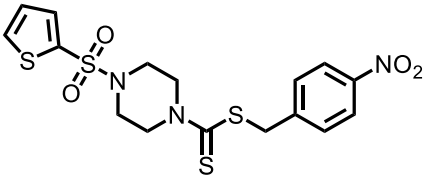
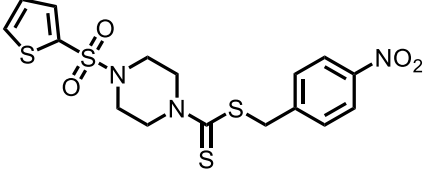
Strukturformel	Konzentration [μM]	Paare (von 10)	Paare angesaugt	♂ angesaugt	♀ angesaugt	absolute Eizahl	Deformation [%]	Eizahl normiert [%]	WMS: \emptyset ($\sigma/\sigma/\sigma$)	WMS normiert [%]	Tegument-schäden	Darm-dilatation
 <p>Schi-33.645</p>	5	8	8	2	2	116	6	68	2,85 (2,88/2,5/3)	95		
		5	5	5	3	323	5	114	2,35(2,4/2/2,6)	80		
		0	-	9	4	49	49	26	2,8(-/2,8/2,8)	93		
		9	9	1	0	160	12	98	2,85(2,89/3/2)	95		
		2	2	7	4	118	10	29	2,65(3/2,38/2,75)	88		
		0	-	7	5	99	19	37	2,25(-/2,1/2,4)	75		
		9	9	1	1	273	10	132	2,85(2,89/2/3)	95		
		1	1	6	1	132	8	33	2,5(2/2,56/2,56)	83		
		1	0	4	7	172	34	40	2,5(2/2,33/2,78)	83		
		8,7 \pm 0,3				183,0 \pm 46,8			95 \pm 0,0			
		2,7 \pm 1,2				191,0 \pm 66,1			83,7 \pm 2,3			
		0,3 \pm 0,3				106,7 \pm 35,7			83,7 \pm 5,2			
 <p>Schi-33.643</p>	10	7	4	2	0	298	6	175	2,75(2,71/2,67/3)	92		
		8	7	0	0	418	4	147	2,65(2,63/2,5/3)	88		
		7	5	2	0	323	11	171	2,7(2,71/2,33/3)	90		
 <p>Schi-33.443</p>	10	7	6	3	0	215	8	141	2,5(2,43/2,67/2,67)	83		
		7	6	3	3	342	10	113	2,5(2,43/2,67/2,67)	83		
		7	6	3	0	498	15	155	2,7(2,71/2,67/2,67)	90		

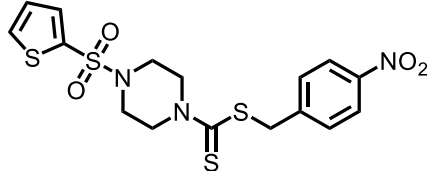
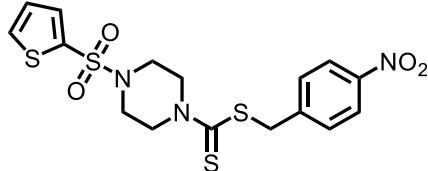
Strukturformel	Konzentration [μM]	Paare (von 10)	Paare angesaugt	σ angesaugt	q angesaugt	absolute Eizahl	Deformation [%]	Eizahl normiert [%]	WMS: \emptyset ($\sigma/\sigma/\text{q}$)	WMS normiert [%]	Tegument-schäden	Darm-dilatation
 <p>Schi-33.081</p>	10	9	9	1	1	184	11	140	2,75(2,78/3/2)	92		
		1	1	3	0	21	29	5	1,35(2/1,33/1,22)	45	$\sigma/72/+$	$\text{q}/24/++$
		0	-	0	0	1	0	<1(0,2)	0,95(-/0,8/1,1)	32		
		5	5	1	0	102	8	58	1,95(2,4/2/1)	65		
		0	-	1	0	2	50	<1(0,3)	1,1(-/1,1/1,1)	37	$\sigma/48/+$	$\text{q}/24/++$
		0	-	0	0	6	0	<1(0,6)	0,65(-/0,5/0,8)	22		
		8	7	2	1	185	10	133	2,75(2,75/3/2,5)	92		
		5	4	2	1	54	11	17	2,4(2,4/2,2/2,6)	80	$\sigma/72/(+)$	
		1	0	0	0	1	0	<1(0,2)	1,45(2/1,56/1,22)	48		
		10	9	-	-	126	11	72	2,5(2,5/-/-)	83		
2	1	6	0	50	24	20	2,3(2,5/2,38/2,13)	77	$\text{q}/72/+$	$\text{q}/72/(+)$		
2	0	1	0	3	33	<1(0,8)	1,4(1,5/1,38/1,38)	47				
3	3	3	0	118	10	77	2,2(2,67/2,29/1,71)	73				
0	-	2	0	4	50	2	1,8(-/2/1,6)	60	$\text{q}/48/+$	$\text{q}/48/+$		
0	-	0	0	0	-	0	0,9(-/0,8/1)	30				
		7,0 \pm 1,3			143,0 \pm 17,4			81,0 \pm 5,3				
		1,6 \pm 0,9			26,2 \pm 11,1			59,8 \pm 8,5				
		0,6 \pm 0,4			2,2 \pm 1,1			35,8 \pm 5,1				
 <p>Schi-33.081</p>	5	10	10	-	-	117	10	67	2,8(2,8/-/-)	93		
		6	5	4	0	190	13	75	2,65(2,67/3/2,25)	88		$\text{q}/72/(+)$
		5	5	3	1	113	11	29	2,05(2,2/2/1,8)	68		
		9	8	1	1	257	8	185	2,9(2,89/3/3)	97		
		9	8	1	1	352	9	110	2,6(2,56/3/3)	87		$\text{q}/72/(+)$
		8	6	2	1	194	10	43	2,25(2,13/3/2,5)	75		
		10	8	-	-	150	11	85	3(3/-/-)	100		
		10	7	-	-	302	18	46	2,6(2,6/-/-)	87		$\text{q}/48/+$
		7	6	2	2	133	18	16	2,05(2/2,67/1,67)	68		
				9,7 \pm 0,3			174,7 \pm 42,3			96,7 \pm 2,0		
		8,3 \pm 1,2			281,3 \pm 47,9			87,3 \pm 0,3				
		6,7 \pm 0,9			146,7 \pm 24,4			70,3 \pm 2,3				

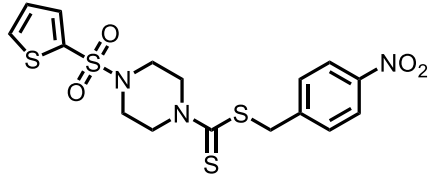
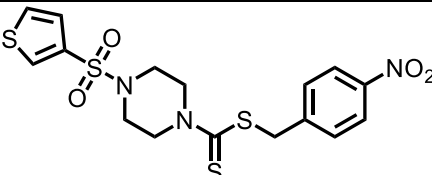
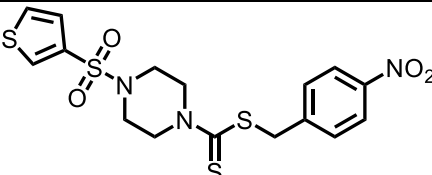
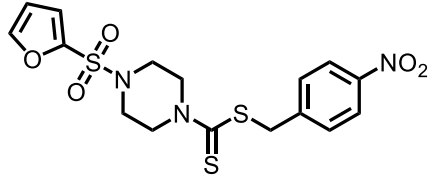
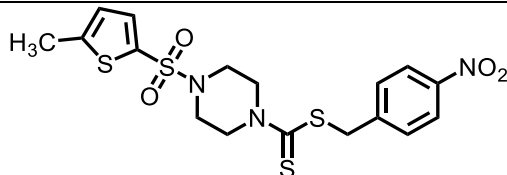
Strukturformel	Konzentration [μM]	Paare (von 10)	Paare angesaugt	σ° angesaugt	Q angesaugt	absolute Eizahl	Deformation [%]	Eizahl normiert [%]	WMS: \emptyset ($\text{Q}^{\circ}/\sigma^{\circ}/\text{Q}$)	WMS normiert [%]	Tegument-schäden	Darm-dilatation
 Schl-33.598	10	9	9	1	1	219	9	101	2,9(2,89/3/3)	97	$\sigma^{\circ}/72/(+)$	
		5	4	2	0	139	9	35	2,45(2,6/2,4/2,2)	82		
		5	3	5	0	230	13	55	2,5(2,4/2,6/2,6)	83		
 Schl-33.491	10	2	0	0	0	83	11	31	1,3(1,5/1,25/1,25)	43	$\text{Q}^{\circ}/24/++$	$\text{Q}^{\circ}/24/(+)$
		1	0	0	0	1	0	1	1,3(1/1,33/1,33)	43		
		1	0	0	0	1	100	<1(0,8)	1(1/1/1)	33		
		0	-	0	0	78	8	47	1,75(-/1,8/1,7)	58	$\text{Q}^{\circ}/24/+++$	
		0	-	0	0	0	-	0	1,2(-/1,1/1,3)	40		
		0	-	0	0	3	33	1	1,15(-/0,8/1,5)	38		
		2	0	0	0	62	8	28	1,9(2/1,75/2)	63	$\text{Q}^{\circ}/24/++$	$\text{Q}/48/(+)$
		0	-	0	0	1	100	<1(0,3)	1,1(-/1,1/1,1)	37		
0	-	0	0	0	-	0	0,75(-/0,8/0,7)	25				
		1,3 \pm 0,7			74,3 \pm 6,3			54,7 \pm 6,0				
		0,3 \pm 0,3			0,7 \pm 0,3			40,0 \pm 1,7				
		0,3 \pm 0,3			1,3 \pm 0,9			32,0 \pm 3,8				
 Schl-33.491	5	10	9	-	-	87	2	33	2,7(2,7/-/-)	90	$\sigma^{\circ}/48/+$	
		4	1	1	0	28	25	19	2,35(2,25/2,17/2,67)	78		
		1	1	0	0	2	100	2	1,25(1/1,22/1,33)	42		
		9	9	1	1	261	7	120	2,9(2,89/3/3)	97	$\text{Q}^{\circ}/72/+$	$\text{Q}^{\circ}/48/+$
		9	3	0	1	28	21	7	2,25(2,22/2/3)	75		
		1	0	0	0	2	0	<1(0,5)	1,55(2/1,33/1,67)	52		
		10	10	-	-	300	5	145	2,9(2,9/-/-)	97		$\text{Q}/72/(+)$
		8	7	2	0	263	9	66	2,8(2,88/2/3)	93		
7	2	1	0	89	12	34	2,4(2,43/2,67/2)	80				

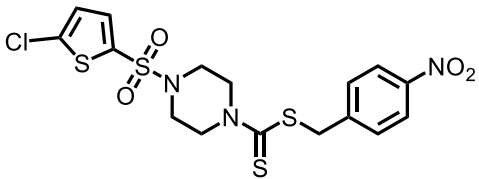
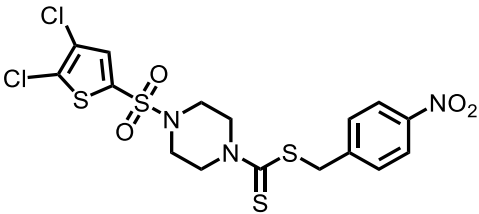
Strukturformel	Konzentration [μM]	Paare (von 10)	Paare angesaugt	σ^7 angesaugt	σ^7 angesaugt	absolute Eizahl	Deformation [%]	Eizahl normiert [%]	WMS: \emptyset ($\sigma^7/\sigma^7/\sigma^7$)	WMS normiert [%]	Tegument-schäden	Darm-dilatation
		10	8	-	-	183	9	132	2,9(2,9/-/-)	97		
		9	6	0	0	180	17	56	2,4(2,44/2/2)	80	$\sigma^7/72/+$	$\sigma^7/48/+$
		6	0	0	0	9	44	2	1,45(1,33/1,5/1,75)	48		
		10	7	-	-	152	11	86	2,9(2,9/-/-)	97		
		8	6	1	1	88	10	35	2,5(2,63/2,5/1,5)	83	$\sigma^7/72/(+)$	$\sigma^7/72/(+)$
		4	1	0	0	26	15	7	1,95(2,25/1,67/1,83)	65		
		10	9	-	-	185	9	105	2,9(2,9/-/-)	97		
		10	9	-	-	326	7	128	2,9(2,9/-/-)	97		
		10	9	-	-	370	7	95	2,8(2,8/-/-)	93		
		10	10	-	-	196	13	127	3(3/-/-)	100		
		10	10	-	-	128	6	47	2,8(2,8/-/-)	93		$\sigma^7/72/(+)$
		10	7	-	-	61	15	40	2,5(2,5/-/-)	83		
				9,9 \pm 0,1			194,9 \pm 26,3			96,4 \pm 1,2		
		8,3 \pm 0,8			148,7 \pm 43,3			85,6 \pm 3,3				
		5,6 \pm 1,4			79,9 \pm 49,9			66,1 \pm 7,4				
 <p>Schl-33.491</p>	4	10	7	-	-	248	14	161	2,9(2,9/-/-)	97		
		10	10	-	-	343	5	125	2,9(2,9/-/-)	97		
		9	7	1	0	114	8	76	2,7(2,78/2/2)	90		
		10	9	-	-	248	4	93	2,9(2,9/-/-)	97		
		10	7	-	-	387	7	256	2,7(2,7/-/-)	90		
		10	8	-	-	518	9	390	2,8(2,8/-/-)	93		

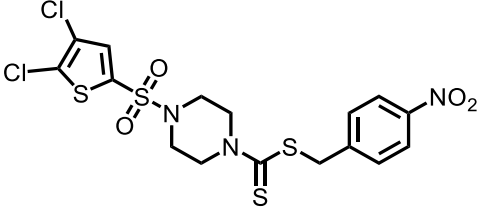
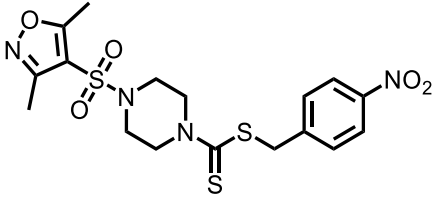
Strukturformel	Konzentration [μM]	Paare (von 10)	Paare angesaugt	♂ angesaugt	♀ angesaugt	absolute Eizahl	Deformation [%]	Eizahl normiert [%]	WMS: \emptyset (♀/♂/♀)	WMS normiert [%]	Tegument-schäden	Darm-dilatation
 <p>Schl-33.080</p>	10	10 9 7	10 8 5	- 0 0	- 1 0	183 392 247	8 7 13	140 88 45	3(3/-/-) 2,85(2,89/2/3) 2,55(2,71/2,33/2)	100 95 85		
 <p>Schl-33.618</p>	10	8 7 7	8 7 7	2 3 2	2 3 3	175 304 216	5 10 7	85 76 88	2,9(2,88/3/3) 2,8(2,86/2,67/2,67) 2,8(2,86/2,67/2,67)	97 93 93		♀/72/(+)
 <p>Schl-33.599</p>	10	9 3 0 8 3 2 10 2 0 0	8 3 - 8 3 1 10 0 - -	1 4 3 2 3 - 0 0 0 0	1 0 0 2 0 1 - 0 0 0	174 90 5 183 157 54 121 67 0 0	7 7 100 7 19 15 5 18 -	65 60 4 88 39 22 87 21 0 0	2,8(2,78/3/3) 2,35(2,33/2,43/2,29) 1,65(-/1,5/1,8) 2,85(2,88/2,5/3) 2,4(2,67/2,57/2) 1,35(1,5/1,25/1,38) 2,9(2,9/-/-) 2,25(2/2,25/2,38) 1,4(-/1,3/1,5)	93 78 55 95 80 45 97 75 47		♂/72/+ ♀/72/+ ♀/48/+
			9,0 ± 0,6 2,7 ± 0,3 0,7 ± 0,7			159,3 ± 19,3 104,7 ± 27,0 19,7 ± 17,2			95,0 ± 1,2 77,7 ± 1,5 49,0 ± 3,1			

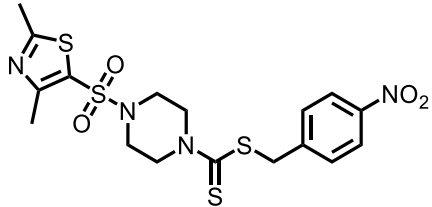
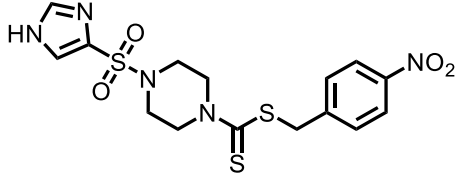
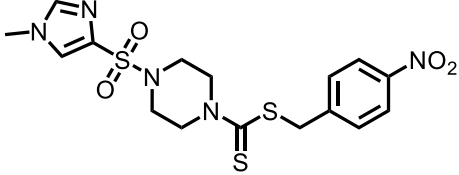
Strukturformel	Konzentration [μM]	Paare (von 10)	Paare angesaugt	♂ angesaugt	♀ angesaugt	absolute Eizahl	Deformation [%]	Eizahl normiert [%]	WMS: \emptyset (♀/♂/♀)	WMS normiert [%]	Tegument-schäden	Darm-dilatation
 SchI-33.599	5	9	9	1	1	167	11	81	2,9(2,89/3/3)	97		
		6	6	4	3	210	10	53	2,8(2,83/2,75/2,75)	93		
		6	5	2	1	94	11	38	2,75(2,83/2,5/2,75)	92		
 SchI-33.082	10	7	7	3	0	177	11	61	2,25(2,57/2/1)	75		
		1	0	1	0	0	-	0	1,2(1/1,33/1,11)	40	♀/48/+	♀/24/+++
		0	-	0	0	0	-	0	1,15(-/1,3/1,0)	38		
		1	0	3	0	38	13	20	1,45(1/1,44/1,56)	48		
		0	-	0	0	1	0	<1(0,2)	1,7(-/1,8/1,6)	57	♂/48/+	♀/24/+++
		0	-	0	0	0	-	0	1,1(-/1,2/1)	37		
		1	1	7	0	101	4	77	2(2/2/2)	67		
		0	-	0	0	1	0	<1(0,2)	1,3(-/1,2/1)	43	♂/48/+	♀/24/+++
		0	-	0	0	1	0	<1(0,2)	0,55(-/0,6/0,5)	18		
		8	7	2	1	92	10	60	2,65(2,75/2,5/2)	88		
1	0	3	0	26	15	10	1,65(2/1,78/1,44)	55	♀/72/+	♀/24/++		
0	-	0	0	12	8	8	1,15(-/1,2/1,1)	38				
		4,3 ± 1,9			102,0 ± 28,6			69,5 ± 8,4				
		0,5 ± 0,3			7,0 ± 6,3			48,8 ± 4,3				
		0,0 ± 0,0			3,3 ± 2,9			32,8 ± 4,9				
 SchI-33.082	5	10	9	-	-	156	14	84	3(3/-/-)	100		
		5	5	3	0	139	8	34	1,85(2/2/1,4)	62	♂/72/(+)	♀/48/+++
		2	0	2	0	1	0	<1(0,2)	1,4(1,5/1,5/1,25)	47		
		10	10	-	-	593	15	453	3(3/-/-)	100		
		6	6	4	1	154	8	34	2,15(2,33/2,5/1,25)	72		♀/48/+++
0	-	10	0	26	38	5	1,7(-/2/1,4)	57				

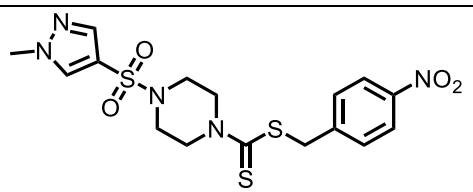
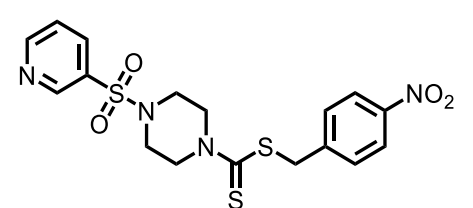
Strukturformel	Konzentration [μM]	Paare (von 10)	Paare angesaugt	σ^7 angesaugt	φ angesaugt	absolute Eizahl	Deformation [%]	Eizahl normiert [%]	WMS: \emptyset ($\sigma^7/\sigma^7/\varphi$)	WMS normiert [%]	Tegument-schäden	Darm-dilatation
 <p>Schl-33.082</p>		10	10	-	-	242	5	138	2,9(2,9/-/-)	97		
		7	6	2	0	34	22	47	2,05(1,57/1,33/1,67)	68		♀/48/+++
		1	1	6	0	7	57	<1(0,9)	1,3(2/1,33/1,11)	43		
		8	8	2	0	136	13	51	1,65(1,75/1/1,5)	55		
		0	-	0	0	1	100	<1(0,2)	1,1(-/1,1/1,1)	37		♀/24/+++
		0	-	0	0	1	100	<1(0,2)	0,95(-/0,9/1)	32		
		9,5 \pm 0,5			281,8 \pm 106,3			88,0 \pm 11,0				
		4,5 \pm 1,6			82,0 \pm 38,0			59,8 \pm 7,9				
		0,8 \pm 0,5			8,8 \pm 5,9			44,8 \pm 5,2				
 <p>Schl-33.082</p>	4	10	10	-	-	355	12	129	3(3/-/-)	100		
		5	5	2	3	171	21	33	2,55(2,6/2,6/2,4)	85		♀/48/+
		0	-	5	1	37	51	7	1,3(-/1,4/1,2)	43		
		10	10	-	-	149	9	85	2,9(2,9/-/-)	97		
		10	9	-	-	288	10	113	2,9(2,9/-/-)	97		
		10	9	-	-	460	7	118	2,9(2,9/-/-)	97		
		10	10	-	-	182	14	103	3(3/-/-)	100		
		9	7	0	1	297	9	117	2,75(2,78/2/3)	92		
		9	8	0	1	291	10	75	2,85(2,89/2/3)	95		
		9	9	1	1	286	11	163	2,9(2,89/3/3)	97		
		9	9	1	1	294	10	115	3(3/3/3)	100		♀/72/(+)
		8	6	1	2	162	11	42	2,7(2,75/2,5/2,5)	90		
		9	9	1	0	183	14	104	2,9(2,89/3/3)	97		
10	9	-	-	275	9	108	2,9(2,9/-/-)	97				
7	6	0	3	380	8	98	2,6(2,86/1,33/2,67)	87				
		9,6 \pm 0,3			231,0 \pm 38,6			98,2 \pm 0,7				
		8,6 \pm 0,9			265,0 \pm 23,8			94,2 \pm 2,6				
		6,8 \pm 1,8			266,0 \pm 75,7			82,4 \pm 10,0				
	3	10	10	-	-	355	9	129	3(3/-/-)	100		
		10	10	-	-	455	11	89	2,9(2,9/-/-)	97		♀/72/(+)
		10	10	-	-	409	13	82	2,8(2,8/-/-)	93		

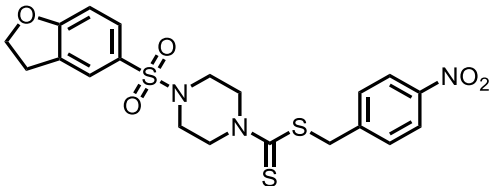
Strukturformel	Konzentration [μm]	Paare (von 10)	Paare angesaugt	σ° angesaugt	σ° angesaugt	absolute Eizahl	Deformation [%]	Eizahl normiert [%]	WMS: \emptyset ($\sigma^{\circ}/\sigma^{\circ}/\sigma^{\circ}$)	WMS normiert [%]	Tegument-schäden	Darm-dilatation
 Schl-33.082	2	10	10	-	-	617	12	224	3(3/-/-)	100		
		10	10	-	-	547	9	107	2,9(2,9/-/-)	97		
		10	10	-	-	560	8	112	3(3/-/-)	100		
 Schl-33.592	1	10	10	-	-	258	17	197	3(3/-/-)	100		
		10	10	-	-	362	16	81	3(3/-/-)	100		
		10	10	-	-	330	17	60	3(3/-/-)	100		
 Schl-33.592	10	9	8	1	1	274	4	103	2,9(2,89/3/3)	97		$\sigma^{\circ}/72/(+)$
		8	7	1	2	218	4	144	2,85(2,88/2,5/3)	95		
		7	5	3	2	225	20	169	2,55(2,57/2,33/2,67)	85		
		4	4	6	1	138	10	63	2,7(2,75/2,83/2,5)	90		
		4	4	6	2	142	11	35	2,6(2,75/2,83/2,17)	87		
2	2	7	5	95	22	23	2,45(2,5/2,63/2,25)	82				
 Schl-33.640	10	9	9	0	0	180	6	106	2,85(2,89/2/3)	95		
		8	8	1	1	209	10	74	2,8(2,88/2,5/2,5)	93		
		9	6	1	1	204	5	108	2,5(2,44/3/3)	83		
 Schl-33.613	10	10	9	-	-	167	10	120	2,8(2,8/-/-)	93		$\sigma^{\circ}/48/(+)$
		8	3	1	1	174	10	54	2,5(2,5/2,5/2,5)	83		
		6	6	0	0	200	11	44	2,6(2,67/2,5/2,5)	87		

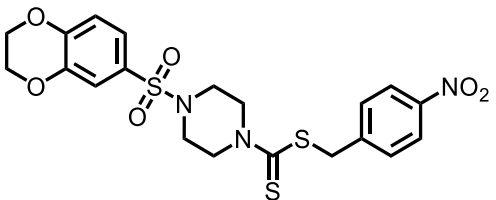
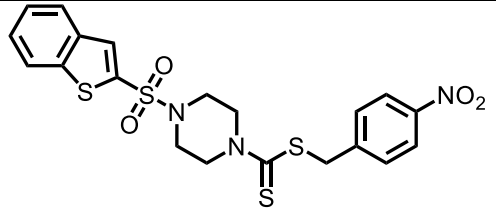
Strukturformel	Konzentration [μM]	Paare (von 10)	Paare angesaugt	σ angesaugt	♀ angesaugt	absolute Eizahl	Deformation [%]	Eizahl normiert [%]	WMS: \emptyset ($\sigma/\sigma/\text{♀}$)	WMS normiert [%]	Tegument-schäden	Darm-dilatation		
 <p>Schl-33.593</p>	10	8	6	0	0	119	15	55	2,5(2,5/2/3)	83				
		4	2	2	0	40	15	10	2,05(2,25/2,25/2,33)	68	$\sigma/72/(+)$	$\text{♀}/72/(+)$		
		2	1	2	0	17	6	4	2,1(2/1,88/2,38)	70				
		9	9	0	1	159	10	77	2,7(2,78/1/3)	90				
		2	1	5	3	174	13	44	2,55(2/2,63/2,75)	85		$\text{♀}/72/(+)$		
		1	0	2	2	26	15	11	1,7(2/1,22/2,25)	57				
		10	10	-	-	151	10	109	2,9(2,9/-/-)	97				
		5	4	3	2	113	18	35	2,45(2,6/2,2/2,4)	82				
		3	2	2	0	51	26	11	1,5(1,33/1,43/1,71)	50				
		9	6	1	0	178	9	116	2,5(2,44/3/3)	83				
		4	2	0	1	66	14	24	2,45(2,5/2,33/2,5)	82		$\text{♀}/72/(+)$		
		3	0	0	0	31	23	21	2(2,33/1,43/2,29)	67				
				9,0 \pm 0,4				151,8 \pm 12,3			88,3 \pm 3,4			
				3,8 \pm 0,6				98,3 \pm 29,4			79,3 \pm 3,8			
		2,3 \pm 0,5				31,3 \pm 7,2			61,0 \pm 4,6					
 <p>Schl-33.591</p>	10	9	8	1	1	264	5	128	2,85(2,89/2/3)	95				
		6	6	4	3	311	7	78	2,95(3/2,75/3)	98				
		6	6	4	4	106	11	43	2,8(2,83/2,75/2,75)	93				
		10	8	-	-	207	8	78	2,8(2,8/-/-)	93				
		1	0	6	0	4	25	3	2,3(2/2,67/2)	77		$\text{♀}/48/++$		
		0	-	2	0	0	-	0	1,2(-/1,4/1)	40				
		7	6	3	0	18	6	8	2,45(2,57/2/2,33)	82				
		1	0	4	0	0	-	0	1,85(1/1,67/2)	62	$\sigma/72/(+)$	$\text{♀}/24/++$		
		0	-	1	0	0	-	0	1,4(-/1,4/1,4)	47				
		3	1	6	1	168	7	81	2,45(2/2,86/2,43)	82				
1	1	6	0	2	50	<1(0,5)	2,45(3/2,56/2,22)	82		$\text{♀}/24/++$				
0	-	0	0	0	-	0	1,2(-/1,3/1,1)	40						
		6,7 \pm 2,0				131,0 \pm 57,6			85,7 \pm 3,7					
		1,0 \pm 0,0				2,0 \pm 1,2			73,7 \pm 6,0					
		0,0 \pm 0,0				0,0 \pm 0,0			42,3 \pm 2,3					

Strukturformel	Konzentration [μM]	Paare	Paare angesaugt	σ^7 angesaugt	Q angesaugt	absolute Eizahl	Deformation [%]	Eizahl normiert [%]	WMS: \emptyset ($\sigma^7/\sigma^7/\text{Q}$)	WMS normiert [%]	Tegument-schäden	Darm-dilatation	
		(von 10)											
 <p>Schi-33.591</p>	5	9	9	1	1	311	5	117	2,9(2,89/3/3)	97			
		7	7	2	2	204	4	135	2,7(2,71/2,67/2,67)	90		♀/72/+	
		5	4	5	2	141	17	106	2,35(2,2/2,6/2,4)	78			
		7	6	3	3	174	4	84	2,9(2,86/3/3)	97			
		6	6	4	3	191	16	48	2,95(3/3/2,75)	98		♀/72/(+)	
		5	4	4	3	83	11	34	2,65(2,6/2,8/2,6)	88			
		10	10	-	-	149	5	107	2,9(2,9/-/-)	97			
		9	9	0	1	296	13	93	2,55(2,56/2/3)	85			
		7	5	2	1	284	11	62	2,75(2,86/2,67/2,33)	92			
				8,7 ± 0,9			211,3 ± 50,4			97,0 ± 0,0			
		7,3 ± 0,9			230,3 ± 33,1			91,0 ± 3,8					
		5,7 ± 0,7			169,3 ± 59,7			86,0 ± 4,2					
 <p>Schi-33.595</p>	10	8	8	2	2	395	5	181	2,95(3/3/2,5)	98			
		8	7	0	1	234	10	58	2,85(2,88/3/2,5)	95	♂/72/(+)		
		1	0	1	0	153	5	37	1,4(2/1,44/1,22)	47			
		8	7	1	0	312	5	102	2,8(2,88/2,5/2,5)	93			
		4	2	0	0	54	9	23	1,5(1,5/1,5/1,5)	50	♀/72/(+)	♀/48/+	
		0	-	0	0	2	50	<1(0,7)	1,3(-/1,2/1,4)	43			
		8	8	1	1	509	8	366	2,85(2,88/2,5/3)	95			
		1	1	4	0	191	5	60	1,6(1/1,78/1,56)	53	♂/72/(+)	♀/48/+	
		0	-	0	0	10	40	2	1,25(-/1,4/1,1)	42			
				8,0 ± 0,0			405,3 ± 57,1			95,3 ± 1,5			
		4,3 ± 2,0			159,7 ± 54,3			66,0 ± 14,5					
		0,3 ± 0,3			55,0 ± 49,1			44,0 ± 1,5					
	5	9	9	1	1	187	12	121	2,95(3/3/2)	98			
		8	6	2	2	323	7	102	2,75(2,88/2,5/2)	92			
		5	5	4	2	189	5	45	2,65(2,8/2,8/2,2)	88			

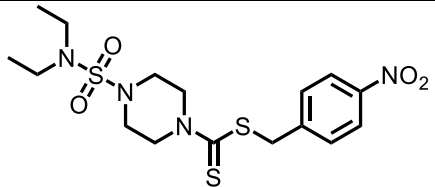
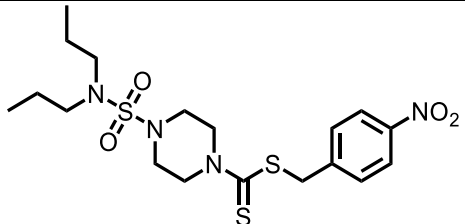
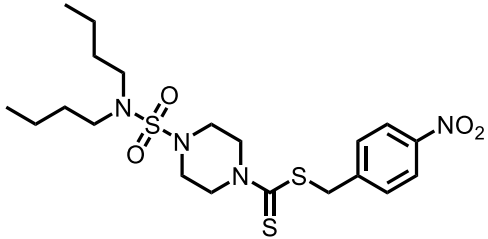
Strukturformel	Konzentration [μM]	Paare (von 10)	Paare angesaugt	♂ angesaugt	♀ angesaugt	absolute Eizahl	Deformation [%]	Eizahl normiert [%]	WMS: \emptyset (♂/♂/♀)	WMS normiert [%]	Tegument-schäden	Darm-dilatation
 <p>Schl-33.594</p>	10	9	8	1	0	234	10	107	2,95(3/2/3)	98	♀/72/+	♀/72/(+)
		5	4	2	2	79	6	20	2,3(2,4/1,8/2,6)	77		
		3	0	3	0	56	16	14	1,55(1,67/1,57/1,43)	52		
		9	9	1	1	413	5	135	3(3/3/3)	100	♀/72/+	
		6	6	2	1	397	5	165	2,65(2,83/2,5/2,25)	88		
		2	2	2	1	37	16	13	1,6(2/2/1,5)	53		
		10	9	-	-	378	8	271	2,8(2,8/-/-)	93	♀/48/+	
		10	7	-	-	397	10	124	2,5(2,5/-/-)	83		
		7	1	2	0	28	11	6	1,75(1,86/1,67/1,33)	58		
				9,3 ± 0,3			341,7 ± 54,8			97,0 ± 2,1		
		7,0 ± 1,5			291,0 ± 106,0			82,7 ± 3,2				
		4,0 ± 1,5			40,3 ± 8,3			54,3 ± 1,9				
5	10	10	-	-	418	8	301	3(3/-/-)	100			
	10	8	-	-	410	9	128	2,8(2,8/-/-)	93			
	9	8	0	0	566	7	124	2,85(2,89/2/3)	95			
 <p>Schl-33.164</p>	10	10	10	-	-	198	11	113	3(3/-/-)	100		
		10	10	-	-	508	10	77	2,9(2,9/-/-)	97		
		10	10	-	-	543	17	67	3(3/-/-)	100		
 <p>Schl-33.487</p>	10	10	8	-	-	256	10	155	2,8(2,8/-/-)	93		
		10	7	-	-	426	10	78	2,7(2,7/-/-)	90		
		8	5	2	1	247	11	75	2,65(2,63/2,5/3)	88		

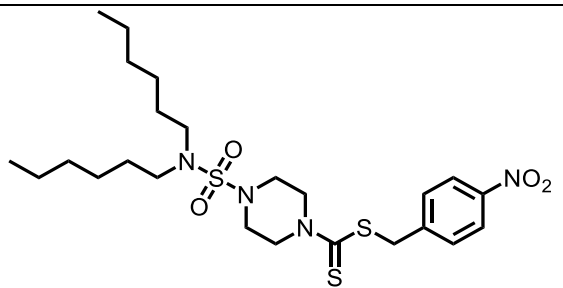
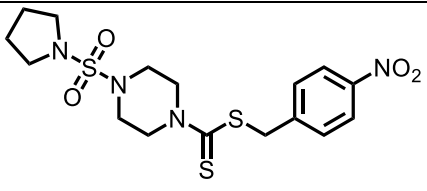
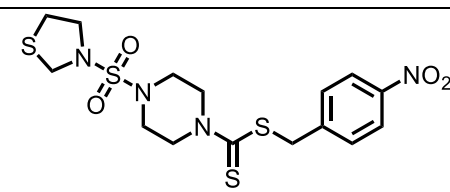
Strukturformel	Konzentration [μM]	Paare (von 10)	Paare angesaugt	σ^7 angesaugt	Q angesaugt	absolute Eizahl	Deformation [%]	Eizahl normiert [%]	WMS: \emptyset ($\text{Q}^7/\sigma^7/\text{Q}$)	WMS normiert [%]	Tegument-schäden	Darm-dilatation
 <p>Schl-33.540</p>	10	10	10	-	-	104	9	63	2,9(2,9/-/-)	97		
		10	10	-	-	322	10	59	2,8(2,8/-/-)	93		
		10	8	-	-	375	9	114	2,9(2,9/-/-)	97		
 <p>Schl-33.084</p>	10	10	10	-	-	356	10	122	3(3/-/-)	100		
		9	9	1	0	27	11	9	2,55(2,67/2/1)	85		$\text{Q}^7/48/+$
		3	3	3	0	0	-	0	1,75(2/1,71/1,57)	58		
		10	10	-	-	215	18	116	3(3/-/-)	100		
		7	7	2	0	14	14	3	2,65(3/2/1,67)	88		$\text{Q}^7/72/++$
		3	0	2	0	0	-	0	1,7(2,33/1,71/1,14)	57		
		9	9	0	1	200	14	153	2,95(3/2/3)	98		
		8	8	2	0	8	0	2	2,25(2,38/2/1,5)	75	$\sigma^7/72/+$	$\text{Q}^7/48/++$
		3	3	2	0	1	0	<1(0,2)	1,15(1/1,29/1,14)	38		
		10	8	-	-	190	8	123	2,8(2,8/-/-)	93		
		5	2	3	1	124	26	45	1,95(2/2,2/1,6)	65	$\text{Q}^7/72/+$	$\text{Q}^7/48/+$
2	0	1	0	5	20	3	1,55(2/1,5/1,38)	52				
		9,8 \pm 0,3			240,3 \pm 38,9			97,8 \pm 1,7				
		7,3 \pm 0,9			43,3 \pm 27,2			78,3 \pm 5,2				
		2,8 \pm 0,3			1,5 \pm 1,2			51,3 \pm 4,6				
	5	10	10	-	-	178	18	96	3(3/-/-)	100		
		10	10	-	-	457	14	112	3(3/-/-)	100		
		9	8	1	1	593	15	146	2,85(2,89/2/3)	95		

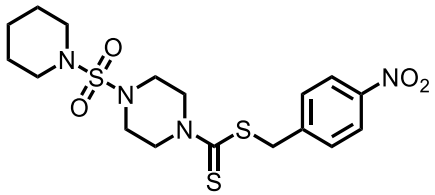
Strukturformel	Konzentration [μM]					absolute Eizahl	Deformation [%]	Eizahl normiert [%]	WMS: \emptyset ($\sigma/\sigma/\sigma$)	WMS normiert [%]	Tegument-schäden	Darm-dilatation	
		Paare (von 10)	Paare angesaugt	σ angesaugt	σ angesaugt								
 <p>Schl-33.572</p>	10	9	8	1	1	241	13	116	2,9(2,89/3/3)	97			
		6	1	0	1	230	10	58	2,2(2,17/2/2,5)	73	$\sigma/72/++$	$\sigma/48/(+)$	
		2	0	0	0	24	13	10	1,4(1,5/1,38/1,38)	47			
		10	8	-	-	378	5	123	2,9(2,9/-/-)	97			
		0	-	0	0	98	8	41	1,2(-/1,1/1,3)	40	$\sigma/48/++$	$\sigma/48/+$	
		0	-	0	0	1	0	<1(0,4)	0,75(-/0,1/1,4)	25			
		10	9	-	-	368	13	265	2,9(2,9/-/-)	97			
		10	4	-	-	315	5	98	2,5(2,5/-/-)	83	$\sigma/72/++$	$\sigma/72/+$	
		1	0	0	0	49	20	11	1,2(1/1,22/1,22)	40			
		10	10	-	-	290	7	188	3(3/-/-)	100			
	10	9	-	-	442	6	161	2,9(2,9/-/-)	97				
	10	8	-	-	234	12	155	2,8(2,8/-/-)	93				
	10	10	-	-	468	8	234	3(3/-/-)	100				
	10	8	-	-	403	6	169	2,8(2,8/-/-)	93	$\sigma/72/+$			
	4	0	0	0	70	6	59	1,3(1,5/1,17/1,17)	43				
	10	10	-	-	452	7	226	3(3/-/-)	100				
	10	8	-	-	425	9	179	2,8(2,8/-/-)	93	$\sigma/72/(+)$			
	8	0	0	0	192	9	163	1,4(1,38/1/2)	47				
			9,8 \pm 0,2				366,2 \pm 36,2			98,5 \pm 0,7			
			7,7 \pm 1,7				318,8 \pm 54,8			79,8 \pm 8,7			
		4,2 \pm 1,6				95,0 \pm 38,9			49,2 \pm 9,4				
	5	10	9	-	-	304	5	99	3(3/-/-)	100			
		10	8	-	-	485	6	202	2,9(2,9/-/-)	97			
		10	6	-	-	638	5	228	2,7(2,7/-/-)	90			

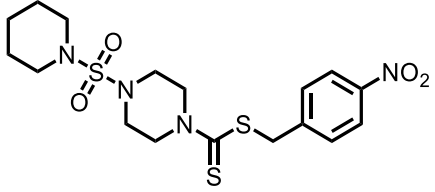
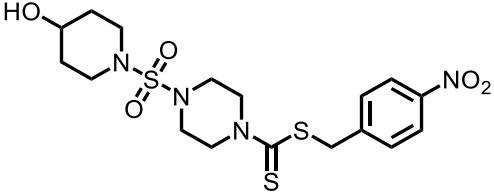
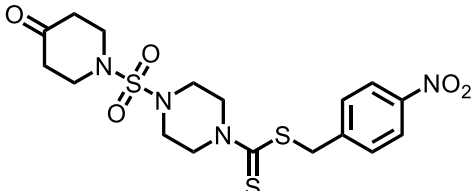
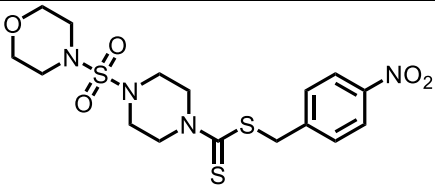
Strukturformel	Konzentration [μM]	Paare (von 10)	Paare angesaugt	♂ angesaugt	♀ angesaugt	absolute Eizahl	Deformation [%]	Eizahl normiert [%]	WMS: \emptyset (♀/♂/♀)	WMS normiert [%]	Tegument-schäden	Darm-dilatation
 <p>Schl-33.353</p>	10	7	3	0	0	246	7	136	2,35(2,43/2/2,33)	78		
		1	0	1	0	0	-	0	1,3(2/1,2/1,2)	43	♀/48/++	♀/72/(+)
		0	-	0	0	3	100	2	0,75(-/0,7/0,8)	25		
		9	9	1	0	265	16	96	2,4(2,44/2/2)	80		
		3	0	0	0	9	44	2	1,55(1,67/1,57/1,43)	52	♀/24/++	♀/72/+
		3	0	0	0	-	0	1(1/0,71/1,29)	33			
		9	6	0	0	252	12	157	2,5(2,56/3/1)	83		
		0	-	0	0	22	14	4	1,45(-/1,5/1,4)	48	♀/24/++	
		0	-	0	0	2	0	<1(0,6)	0,95(-/0,9/1)	32		
		8,3 ± 0,7			254,3 ± 5,6			80,3 ± 1,5				
		1,3 ± 0,9			10,3 ± 6,4			47,7 ± 2,6				
		1,0 ± 1,0			1,7 ± 0,9			30,0 ± 2,5				
 <p>Schl-33.621</p>	10	9	8	0	0	296	8	111	2,75(2,78/2/3)	92		
		10	8	-	-	366	10	242	2,7(2,7/-/-)	90		♀/72/(+)
		6	2	1	0	122	11	92	2,25(2,33/2/2,25)	75		
		10	10	-	-	138	7	89	2,9(2,9/-/-)	97		
		8	8	1	0	323	4	102	2,4(2,5/2/2)	80		♀/72/(+)
		5	5	4	2	199	8	48	2,4(2,6/2,6/1,8)	80		

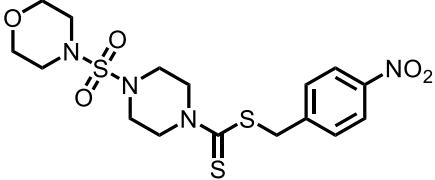
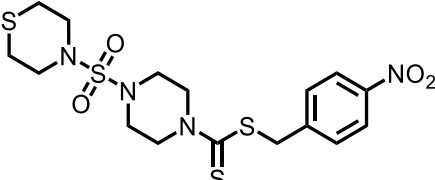
Schwefelsäurediamide

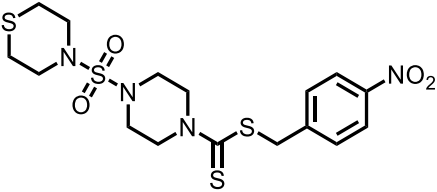
Strukturformel	Konzentration [μM]	Paare (von 10)	Paare angesaugt	σ^7 angesaugt	σ^8 angesaugt	absolute Eizahl	Deformation [%]	Eizahl normiert [%]	WMS: \emptyset ($\sigma^7/\sigma^8/\sigma^9$)	WMS normiert [%]	Tegument-schäden	Darm-dilatation
 <p>Schl-33.305</p>	10	9 9 10	9 8 10	1 1 -	1 1 -	304 382 469	8 12 22	103 117 154	2,8(2,89/2/2) 2,7(2,78/2/2) 2,9(2,9/-/-)	93 90 97		
 <p>Schl-33.295</p>	10	9 9 8	9 9 8	1 1 2	1 1 2	288 302 388	14 17 33	87 92 127	2,5(2,44/3/3) 2,9(2,89/3/3) 2,85(2,88/3/2,5)	83 97 95		
 <p>Schl-33.268</p>	10	8 9 9	8 9 9	2 1 1	2 1 0	256 225 214	6 10 19	77 69 70	2,7(2,75/2,5/2,5) 2,75(2,78/3/2) 2,85(2,89/3/2)	90 92 95		

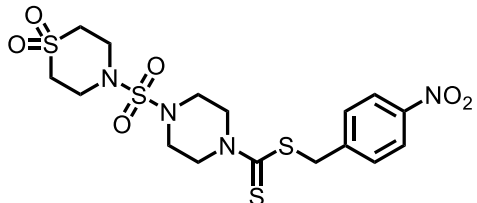
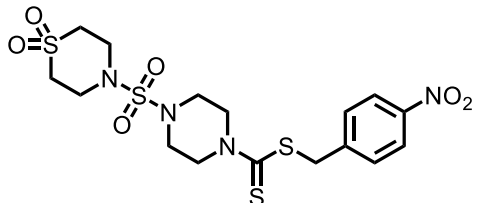
Strukturformel	Konzentration [μM]	Paare (von 10)	Paare angesaugt	♂ angesaugt	♀ angesaugt	absolute Eizahl	Deformation [%]	Eizahl normiert [%]	WMS: \emptyset (♀/♂/♀)	WMS normiert [%]	Tegument-schäden	Darm-dilatation
 <p>Schl-33.325</p>	10	10	9	-	-	313	7	95	2,8(2,8/-/-)	93		
		10	10	-	-	335	7	102	2,8(2,8/-/-)	93		
		10	9	-	-	386	9	127	2,9(2,9/-/-)	97		
 <p>Schl-33.313</p>	10	10	10	-	-	341	8	103	2,9(2,9/-/-)	97		
		10	8	-	-	371	12	113	2,8(2,8/-/-)	93		
		10	9	-	-	244	28	80	2,9(2,9/-/-)	97		
 <p>Schl-33.337</p>	10	10	8	-	-	378	6	230	2,8(2,8/-/-)	93		
		8	7	2	0	240	6	59	2,85(2,88/2,5/3)	95		
		8	7	1	1	196	7	72	2,85(2,88/2,5/3)	95		
		9	8	1	1	378	8	114	2,75(2,78/2/3)	92		
		6	6	4	3	278	4	85	2,8(2,83/2,75/2,75)	93		
		4	4	6	4	262	16	86	2,55(2,5/2,67/2,5)	85		

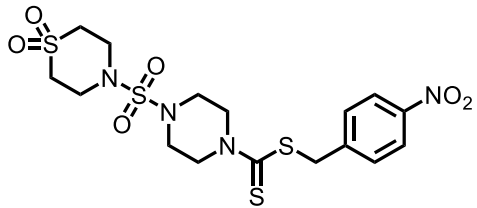
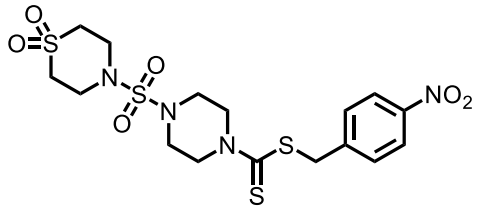
Strukturformel	Konzentration [μM]	Paare (von 10)	Paare angesaugt	♂ angesaugt	♀ angesaugt	absolute Eizahl	Deformation [%]	Eizahl normiert [%]	WMS: \emptyset (♀/♂/♀)	WMS normiert [%]	Tegument-schäden	Darm-dilatation	
 <p>Schl-33.083</p>	10	8	8	2	2	202	12	154	2,75(2,75/2,5/3)	92			
		1	0	2	0	0	0	-	0	1,25(2/1,22/1,11)	42	♂/72/+	♀/24/+++
		1	0	2	0	0	0	-	0	0,8(2/0,78/0,56)	27		
		10	10	-	-	213	12	121	3(3/-/-)	100			
		10	10	-	-	249	13	38	2,9(2,9/-/-)	97	♀/72/+	♀/48/+	
		8	8	1	0	109	26	13	1,6(1,75/1,5/0,5)	53			
		9	9	1	1	199	29	110	2,9(2,89/3/3)	97			
		4	1	0	0	49	41	14	1,75(2/1,33/1,83)	58	♂/48/+	♀/48/++	
		1	1	0	0	1	100	<1(0,5)	0,95(2/0,67/1)	32			
		10	9	-	-	281	21	102	2,9(2,9/-/-)	97			
		9	8	1	0	81	16	16	2,6(2,67/3/1)	87	♀/72/(+)	♀/48/+	
		2	2	3	1	2	100	<1(0,4)	1,2(1,5/1,38/0,88)	40			
		10	10	-	-	132	12	75	2,8(2,8/-/-)	93			
		7	7	1	1	179	8	70	2,7(3/1,67/2,33)	90			♂/72/+
		7	7	1	0	94	13	24	2,3(2,71/1,33/1,33)	77			
		9	9	1	1	297	8	90	2,75(2,78/2/3)	92			
6	5	3	1	171	11	52	1,8(1,83/1,75/1,75)	60	♀/72/+	♀/48/++			
1	0	5	0	58	26	19	0,95(1/1,33/0,56)	32					
9	9	1	1	336	8	171	2,95(3/3/2)	98					
4	3	5	1	182	14	64	2,15(2,5/2,5/1,33)	72			♂/48/++		
2	2	2	0	30	3	13	1,45(2/1,5/1,13)	48					
8	8	2	0	229	11	117	2,9(3/3/2)	97					
6	6	3	3	366	13	128	2,65(2,83/2,25/2,5)	88			♀/72/+		
3	3	5	6	119	10	51	2(2,67/2/1,43)	67					
		9,1 ± 0,3		236,1 ± 23,0		95,8 ± 1,1							
		5,9 ± 1,0		159,6 ± 41,3		74,3 ± 6,9							
		3,1 ± 1,0		51,6 ± 17,4		47,0 ± 6,3							

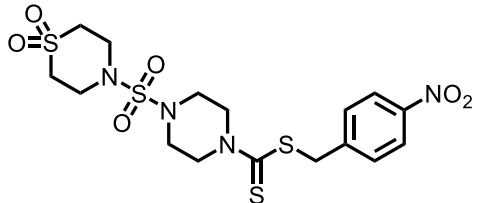
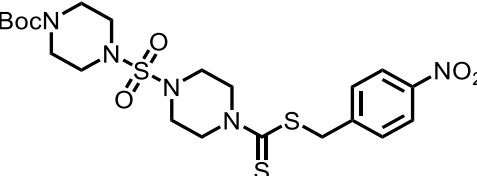
Strukturformel	Konzentration [μM]	Paare (von 10)	Paare angesaugt	♂ angesaugt	♀ angesaugt	absolute Eizahl	Deformation [%]	Eizahl normiert [%]	WMS: \emptyset (♀/♂/♀)	WMS normiert [%]	Tegument-schäden	Darm-dilatation
 Schl-33.083	5	10	10	-	-	293	22	162	2,9(2,9/-/-)	97		
		10	10	-	-	377	17	105	2,9(2,9/-/-)	97		
		10	10	-	-	313	16	152	2,9(2,9/-/-)	97		
		10	9	-	-	255	13	145	3(3/-/-)	100		
		9	9	1	1	471	9	71	3(3/3/3)	100		
9	9	1	1	335	13	44	2,9(2,89/3/3)	97				
 Schl-33.559	10	9	9	1	1	259	7	158	2,9(2,89/3/3)	97		
		8	8	2	1	283	5	70	2,95(3/2,5/3)	98		
		8	7	1	0	345	8	127	2,85(2,88/2,5/3)	95		
 Schl-33.539	10	8	8	1	0	377	7	230	2,85(2,88/2,5/3)	95		
		8	8	1	0	466	5	115	2,85(3/1,5/3)	95		
		8	6	1	0	410	7	151	2,75(2,88/1,5/3)	92		
 Schl-33.292	10	9	8	1	1	456	27	252	2,75(2,78/2/3)	92		
		8	8	2	2	194	21	54	2,6(2,75/2/2)	87		
		3	2	5	3	64	16	31	2,25(1,67/2,57/2,43)	75		
		10	9	-	-	446	9	162	3(3/-/-)	100		
		9	9	0	0	254	13	50	2,75(2,78/3/2)	92		♀/72/++
		8	4	0	0	64	16	13	1,7(1,63/2,5/1,5)	57		

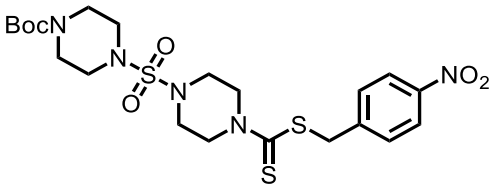
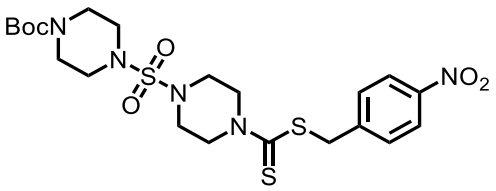
Strukturformel	Konzentration [μM]	Paare (von 10)	Paare angesaugt	♂ angesaugt	♀ angesaugt	absolute Eizahl	Deformation [%]	Eizahl normiert [%]	WMS: \emptyset (♂/♂/♀)	WMS normiert [%]	Tegument-schäden	Darm-dilatation
 <p>Schl-33.292</p>	10	10	8	-	-	282	6	96	2,9(2,9/-/-)	97		
		8	6	2	0	185	9	44	2,5(2,5/3/2)	93	♂/72/(+)	♀/48/++
		4	3	3	0	34	44	9	2(2,25/2/1,67)	67		
		10	9	-	-	356	10	108	2,6(2,6/-/-)	87		
		6	6	1	0	228	10	70	2,35(2,67/2,25/1,5)	78	♂/48/++	♀/48/++
		3	2	1	0	8	38	3	1,65(2,33/1,29/1,43)	55		
						9,8 ± 0,3 7,8 ± 0,6 4,5 ± 1,2	385,0 ± 41,0 215,3 ± 15,9 42,5 ± 13,5		94,0 ± 2,9 87,5 ± 3,4 63,5 ± 4,7			
	5	10	10	-	-	549	16	303	2,9(2,9/-/-)	97		
		10	10	-	-	295	16	82	2,9(2,9/-/-)	97		
		10	10	-	-	170	12	83	3(3/-/-)	100		
 <p>Schl-33.290</p>	2	1	7	2	204	19	113	2,05(2,5/2/1,88)	68			
		0	-	4	0	22	64	6	1,25(-/1,2/1,3)	42		♂/24/++
		0	-	0	0	3	100	2	1,2(-/1,2/1,2)	40		
	9	3	3	4	0	583	14	212	2,5(2,56/2/2)	83		
		0	-	0	0	25	12	5	1,85(2/2/1,57)	62	♂/48/(+)	♀/24/++
		0	-	0	0	1	100	<1(0,2)	1,25(-/1,3/1,2)	42		
	2	1	8	0	0	113	7	39	2,15(2,5/2,25/1,99)	72		
		2	0	5	0	0	-	0	1,6(1,5/1,75/1,5)	53	♂/72/+	♂/24/++
		0	-	0	0	0	-	0	1,25(-/1,1/1,4)	42		
	7	7	3	0	0	354	9	107	1,9(2/2,33/1)	63		
0		-	6	0	18	33	6	1,2(-/1,1/1,3)	40	♂/48/++	♂/24/++	
0		-	0	0	0	-	0	1(-/1/1)	33			
				5,0 ± 1,8 1,3 ± 0,8 0,0 ± 0,0	313,5 ± 102,7 16,3 ± 5,6 1,0 ± 0,7		71,5 ± 4,3 49,3 ± 5,1 39,3 ± 2,1					
5	8	8	2	1	447	12	250	2,65(2,75/2,5/2)	88			
	6	5	4	1	104	14	29	1,8(1,67/2,5/1,5)	60	♂/48/(+)	♀/24/+	
	2	2	5	0	10	0	5	1,5(2/1,5/1,25)	50			

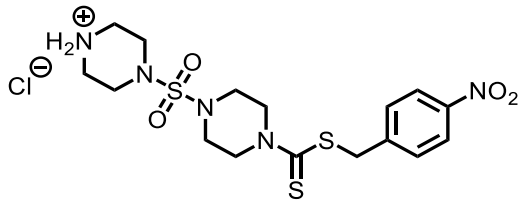
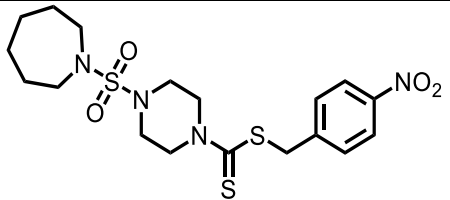
Strukturformel	Konzentration [μM]	Paare (von 10)	Paare angesaugt	σ^7 angesaugt	σ^8 angesaugt	absolute Eizahl	Deformation [%]	Eizahl normiert [%]	WMS: \emptyset ($\sigma^7/\sigma^8/\sigma^9$)	WMS normiert [%]	Tegument-schäden	Darm-dilatation
 <p style="text-align: center;">Schl-33.290</p>		10	10	-	-	504	10	183	3(3/-/-)	100		
		10	10	-	-	491	16	97	2,9(2,9/-/-)	97		$\sigma^9/72/(+)$
		9	9	1	0	82	18	16	2,6(2,67/2/2)	87		
		10	9	-	-	347	6	118	2,7(2,7/-/-)	90		
		5	5	5	0	79	13	19	1,95(2,4/2/1)	65		$\sigma^9/48/++$
		2	1	6	1	0	-	0	1,5(1,5/1,75/1,25)	50		
		9	9	1	0	74	12	45	2,9(2,89/3/3)	97		
		9	9	1	1	209	8	52	2,85(2,89/2/3)	95		
		9	9	1	0	110	11	41	2,85(2,89/2/3)	95		
		10	10	-	-	305	6	219	2,9(2,9/-/-)	97		
		9	7	0	1	422	6	132	2,65(2,67/2/3)	88		
		9	8	2	1	512	10	113	2,85(2,88/3/2,5)	95		
		10	10	-	-	207	5	149	3(3/-/-)	100		
		10	10	-	-	385	4	120	2,9(2,9/-/-)	97		
		10	8	-	-	519	5	114	2,8(2,8/-/-)	93		
		10	10	-	-	210	10	119	3(3/-/-)	100		
		8	8	2	0	166	12	65	2,95(3/3/2,5)	98		$\sigma^9/72/(+)$
		7	7	3	2	253	10	65	2,75(3/2,33/2)	92		
		10	8	-	-	366	12	208	2,8(2,8/-/-)	93		
		10	9	-	-	276	5	108	2,9(2,9/-/-)	97		$\sigma^9/72/(+)$
	10	8	-	-	270	10	70	2,8(2,8/-/-)	93			
		9,6 \pm 0,3			307,5 \pm 49,5			95,6 \pm 1,7				
		8,4 \pm 0,7			266,5 \pm 54,1			87,1 \pm 5,5				
		7,3 \pm 1,2			219,5 \pm 73,4			81,9 \pm 7,0				
	1	10	10	-	-	740	13	269	3(3/-/-)	100		
		10	10	-	-	493	11	96	3(3/-/-)	100		
		10	10	-	-	477	15	92	2,9(2,9/-/-)	97		

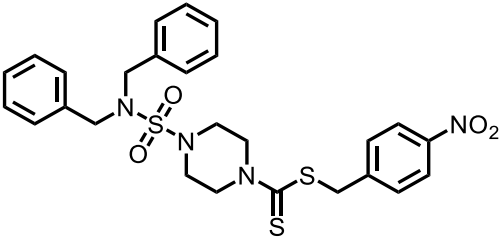
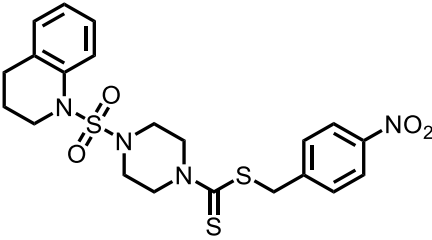
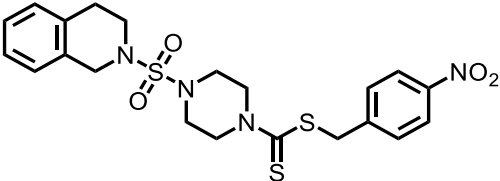
Strukturformel	Konzentration [μM]	Paare (von 10)	Paare angesaugt	σ angesaugt	φ angesaugt	absolute Eizahl	Deformation [%]	Eizahl normiert [%]	WMS: \emptyset ($\varphi/\sigma/\varphi$)	WMS normiert [%]	Tegument-schäden	Darm-dilatation
 <p>Schl-33.779</p>	10	0	-	0	0	107	5	63	1,15(-/1,1/1,2)	38		
		0	-	0	0	12	0	4	1(-/1/1)	33	$\varphi/24/+++$	
		0	-	0	0	2	0	1	0,8(-/0,6/1)	27		
		0	-	0	0	99	8	60	1,15(-/1,2/1,1)	38		
		0	-	0	0	1	0	<1(0,3)	0,75(-/0,5/1)	25	$\varphi/24/+++$	$\varphi/24/++$
		0	-	0	0	0	-	0	0,55(-/0,3/0,8)	18		
		2	0	0	0	18	11	9	1,4(1,5/1,63/1,13)	47		
		1	0	0	0	1	0	<1(0,3)	0,75(1/0,44/1)	25	$\varphi/24/+++$	$\varphi/24/++$
		1	0	0	0	0	-	0	0,9(1/0,67/1,11)	30		
				0,7 \pm 0,7				74,7 \pm 28,4			41,0 \pm 3,0	
		0,3 \pm 0,3				4,7 \pm 3,7			27,7 \pm 2,7			
		0,3 \pm 0,3				0,7 \pm 0,7			25,0 \pm 3,6			
 <p>Schl-33.779</p>	5	8	8	2	0	247	8	151	2,45(2,5/2/2,5)	82		
		1	0	0	0	2	0	<1(0,5)	1,3(1/1,22/1,44)	43	$\varphi/48/++$	$\varphi/24/++$
		0	-	0	0	0	-	0	0,75(-/0,6/0,9)	25		
		5	1	2	0	90	8	44	2,6(2,4/2,6/3)	87		
		0	-	0	0	3	0	<1(0,8)	1,2(-/1,2/1,2)	40	$\varphi/48/++$	$\varphi/24/++$
		0	-	0	0	0	-	0	0,75(-/0,5/1)	25		
		10	9	-	-	144	4	47	2,8(2,8/-/-)	93		
		3	0	0	0	34	3	14	1,6(1,67/1,57/1,57)	53	$\sigma/72/++$	$\varphi/48/++$
		1	0	0	0	1	100	<1(0,3)	0,9(1/0,67/1,11)	30		
		9	9	0	0	139	19	100	2,85(2,89/2/3)	95		
6	4	0	2	207	12	65	2,35(2,33/2,25/2,5)	78	$\sigma/72/(+)$	$\varphi/72/+$		
2	0	0	0	39	23	86	1,35(1,5/1,38/1,25)	45				
		8,0 \pm 1,1				155,0 \pm 33,0			89,3 \pm 3,0			
		2,8 \pm 1,2				61,5 \pm 49,1			53,5 \pm 8,6			
		0,8 \pm 0,5				10,0 \pm 9,7			31,3 \pm 4,7			
	4	10	10	-	-	206	8	67	2,9(2,9/-/-)	97		
		7	7	2	0	281	8	117	2,9(3/2,67/3)	97		$\varphi/72/++$
		5	1	1	0	18	22	6	2,35(2,2/2,6/2,4)	78		

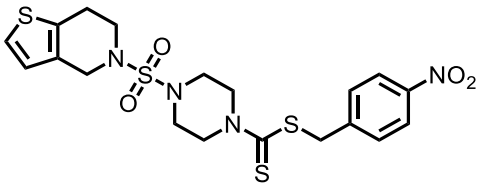
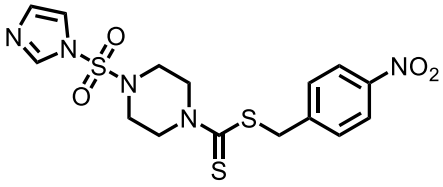
Strukturformel	Konzentration [μm]					absolute Eizahl	Deformation [%]	Eizahl normiert [%]	WMS: \emptyset ($\sigma/\sigma/\sigma$)	WMS normiert [%]	Tegument-schäden	Darm-dilatation
		Paare (von 10)	Paare angesaugt	σ angesaugt	σ angesaugt							
 <p>Schl-33.779</p>		10	9	-	-	313	8	178	2,8(2,8/-/-)	93		
		9	9	1	1	386	5	151	3(3/3/3)	100		
		9	5	0	1	434	5	112	2,45(2,44/2/3)	82		
		7	6	3	3	333	14	170	2,9(2,86/3/3)	97		
		7	7	2	3	155	13	54	2,9(3/2,67/3)	97		$\sigma/48/+$
		3	2	0	1	18	83	8	1,95(2,67/1,86/1,43)	65		
		10	10	-	-	328	9	213	3(3/-/-)	100		
		10	10	-	-	423	11	154	3(3/-/-)	100		
		10	9	-	-	125	10	83	2,6(2,6/-/-)	87		
				9,3 \pm 0,8				295,0 \pm 30,0		96,8 \pm 1,4		
		8,3 \pm 0,8				311,3 \pm 60,1		98,5 \pm 0,9				
		6,8 \pm 1,7				148,8 \pm 98,4		78,0 \pm 4,7				
 <p>Schl-33.779</p>	3	6	5	2	3	97	6	32	2,8(2,83/2,5/3)	93		$\sigma/72/(+)$
		6	5	0	4	104	4	43	2,8(2,67/3/3)	93		
		5	4	0	1	30	20	11	2,7(2,8/2,4/3)	90		
		10	10	-	-	201	8	114	3(3/-/-)	100		
		10	9	-	-	436	9	171	3(3/-/-)	100		
		8	8	2	1	513	7	132	3(3/3/3)	100		
		9	9	1	0	125	10	64	2,95(3/3/2)	98		
		8	8	2	0	257	13	90	2,9(3/3/2)	97		$\sigma/48/(+)$
		8	8	2	0	231	6	99	2,8(3/3/1)	93		
				8,3 \pm 1,2				141,0 \pm 31,1		97,0 \pm 2,1		
		8,0 \pm 1,2				265,7 \pm 95,9		96,7 \pm 2,0				
		7,0 \pm 1,0				258,0 \pm 140,1		94,3 \pm 3,0				
	2	9	7	0	0	11	0	4	2,75(2,78/2/3)	92		
		9	4	0	0	21	10	9	2,7(2,67/3/3)	90		
		10	5	-	-	11	18	4	2,4(2,4/-/-)	80		
		8	8	0	0	145	9	82	2,9(3/2/2)	97		
		8	6	1	1	310	10	122	2,75(2,75/2,5/3)	92		
		9	7	1	1	330	6	85	2,9(2,89/3/3)	97		

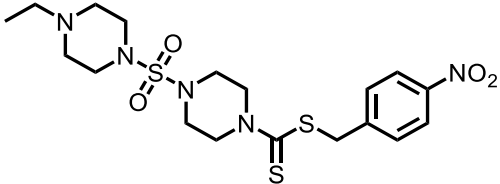
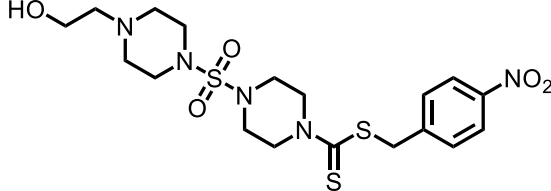
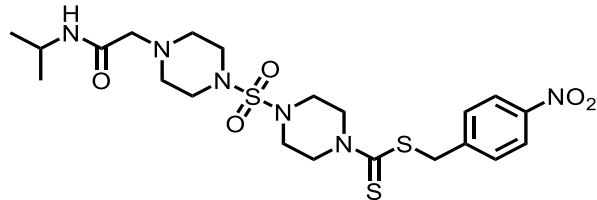
Strukturformel	Konzentration [μM]	Paare (von 10)	Paare angesaugt	σ angesaugt	♀ angesaugt	absolute Eizahl	Deformation [%]	Eizahl normiert [%]	WMS: \emptyset ($\text{♀}/\sigma/\text{♀}$)	WMS normiert [%]	Tegument-schäden	Darm-dilatation	
 <p>Schi-33.779</p>		10	8	-	-	161	11	82	3(3/-/-)	100			
		10	10	-	-	366	13	128	3(3/-/-)	100			
		10	10	-	-	399	6	99	3(3/-/-)	100			
			9,0 \pm 0,6			105,7 \pm 47,6			96,3 \pm 2,3				
			9,0 \pm 0,6			232,3 \pm 106,9			94,0 \pm 3,1				
			9,7 \pm 0,3			246,7 \pm 119,5			92,3 \pm 6,2				
	1	10	10	-	-	289	9	176	3(3/-/-)	100			
	10	10	-	-	303	8	75	2,9(2,9/-/-)	97				
	10	10	-	-	286	9	106	2,9(2,9/-/-)	97				
 <p>Schi-33.332</p>		10	8	-	-	25	16	14	2,8(2,8/-/-)	93			
		2	0	0	0	12	17	3	1,3(2/1,25/1,5)	43	$\text{♀}/48/+$	$\text{♀}/48/+$	
		0	-	0	0	0	-	0	0,75(-/0,5/1)	25			
		10	9	-	-	166	15	60	2,8(2,8/-/-)	93			
		7	3	0	0	51	10	10	1,7(1,71/2/1,33)	57	$\sigma/48/(+)$	$\text{♀}/72/(+)$	
		2	0	0	0	8	38	2	1,35(2/1,25/1,13)	45			
		9	1	0	0	54	15	18	2,35(2,33/2/3)	78			
		2	0	0	0	1	0	<1(0,2)	1,7(-/1,7/1,7)	57	$\sigma/72/+$	$\text{♀}/24/++$	
		1	0	0	0	0	-	0	1(1/1/1)	33			
		8	7	2	1	85	6	61	2,65(2,63/3/2,5)	88			
		2	0	0	0	9	11	3	2,2(2/2,38/2,13)	73	$\text{♀}/72/+$	$\text{♀}/24/+$	
	0	-	0	0	2	0	<1(0,4)	1,25(-/1,3/1,2)	42				
		9,3 \pm 0,5			82,5 \pm 30,4			88,0 \pm 3,5					
		3,3 \pm 1,3			18,3 \pm 11,2			57,5 \pm 6,1					
		0,8 \pm 0,5			2,5 \pm 1,9			36,3 \pm 4,5					
		10	10	-	-	515	9	187	2,9(2,9/-/-)	97			
		10	10	-	-	180	17	35	2,6(2,6/-/-)	87	$\sigma/72/(+)$	$\text{♀}/72/(+)$	
		5	1	1	0	29	59	6	1,6(1,6/1,6/1,6)	53			
		10	9	-	-	194	9	66	2,8(2,8/-/-)	93			
		6	2	1	1	37	16	9	2(2/1,5/2,5)	67		$\text{♀}/48/+$	
	1	0	0	2	3	67	<1(0,8)	1,05(1/0,89/1,22)	35				

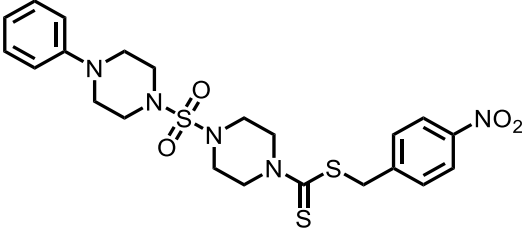
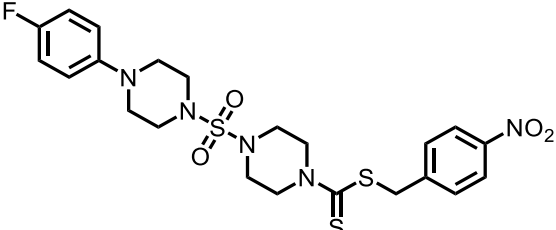
Strukturformel	Konzentration [μM]	Paare (von 10)	Paare angesaugt	♂ angesaugt	♀ angesaugt	absolute Eizahl	Deformation [%]	Eizahl normiert [%]	WMS: \emptyset (♂/♂/♀)	WMS normiert [%]	Tegument-schäden	Darm-dilatation
 <p>Schl-33.332</p>	9	9	1	1	146	6	89	3(3/3/3)	100			
	6	5	2	2	236	6	58	2,6(2,67/2,5/2,5)	87			
	2	1	2	1	38	26	14	1,9(1,5/1,5/2,5)	63			
	10	10	-	-	322	6	232	2,9(2,9/-/-)	97			
	10	10	-	-	262	5	82	2,9(2,9/-/-)	97	♂/72/(+)	♀/72/+	
	8	4	0	0	219	11	48	2,1(2,25/1,5/1,5)	70			
	10	6	-	-	219	11	124	2,8(2,8/-/-)	93			
	10	9	-	-	121	12	48	2,8(2,8/-/-)	93		♀/72/(+)	
	8	6	1	0	166	8	43	2,55(2,63/2,5/2)	85			
	10	10	-	-	210	10	119	2,8(2,8/-/-)	93			
7	6	1	1	140	9	55	2,65(2,86/2,33/2)	88		♀/72/+		
4	2	4	3	83	10	21	2,25(2,25/2,33/2,17)	75				
		9,8 ± 0,2			267,7 ± 54,8			95,5 ± 1,2				
		8,2 ± 0,8			162,7 ± 33,5			86,5 ± 4,2				
		4,7 ± 1,3			89,7 ± 35,8			63,5 ± 8,2				
 <p>Schl-33.332</p>	4	8	8	1	2	252	4	129	2,95(3/2,5/3)	98		
		8	8	1	2	248	9	87	2,95(3/2,5/3)	98		
		8	8	2	2	291	7	125	2,95(3/3/2,5)	98		
	3	9	9	1	1	250	4	128	2,9(3/2/2)	97		
		9	9	1	1	452	11	159	3(3/3/3)	100		
		9	8	0	1	304	8	130	2,85(2,89/2/3)	95		
	2	9	9	1	1	334	5	170	3(3/3/3)	100		
		6	6	3	3	438	11	154	2,9(3/2,75/2,75)	97		
		8	8	0	2	375	5	161	2,95(3/2,5/3)	98		
	1	10	9	-	-	688	11	250	3(3/-/-)	100		
		10	10	-	-	638	9	125	3(3/-/-)	100		
		10	8	-	-	524	8	104	2,9(2,9/-/-)	97		

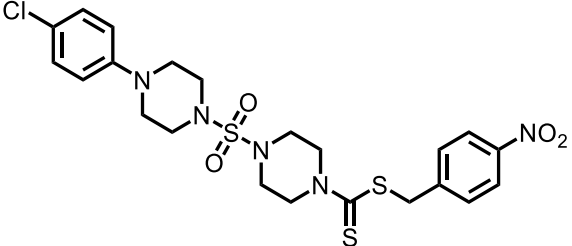
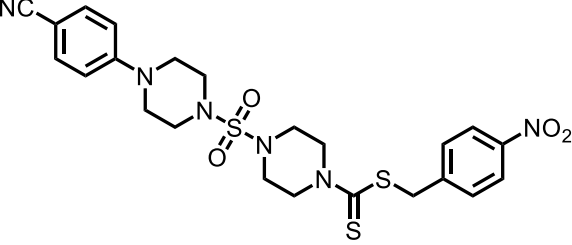
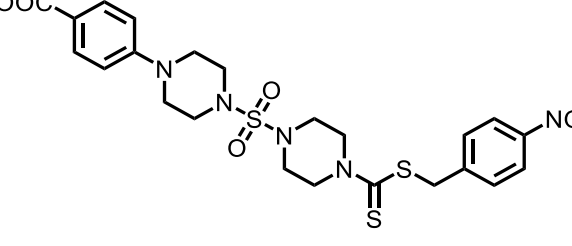
Strukturformel	Konzentration [μM]	Paare (von 10)	Paare angesaugt	♂ angesaugt	♀ angesaugt	absolute Eizahl	Deformation [%]	Eizahl normiert [%]	WMS: \emptyset (♀/♂/♀)	WMS normiert [%]	Tegument-schäden	Darm-dilatation
 <p>Schl-33.362</p>	10	7	6	2	0	183	17	67	2,8(2,86/2,67/2,67)	93		
		0	-	1	0	111	30	22	2,05(-/2/2,1)	68		♂/72/++
		0	-	0	0	69	44	14	0,95(-/0,9/1)	32		
		10	7	-	-	319	9	208	2,8(2,8/-/-)	93		
	3	0	0	0	60	30	20	1,8(2/1,29/2,14)	60		♀/48/++	
	2	0	0	0	43	47	13	1,2(1/1/1,5)	40			
	4	3	5	3	203	9	124	2,65(2,5/2,67/2,83)	88			
	0	-	0	0	35	14	9	1,2(-/1,3/1,1)	40		♀/48/+++	
	0	-	0	0	0	-	0	0,9(-/0,8/1)	30			
			7,0 ± 1,7			235,0 ± 42,4			91,3 ± 1,7			
		1,0 ± 1,0			68,7 ± 22,4			56,0 ± 8,3				
		0,7 ± 0,7			37,3 ± 20,1			34,0 ± 3,1				
	5	10	9	-	-	304	13	199	2,9(2,9/-/-)	97		
		10	9	-	-	402	10	133	2,8(2,8/-/-)	93		
		10	5	-	-	292	7	91	2,8(2,8/-/-)	93		
 <p>Schl-33.477</p>	10	10	10	-	-	291	4	190	3(3/-/-)	100		
		10	10	-	-	670	6	221	2,9(2,9/-/-)	97		
		10	10	-	-	762	9	237	2,9(2,9/-/-)	97		

Strukturformel	Konzentration [μM]	Paare (von 10)	Paare angesaugt	♂ angesaugt	♀ angesaugt	absolute Eizahl	Deformation [%]	Eizahl normiert [%]	WMS: \emptyset ($\sigma/\sigma/\sigma$)	WMS normiert [%]	Tegument-schäden	Darm-dilatation
 <p>Schl-33.321</p>	10	10	10	-	-	429	10	130	2,9(2,9/-/-)	97		
		10	10	-	-	395	14	120	2,8(2,8/-/-)	93		
		10	10	-	-	364	23	119	2,9(2,9/-/-)	97		
 <p>Schl-33.550</p>	10	9	8	1	0	35	3	21	2,75(2,78/3/2)	92		
		9	6	0	1	96	18	18	2,7(2,67/3/3)	90		
		9	6	0	1	55	27	17	2,7(2,67/3/3)	90		
	10	10	8	-	-	96	12	59	2,8(2,8/-/-)	93		
		9	8	0	0	123	8	31	2,7(2,78/2/2)	90		
		9	8	0	1	93	15	34	2,65(2,67/2/3)	88		
 <p>Schl-33.320</p>	10	10	10	-	-	447	20	135	2,9(2,9/-/-)	97		
		10	10	-	-	451	17	138	2,9(2,9/-/-)	97		
		10	10	-	-	352	40	115	2,9(2,9/-/-)	97		

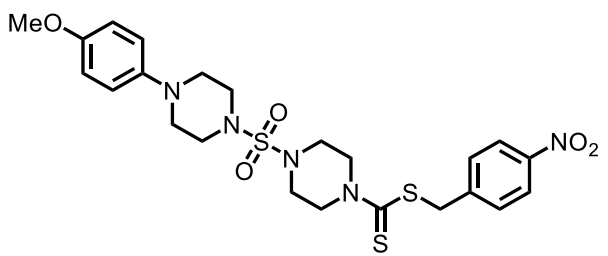
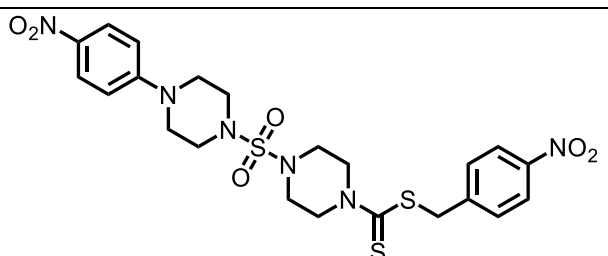
Strukturformel	Konzentration [μm]					absolute Eizahl	Deformation [%]	Eizahl normiert [%]	WMS: \emptyset ($\sigma/\sigma/\sigma$)	WMS normiert [%]	Tegument-schäden	Darm-dilatation	
		Paare (von 10)	Paare angesaugt	σ angesaugt	σ angesaugt								
 <p>Schi-33.562</p>	10	10	8	-	-	160	4	94	2,8(2,8/-/-)	93			
		9	8	0	0	212	6	75	2,75(2,78/2/3)	92			
		9	7	0	0	152	16	80	2,55(2,56/2/3)	85			
	10	10	10	-	-	169	8	103	3(3/-/-)	100			
		10	10	-	-	126	16	31	2,9(2,9/-/-)	97			
		9	9	1	1	154	15	57	2,9(2,89/3/3)	97			
		5	5	0	0	0	95	24	35	2,55(2,6/2,4/2,6)	85		
			0	-	1	0	14	71	3	2,15(-/2/2,3)	72	$\sigma/24/++$	$\sigma/72/+$
			0	-	1	0	7	43	1	1,65(-/1,7/1,6)	55		
 <p>Schi-33.328</p>	10	10	9	-	-	278	12	182	2,8(2,8/-/-)	93			
		8	6	1	0	306	12	101	2,65(2,63/2,5/3)	88		$\sigma/48/(+)$	
		7	5	1	3	111	23	35	2,65(2,71/2,33/2,67)	88			
	10	9	8	1	0	445	10	271	2,85(2,89/3/2)	95			
		9	9	1	0	459	7	114	2,85(2,89/2/3)	95			
		8	8	0	2	372	7	137	2,8(2,88/2/3)	93			
		9	7	1	1	268	9	132	2,8(2,78/3/3)	93			
		9	9	1	1	358	9	126	2,9(2,89/3/3)	97			
		8	8	2	2	355	10	124	2,9(2,88/3/3)	97			
				8,3 \pm 1,1		271,5 \pm 71,5		91,5 \pm 2,2					
		6,5 \pm 2,2		284,3 \pm 95,5		88,0 \pm 5,7							
		5,8 \pm 1,9		211,3 \pm 90,5		83,3 \pm 9,6							
5	9	9	1	1	480	10	314	3(3/3/3)	100				
	9	9	1	1	445	6	147	2,9(2,89/3/3)	97				
	9	8	1	1	366	8	114	2,9(2,89/3/3)	97				

Strukturformel	Konzentration [μM]	Paare (von 10)	Paare angesaugt	♂ angesaugt	♀ angesaugt	absolute Eizahl	Deformation [%]	Eizahl normiert [%]	WMS: \emptyset ($\sigma/\sigma/\sigma$)	WMS normiert [%]	Tegument-schäden	Darm-dilatation
 <p>Schl-33.370</p>	10	10 9 8	10 9 7	- 1 0	- 0 0	155 391 172	22 14 27	56 77 34	3(3/-/-) 3(3/3/3) 2,7(2,63/3/3)	100 100 90		
 <p>Schl-33.350</p>	10	10 10 10	9 10 10	- - -	- - -	502 534 735	10 9 11	183 105 146	3(3/-/-) 3(3/-/-) 3(3/-/-)	100 100 100		
 <p>Schl-33.374</p>	10	10 10 10	9 10 10	- - -	- - -	371 675 937	10 12 9	135 132 187	2,9(2,9/-/-) 3(3/-/-) 3(3/-/-)	97 100 100		

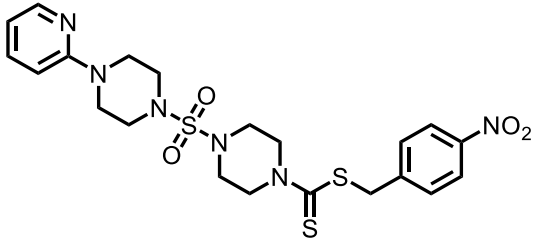
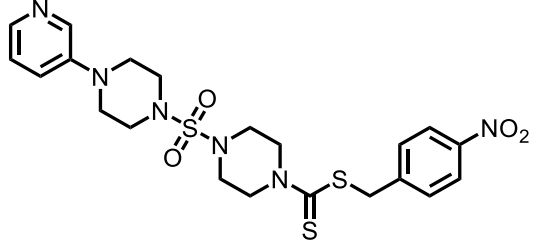
Strukturformel	Konzentration [μM]	Paare (von 10)	Paare angesaugt	σ^7 angesaugt	σ^7 angesaugt	absolute Eizahl	Deformation [%]	Eizahl normiert [%]	WMS: \emptyset ($\sigma^7/\sigma^7/\sigma^7$)	WMS normiert [%]	Tegument-schäden	Darm-dilatation
 <p>Schl-33.438</p>	10	10	9	-	-	458	3	156	2,8(2,8/-/-)	93		
		4	0	0	0	23	9	5	2(2/2/2)	67	$\sigma^7/48/+$	$\sigma^7/48/(+)$
		1	0	0	0	1	100	<1(0,3)	0,95(0/0,89/1,22)	32		
		10	10	-	-	153	10	100	2,8(2,8/-/-)	93		
		4	2	4	1	122	14	40	1,75(2/1,33/1,83)	58	$\sigma^7/72/++$	$\sigma^7/72/(+)$
		0	-	0	0	9	33	3	1,2(-/1,1/1,3)	40		
		8	8	2	0	181	11	110	2,75(2,75/2,5/3)	92		
		8	8	0	1	209	13	52	2,7(2,75/2/3)	90		$\sigma^7/72/(+)$
		0	-	0	0	64	13	24	1,45(-/1,3/1,6)	48		
				9,3 \pm 0,7			264,0 \pm 97,3			92,7 \pm 0,3		
		5,3 \pm 1,3			118,0 \pm 53,7			71,7 \pm 9,8				
		0,3 \pm 0,3			24,7 \pm 19,8			40,0 \pm 4,6				
	5	9	6	0	0	224	14	139	2,8(2,75/3/3)	93		
		9	8	1	1	251	9	83	2,9(2,89/3/3)	97		$\sigma^7/72/(+)$
		8	8	2	2	200	19	62	2,6(2,63/2,5/2,5)	87		
 <p>Schl-33.615</p>	10	9	9	1	1	134	30	62	3(3/3/3)	100		
		10	10	-	-	144	27	36	2,9(2,9/-/-)	97		
		10	9	-	-	131	15	32	2,9(2,9/-/-)	97		

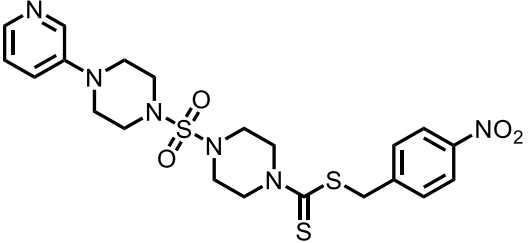
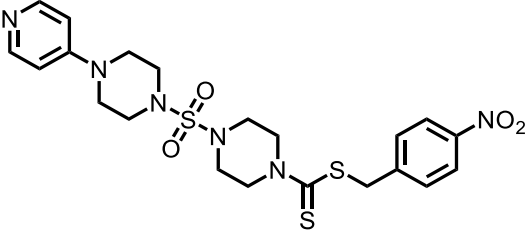
Strukturformel	Konzentration [μM]	Paare (von 10)	Paare angesaugt	♂ angesaugt	♀ angesaugt	absolute Eizahl	Deformation [%]	Eizahl normiert [%]	WMS: \emptyset (♀/♂/♀)	WMS normiert [%]	Tegument-schäden	Darm-dilatation
 <p>Schi-33.472</p>	10	10	10	-	-	479	6	282	3(3/-/-)	100		
		10	10	-	-	579	4	204	2,9(2,9/-/-)	97		
		10	9	-	-	506	10	268	2,9(2,9/-/-)	97		
		10	10	-	-	150	7	98	3(3/-/-)	100		
		10	10	-	-	561	14	185	2,9(2,9/-/-)	97		
		10	10	-	-	589	14	183	2,8(2,8/-/-)	93		
 <p>Schi-33.496</p>	10	10	10	-	-	409	6	249	3(3/-/-)	100		
		10	8	-	-	656	11	120	2,8(2,8/-/-)	93		
		10	9	-	-	519	6	157	2,7(2,7/-/-)	90		
 <p>Schi-33.759</p>	10	10	7	-	-	103	8	80	2,8(2,8/-/-)	93		
		8	4	1	1	265	5	148	2,5(2,5/2/3)	83		
		6	2	2	2	127	9	83	2,45(2,33/2,5/2,75)	82		

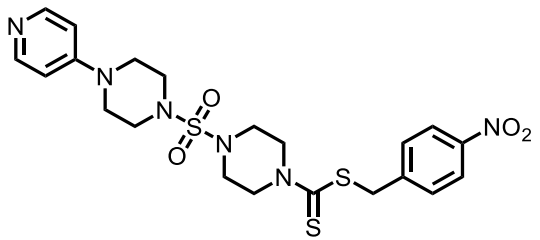
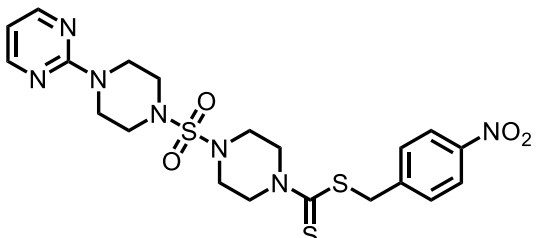
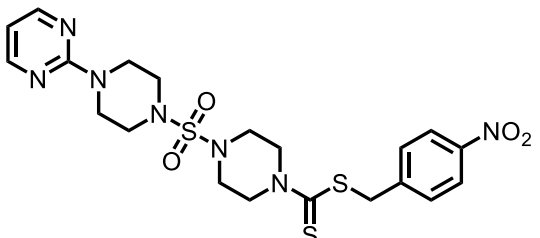
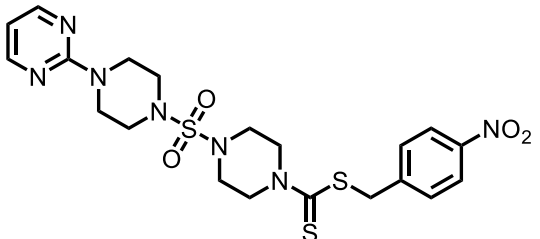
Strukturformel	Konzentration [μM]	Paare (von 10)	Paare angesaugt	σ° angesaugt	σ° angesaugt	absolute Eizahl	Deformation [%]	Eizahl normiert [%]	WMS: ϕ ($\sigma^{\circ}/\sigma^{\circ}/\sigma^{\circ}$)	WMS normiert [%]	Tegument-schäden	Darm-dilatation
<p>Schl-33.756</p>	10	9	9	0	0	109	2	85	2,75(2,78/2/3)	92		
		9	8	0	1	155	10	87	2,85(2,89/3/3)	95		
		9	5	0	1	165	9	107	2,5(2,56/1/3)	83		
<p>Schl-33.765</p>	10	10	10	-	-	231	6	136	2,9(2,9/-/-)	97	$\sigma^{\circ}/72/(+)$	
		10	6	-	-	233	5	82	2,9(2,9/-/-)	97		
		9	2	0	0	130	15	69	2,1(2,11/2/2)	70		
		10	10	-	-	258	12	167	3(3/-/-)	100		
		10	9	-	-	142	14	45	2,8(2,8/-/-)	93		
		10	7	-	-	252	11	60	2,6(2,6/-/-)	87		
		10	10	-	-	214	5	109	3(3/-/-)	100		
		9	8	1	1	339	10	119	2,8(2,78/3/3)	93		
		8	7	2	1	213	5	91	2,85(2,88/3/2,5)	95		
				10,0 \pm 0,0				234,3 \pm 12,8		99,0 \pm 1,0		
		9,7 \pm 0,3				238,0 \pm 56,9		94,3 \pm 1,3				
		9 \pm 0,6				198,3 \pm 36,0		84,0 \pm 7,4				
<p>Schl-33.597</p>	10	10	10	-	-	357	6	210	3(3/-/-)	100		
		9	5	1	1	380	3	134	2,55(2,55/2/3)	85		
		8	5	1	0	328	4	174	2,5(2,38/3/3)	83		

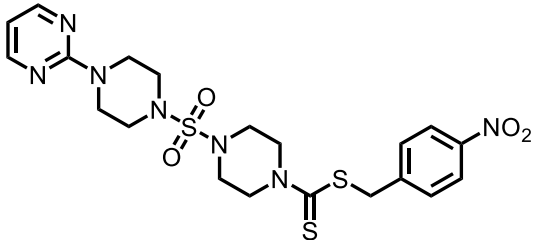
Strukturformel	Konzentration [μM]	Paare (von 10)	Paare angesaugt	♂ angesaugt	♀ angesaugt	absolute Eizahl	Deformation [%]	Eizahl normiert [%]	WMS: \emptyset (♀/♂/♀)	WMS normiert [%]	Tegument-schäden	Darm-dilatation
 <p>Schl-33.480</p>	10	9	9	1	0	131	6	86	2,9(2,89/3/3)	97		
		2	1	0	0	91	9	30	1,65(2/1,5/1,63)	55	♂/48/+	♀/48/+
		1	0	0	0	4	25	1	1,1(1/1/1,22)	37		
		10	9	-	-	149	8	88	2,9(2,9/-/-)	97		
	5	0	1	3	161	6	57	2,25(2/2,2/2,8)	75	♂/72/++	♀/72/+	
	0	-	0	0	5	40	3	0,85(-/0,7/1)	28			
	10	10	-	-	133	8	81	2,9(2,9/-/-)	97			
	9	1	0	0	96	7	24	2,25(2,33/1/2)	75	♂/72/+	♀/48/+	
	0	-	0	0	5	0	2	1,35(-/1,2/1,5)	45			
			9,7 ± 0,3			137,7 ± 5,7			97,0 ± 0,0			
		5,3 ± 2,0			116,0 ± 22,6			68,3 ± 6,7				
		0,3 ± 0,3			4,7 ± 0,3			36,7 ± 4,9				
	5	9	8	1	1	130	15	79	2,9(2,89/3/3)	97		
		9	9	0	1	186	10	46	2,85(2,89/2/3)	95		
		8	8	1	2	169	10	62	2,75(2,75/2,5/3)	92		
 <p>Schl-33.564</p>	10	8	8	2	0	57	30	26	2,75(2,75/2,5/3)	92		
		7	7	2	2	116	18	29	2,65(2,71/2,33/2,67)	88		
		6	5	3	2	87	21	21	2,65(2,67/2,75/2,5)	88		

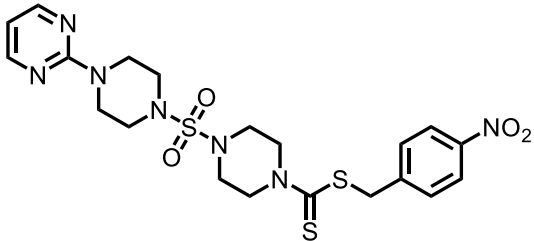
Strukturformel	Konzentration [μM]	Paare (von 10)	Paare angesaugt	♂ angesaugt	♀ angesaugt	absolute Eizahl	Deformation [%]	Eizahl normiert [%]	WMS: \emptyset (♀/♂/♀)	WMS normiert [%]	Tegument-schäden	Darm-dilatation
 Schl-33.406	10	10	10	-	-	293	9	100	2,9(2,9/-/-)	97		
		10	10	-	-	442	10	105	3(3/-/-)	100		
		10	10	-	-	335	12	87	2,9(2,9/-/-)	97		
 Schl-33.456	10	8	7	1	1	90	7	53	2,65(2,75/1,5/3)	88		
		7	5	2	1	66	18	23	2,55(2,57/2,66/2,33)	85		♀/48/+
		3	1	1	0	4	25	2	1,8(1,67/1,71/2)	60		
		10	10	-	-	239	8	156	2,8(2,8/-/-)	93		
		9	9	1	0	173	10	57	2,7(2,78/3/1)	90		♀/48/+
		8	6	2	0	77	20	24	1,8(1,88/1,5/1,5)	60		
		10	10	-	-	159	8	103	3(3/-/-)	100		
		8	6	1	0	56	5	18	2,3(2,38/2,5/1,5)	77		♀/48/++
		6	3	1	0	64	16	12	2(2/2/2)	67		
				9,3 ± 0,7			162,7 ± 43,1			93,7 ± 3,5		
		8,0 ± 0,6			98,3 ± 37,5			84,0 ± 3,8				
		5,7 ± 1,5			48,3 ± 22,5			62,3 ± 2,3				
	5	10	8	-	-	153	1	105	2,7(2,7/-/-)	90		
		7	6	1	1	62	13	20	2,3(2,43/1,33/2,67)	77		♀/48/(+)
		9	5	0	0	36	14	9	2,35(2,33/2/3)	78		
		10	10	-	-	174	16	99	2,9(2,9/-/-)	97		
		10	10	-	-	224	16	88	2,9(2,9/-/-)	97		
		10	10	-	-	363	6	93	3(3/-/-)	100		
		9	9	1	1	90	12	44	2,8(2,78/3/3)	93		
		7	6	3	1	106	21	37	2,8(2,86/3/2,33)	93		♀/48/(+)
		3	3	5	2	24	42	8	2,6(3/2,71/2)	87		

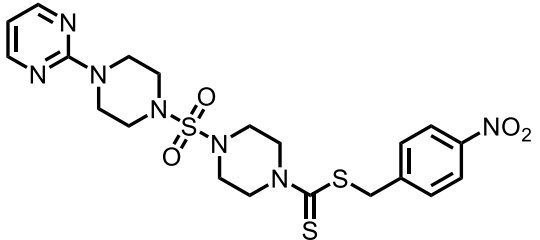
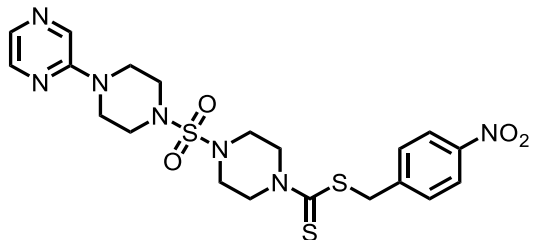
Strukturformel	Konzentration [μM]	Paare (von 10)	Paare angesaugt	σ° angesaugt	φ angesaugt	absolute Eizahl	Deformation [%]	Eizahl normiert [%]	WMS: \emptyset ($\varphi^{\circ}/\sigma^{\circ}/\varphi$)	WMS normiert [%]	Tegument-schäden	Darm-dilatation
 <p>Schl-33.456</p>		10	8	-	-	220	12	108	2,8(2,8/-/-)	93		
		10	10	-	-	263	9	92	2,9(2,9/-/-)	97		$\varphi/72/(+)$
		7	7	2	1	136	18	47	2,45(2,86/2/2,33)	82		
						9,8 \pm 0,3 8,5 \pm 0,9 7,3 \pm 1,6	159,3 \pm 27,0 163,8 \pm 47,6 139,8 \pm 78,5		93,3 \pm 1,4 91,0 \pm 4,8 86,8 \pm 4,8			
 <p>Schl-33.626</p>	10	9	5	0	0	249	8	146	2,35(2,33/2/3)	78		
		5	0	4	5	89	9	31	1,8(1,8/1,6/2)	60	$\varphi^{\circ}/72/++$	
		2	0	0	0	23	39	12	1,2(1/1,5/1)	40		
		8	5	1	0	44	14	27	2,6(2,63/2,5/2,5)	87		
		1	0	0	0	1	0	<1(0,3)	1,5(1/1,44/1,67)	50	$\varphi^{\circ}/48/++$	$\varphi/72/(+)$
		0	-	0	0	0	-	0	1,2(-/1,2/1,2)	40		
		10	10	-	-	303	7	146	2,9(2,9/-/-)	97		
		10	8	-	-	197	20	49	2,6(2,6/-/-)	87		
		6	2	1	0	106	23	43	2,45(2,67/2,25/2)	82		
		10	10	-	-	296	10	213	2,8(2,8/-/-)	93		
		8	7	0	0	212	11	66	2,6(2,88/1/2)	87		
		8	3	0	0	393	9	86	2,25(2,38/1,5/2)	75		
		9	6	1	1	350	14	252	2,6(2,56/3/3)	83		
8	2	1	0	212	14	66	2,25(2,25/2,5/2)	75	$\varphi^{\circ}/72/(+)$			
4	1	0	0	119	15	26	1,7(2/1,67/1,33)	57				
10	10	-	-	206	16	134	3(3/-/-)	100				
10	8	-	-	464	12	169	2,8(2,8/-/-)	93				
9	7	0	0	263	11	174	2,6(2,67/2/2)	87		$\varphi/72/(+)$		
					9,3 \pm 0,3 7,0 \pm 1,4 4,8 \pm 1,4	241,3 \pm 44,3 195,8 \pm 63,7 150,7 \pm 61,5		89,7 \pm 3,5 75,3 \pm 7,0 63,5 \pm 8,5				

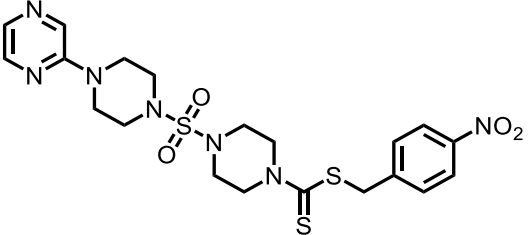
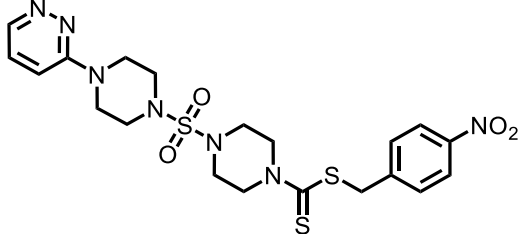
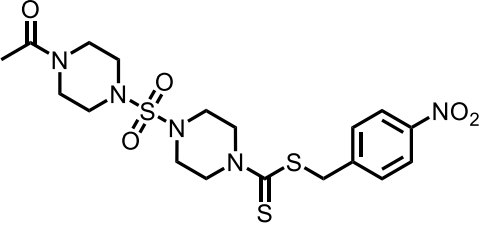
Strukturformel	Konzentration [μM]	Paare (von 10)	Paare angesaugt	♂ angesaugt	♀ angesaugt	absolute Eizahl	Deformation [%]	Eizahl normiert [%]	WMS: \emptyset (♀/♂/♀)	WMS normiert [%]	Tegument-schäden	Darm-dilatation
 <p>Schl-33.626</p>	5	10	9	-	-	179	9	109	2,9(2,9/-/-)	97		
		9	8	0	0	311	14	77	2,85(2,89/2/3)	95		
		7	6	3	1	226	10	84	2,75(2,71/3/2,67)	92		
 <p>Schl-33.494</p>	10	2	2	3	0	465	15	174	2,1(2/1,63/2,63)	70	♀/48/+	♀/72/+
		0	-	0	0	82	88	54	1,35(-/1,4/1,3)	45		
		0	-	0	0	1	100	<1(0,8)	1(-/1/1)	33		
		3	2	1	0	292	15	177	2,3(2,33/1,57/3)	77		
		0	-	0	0	272	47	50	2,3(-/1,8/2,8)	77	♂/48/++	♂/72/+
		0	-	0	0	0	-	0	1,4(-/1,6/1,2)	47		
		0	-	0	0	58	24	27	2,35(-/1,8/2,9)	78		
		0	-	0	0	31	84	8	1,75(-/1,5/2)	58	♀/48/++	♀/72/++
		0	-	0	0	3	100	<1(0,7)	0,85(-/0,8/0,9)	28		
		7	2	1	2	391	13	281	2,35(2,29/2,33/1,67)	78		
0	-	0	0	176	57	55	1,85(-/1,5/2,2)	62	♂/48/++			
0	-	0	0	2	100	<1(0,4)	1,3(-/1,3/1,3)	43				
		3,0 ± 1,5 0,0 ± 0,0 0,0 ± 0,0			301,5 ± 88,6 140,3 ± 53,2 1,5 ± 0,7			75,8 ± 1,9 60,5 ± 6,6 37,8 ± 4,4				
	5	9	8	0	0	523	5	197	2,7(2,67/3/3)	90		
		5	3	2	1	364	21	241	2,55(2,6/2,4/2,6)	85	♂/72/(+)	
		5	0	3	0	181	49	136	2,15(1,8/2,4/2,2)	72		
		7	7	3	0	271	21	124	2,8(2,86/2,33/3)	93		
		3	2	5	0	151	38	38	2,65(2,33/2,57/3)	88	♂/48/(+)	
1	0	0	0	116	34	28	2,3(2/2,33/2,33)	77				

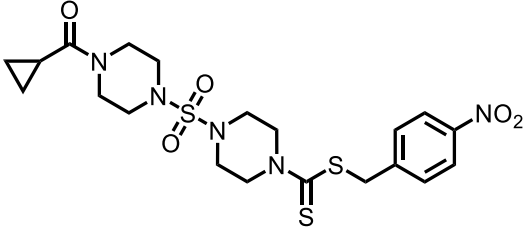
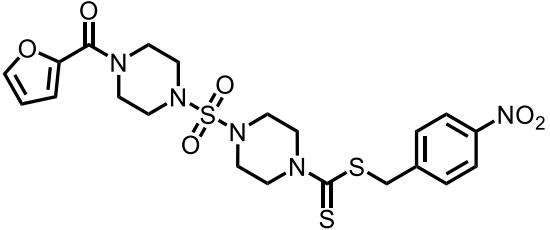
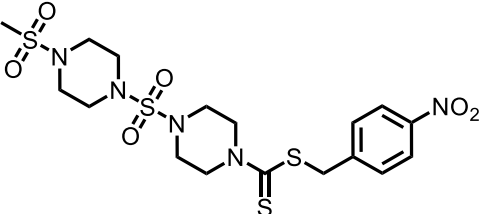
Strukturformel	Konzentration [μM]	Paare	Paare angesaugt	σ^7 angesaugt	σ^7 angesaugt	absolute Eizahl	Deformation [%]	Eizahl normiert [%]	WMS: \emptyset ($\sigma^7/\sigma^7/\sigma^7$)	WMS normiert [%]	Tegument-schäden	Darm-dilatation
		(von 10)										
 Schl-33.494		10	10	-	-	589	6	359	2,9(2,9/-/-)	97		
		7	6	2	3	314	11	78	2,85(2,86/2,67/3)	95		
		5	1	4	0	280	21	103	2,45(2,4/2,2/2,8)	82		
		8,7 \pm 0,9				461,0 \pm 96,9			93,3 \pm 2,0			
 Schl-33.354	1	10	10	-	-	460	3	173	2,8(2,8/-/-)	93		
		10	10	-	-	311	6	206	2,8(2,8/-/-)	93		
		9	9	0	1	397	11	299	2,75(2,78/2/3)	92		
		9,3 \pm 0,7				207,3 \pm 46,0			92,0 \pm 1,0			
 Schl-33.354	10	10	9	-	-	284	22	103	2,8(2,8/-/-)	93	$\sigma^7/48/+$	
		5	3	0	0	192	26	38	2,2(2,2/2/2,4)	73		
		0	-	0	0	8	63	2	1,25(-/1/1,5)	42		
		10	9	-	-	213	17	132	2,8(2,8/-/-)	93		
		7	6	3	3	236	11	78	2,6(2,57/2,33/3)	87		$\sigma^7/72/(+)$
		2	0	0	0	40	20	12	1,4(1,5/1,25/1,5)	47		
		8	6	2	1	125	9	76	2,7(2,75/2,5/2,5)	90	$\sigma^7/48/++$	$\sigma^7/48/(+)$
		0	-	0	0	37	11	9	1,75(-/1,7/1,8)	58		
		0	-	0	0	0	-	0	1,45(-/1,5/1,4)	48		
		4,0 \pm 2,1				155,0 \pm 60,4			72,7 \pm 8,4			
 Schl-33.354	5	10	9	-	-	236	10	147	2,8(2,8/-/-)	93	$\sigma^7/72/(+)$	$\sigma^7/72/(+)$
		8	7	1	1	415	13	137	2,8(2,75/3/3)	93		
		6	5	2	1	151	14	47	1,9(1,67/1,75/2,75)	63		
		10	10	-	-	201	9	123	2,8(2,8/-/-)	93	$\sigma^7/72/+$	$\sigma^7/72/+$
		6	4	0	0	125	9	31	2,55(2,5/2,5/2,75)	85		
		2	0	0	0	0	-	0	1,6(1,5/1,5/1,75)	53		
		10	9	-	-	108	8	78	2,8(2,8/-/-)	93		
		5	1	1	0	13	31	4	1,9(2/1,4/2,2)	63		$\sigma^7/48/+$
		2	0	0	0	4	50	<1(0,9)	1,3(1,5/1,1,38/1,5)	43		
		0,7 \pm 0,7				16,0 \pm 12,2			45,7 \pm 1,9			

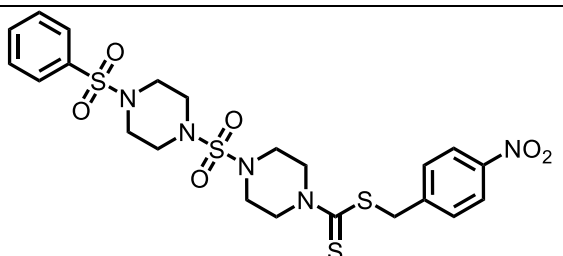
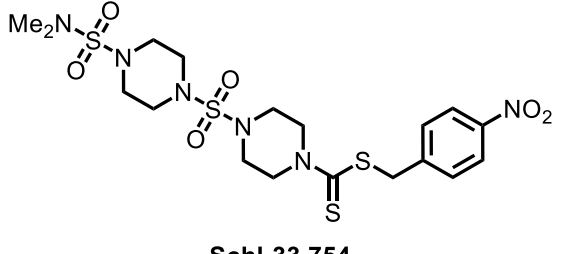
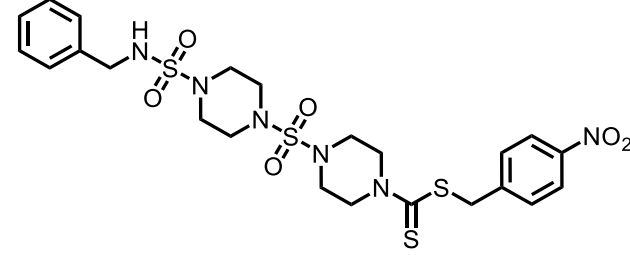
Strukturformel	Konzentration [μM]	Paare (von 10)	Paare angesaugt	σ angesaugt	φ angesaugt	absolute Eizahl	Deformation [%]	Eizahl normiert [%]	WMS: \emptyset ($\varphi/\sigma/\varphi$)	WMS normiert [%]	Tegument-schäden	Darm-dilatation	
		10	9	-	-	136	5	98	2,8(2,8/-/-)	93		$\varphi/48/+$	
		5	1	1	0	15	27	5	1,8(1,8/2/1,6)	60			
		1	0	1	0	3	0	<1(0,7)	1,5(2/1,33/1,56)	50			
		10,0 \pm 0,0 6,0 \pm 0,7 2,8 \pm 1,1				170,3 \pm 29,3 142,0 \pm 94,7 39,5 \pm 37,2			93,0 \pm 0,0 75,3 \pm 8,1 52,3 \pm 4,2				
 <p>Schi-33.354</p>	4	10	9	-	-	244	7	120	2,8(2,8/-/-)	93	$\sigma/72/(+)$	$\varphi/72/(+)$	
		6	5	3	2	225	15	79	2,7(2,83/2,5/2,5)	90			
		1	0	0	1	27	26	9	1,85(1/1,78/2,11)	62			
		9	9	1	1	124	14	191	2,9(2,89/3/3)	97		$\varphi/48/+$	
		5	5	4	1	145	31	41	2,55(2,8/2,8/1,8)	85			
		3	2	2	1	140	16	33	2,35(2,33/2,29/2,43)	78			
		10	10	-	-	121	5	186	2,9(2,9/-/-)	97		$\varphi/48/+$	
		7	7	1	1	53	15	15	2,8(2,71/2,67/2,33)	93			
		3	0	0	1	3	0	<1(0,7)	1,85(2,33/1,71/1,57)	62			
		9	9	1	1	124	13	191	2,95(3/3/2)	98		$\varphi/48/(+)$	
		5	5	2	0	78	9	22	2,45(2,8/2,4/1,8)	82			
		3	2	2	0	30	7	7	1,75(1,67/2/1,57)	58			
		9	9	1	1	136	7	69	2,9(2,89/3/3)	97		$\varphi/48/(+)$	
		9	9	1	0	237	16	83	2,6(2,67/3/1)	87			
2	2	5	1	19	11	8	2,05(2,5/2,38/1,5)	68					
9	9	1	1	169	9	68	2,9(2,89/3/3)	97		$\varphi/48/(+)$			
5	5	5	1	124	19	44	2,55(2,6/3/2)	85					
4	3	2	1	107	8	46	1,85(2/2,17/1,33)	62					
9,3 \pm 0,2 6,2 \pm 0,6 2,7 \pm 0,4				153,0 \pm 19,6 143,7 \pm 30,7 54,3 \pm 22,6			96,5 \pm 0,7 87,0 \pm 1,6 65,0 \pm 2,9						
	3	8	8	2	2	129	16	64	2,85(2,88/3/2,5)	95		$\varphi/72/(+)$	
		5	4	5	2	73	21	26	2,75(2,8/3/2,4)	92			
		1	1	7	3	24	58	8	2,5(3/2,44/2,11)	83			

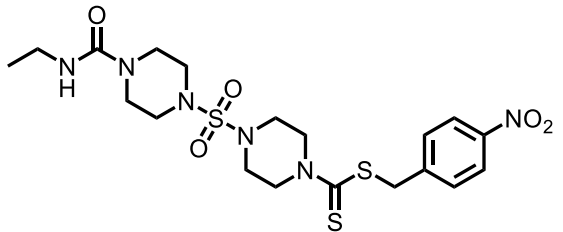
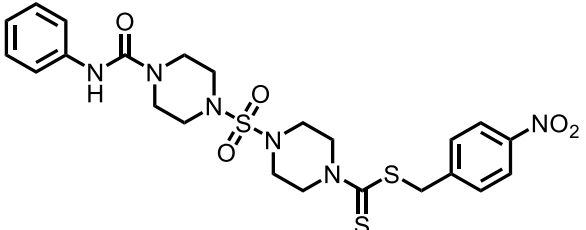
Strukturformel	Konzentration [μM]					absolute Eizahl	Deformation [%]	Eizahl normiert [%]	WMS: \emptyset ($\sigma/\sigma/\sigma$)	WMS normiert [%]	Tegument-schäden	Darm-dilatation
		Paare (von 10)	Paare angesaugt	σ angesaugt	σ angesaugt							
 <p>Schl-33.354</p>	10	10	-	-	120	13	185	2,9(2,9/-/-)	97			
	6	5	4	2	100	16	29	2,8(2,83/3/2,5)	93		♀/72/(+)	
	4	3	2	4	63	18	15	2,5(2,5/2,67/2,33)	83			
	10	10	-	-	62	10	95	2,9(2,9/-/-)	97			
	7	6	1	1	123	11	35	2,7(2,86/2,33/2,33)	90		♀/72/(+)	
	3	2	3	2	13	31	3	2,25(2,67/2,43/1,71)	75			
	10	10	-	-	115	14	177	3(3/-/-)	100			
	9	8	1	0	195	9	56	2,85(2,89/3/2)	95			
	5	3	3	2	167	16	40	2,5(2,6/2,6/2,2)	83			
	8	8	2	2	152	11	78	2,95(3/3/2,5)	98			
	6	5	4	2	179	18	63	2,55(2,5/3/2,25)	85		♀/72/(+)	
	2	2	6	0	110	8	47	2,2(2,5/2,75/1,5)	73			
	10	10	-	-	149	19	76	2,9(2,9/-/-)	97			
7	7	3	1	183	22	64	2,7(2,71/3/2,33)	90		♀/72/(+)		
5	5	4	4	127	17	55	2,6(2,6/2,8/2,4)	87				
		9,3 ± 0,4			121,2 ± 13,3			97,3 ± 0,7				
		6,7 ± 0,6			142,2 ± 20,6			90,8 ± 1,4				
		3,3 ± 0,7			84,0 ± 24,8			80,7 ± 2,2				
	2	8	8	1	2	192	12	95	2,85(2,88/2,5/3)	95		♀/72/(+)
		8	8	2	2	373	11	131	2,85(2,88/3/2,5)	95		
		5	5	5	5	224	10	78	2,8(2,8/2,8/2,8)	93		
		9	9	1	1	119	13	183	3(3/3/3)	100		
		7	6	3	2	296	10	85	2,85(2,86/3/2,67)	95		
		3	3	5	6	188	15	45	2,8(3/2,71/2,71)	93		

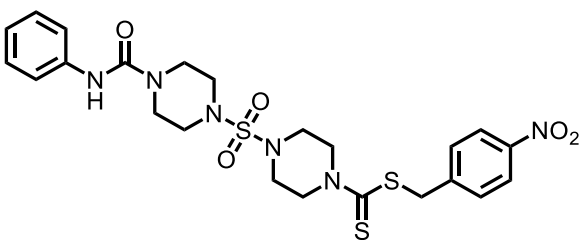
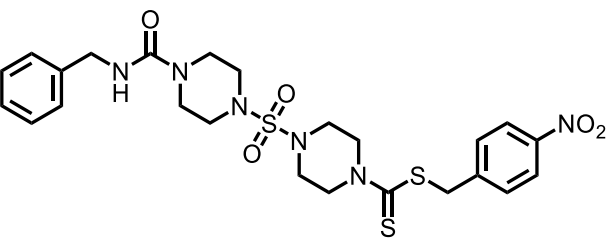
Strukturformel	Konzentration [μM]	Paare (von 10)	Paare angesaugt	♂ angesaugt	♀ angesaugt	absolute Eizahl	Deformation [%]	Eizahl normiert [%]	WMS: \emptyset (♀/♂/♀)	WMS normiert [%]	Tegument-schäden	Darm-dilatation
 <p>Schl-33.354</p>	1	8	7	2	2	229	6	113	2,85(2,88/2,5/3)	95		
		6	6	2	4	277	12	97	2,95(3/2,75/3)	98		
		7	7	3	3	190	5	66	2,95(3/2,67/3)	98		
 <p>Schl-33.743</p>	10	10	8	-	-	195	8	152	2,8(2,8/-/-)	93		
		7	1	1	0	125	13	70	1,75(1,71/1,67/2)	58	♀/48/(+)	♀/48/(+)
		1	0	0	0	23	65	15	1,65(2/1,44/1,78)	55		
		10	10	-	-	323	10	197	2,8(2,8/-/-)	93		
		7	1	1	0	188	13	47	2,15(2,14/2/2,33)	72	♂/48/+	♀/48/(+)
		1	0	0	0	3	0	1	1,3(1/1,44/1,22)	43		
		10	6	-	-	164	12	79	2,7(2,7/-/-)	90		
		6	1	1	0	3	0	<1(0,8)	1,75(1,5/2/2,25)	58	♂/48/+	♀/48/+
		2	0	0	0	0	-	0	1,2(1/1,25/1,25)	40		
		10	10	-	-	414	8	135	2,7(2,7/-/-)	90		
		8	5	0	0	316	15	132	2,6(2,63/2,5/2,5)	87		
		7	1	1	0	180	17	64	2,25(2,14/2,33/2,67)	75		
		10	10	-	-	348	10	225	2,7(2,7/-/-)	90		
9	6	0	0	392	7	124	2,6(2,67/2/2)	87				
4	1	0	0	188	13	45	1,35(1,25/1,33/2,5)	45				
10	10	-	-	457	7	295	2,9(2,9/-/-)	97				
9	5	0	0	356	4	113	2,5(2,56/2/2)	83	♂/72/(+)	♀/48/(+)		
0	-	1	0	112	11	27	1,4(-/1,5/1,3)	47				
		10,0 ± 0,0				316,8 ± 47,7		92,2 ± 1,1				
		7,7 ± 0,5				230,0 ± 61,6		74,2 ± 5,6				
		2,5 ± 1,1				84,3 ± 35,7		50,8 ± 5,3				

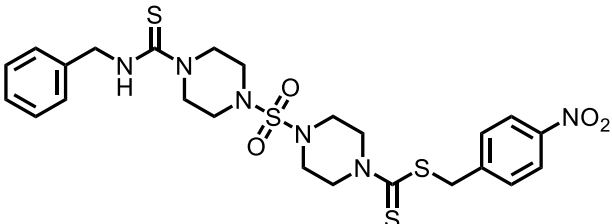
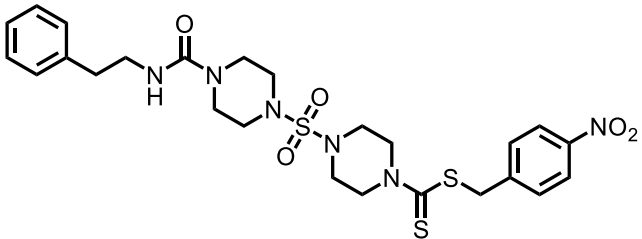
Strukturformel	Konzentration [μM]	Paare (von 10)	Paare angesaugt	σ angesaugt	φ angesaugt	absolute Eizahl	Deformation [%]	Eizahl normiert [%]	WMS: \emptyset ($\varphi/\sigma/\varphi$)	WMS normiert [%]	Tegument-schäden	Darm-dilatation
 <p>Schl-33.743</p>	5	10 8 6	10 6 4	- 2 4	- 2 0	154 232 73	9 14 22	74 58 30	2,9(2,9/-/-) 2,8(2,75/3/3) 2,6(2,67/2,75/2,25)	97 93 87	$\sigma/72/(+)$	$\varphi/72/(+)$
 <p>Schl-33.629</p>	10	9 7 9	7 5 7	1 0 1	0 2 1	175 233 267	10 4 10	103 82 141	2,85(2,89/2/3) 2,7(2,71/2,33/3) 2,8(2,78/3/3)	95 90 93		
 <p>Schl-33.371</p>	10	10 10 10	10 9 10	- - -	- - -	602 623 416	9 11 11	219 122 83	3(3/-/-) 3(3/-/-) 3(3/-/-)	100 100 100		

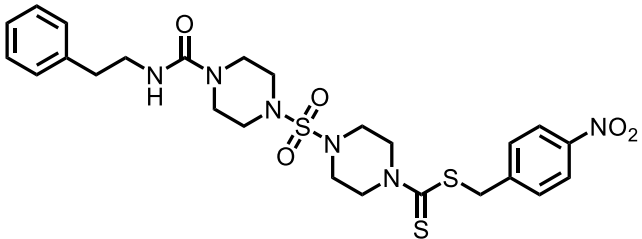
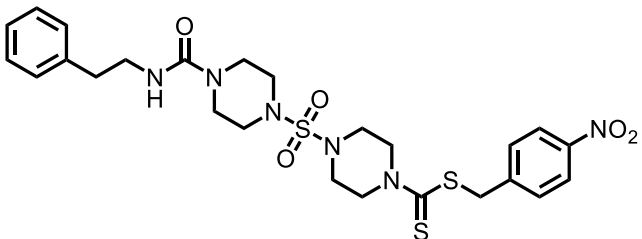
Strukturformel	Konzentration [μM]	Paare (von 10)	Paare angesaugt	♂ angesaugt	♀ angesaugt	absolute Eizahl	Deformation [%]	Eizahl normiert [%]	WMS: \emptyset (♀/♂/♀)	WMS normiert [%]	Tegument-schäden	Darm-dilatation
 <p>Schl-33.390</p>	10	10 10 10	10 9 9	- - -	- - -	468 401 702	16 13 6	170 79 140	3(3/-/-) 2,9(2,9/-/-) 2,9(2,9/-/-)	100 97 97		
 <p>Schl-33.384</p>	10	10 10 10	9 9 10	- - -	- - -	553 796 1011	15 9 9	201 156 201	2,9(2,9/-/-) 2,9(2,9/-/-) 3(3/-/-)	97 97 100		
 <p>Schl-33.408</p>	10	10 10 10	9 10 10	- - -	- - -	220 579 517	6 6 7	80 113 103	2,8(2,8/-/-) 2,9(2,9/-/-) 2,9(2,9/-/-)	93 97 97		

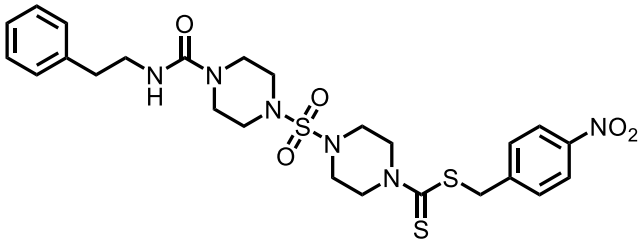
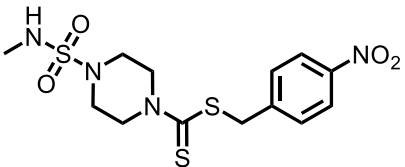
Strukturformel	Konzentration [μM]	Paare (von 10)	Paare angesaugt	♂ angesaugt	♀ angesaugt	absolute Eizahl	Deformation [%]	Eizahl normiert [%]	WMS: \emptyset (♀/♂/♀)	WMS normiert [%]	Tegument-schäden	Darm-dilatation
 <p>Schl-33.758</p>	10	9 9 8	8 8 7	0 1 0	1 1 0	150 344 270	5 9 4	117 192 176	2,75(2,78/2/3) 2,8(2,78/3/3) 2,65(2,75/2/2,5)	92 93 88		
 <p>Schl-33.754</p>	10	8 5 4	8 4 4	2 4 4	0 1 4	48 81 125	6 12 18	38 45 82	2,65(2,63/2,5/3) 2,6(2,6/2,4/2,8) 2,6(2,5/2,5/2,83)	88 87 87		
 <p>Schl-33.763</p>	10	8 5 5	8 5 5	2 4 4	1 4 3	180 202 166	10 5 11	106 71 88	2,75(2,88/1,5/3) 2,8(2,8/2,6/3) 2,75(2,6/2,8/3)	92 93 92		

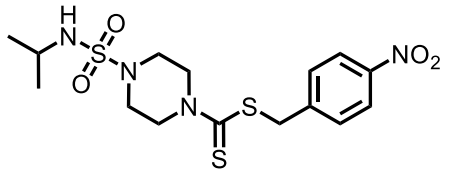
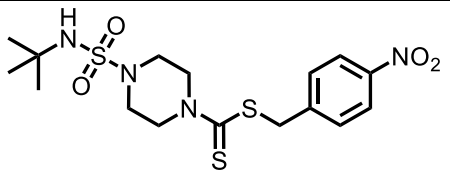
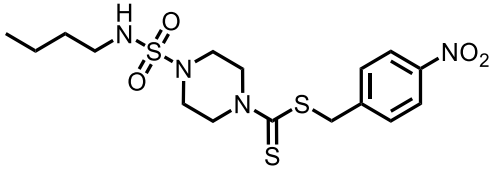
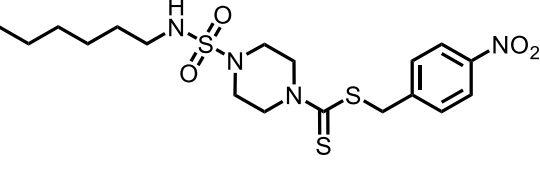
Strukturformel	Konzentration [μM]	Paare (von 10)	Paare angesaugt	♂ angesaugt	♀ angesaugt	absolute Eizahl	Deformation [%]	Eizahl normiert [%]	WMS: \emptyset (♀/♂/♀)	WMS normiert [%]	Tegument-schäden	Darm-dilatation
 <p>Schl-33.495</p>	10	9	7	1	0	255	8	155	2,85(2,89/2/3)	95		
		10	8	-	-	381	7	70	2,8(2,8/-/-)	93		
		9	8	1	1	370	7	112	2,6(2,56/3/3)	87		
 <p>Schl-33.757</p>	10	8	2	0	0	20	0	16	2,35(2,38/2/2,5)	78	♀/48/++	♀/24/+++
		0	-	0	0	0	-	0	1,15(-/0,9/1,4)	38		
		0	-	0	0	0	-	0	0,8(-/0,6/1,0)	27		
		6	1	1	0	38	8	23	1,7(1,67/1,5/2)	57	♂/48/+	♀/24/+++
		0	-	0	0	0	-	0	1,15(-/1,1/1,2)	38		
		0	-	0	0	0	-	0	1,05(-/1,0/1,1)	35		
		5	2	1	0	46	4	22	2,25(1,8/2,6/2,8)	75	♀/48/+	♀/24/++
		0	-	0	0	0	-	0	1,2(-/1,1/1,3)	40		
0	-	0	0	0	-	0	0,9(-/0,9/0,9)	30				
		6,3 ± 0,9			34,7 ± 7,7			70,0 ± 6,6				
		0,0 ± 0,0			0,0 ± 0,0			38,7 ± 0,7				
		0,0 ± 0,0			0,0 ± 0,0			30,7 ± 2,3				
	5	10	9	-	-	139	9	85	2,9(2,9/-/-)	97		♀/48/+
		9	8	1	0	159	6	39	2,7(2,78/2/2)	90		
		6	6	4	4	24	25	9	2,3(2,33/2,5/2)	77		
		10	10	-	-	161	9	78	2,9(2,9/-/-)	97	♂/72/(+)	♀/72/++
		10	10	-	-	91	7	23	2,9(2,9/-/-)	97		
		7	5	2	1	44	11	18	2,7(2,71/2,67/2,67)	90		

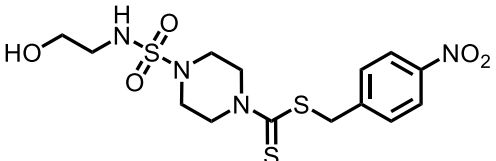
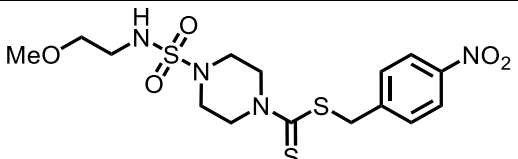
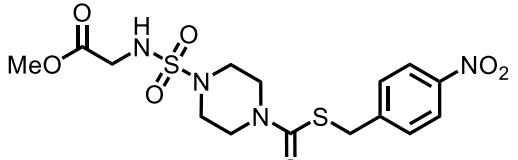
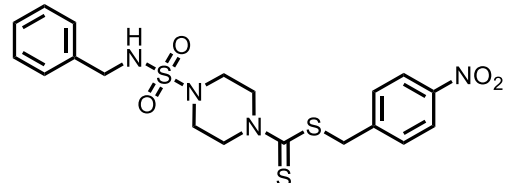
Strukturformel	Konzentration [μM]	Paare (von 10)	Paare angesaugt	♂ angesaugt	♀ angesaugt	absolute Eizahl	Deformation [%]	Eizahl normiert [%]	WMS: \emptyset (♀/♂/♀)	WMS normiert [%]	Tegument-schäden	Darm-dilatation
 <p>Schl-33.757</p>		9	9	1	0	92	4	59	2,9(2,89/3/3)	97		
		10	10	-	-	68	10	22	2,7(2,7/-/-)	90		♀/48/+
		4	4	6	0	1	0	<1(0,2)	2,45(2,5/2,83/2)	82		
				9,6 ± 0,3		130,7 ± 20,4		97,0 ± 0,0				
		9,7 ± 0,3		106,0 ± 27,3		92,3 ± 2,3						
		5,7 ± 0,9		23,0 ± 12,4		83,0 ± 3,8						
 <p>Schl-33.436</p>	1	10	10	-	-	178	3	109	3(3/-/-)	100		
		10	10	-	-	228	12	56	3(3/-/-)	100		
		9	9	1	1	311	6	115	3(3/3/3)	100		
		9	7	0	0	29	0	10	2,8(2,78/3/3)	93		
		0	-	0	0	5	20	1	2,3(-/2,3/2,3)	77	♀/48/(+)	♀/48/+
		0	-	0	0	0	-	0	1,55(-/1,5/1,6)	52		
		8	8	1	0	36	14	22	2,75(2,75/2,5/3)	92		
		4	3	5	0	34	32	11	2,45(2,5/2,17/2,67)	82	♂/48/(+)	
		1	0	1	0	10	20	3	1,35(1/1,22/1,56)	45		
		10	8	-	-	43	21	21	2,8(2,8/-/-)	93		
5	3	1	0	31	19	8	2,45(2,4/2,4/2,6)	82		♀/48/+		
2	1	2	1	8	0	3	1,85(2/1,5/2,13)	62				
		9,0 ± 0,6		36,0 ± 7,0		92,7 ± 0,3						
		3,0 ± 1,5		23,3 ± 9,2		80,3 ± 1,7						
		1,0 ± 0,6		6,0 ± 3,1		53,0 ± 4,9						
5	10	10	-	-	187	12	116	2,7(2,7/-/-)	90			
	9	5	1	0	126	13	42	2,75(2,78/2/3)	92		♀/72/(+)	
	8	6	2	0	129	22	40	2,75(2,75/3/2,5)	92			

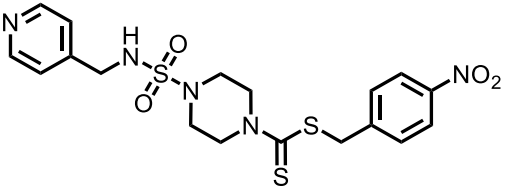
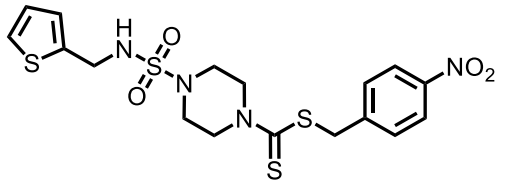
Strukturformel	Konzentration [μM]	Paare (von 10)	Paare angesaugt	σ angesaugt	φ angesaugt	absolute Eizahl	Deformation [%]	Eizahl normiert [%]	WMS: \emptyset ($\varphi/\sigma/\varphi$)	WMS normiert [%]	Tegument-schäden	Darm-dilatation	
 <p>Schl-33.578</p>	10	8	8	0	1	130	9	79	2,8(2,88/2/3)	93			
		7	6	1	2	135	7	33	2,8(2,86/2,33/3)	93			
		7	6	1	2	226	11	83	2,65(2,71/2,33/2,67)	88			
 <p>Schl-33.506</p>	10	9	4	1	0	6	17	2	2,7(2,67/3/3)	90		$\varphi/72/++$	
		3	1	3	0	12	17	8	2,5(2/2,43/3)	83			
		0	-	1	0	1	100	<1(0,8)	1,25(-/1,2/1,3)	42			
		9	2	0	0	10	20	6	2,75(2,78/2/3)	92			
		4	1	2	0	28	18	5	2,5(2,25/2,33/3)	83			
		1	0	3	0	7	43	2	1,9(2/1,67/2,11)	63			
		7	1	1	0	3	0	1	2,3(2,14/2,33/3)	77			
		2	0	0	0	1	0	<1(0,3)	1,8(1,5/1,63/2,5)	60	$\varphi/72/(+)$		
		2	0	0	0	1	0	<1(0,2)	2,15(2/1,75/2,63)	72			
		8	5	2	0	28	11	20	2,65(2,63/2,5/3)	88			$\varphi/72/(+)$
		4	2	3	0	21	5	7	2,35(2/2,5/2,67)	78			
		1	0	2	1	42	26	9	2,15(2/2/2,33)	72			
		5	4	0	0	1	0	<1(0,6)	2,5(2,6/2,4/2,4)	83			$\sigma/72(+)$
		3	2	2	0	8	13	3	1,9(1,67/2/2)	63	$\sigma/72(+)$	$\varphi/72(+)$	
2	0	0	0	0	-	0	1,5(1,5/1,63/1,38)	50					
6	0	0	0	15	7	7	2,05(2,17/1,5/2,25)	68			$\varphi/72/(+)$		
2	0	0	0	11	36	4	2(2/1,88/2,13)	67					
0	-	0	0	3	33	1	1,55(-/1,6/1,5)	52					
		7,3 \pm 0,7			10,5 \pm 4,1			83,0 \pm 3,7					
		3,0 \pm 0,4			13,5 \pm 3,9			72,3 \pm 4,2					
		1,0 \pm 0,4			9,0 \pm 6,7			58,5 \pm 5,1					

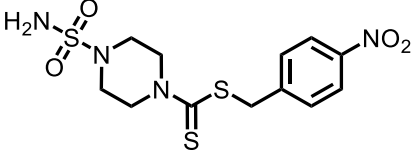
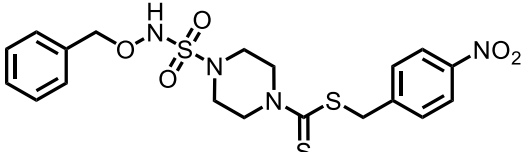
Strukturformel	Konzentration [μM]	Paare (von 10)	Paare angesaugt	σ° angesaugt	σ° angesaugt	absolute Eizahl	Deformation [%]	Eizahl normiert [%]	WMS: \emptyset ($\sigma^{\circ}/\sigma^{\circ}/\sigma^{\circ}$)	WMS normiert [%]	Tegument-schäden	Darm-dilatation
 <p>Schl-33.506</p>	5	8	8	2	0	109	10	41	2,8(2,88/3/2)	93		
		4	3	3	0	37	8	25	2,35(2,25/2,33/2,5)	78		$\sigma^{\circ}/48/+$
		0	-	4	0	1	0	<1(0,8)	1,35(-/1,3/1,4)	45		
		7	6	2	3	60	15	28	2,75(2,86/2/3)	92		
		6	6	0	0	14	7	4	2,5(2,67/2/2,5)	83		$\sigma^{\circ}/48/+$
		4	2	2	0	0	-	0	2,35(2,5/2,33/2,17)	78		
		7	6	2	0	48	15	29	2,5(2,57/2,33/2,33)	83		
		3	3	5	3	49	27	12	2,55(2,33/2,57/2,71)	85		$\sigma^{\circ}/48/++$
		2	1	5	0	15	33	6	1,45(1,5/1,5/1,38)	48		
		10	10	-	-	155	13	112	2,8(2,8/-/-)	93		
		7	7	3	0	25	8	8	2,45(2,43/2,67/2,33)	82		$\sigma^{\circ}/48/++$
		3	3	5	0	1	0	<1(0,2)	1,95(2/1,86/2)	65		
		10	10	-	-	38	16	22	2,9(2,9/-/-)	97		
8	6	1	0	52	15	20	2,25(2,38/2/1,5)	75		$\sigma^{\circ}/48/++$		
1	0	6	0	28	21	7	1,7(2/1,89/1,44)	57				
8	8	2	0	199	12	98	2,8(2,88/3/2)	93				
5	5	5	1	43	9	15	2,7(2,8/3/2,2)	90		$\sigma^{\circ}/48/+$		
2	2	6	0	0	-	0	1,95(2/2,63/1,25)	65				
		8,3 \pm 0,6			101,5 \pm 26,5			91,8 \pm 1,9				
		5,5 \pm 0,7			36,7 \pm 6,0			82,2 \pm 2,2				
		2,0 \pm 0,6			7,5 \pm 4,7			59,7 \pm 5,0				
 <p>Schl-33.506</p>	4	9	7	1	1	73	10	37	2,9(2,89/3/3)	97		
		7	7	2	1	30	20	11	2,55(2,57/3/2)	85		$\sigma^{\circ}/48/+$
		6	6	3	1	0	-	0	2,35(2,5/2,75/1,5)	78		
		8	8	2	1	33	6	17	2,9(3/2,5/2,5)	97		
		6	6	4	1	80	24	28	2,55(2,5/3/2,25)	85		$\sigma^{\circ}/48/+$
		0	-	8	2	18	22	8	2,2(-/2,6/1,8)	73		
		9	9	1	0	122	11	60	2,85(2,89/3/2)	95		
		6	6	4	1	125	19	44	2,65(2,67/3/2,25)	88		$\sigma^{\circ}/48/+$
		2	2	8	0	15	13	5	2,4(2,5/3/1,75)	80		

Strukturformel	Konzentration [μM]	Paare (von 10)	Paare angesaugt	♂ angesaugt	♀ angesaugt	absolute Eizahl	Deformation [%]	Eizahl normiert [%]	WMS: \emptyset (♀/♂/♀)	WMS normiert [%]	Tegument-schäden	Darm-dilatation
		10	10	-	-	147	8	226	3(3/-/-)	100		
		6	6	2	0	41	17	12	2,6(2,83/2,5/2)	87	♂/72/(+)	♀/48/+
		5	4	4	1	0	-	0	1,9(2/2,4/1,2)	63		
		9	9	0	0	201	9	309	2,9(3/2/2)	97		
		8	8	2	2	221	13	63	2,9(2,88/3/3)	97		
		8	8	2	2	184	8	43	2,8(2,75/3/3)	93		
		10	9	-	-	84	8	129	2,9(2,9/-/-)	97		
		6	3	3	0	24	29	7	2,4(2,67/2,67/2,5)	80		♀/48/+
		2	2	5	0	3	0	<1(0,7)	2,1(2,5/2,5/1,5)	70		
		9,2 ± 0,3			110,0 ± 24,3			97,2 ± 0,7				
		6,5 ± 0,3			86,8 ± 31,0			87,0 ± 2,3				
		3,8 ± 1,2			36,7 ± 29,6			76,2 ± 4,2				
 <p>Schl-33.506</p>	3	10	10	-	-	179	12	88	3(3/-/-)	100		
		10	10	-	-	362	11	127	2,9(2,9/-/-)	97		
		9	9	1	1	288	9	100	3(3/3/3)	100		
	2	10	7	-	-	237	6	117	2,9(2,9/-/-)	97		
		9	9	1	1	213	11	75	2,9(2,89/3/3)	97		
		7	7	2	3	261	11	91	2,95(3/2,67/3)	98		
	1	8	8	2	2	225	5	111	2,9(3/3/2)	97		
		9	9	1	1	241	11	85	3(3/3/3)	100		
		8	8	1	2	157	10	55	2,8(2,88/2/3)	93		
 <p>Schl-33.455</p>	10	10	5	-	-	218	11	132	2,8(2,8/-/-)	93		
		10	7	-	-	381	11	70	2,6(2,6/-/-)	87		
		10	5	-	-	344	9	104	2,8(2,8/-/-)	93		

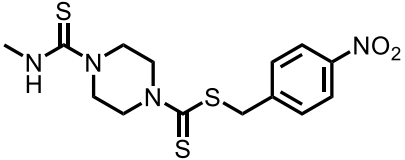
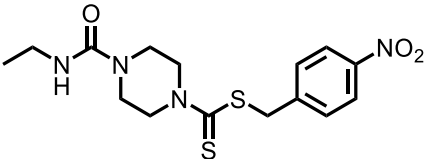
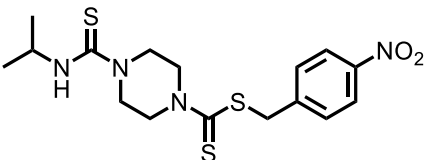
Strukturformel	Konzentration [μM]	Paare (von 10)	Paare angesaugt	♂ angesaugt	♀ angesaugt	absolute Eizahl	Deformation [%]	Eizahl normiert [%]	WMS: \emptyset (♀/♂/♀)	WMS normiert [%]	Tegument-schäden	Darm-dilatation
 <p>Schi-33.458</p>	10	10 9 9	10 8 7	- 1 1	- 0 0	106 408 412	8 5 12	69 135 128	2,9(2,9/-/-) 2,9(2,89/3/3) 2,9(2,89/3/3)	97 97 97		
 <p>Schi-33.663</p>	10	10 10 10	9 10 8	- - -	- - -	195 230 171	8 9 5	152 129 112	2,9(2,9/-/-) 2,9(2,9/-/-) 2,8(2,8/-/-)	97 97 93		
 <p>Schi-33.383</p>	10	10 10 10	9 9 9	- - -	- - -	194 574 612	15 15 17	71 112 122	3(3/-/-) 2,9(2,9/-/-) 2,9(2,9/-/-)	100 97 97		
 <p>Schi-33.347</p>	10	10 10 10	10 10 8	- - -	- - -	203 293 305	6 11 15	70 69 79	2,9(2,9/-/-) 3(3/-/-) 2,9(2,9/-/-)	97 100 97		

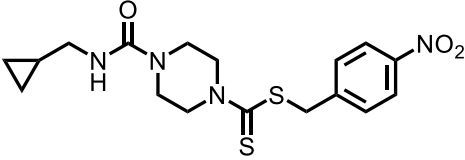
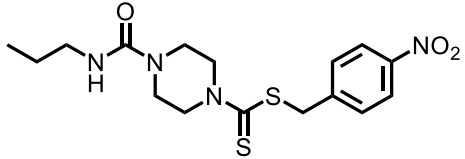
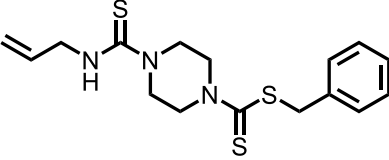
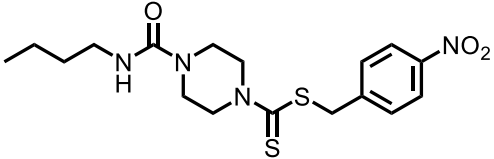
Strukturformel	Konzentration [μM]	Paare (von 10)	Paare angesaugt	♂ angesaugt	♀ angesaugt	absolute Eizahl	Deformation [%]	Eizahl normiert [%]	WMS: \emptyset ($\sigma/\sigma/\sigma$)	WMS normiert [%]	Tegument-schäden	Darm-dilatation
 <p>Schl-33.451</p>	10	10 10 10	10 10 10	- - -	- - -	98 401 513	9 6 6	64 132 159	2,9(2,9/-/-) 3(3/-/-) 2,9(2,9/-/-)	97 100 97		
 <p>Schl-33.522</p>	10	10 10 10	8 5 7	- - -	- - -	238 248 485	10 7 5	144 45 147	2,8(2,8/-/-) 2,7(2,7/-/-) 2,8(2,8/-/-)	93 90 93		
 <p>Schl-33.603</p>	10	10 9 9	8 6 5	- 0 0	- 0 0	240 402 234	8 6 11	90 266 176	2,8(2,8/-/-) 2,8(2,78/3/3) 2,55(2,56/2/3)	93 93 85		
 <p>Schl-33.345</p>	10	10 8 8	10 8 8	- 1 2	- 0 1	81 205 234	31 63 35	45 57 116	3(3/-/-) 2,6(2,63/2,5/2,5) 2,75(2,75/3/2,5)	100 87 92		

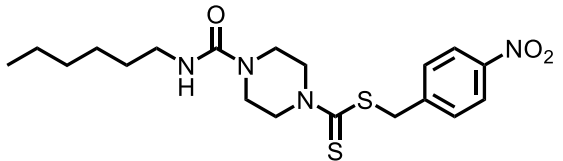
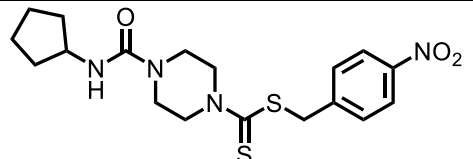
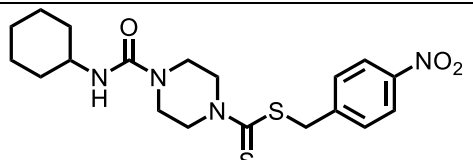
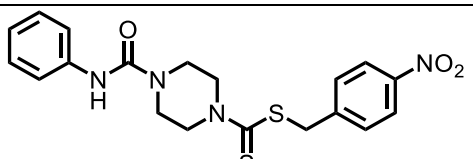
Strukturformel	Konzentration [μM]	Paare (von 10)	Paare angesaugt	σ° angesaugt	Q° angesaugt	absolute Eizahl	Deformation [%]	Eizahl normiert [%]	WMS: \emptyset ($\text{Q}^{\circ}/\sigma^{\circ}/\text{Q}^{\circ}$)	WMS normiert [%]	Tegument-schäden	Darm-dilatation
 <p>Schi-33.775</p>	10	10	10	-	-	303	5	178	3(3/-/-)	100		
		8	6	2	0	600	9	211	2,8(2,75/3/3)	93		
		7	6	2	0	423	9	224	2,75(2,71/2,67/3)	92		
 <p>Schi-33.409</p>	10	10	8	-	-	7	14	3	2,8(2,8/-/-)	93		
		8	6	1	0	26	69	5	1,8(1,88/1,5/1,5)	60	$\text{Q}^{\circ}/72/(+)$	$\text{Q}^{\circ}/48/+$
		1	1	8	0	0	-	0	1,55(2/1,56/1,44)	52		
		10	8	-	-	16	25	11	2,7(2,7/-/-)	90		
	9	3	1	0	11	55	4	2,35(2,33/2/3)	78	$\text{Q}^{\circ}/72/(+)$	$\text{Q}^{\circ}/72/+$	
	6	1	0	0	0	-	0	1,25(1,17/1,25/1,5)	42			
	9	9	1	0	52	12	32	2,6(2,56/3/3)	87			
	6	5	2	0	6	17	2	2,3(2,33/2,5/2)	77		$\text{Q}^{\circ}/48/+$	
	1	0	3	0	2	0	<1(0,7)	1,55(2/1,56/1,44)	52			
			9,7 \pm 0,3			25,0 \pm 13,8			90,0 \pm 1,7			
		7,7 \pm 0,9			14,3 \pm 6,0			71,7 \pm 5,8				
		2,7 \pm 1,7			0,7 \pm 0,7			48,7 \pm 3,3				
5	10	10	-	-	244	15	159	2,9(2,9/-/-)	97			
	10	10	-	-	593	9	196	2,8(2,8/-/-)	93			
	10	8	-	-	363	12	113	2,8(2,8/-/-)	93			
10	10	10	-	-	421	19	153	3(3/-/-)	100			
	10	10	-	-	439	15	86	3(3/-/-)	100			
	10	10	-	-	568	10	113	2,9(2,9/-/-)	97			

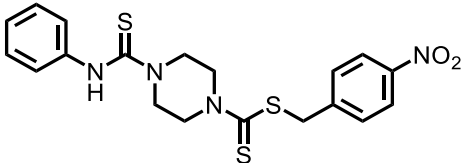
Strukturformel	Konzentration [μM]					absolute Eizahl	Deformation [%]	Eizahl normiert [%]	WMS: \emptyset ($\sigma/\sigma/\sigma$)	WMS normiert [%]	Tegument-schäden	Darm-dilatation
		Paare (von 10)	Paare angesaugt	σ angesaugt	σ angesaugt							
 <p>Schl-33.461</p>	10	8	0	0	0	79	5	52	2,1(2/2/3)	70		
		8	0	0	0	126	18	42	2,35(2,25/2,5/3)	78		
		8	0	0	0	276	19	86	1,75(1,63/2/2,5)	58		
		10	0	-	-	33	9	20	2(2/-/-)	67		
		8	0	0	0	27	41	7	2,1(2/2/3)	70		
		6	0	0	0	92	28	34	1,7(1,5/1,25/2,75)	57		
		9	0	0	0	73	8	53	2,05(2/2/3)	68		
		7	0	0	0	103	20	32	1,95(1,86/1,33/3)	65		
		7	0	0	0	266	22	59	2(1,86/2/2,67)	67		
			9,0 \pm 0,6				61,7 \pm 14,4		68,3 \pm 0,9			
			7,7 \pm 0,3				85,3 \pm 29,9		71,0 \pm 3,8			
			7,0 \pm 0,6				211,3 \pm 59,7		60,7 \pm 3,2			
	5	9	2	1	0	127	15	72	2,4(2,33/3/3)	80		
7		3	3	0	193	11	76	2,35(2,29/2,67/2,3)	78			
8		5	1	0	226	10	58	2,45(2,38/3/2,5)	82			
 <p>Schl-33.430</p>	10	10	5	-	-	310	3	106	2,7(2,7/-/-)	90		
		10	6	-	-	208	22	49	2,4/2,4/-/-)	80		
		10	1	-	-	231	27	60	2,8(2,8/-/-)	93		

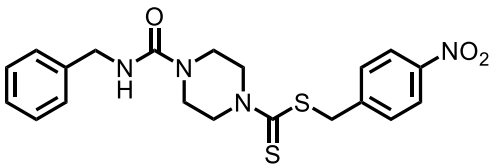
Harnstoffe

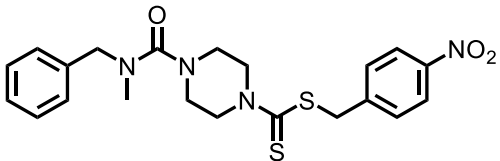
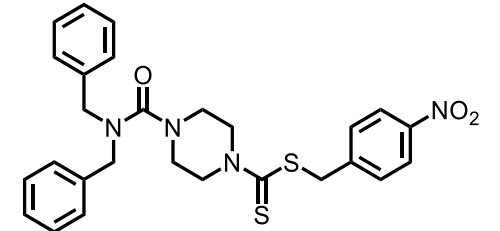
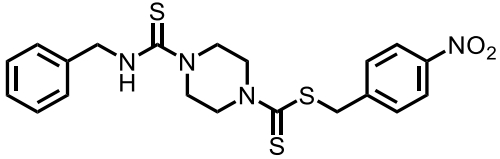
Strukturformel	Konzentration [μM]	Paare (von 10)	Paare angesaugt	σ° angesaugt	Q angesaugt	absolute Eizahl	Deformation [%]	Eizahl normiert [%]	WMS: \emptyset ($\text{Q}^{\circ}/\sigma^{\circ}/\text{Q}$)	WMS normiert [%]	Tegument-schäden	Darm-dilatation
 Schl-33.724	10	9	9	0	0	229	10	179	3(3/3/3)	100		
		8	7	2	2	125	34	70	2,7(2,75/2/3)	90		
		6	6	2	4	114	30	75	2,75(2,83/2,25/3)	92		
		$10,0 \pm 0,0$ $9,7 \pm 0,3$ $8,3 \pm 1,2$										
 Schl-33.203	10	10	10	-	-	199	12	186	2,9(2,9/-/-)	97		
		10	9	-	-	520	12	163	2,9(2,9/-/-)	97		
		10	9	-	-	785	17	240	2,9(2,9/-/-)	97		
		$10,0 \pm 0,0$ $9,7 \pm 0,3$ $8,3 \pm 1,2$										
 Schl-33.275	10	10	10	-	-	297	6	90	3(3/-/-)	100		$\text{Q}/72/+$
		10	7	-	-	188	19	57	2,7(2,7/-/-)	90		
		6	4	4	0	91	22	30	1,95(2/2/1,75)	65		
		10	10	-	-	330	12	214	2,9(2,9/-/-)	97		
		9	7	0	1	340	11	124	2,65(2,67/2/3)	88		
		9	8	1	1	347	10	230	2,85(2,89/2/3)	95		
		10	10	-	-	337	11	219	2,9(2,9/-/-)	97		
		10	8	-	-	341	7	124	2,8(2,8/-/-)	93		
		10	7	-	-	373	10	247	2,7(2,7/-/-)	90		
		$10,0 \pm 0,0$ $9,7 \pm 0,3$ $8,3 \pm 1,2$										

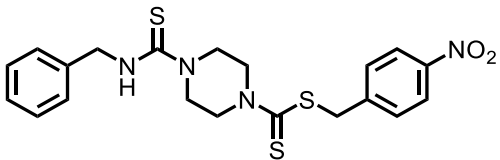
Strukturformel	Konzentration [μM]	Paare (von 10)	Paare angesaugt	♂ angesaugt	♀ angesaugt	absolute Eizahl	Deformation [%]	Eizahl normiert [%]	WMS: \emptyset (♀/♂/♀)	WMS normiert [%]	Tegument-schäden	Darm-dilatation
 <p>Schl-33.261</p>	10	10 9 9	10 9 9	- 1 1	- 0 1	277 456 398	13 5 12	84 139 131	2,9(2,9/-/-) 2,9(2,89/3/3) 2,85(2,89/2/3)	97 97 95		
 <p>Schl-33.309</p>	10	10 9 10	10 8 10	- 1 -	- 1 -	355 328 300	8 10 14	107 100 98	2,9(2,9/-/-) 2,9(2,89/3/3) 2,9(2,9/-/-)	97 97 97		
 <p>Schl-33.304</p>	10	10 10 10	10 10 10	- - -	- - -	426 560 907	9 10 10	129 171 297	3(3/-/-) 2,9(2,9/-/-) 3,2(3,2/-/-)	100 97 107		
 <p>Schl-33.326</p>	10	10 10 10	10 10 9	- - -	- - -	379 372 403	7 11 6	115 113 132	3(3/-/-) 2,9(2,9/-/-) 2,9(2,9/-/-)	100 97 97		

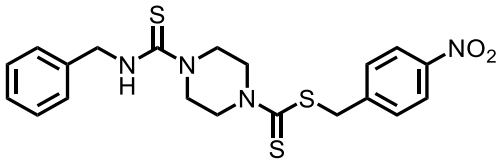
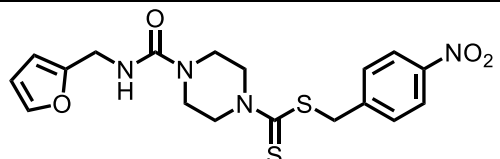
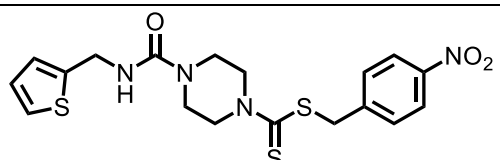
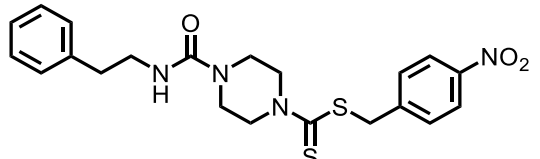
Strukturformel	Konzentration [μM]	Paare (von 10)	Paare angesaugt	♂ angesaugt	♀ angesaugt	absolute Eizahl	Deformation [%]	Eizahl normiert [%]	WMS: \emptyset ($\sigma/\sigma/\sigma$)	WMS normiert [%]	Tegument-schäden	Darm-dilatation
 <p>Schl-33.262</p>	10	9 8 8	7 3 4	0 2 1	0 0 0	316 353 388	5 8 10	96 108 127	2,85(2,89/2/3) 2,65(2,63/3/2,5) 2,55(2,5/2,5/3)	95 88 85		
 <p>Schl-33.732</p>	10	10 9 8	9 9 8	- 0 1	- 1 2	358 482 220	8 5 22	211 170 116	2,8(2,8/-/-) 2,75(2,77/2/3) 2,75(2,75/2,5/3)	93 92 92		
 <p>Schl-33.201</p>	10	10 10 10	9 10 10	- - -	- - -	879 1020 883	12 16 19	821 319 270	2,9(2,9/-/-) 2,9(2,9/-/-) 2,9(2,9/-/-)	97 97 97		
 <p>Schl-33.192</p>	10	8 8 8	8 6 8	1 1 0	2 2 2	166 453 551	16 17 22	155 142 169	2,85(3/2,5/2) 2,85(3/2/2,5) 2,8(2,89/2,5/2,5)	95 95 93		

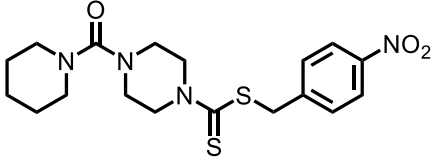
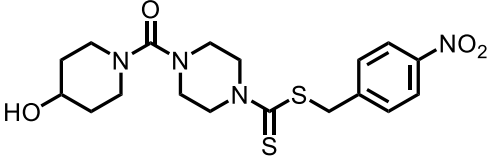
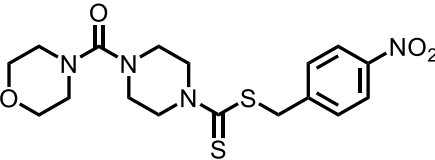
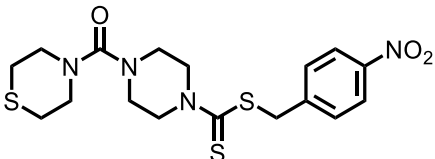
Strukturformel	Konzentration [μM]	Paare (von 10)	Paare angesaugt	σ angesaugt	φ angesaugt	absolute Eizahl	Deformation [%]	Eizahl normiert [%]	WMS: \emptyset ($\sigma/\sigma/\varphi$)	WMS normiert [%]	Tegument-schäden	Darm-dilatation	
 <p>Schl-33.193</p>	10	10	10	-	-	189	21	104	2,8(2,8/-/-)	93			
		5	2	0	0	6	17	2	2,25(2,4/2/2,2)	75	$\sigma/72/+$	$\varphi/48/+$	
		0	-	10	10	2	50	1	1,05(-/1,1/1)	35			
		10	10	-	-	100	30	36	2,6(2,6/-/-)	87			
		9	6	0	0	115	32	26	2,3(2,33/1/3)	77	$\varphi/48/+$	$\varphi/24/+$	
		1	0	0	0	4	25	<1(0,8)	1,15(1/1,11/1,22)	38			
		10	8	-	-	92	17	66	2,8(2,8/-/-)	93			
		9	2	0	0	123	18	38	1,8(1,78/2/2)	60	$\sigma/48/(+)$	$\varphi/48/(+)$	
		2	0	0	0	15	33	3	1,8(2/1,5/2,5)	60			
		10	10	-	-	102	7	58	2,9(2,9/-/-)	97			
	10	1	-	-	34	15	13	2,3(2,3/-/-)	77	$\varphi/72/+$			
	1	0	0	0	9	22	2	2(2/1,67/2,33)	67				
	10	10	-	-	82	11	47	3(3/-/-)	100				
	10	8	-	-	114	11	45	2,8(2,8/-/-)	93	$\sigma/72/(+)$			
	7	3	0	0	84	16	22	2,15(2,14/1,67/2,67)	72				
	10	10	-	-	138	18	42	2,8(2,8/-/-)	93				
	8	2	1	0	84	21	26	1,85(1,88/2/1,5)	62	$\varphi/72/+$	$\varphi/48/+$		
	1	0	0	0	2	0	<1(0,7)	1,1(1/1,11/1,11)	37				
			10,0 \pm 0,0			117,2 \pm 16,3			93,8 \pm 1,8				
			8,5 \pm 0,8			79,3 \pm 19,9			74,0 \pm 4,9				
		2,0 \pm 1,0			19,3 \pm 13,1			51,5 \pm 6,8					
5	9	7	1	1	363	25	200	3(3/3/3)	100				
	9	9	1	1	228	15	63	2,9(2,89/3/3)	97				
	10	10	-	-	176	27	85	2,9(2,9/-/-)	97				

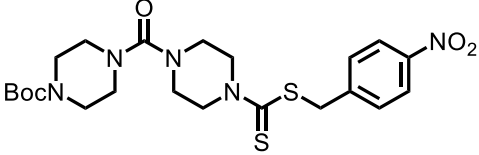
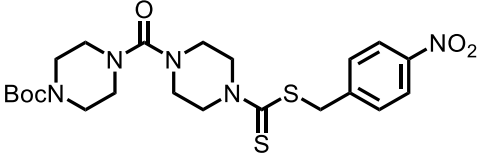
Strukturformel	Konzentration [μM]	Paare (von 10)	Paare angesaugt	σ angesaugt	φ angesaugt	absolute Eizahl	Deformation [%]	Eizahl normiert [%]	WMS: \emptyset ($\sigma/\sigma/\varphi$)	WMS normiert [%]	Tegument-schäden	Darm-dilatation
 <p>Schi-33.205</p>	10	10	10	-	-	68	19	63	2,8(2,8/-/-)	93		
		4	2	3	0	19	32	6	1,6(1,75/1,67/1,33)	53	$\sigma/72/+$	$\varphi/48/++$
		0	-	0	0	2	0	<1(0,6)	1(-/1,1/0,9)	33		
		7	4	3	0	137	31	76	2,15(2,29/2/1,67)	72		
		1	0	0	0	0	-	0	1,55(2/1,67/1,33)	52	$\varphi/48/++$	$\varphi/48/++$
		0	-	0	0	0	-	0	1,1(-/1,2/1)	37		
		10	9	-	-	67	31	24	2,9(2,9/-/-)	97		
		10	9	-	-	155	13	30	2,9(2,9/-/-)	97		$\varphi/72/(+)$
		8	5	0	0	167	63	33	1,95(2/2/1,5)	65		
		10	9	-	-	133	9	45	2,8(2,8/-/-)	93		
	10	10	-	-	172	28	41	2,7(2,7/-/-)	90		$\varphi/72/(+)$	
	9	6	0	0	46	4	12	1,6(1,67/1/1)	53			
	10	9	-	-	119	12	86	2,9(2,9/-/-)	97			
	9	8	0	0	291	17	90	2,65(2,67/2/3)	88			
	7	6	0	1	262	14	58	2,5(2,57/2/2,67)	83			
	9	8	1	0	52	21	30	2,75(2,78/3/2)	92			
	6	5	2	1	101	14	40	2,75(2,67/3/2,67)	92			
	5	4	4	1	61	34	16	2,65(2,8/2,6/2,4)	88			
	10	10	-	-	81	21	46	2,9(2,9/-/-)	97			
	7	5	0	0	67	16	26	2,35(2,43/2,33/2)	78		$\varphi/48/(+)$	
2	2	3	0	36	33	9	1,8(2/1,88/1,63)	60				
		9,4 \pm 0,4			93,9 \pm 13,2			91,6 \pm 3,7				
		6,7 \pm 1,3			115,0 \pm 38,0			78,6 \pm 7,1				
		4,4 \pm 1,4			82,0 \pm 36,7			59,9 \pm 7,9				
5	10	10	-	-	483	14	267	3(3/-/-)	100			
	10	10	-	-	473	11	131	3(3/-/-)	100			
	10	9	-	-	370	18	180	2,9(2,9/-/-)	97			

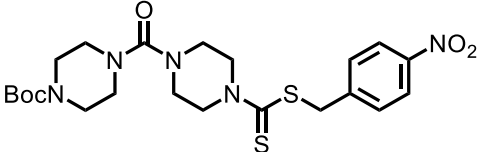
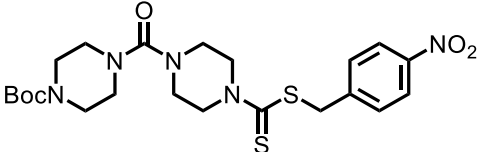
Strukturformel	Konzentration [μM]	Paare (von 10)	Paare angesaugt	♂ angesaugt	♀ angesaugt	absolute Eizahl	Deformation [%]	Eizahl normiert [%]	WMS: \emptyset (♀/♂/♀)	WMS normiert [%]	Tegument-schäden	Darm-dilatation
 <p>Schl-33.242</p>	10	10	9	-	-	327	9	99	2,8(2,8/-/-)	93		
		10	10	-	-	405	10	124	2,9(2,9/-/-)	97		
		10	9	-	-	451	11	148	2,9(2,9/-/-)	97		
 <p>Schl-33.272</p>	10	9	9	1	0	636	12	231	3(3/3/3)	100		
		10	10	-	-	271	19	53	3(3/-/-)	100		
		10	10	-	-	345	24	69	2,8(2,8/-/-)	93		
 <p>Schl-33.250</p>	10	2	0	1	0	15	7	8	1,15(1/1,25/1,13)	38	♀/48/+	♀/24/++
		0	-	0	0	0	-	0	1,1(-/1/1,2)	37		
		0	-	0	0	1	0	<1(0,5)	0,9(-/0,8/1)	30		
		9	9	1	0	64	22	23	2,4(2,44/2/2)	80	♀/48/++	♀/24/+++
		0	-	1	0	2	0	<1(0,4)	1,6(-/1,4/1,8)	53		
		0	-	0	0	0	-	0	0,9(-/0,8/1)	30		
		5	3	2	1	33	6	11	2,15(1,8/2,6/2,4)	72		♀/24/++
		0	-	1	0	2	0	5	1,6(-/1,6/1,6)	53		
		0	-	0	0	0	-	0	0,9(-/0,8/1)	30		
		7	6	3	0	46	22	14	2,05(2,14/2/2)	68	♀/48/+	♀/24/++
0	-	0	0	2	0	<1(0,6)	1,2(-/1,2/1,2)	40				
0	-	0	0	1	0	<1(0,3)	0,3(-/0,6/0)	10				
		5,8 ± 1,5			39,5 ± 10,4			64,5 ± 9,2				
		0,0 ± 0,0			1,5 ± 0,5			45,8 ± 4,2				
		0,0 ± 0,0			0,5 ± 0,3			25,0 ± 5,0				

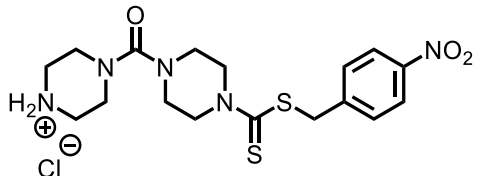
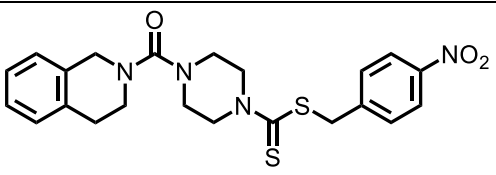
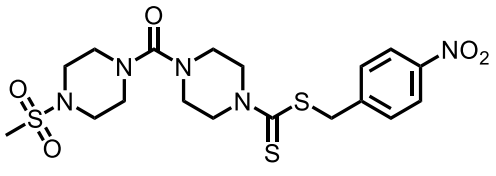
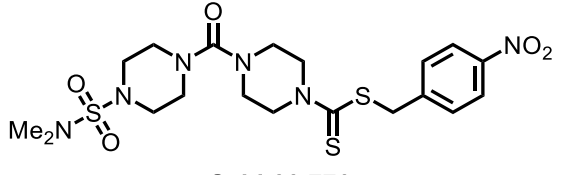
Strukturformel	Konzentration [μM]	Paare	Paare angesaugt	σ^7 angesaugt	σ^7 angesaugt	absolute Eizahl	Deformation [%]	Eizahl normiert [%]	WMS: \emptyset ($\sigma^7/\sigma^7/\sigma^7$)	WMS normiert [%]	Tegument-schäden	Darm-dilatation
		(von 10)										
 <p>Schl-33.250</p>	5	9	8	1	0	279	20	154	2,9(2,89/3/3)	97		
		6	6	4	1	67	27	19	2,35(2,17/2,5/2,75)	78		$\sigma^7/48/+$
		5	3	5	2	37	73	18	1,45(1,4/1,6/1,4)	48		
		10	10	-	-	134	12	49	3(3/-/-)	100		
		10	10	-	-	168	31	33	2,8(2,8/-/-)	93		$\sigma^7/72/(+)$
		10	8	-	-	119	14	24	2,6(2,6/-/-)	87		
		10	7	-	-	126	10	43	2,6(2,6/-/-)	87		
		7	4	2	0	22	50	5	2,45(2,57/2/2,33)	82	$\sigma^7/72/(+)$	$\sigma^7/48/+$
		6	3	1	0	73	7	19	1,8(2/1,5/1,5)	60		
		10	9	-	-	127	9	91	2,9(2,9/-/-)	97		
		10	8	-	-	152	7	48	2,6(2,6/-/-)	87		$\sigma^7/48/(+)$
		9	8	0	0	370	10	81	2,8(2,78/3/3)	93		
		10	8	-	-	128	16	73	2,8(2,8/-/-)	93		
		10	7	-	-	225	8	88	2,6(2,6/-/-)	87		
		8	5	0	0	183	7	47	2,45(2,5/2/2,5)	82		
		10	10	-	-	68	15	39	2,8(2,9/-/-)	97		
		9	5	0	0	82	12	32	2,6(2,67/2/2)	87		$\sigma^7/72/(+)$
		9	6	1	0	66	15	17	2,65(2,67/3/2)	88		
		10	10	-	-	151	10	86	3(3/-/-)	100		
		10	9	-	-	67	16	26	2,8(2,8/-/-)	97		$\sigma^7/72/(+)$
8	7	2	1	85	13	22	2,6(2,63/3/2)	87				
10	10	-	-	83	16	47	2,8(2,8/-/-)	93				
5	3	4	1	44	11	17	2,55(2,6/2,8/2,2)	85				
3	2	4	0	35	23	9	2(2,67/2,0/1,43)	67				
		9,9 \pm 0,1				137,0 \pm 22,5		95,5 \pm 1,5				
		8,4 \pm 0,7				103,4 \pm 24,9		87,0 \pm 2,1				
		7,3 \pm 0,8				121,0 \pm 39,4		76,5 \pm 5,7				

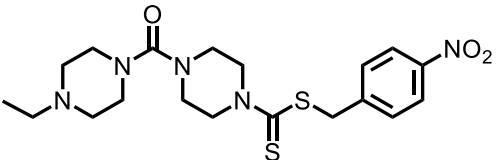
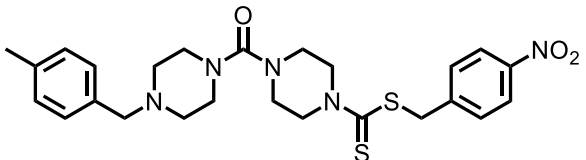
Strukturformel	Konzentration [μM]	Paare (von 10)	Paare angesaugt	σ^7 angesaugt	σ^8 angesaugt	absolute Eizahl	Deformation [%]	Eizahl normiert [%]	WMS: ϕ ($\sigma^7/\sigma^8/\sigma^9$)	WMS normiert [%]	Tegument-schäden	Darm-dilatation
 <p>Schl-33.250</p>	1	10 10 10	9 9 8	- - -	- - -	777 769 487	12 9 6	283 151 97	3(3/-/-) 3(3/-/-) 2,8(2,8/-/-)	100 100 93		
 <p>Schl-33.723</p>	10	10 7 6	10 6 6	- 2 2	- 2 4	286 346 224	11 10 9	223 193 146	3(3/-/-) 2,75(2,71/2,67/3) 2,65(2,67/2,25/3)	100 92 88		
 <p>Schl-33.721</p>	10	8 8 8	6 8 6	2 2 2	1 1 2	218 270 253	8 6 11	170 151 165	2,8(2,75/3/3) 2,85(2,88/2,5/3) 2,8(2,75/3/3)	93 95 93		
 <p>Schl-33.249</p>	10	10 10 10	9 8 6	- - -	- - -	328 365 307	9 11 11	99 111 101	2,9(2,9/-/-) 2,9(2,9/-/-) 2,6(2,6/-/-)	97 97 87		

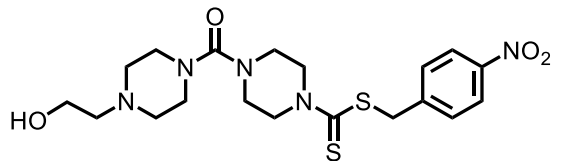
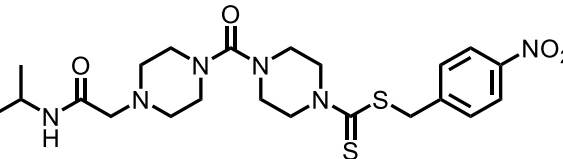
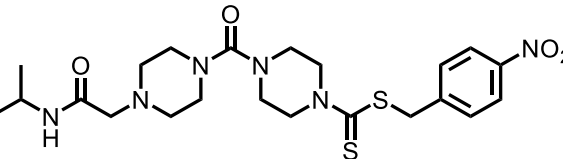
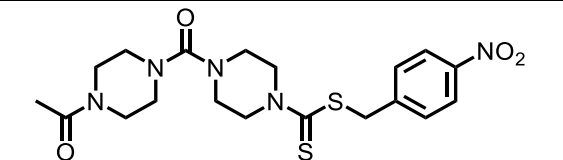
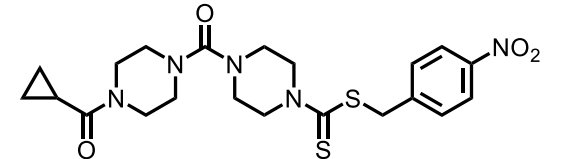
Strukturformel	Konzentration [μM]	Paare (von 10)	Paare angesaugt	σ^7 angesaugt	σ^8 angesaugt	absolute Eizahl	Deformation [%]	Eizahl normiert [%]	WMS: \emptyset ($\sigma^7/\sigma^8/\sigma^9$)	WMS normiert [%]	Tegument-schäden	Darm-dilatation
 <p>Schl-33.315</p>	10	10 10 10	9 9 10	- - -	- - -	281 324 418	10 11 16	85 99 137	2,9(2,9/-/-) 2,9(2,9/-/-) 2,9(2,9/-/-)	97 97 97		
 <p>Schl-33.427</p>	10	10 9 10	9 8 10	- - -	- - -	137 261 237	13 15 12	47 62 61	3(3/-/-) 3(3/-/-) 2,9(2,9/-/-)	100 100 97		
 <p>Schl-33.316</p>	10	9 9 9	8 9 7	1 1 1	1 1 0	332 337 320	10 6 15	100 102 105	2,9(2,89/3/3) 2,9(2,89/3/3) 2,8(2,78/3/3)	97 97 93		
 <p>Schl-33.314</p>	10	10 10 9	10 10 9	- - 1	- - 1	352 456 683	14 12 20	106 139 224	2,9(2,9/-/-) 2,9(2,9/-/-) 2,9(2,89/3/3)	97 97 97		

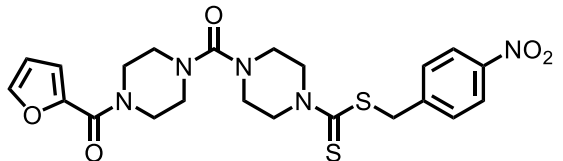
Strukturformel	Konzentration [μM]	Paare (von 10)	Paare angesaugt	♂ angesaugt	♀ angesaugt	absolute Eizahl	Deformation [%]	Eizahl normiert [%]	WMS: ϕ (♂/♂/♀)	WMS normiert [%]	Tegument-schäden	Darm-dilatation	
 <p>Schl-33.331</p>	10	6	0	0	0	11	55	6	1,2(1/1,5/1,5)	40			
		0	-	0	0	0	-	0	0	1(-/1/1)	33	♂/48/+	♂/24/++
		0	-	0	0	0	-	0	0	0,8(-/0,6/1)	27		
		4	2	4	0	1	100	<1(0,4)	2,2(2,25/2,33/2)	73			
		0	-	0	0	0	-	0	1,15(-/1,1/1,2)	38	♂/48/++	♀/24/++	
		0	-	0	0	1	0	<1(0,2)	0,9(-/0,9/0,9)	30			
		0	-	0	0	3	0	1	1,95(-/1,8/2,1)	65			
0	-	0	0	0	-	0	1,1(-/1/1,2)	37	♂/24/++	♂/24/++			
0	-	0	0	0	-	0	1,15(-/1/1,3)	38					
1	0	0	0	9	33	3	1,4(2/1,22/1,3)	47					
1	0	0	0	0	-	0	1(1/1/1)	33	♂/48/++	♀/24/+++			
1	0	0	0	0	-	0	0,95(1/0,89/1)	32					
		2,8 ± 1,4			6,0 ± 2,4			56,3 ± 7,7					
		0,3 ± 0,3			0,0 ± 0,0			35,3 ± 1,3					
		0,3 ± 0,3			0,3 ± 0,3			31,8 ± 2,3					
 <p>Schl-33.331</p>	5	10	8	-	-	135	30	75	2,7(2,7/-/-)	90			
		0	-	4	0	1	100	<1(0,2)	1,85(-/1,9/1,8)	62	♂/48/(+)	♂/48/++	
		0	-	0	0	0	-	0	1,1(-/1,1/1,1)	37			
		10	9	-	-	193	18	70	2,7(2,7/-/-)	90			
		6	4	2	0	38	21	7	2,2(2,17/2,5/2)	73		♀/48/++	
		0	-	6	1	5	0	1	1,2(-/1,3/1,1)	40			
		10	10	-	-	116	9	40	2,6(2,6/-/-)	87			
2	0	3	0	6	50	1	1,7(1,5/1,75/1,75)	57		♀/48/++			
0	-	0	0	2	0	<1(0,5)	1,4(-/1,6/1,2)	47					
		10,0 ± 0,0			148,0 ± 23,2			89,0 ± 1,0					
		2,7 ± 1,8			15,0 ± 11,6			64,0 ± 4,7					
		0,0 ± 0,0			2,3 ± 1,5			41,3 ± 3,0					
	4	9	9	1	0	23	13	13	2,45(2,44/3/2)	82			
		0	-	8	1	19	26	8	2,2(-/2,8/1,6)	73		♀/48/+	
		0	-	7	0	1	0	<1(0,3)	2,05(-/2,6/1,5)	68			

Strukturformel	Konzentration [μM]	Paare (von 10)	Paare angesaugt	σ° angesaugt	σ° angesaugt	absolute Eizahl	Deformation [%]	Eizahl normiert [%]	WMS: ϕ ($\sigma^{\circ}/\sigma^{\circ}/\sigma^{\circ}$)	WMS normiert [%]	Tegument-schäden	Darm-dilatation
 <p>Schl-33.331</p>		9	9	0	0	63	18	41	2,7(2,78/2/2)	90		
		2	2	7	0	23	9	8	2,3(2,5/2,88/1,63)	77		♀/48/+
		0	-	8	0	10	20	7	2,05(-/2,7/1,4)	68		
		9	6	1	1	25	20	16	2,6(2,56/3/3)	87		♀/48/(+)
		4	4	4	1	33	22	12	2,3(2,75/2,67/1,33)	77		
		4	3	5	0	26	35	17	2,25(2,75/2,5/1,33)	75		
		9,0 \pm 0,0			37,0 \pm 13,0			86,3 \pm 2,3				
		2,0 \pm 1,2			25,0 \pm 4,2			75,7 \pm 1,3				
		1,3 \pm 1,3			12,3 \pm 7,3			70,3 \pm 2,3				
 <p>Schl-33.331</p>	3	10	10	-	-	99	18	56	2,8(2,8/-/-)	93		♀/48/(+)
		4	4	5	3	62	15	24	2,5(2,5/2,83/2,17)	83		
		2	2	7	3	44	18	11	2,15(2/2,63/1,75)	72		
		10	10	-	-	54	6	35	2,9(2,9/-/-)	97		♀/72/(+)
		8	8	2	2	305	7	111	2,65(2,75/2,5/2)	88		
		5	5	5	1	76	8	50	2,4(2,6/2,8/1,6)	80		
		10	10	-	-	80	5	52	2,9(2,9/-/-)	97		
		7	7	3	2	229	11	83	2,75(2,86/2,67/2,33)	92		
		7	7	3	1	219	1	145	2,6(2,43/3/1,67)	87		
				10,0 \pm 0,0			77,7 \pm 13,0			95,7 \pm 1,3		
		6,3 \pm 1,2			198,7 \pm 71,8			87,7 \pm 2,6				
		4,7 \pm 1,5			113,0 \pm 53,8			79,7 \pm 4,3				
2	10	10	-	-	155	10	88	3(3/-/-)	100			
	9	9	0	1	225	12	88	2,95(3/2/3)	98			
	7	7	3	3	265	5	68	2,85(2,86/3/2,67)	95			
1	10	9	-	-	252	12	92	3(3/-/-)	100			
	10	10	-	-	442	12	87	3(3/-/-)	100			
	10	10	-	-	546	11	109	3(3/-/-)	100			

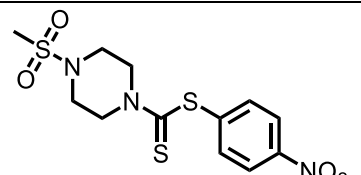
Strukturformel	Konzentration [μM]	Paare (von 10)	Paare angesaugt	σ^7 angesaugt	σ^7 angesaugt	absolute Eizahl	Deformation [%]	Eizahl normiert [%]	WMS: ϕ ($\sigma^7/\sigma^7/\sigma^7$)	WMS normiert [%]	Tegument-schäden	Darm-dilatation
 <p>Schi-33.346</p>	10	10	10	-	-	415	8	151	2,9(2,9/-/-)	97		$\sigma^7/48/(+)$
		10	9	-	-	384	21	75	2,8(2,8/-/-)	93		
		10	7	-	-	408	15	81	2,7(2,7/-/-)	90		
 <p>Schi-33.725</p>	10	10	10	-	-	82	23	53	3(3/-/-)	100		
		9	9	1	0	236	30	86	2,85(2,89/3/2)	95		
		9	9	0	0	138	28	91	2,75(2,78/3/2)	92		
	5	10	9	-	-	184	11	120	3(3/-/-)	100		
		9	9	1	1	226	9	82	3(3/3/3)	100		
		9	8	0	1	205	4	136	2,8(2,89/2/2)	93		
 <p>Schi-33.330</p>	10	10	9	-	-	334	8	101	3(3/-/-)	100		
		10	9	-	-	335	14	102	2,9(2,9/-/-)	97		
		10	10	-	-	388	18	127	2,9(2,9/-/-)	97		
 <p>Schi-33.776</p>	10	10	9	-	-	328	10	213	2,9(2,9/-/-)	97		
		10	10	-	-	555	8	202	3(3/-/-)	100		
		10	8	-	-	441	6	292	2,8(2,8/-/-)	93		
	5	10	10	-	-	352	11	229	3(3/-/-)	100		
		10	10	-	-	584	6	212	2,9(2,9/-/-)	97		
		10	9	-	-	469	6	311	2,9(2,9/-/-)	97		

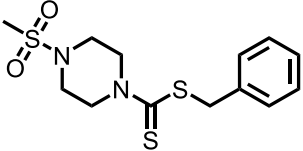
Strukturformel	Konzentration [μM]	Paare (von 10)	Paare angesaugt	♂ angesaugt	♀ angesaugt	absolute Eizahl	Deformation [%]	Eizahl normiert [%]	WMS: \emptyset (♂/♂/♀)	WMS normiert [%]	Tegument-schäden	Darm-dilatation	
 <p>Schi-33.773</p>	10	10	10	-	-	340	6	211	3(3/-/-)	100			
		6	5	3	0	460	8	162	2,85(2,83/2,75/3)	95			
		7	3	3	0	180	61	95	2,65(2,57/2,67/3)	88			
		10	10	-	-	459	14	298	2,9(2,9/-/-)	97			
		9	9	1	1	431	11	157	3(3/3/3)	100	♂/48/(+)		
		6	6	4	1	207	6	137	2,8(2,83/3/2,5)	93			
	5	10	10	-	-	336	10	218	3(3/-/-)	100			
		10	9	-	-	554	7	202	2,9(2,9/-/-)	97			
		9	9	1	1	283	10	187	3(3/3/3)	100			
	 <p>Schi-33.777</p>	10	9	4	0	0	93	16	55	2,45 (2,44/2/3)	82		
10			2	-	-	105	5	37	2,4 (2,4/-/-)	80	♂/72/(+)		
9			1	0	0	74	36	39	2,45(2,44/2/3)	82			
10			6	-	-	273	30	176	2,6(2,6/-/-)	87		♀/24/(+)	
6			1	1	0	71	70	23	2,25(2,17/2,5/2,25)	75			
7			0	0	0	69	88	17	1,95(2/2/1,67)	65			
9			9	1	0	152	25	86	2,95(3/3/2)	98			
9			1	0	0	58	48	23	2,1(2,11/2/2)	70			
9			1	0	0	147	34	38	2,1(2,11/2/2)	70			
5		9	6	0	0	78	33	44	2,6(2,67/2/2)	87			
		7	1	0	0	89	56	35	2,1(2,14/2/2)	70			
		7	1	0	0	95	30	24	2,1(2,14/2/2)	70			
		9,3 ± 0,3			149,0 ± 44,3			88,5 ± 3,4					
		8,0 ± 0,9			80,8 ± 10,3			73,8 ± 2,4					
		8,0 ± 0,6			96,3 ± 17,8			71,8 ± 3,6					
5	10	10	-	-	287	11	186	2,9(2,9/-/-)	97				
	10	9	-	-	379	8	138	2,8(2,8/-/-)	93				
	8	6	2	2	246	13	163	2,7(2,75/3/2)	90				

Strukturformel	Konzentration [μM]	Paare (von 10)	Paare angesaugt	σ^7 angesaugt	σ^8 angesaugt	absolute Eizahl	Deformation [%]	Eizahl normiert [%]	WMS: \emptyset ($\sigma^7/\sigma^8/\sigma^9$)	WMS normiert [%]	Tegument-schäden	Darm-dilatation
 Schi-33.422	10	10	10	-	-	296	8	192	3(3/-/-)	100		
		10	8	-	-	415	6	151	2,8(2,8/-/-)	93		
		10	9	-	-	338	6	224	2,9(2,9/-/-)	97		
 Schi-33.416	10	9	9	1	1	330	9	214	3(3/3/3)	100		
		8	8	2	2	431	11	157	2,9(2,88/3/3)	97		
		8	8	2	0	330	7	219	2,9(3/3/2)	97		
 Schi-33.416	10	10	10	-	-	270	9	98	3(3/-/-)	100		
		10	9	-	-	649	11	127	2,9(2,9/-/-)	97		
		10	10	-	-	398	10	79	3(3/-/-)	100		
 Schi-33.424	10	10	10	-	-	219	6	75	3(3/-/-)	100		
		10	10	-	-	286	11	68	3(3/-/-)	100		
		10	10	-	-	251	10	65	3(3/-/-)	100		
 Schi-33.355	10	10	9	-	-	172	20	63	2,9(2,9/-/-)	97		
		10	10	-	-	459	17	90	3(3/-/-)	100		
		10	10	-	-	559	13	111	3(3/-/-)	100		

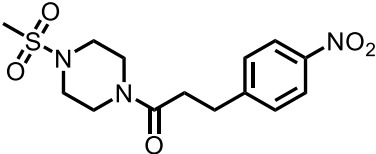
Strukturformel	Konzentration [μM]	Paare (von 10)	Paare angesaugt	♂ angesaugt	♀ angesaugt	absolute Eizahl	Deformation [%]	Eizahl normiert [%]	WMS: \emptyset (♀/♂/♀)	WMS normiert [%]	Tegument-schäden	Darm-dilatation
 <p>Schl-33.410</p>	10	10	8	-	-	738	14	268	2,8(2,8/-/-)	93		
		10	10	-	-	903	15	177	2,9(2,9/-/-)	97		
		10	10	-	-	578	18	115	2,9(2,9/-/-)	97		

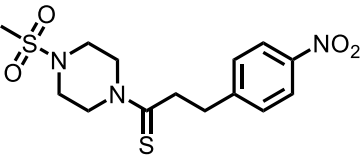
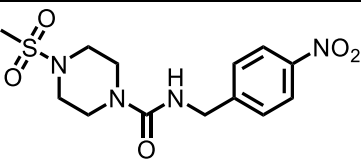
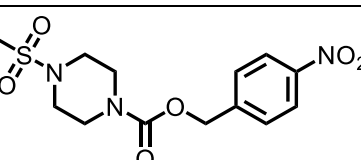
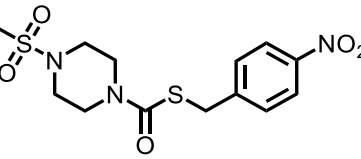
Austausch des para-Nitrobenzylsubstituenten

Strukturformel	Konzentration [μM]	Paare (von 10)	Paare angesaugt	♂ angesaugt	♀ angesaugt	absolute Eizahl	Deformation [%]	Eizahl normiert [%]	WMS: \emptyset (♀/♂/♀)	WMS normiert [%]	Tegument-schäden	Darm-dilatation
 <p>Schl-33.533</p>	10	10	10	-	-	56	11	34	3(3/-/-)	100		
		10	9	-	-	274	12	40	2,8(2,8/-/-)	93		
		10	9	-	-	574	7	174	2,7(2,7/-/-)	90		

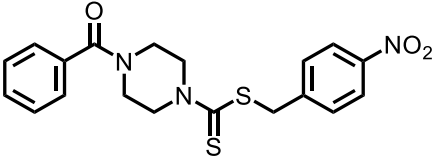
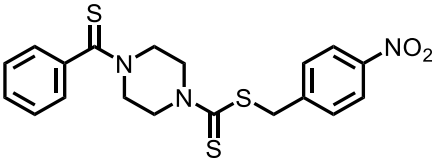
Strukturformel	Konzentration [μM]	Paare (von 10)	Paare angesaugt	σ angesaugt	φ angesaugt	absolute Eizahl	Deformation [%]	Eizahl normiert [%]	WMS: \emptyset ($\varphi/\sigma/\varphi$)	WMS normiert [%]	Tegument-schäden	Darm-dilatation
 <p>Schl-33.016</p>	10	8	8	2	0	340	10	318	2,9(2,88/3/3)	97		
		8	8	2	2	502	9	157	2,9(2,88/3/3)	97		
		8	8	1	2	670	16	205	2,9(289/3/3)	97		

Ersatz der Dithiocarbamatfunktion

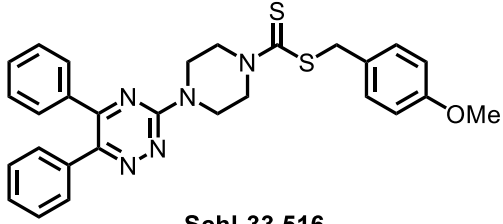
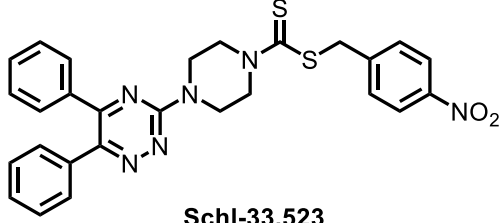
Strukturformel	Konzentration [μM]	Paare (von 10)	Paare angesaugt	σ angesaugt	φ angesaugt	absolute Eizahl	Deformation [%]	Eizahl normiert [%]	WMS: \emptyset ($\varphi/\sigma/\varphi$)	WMS normiert [%]	Tegument-schäden	Darm-dilatation
 <p>Schl-33.035</p>	10	10	10	-	-	116	13	108	2,9(2,9/-/-)	97		
		10	10	-	-	468	12	146	2,9(2,9/-/-)	97		
		10	9	-	-	572	10	175	2,9(2,9/-/-)	97		

Strukturformel	Konzentration [μM]	Paare (von 10)	Paare angesaugt	♂ angesaugt	♀ angesaugt	absolute Eizahl	Deformation [%]	Eizahl normiert [%]	WMS: \emptyset (♀/♂/♀)	WMS normiert [%]	Tegument-schäden	Darm-dilatation
 Schl-33.382	10	10	10	-	-	332	12	121	3(3/-/-)	100		
		10	10	-	-	491	12	96	3(3/-/-)	100		
		10	9	-	-	572	14	114	2,9(2,9/-/-)	97		
 Schl-33.392	10	10	9	-	-	167	12	57	3(3/-/-)	100		
		10	10	-	-	405	9	96	2,9(2,9/-/-)	97		
		9	9	1	1	479	14	124	2,75(2,78/3/2)	92		
 Schl-33.464	10	10	10	-	-	188	11	123	3(3/-/-)	100		
		10	9	-	-	507	9	167	2,9(2,9/-/-)	97		
		10	9	-	-	426	11	132	2,9(2,9/-/-)	97		
		10	9	-	-	131	12	79	2,9(2,9/-/-)	97		
		10	8	-	-	283	12	52	2,8(2,8/-/-)	93		
		9	5	1	1	267	7	81	2,75(2,78/2/3)	92		
 Schl-33.784	10	8	8	2	2	72	13	111	3(3/3/3)	100		
		5	3	4	2	118	12	34	2,85(2,8/2,8/3)	95		
		6	4	2	1	177	9	42	2,75(2,83/2,5/2,75)	92		

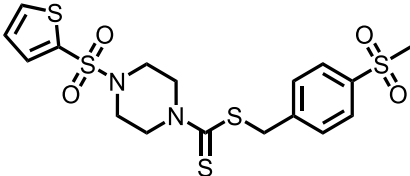
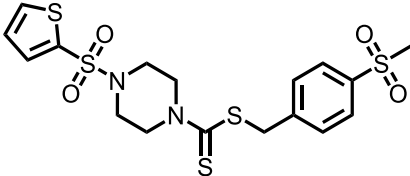
Carbonsäure(thio)amide

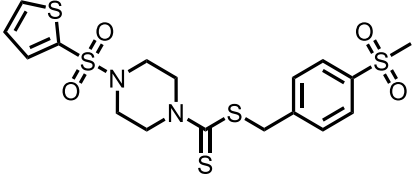
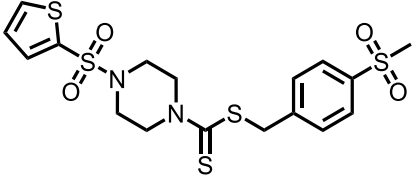
Strukturformel	Konzentration [μM]	Paare (von 10)	Paare angesaugt	σ^7 angesaugt	σ^8 angesaugt	absolute Eizahl	Deformation [%]	Eizahl normiert [%]	WMS: ϕ ($\sigma^7/\sigma^8/\sigma^9$)	WMS normiert [%]	Tegument-schäden	Darm-dilatation
 Schi-33.076	10	9	9	1	0	224	9	209	2,9(2,89/3/3)	97		
		9	8	1	0	541	16	169	2,9(2,89/3/3)	97		
		10	10	-	-	494	11	151	3(3/-/-)	100		
 Schi-33.214	10	10	10	-	-	219	14	205	3(3/-/-)	100		
		10	9	-	-	410	14	128	3(3/-/-)	100		
		10	10	-	-	575	16	176	2,9(2,9/-/-)	97		

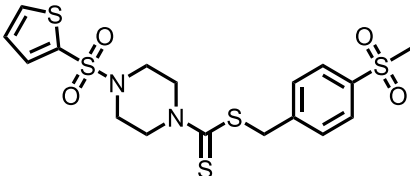
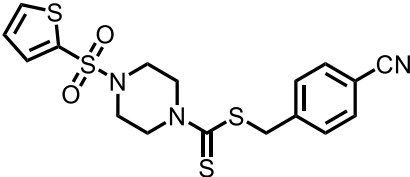
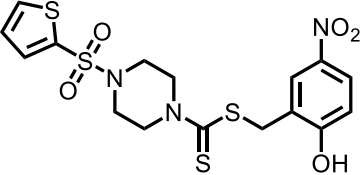
Dithiocarbamatkonjugat mit Triazinen

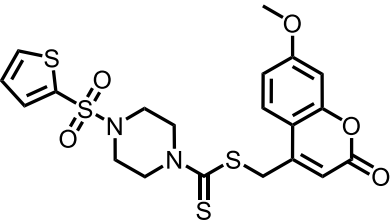
Strukturformel	Konzentration [μM]	Paare (von 10)	Paare angesaugt	σ^7 angesaugt	f angesaugt	absolute Eizahl	Deformation [%]	Eizahl normiert [%]	WMS: \emptyset ($\text{f}/\sigma^7/\text{f}$)	WMS normiert [%]	Tegument-schäden	Darm-dilatation
 <p>Schl-33.516</p>	10	9 8 8	9 4 3	1 2 2	1 2 2	271 366 371	11 6 9	164 67 112	2,85(2,89/2/3) 2,8(2,75/3/3) 2,6(2,63/2/3)	95 93 87		
 <p>Schl-33.523</p>	10	10 9 8	10 8 8	- 1 2	- 0 1	156 258 128	15 10 9	101 94 85	2,9(2,9/-/-) 2,85(2,89/3/2) 2,65(2,75/3/1,5)	97 95 88		

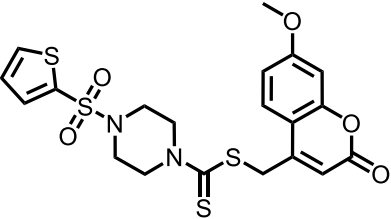
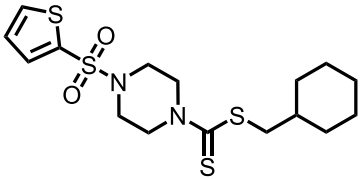
Kombinationsserie II

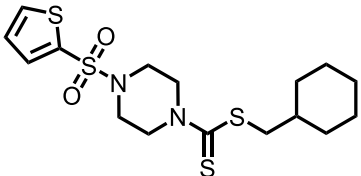
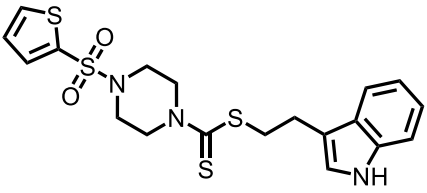
Strukturformel	Konzentration [μM]					absolute Eizahl	Deformation [%]	Eizahl normiert [%]	WMS: \emptyset ($\text{♀}/\text{♂}/\text{♀}$)	WMS normiert [%]	Tegument-schäden	Darm-dilatation
		Paare (von 10)	Paare angesaugt	♂ angesaugt	♀ angesaugt							
 <p>Schi-33.507</p>	10	2	0	1	0	28	7	11	1,95(2/1,63/2,25)	65		
		2	0	0	0	0	-	0	1,5(1/1,5/1,75)	50	♂/48/++	♀/24/+++
		2	0	0	0	1	0	<1(0,8)	1(1/1/1)	33		
		6	2	0	0	87	15	53	2,25(2,17/2,25/2,5)	75		
		0	-	0	0	1	0	<1(0,2)	1,55(-/1,7/1,4)	52	♂/48/++	♀/24/+++
		0	-	0	0	2	50	<1(0,5)	0,9(-/1/0,8)	30		
		4	3	4	0	89	9	41	2,25(2,25/2,5/2)	75		
		0	-	0	0	0	-	0	1,75(-/1,8/1,7)	58	♀/48/++	♀/24/+++
		0	-	0	0	0	-	0	1(-/1/1)	33		
				4,0 ± 1,2			68,0 ± 20,0			71,7 ± 3,3		
		0,7 ± 0,7			0,3 ± 0,3			53,3 ± 2,4				
		0,7 ± 0,7			1,0 ± 0,6			32,0 ± 1,0				
 <p>Schi-33.507</p>	5	10	7	-	-	298	7	112	2,7(2,7/-/-)	90		
		5	4	2	1	76	5	50	2,5(2,6/2,4/2,4)	83	♂/72/(+)	♀/48/++
		2	0	0	1	7	14	5	1,4(1/1,5/1,5)	47		
		7	7	3	3	221	9	101	2,7(2,71/2,67/2,67)	90		
		2	2	3	0	15	13	4	2,35(2,5/2,38/2,25)	78	♂/48/+	♀/48/++
		0	-	3	0	0	-	0	1,5(-/1,8/1,2)	50		
		9	9	1	1	169	12	82	2,9(2,89/3/3)	97		
		3	1	2	0	30	7	8	1,95(2,33/1,86/1,71)	65		♀/48/++
		1	0	3	0	6	0	3	1,45(2/1,56/1,22)	48		
				8,7 ± 0,9			229,3 ± 37,5			92,3 ± 2,3		
		3,3 ± 0,9			40,3 ± 18,4			75,3 ± 5,4				
		1,0 ± 0,6			4,3 ± 2,2			48,3 ± 0,9				
	4	10	9	-	-	70	16	40	2,8(2,8/-/-)	93		
		7	5	3	0	12	17	5	2,3(2,29/3/1,67)	77		♀/24/++
		2	1	7	0	2	50	<1(0,5)	2,15(2/2,88/1,5)	72		

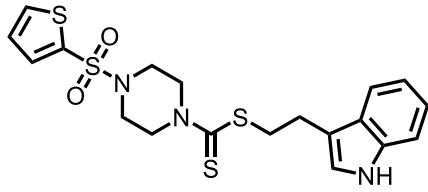
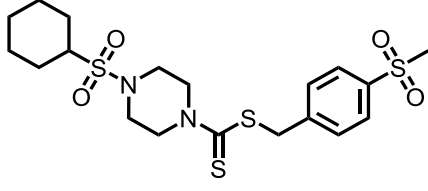
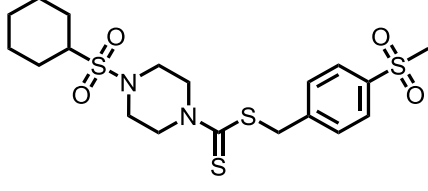
Strukturformel	Konzentration [μm]	Paare (von 10)	Paare angesaugt	σ angesaugt	φ angesaugt	absolute Eizahl	Deformation [%]	Eizahl normiert [%]	WMS: \emptyset ($\sigma/\sigma/\varphi$)	WMS normiert [%]	Tegument-schäden	Darm-dilatation
 <p>Schl-33.507</p>		8	8	2	2	171	12	84	2,75(2,75/3/2,5)	92		
		4	4	5	2	73	14	26	2,65(2,75/2,83/2,33)	88		♀/48/++
		0	-	7	0	7	43	2	2,1(-/2,4/1,8)	70		
		6	6	4	0	23	13	11	2,4(2,67/2,75/1,25)	80		
		2	2	8	0	4	50	1	2,5(2,5/3/2)	83		♀/24/++
		0	-	6	0	0	-	0	1,95(-/2,3/1,6)	65		
		8,0 \pm 1,2			88,0 \pm 43,7			88,3 \pm 4,2				
		4,3 \pm 1,5			29,7 \pm 21,8			82,7 \pm 3,2				
		0,7 \pm 0,7			3,0 \pm 2,1			69,0 \pm 2,1				
 <p>Schl-33.507</p>	3	10	9	-	-	200	12	114	2,9(2,9/-/-)	97		
		9	8	0	1	113	10	44	2,65(2,67/2/3)	88		♀/48/(+)
		9	8	0	0	40	18	10	2,55(2,67/1/2)	85		
		9	8	1	1	177	16	87	2,9(2,89/3/3)	97		
		5	5	5	3	146	15	51	2,8(2,8/3/2,6)	93		♀/48/+
		4	4	5	4	45	27	16	2,55(3/2,33/2,17)	85		
		9	8	1	1	125	14	62	2,85(2,89/2/3)	95		
		6	6	3	3	152	16	53	2,8(2,83/2,75/2,75)	93		♀/48/+
		2	2	5	5	30	20	11	2,35(3/2,38/2)	78		
		10	10	-	-	181	8	279	2,9(2,9/-/-)	97		
		6	6	4	4	112	6	32	2,5(2,67/3/1,5)	83		♀/48/+
		2	1	8	1	7	29	2	2,3(2/3/1,75)	77		
		10	10	-	-	68	9	34	2,9(2,9/-/-)	97		
8	7	1	0	1	0	<1(0,4)	2,35(2,5/2,5/1)	78		♀/24/+		
2	1	3	0	0	-	0	1,5(2/1,63/1,13)	50				
		9,6 \pm 0,3			150,2 \pm 24,0			96,6 \pm 0,4				
		6,8 \pm 0,7			104,8 \pm 27,2			87,0 \pm 2,9				
		3,8 \pm 1,4			24,4 \pm 8,9			75,0 \pm 6,5				

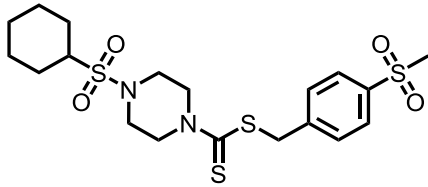
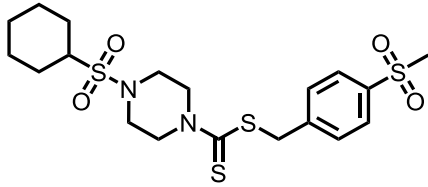
Strukturformel	Konzentration [μM]	Paare (von 10)	Paare angesaugt	♂ angesaugt	♀ angesaugt	absolute Eizahl	Deformation [%]	Eizahl normiert [%]	WMS: \emptyset (♀/♂/♀)	WMS normiert [%]	Tegument-schäden	Darm-dilatation	
 Schl-33.507	2	10	10	-	-	80	9	46	2,9(2,9/-/-)	97			
		9	9	1	1	266	9	104	3(3/3/3/)	100			
		8	7	1	1	346	9	89	2,85(2,88/2,5/3)	95			
	1	10	10	-	-	269	4	101	2,9(2,9/-/-)	97			
		10	10	-	-	484	5	321	2,8(2,8/-/-)	93			
		8	8	2	1	432	14	325	2,7(2,75/2/3)	90			
 Schl-33.526	10	10	10	-	-	135	13	82	3(3/-/-)	100		♂/48/++	
		6	3	2	0	115	10	21	2,3(2,3/2/2,5)	77			
		0	-	0	0	5	0	2	1,4(-/1,4/1,4)	47			
		10	10	10	-	-	114	4	52	2,7(2,7/-/-)	90		
			1	0	4	0	34	32	9	2,45(2/2,44/2,56)	82	♀/72/+	♂/72/++
			0	-	2	0	0	-	0	1,2(-/1,2/1,2)	40		
		10	8	8	1	0	13	8	4	2,75(2,88/2,5/2)	92		♂/48/++
			1	1	1	0	0	-	0	1,45(2/1,44/1,33)	48		
			1	0	0	0	0	-	0	1(1/1/1)	33		
			9,3 ± 0,7			87,3 ± 37,7			94,0 ± 3,1				
		2,7 ± 1,7			49,7 ± 34,1			69,0 ± 10,6					
		0,3 ± 0,3			1,7 ± 1,7			40,0 ± 4,0					
	5	9	9	1	1	438	5	201	2,8(2,78/3/3)	93			
		9	9	1	1	240	8	60	2,75(2,78/2/3)	92			
		8	8	2	2	90	12	22	2,8(2,75/3/3)	93			
 Schl-33.535	10	8	8	1	1	107	8	49	2,8(2,88/2,5/2,5)	93			
		9	8	1	1	212	14	53	2,85(2,89/2/3)	95			
		6	6	4	3	141	27	34	2,65(2,67/2,5/2,75)	88			
		10	10	9	-	-	172	9	83	2,9(2,9/-/-)	97		
			10	10	-	-	271	3	68	3(3/-/-)	100		
			9	8	0	0	94	10	38	2,85(2,89/2/3)	95		

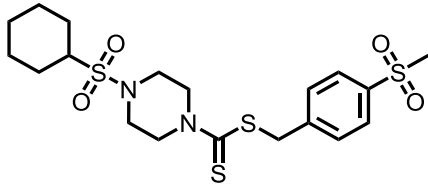
Strukturformel	Konzentration [μM]	Paare (von 10)	Paare angesaugt	σ° angesaugt	Q angesaugt	absolute Eizahl	Deformation [%]	Eizahl normiert [%]	WMS: \emptyset ($\sigma^{\circ}/\sigma^{\circ}/\text{Q}$)	WMS normiert [%]	Tegument-schäden	Darm-dilatation
 <p>Schl-33.504</p>	10	10	9	-	-	160	5	60	2,8(2,8/-/-)	93		
		10	10	-	-	76	22	50	2,7(2,7/-/-)	90		$\text{Q}/72/++$
		8	5	2	2	1	100	<1(0,8)	1,7(1,75/1/2)	57		
		10	9	-	-	39	18	24	2,7(2,7/-/-)	90		
		1	0	2	0	12	8	2	2(2/2/2)	67		$\text{Q}/48/+$
		0	-	0	0	1	0	<1(0,3)	1,6(-/1,5/1,7)	53		
		10	6	-	-	32	3	15	2,6(2,6/-/-)	87		
		4	1	2	0	6	17	2	2,1(2/2,33/2)	70	$\sigma^{\circ}/72/(+)$	$\text{Q}/24/++$
		2	0	0	0	0	-	0	1,15(1/1,13/1,25)	38		
		10	9	-	-	210	10	151	2,8(2,8/-/-)	93		
		10	8	-	-	211	7	66	2,8(2,8/-/-)	93		$\text{Q}/72/+$
		9	8	0	1	172	17	38	2,55(2,56/2/3)	85		
		10	10	-	-	79	5	51	2,9(2,9/-/-)	97		
		7	7	1	0	31	13	10	2,2(2,14/2,67/2)	73	$\sigma^{\circ}/72/+$	$\text{Q}/48/++$
4	1	0	0	1	0	<1(0,2)	1,55(1,67/1,33/1,5)	52				
10	6	-	-	213	12	107	2,6(2,6/-/-)	87				
3	0	0	0	2	0	<1(0,8)	1,25(1,33/1,29/1,14)	42	$\sigma^{\circ}/48/++$	$\sigma^{\circ}/24/+$		
0	-	0	0	1	0	<1(0,9)	0,85(-/0,7/1)	28				
		10,0 \pm 0,0				122,2 \pm 33,8			91,2 \pm 1,6			
		5,8 \pm 1,5				56,3 \pm 32,9			72,5 \pm 7,5			
		3,8 \pm 1,6				29,3 \pm 28,5			52,2 \pm 7,9			
	5	10	10	-	-	247	2	93	2,9(2,9/-/-)	97		
		10	10	-	-	157	8	104	2,8(2,8/-/-)	93		$\text{Q}/48/+$
		8	8	2	0	12	0	9	2,4(2,38/3/2)	80		
		10	10	-	-	108	4	50	3(3/-/-)	100		
		6	6	4	0	10	10	3	2,5(2,67/2,5/2)	83		$\text{Q}/48/+$
		3	3	6	0	0	-	0	2,25(2,33/2,71/1,71)	75		
		10	10	-	-	109	9	53	3(3/-/-)	100		
		10	7	-	-	196	6	49	2,8(2,8/-/-)	93		$\text{Q}/72/(+)$
		9	8	0	1	24	13	10	2,7(2,78/2/2)	92		

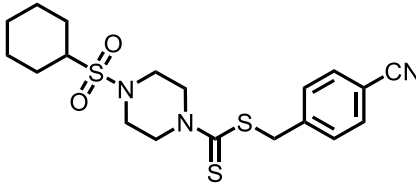
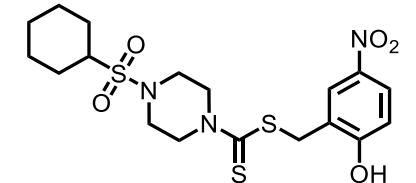
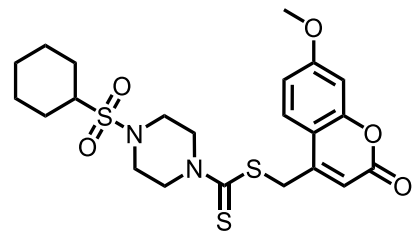
Strukturformel	Konzentration [μM]	Paare (von 10)	Paare angesaugt	♂ angesaugt	♀ angesaugt	absolute Eizahl	Deformation [%]	Eizahl normiert [%]	WMS: \emptyset (♀/♂/♀)	WMS normiert [%]	Tegument-schäden	Darm-dilatation	
 <p>Schi-33.504</p>		10	10	-	-	191	12	137	3(3/-/-)	100			
		10	9	-	-	24	8	8	2,4(2,4/-/-)	80		♀/48/++	
		6	6	4	0	13	15	3	2(2/2,75/1,25)	67			
		10	10	-	-	77	7	50	3(3/-/-)	100			
		9	8	1	0	74	3	23	2,6(2,67/2/2)	87		♀/48/++	
		7	5	1	0	1	0	<1(0,2)	2,1(2/2,67/2)	70			
			10,0 ± 0,0			146,4 ± 31,5			99,4 ± 0,6				
			9,0 ± 0,8			92,2 ± 36,6			87,2 ± 2,6				
			6,6 ± 1,0			10,0 ± 4,4			76,8 ± 4,4				
	1	8	8	1	1	231	2	87	2,9(2,88/3/3)	97			
	8	7	1	2	385	5	256	2,85(2,88/2,5/3)	95				
	9	8	1	0	682	4	513	2,65(2,67/2/3)	88				
 <p>Schi-33.536</p>		10	10	-	-	190	10	92	2,9(2,9/-/-)	97			
		3	2	6	1	156	15	39	2,55(2,33/2,71/2,57)	85		♀/48/++	
		0	-	4	1	1	100	<1(0,4)	2,1(-/2,1/2,1)	70			
		10	10	-	-	79	4	26	2,9(2,9/-/-)	97			
		7	6	3	2	169	11	70	2,85(2,86/3/2,67)	95		♀/72/(+)	
		4	4	3	3	109	20	39	2,75(3/2,5/2,67)	92			
		9	9	0	1	132	9	95	2,85(2,89/2/3)	95			
		7	6	3	1	107	15	33	2,75(2,86/2,67/2,33)	92		♂/24/+	
		4	3	4	0	108	15	24	1,5(1,5/1,33/1,67)	50			
		5	4	5	0	54	20	35	2,55(2,6/3/2)	85			
	0	-	6	0	1	0	<1(0,3)	1,45(-/1,5/1,4)	48		♂/24/+		
	0	-	1	0	0	-	0	1,4(-/1,5/1,3)	47				
	3	3	7	0	59	5	38	2,55(2,67/3/3)	85				
	0	-	4	0	2	50	<1(0,6)	1,45(-/1,6/1,3)	48		♂/24/++		
	0	-	1	0	0	-	0	1,4(-/1,6/1,2)	47				
		7,4 ± 1,4			102,8 ± 25,8			91,8 ± 2,8					
		3,4 ± 1,6			87,0 ± 36,4			73,6 ± 10,6					
		1,6 ± 1,0			43,6 ± 26,5			61,2 ± 8,8					

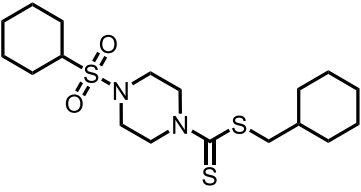
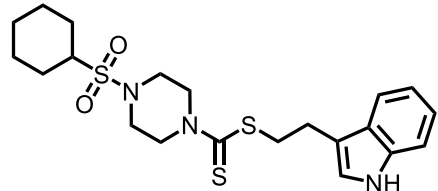
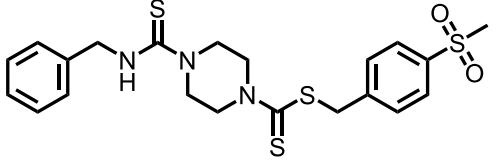
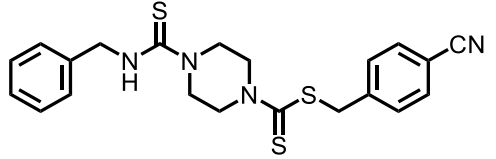
Strukturformel	Konzentration [μm]	Paare (von 10)	Paare angesaugt	♂ angesaugt	♀ angesaugt	absolute Eizahl	Deformation [%]	Eizahl normiert [%]	WMS: \emptyset (♀/♂/♀)	WMS normiert [%]	Tegument-schäden	Darm-dilatation
 <p>Schl-33.536</p>	5	10	10	-	-	87	5	28	3(3/-/-)	100		
		8	7	2	1	180	11	75	2,85(2/2,88/3/2,5)	95		
		7	7	3	2	106	26	38	2,95(3/3/2,67)	98		
 <p>Schl-33.537</p>	10	9	1	1	0	93	7	56	2,8(2,78/3/3)	93	♀/48/++	
		0	-	0	0	10	0	2	2,2(-/2,1/2,3)	73		
		0	-	0	0	5	40	2	1,55(-/1,5/1,6)	52		
		5	0	0	0	36	3	17	2,2(2/2/2,8)	73	♀/48/++	
		0	-	0	0	1	0	<1(0,3)	2(-/2/2)	67		
		0	-	0	0	0	-	0	1,25(-/1,2/1,3)	42		
		10	3	-	-	60	17	29	2,2(2,2/-/-)	73	♀/48/++	
		1	0	0	0	0	-	0	1,45(1/1,44/1,56)	48		
		0	-	0	0	1	100	<1(0,4)	1,15(-/1,2/1,1)	38		
		6	0	1	0	9	0	3	2,3(2,33/1,75/2,75)	77	♀/48/++	
0	-	0	0	0	-	0	1,75(-/2/1,5)	58				
0	-	0	0	0	-	0	1,3(-/1,3/1,3)	43				
		7,5 ± 1,2			49,5 ± 17,6			79,0 ± 4,8				
		0,3 ± 0,3			2,8 ± 2,4			61,5 ± 5,5				
		0,0 ± 0,0			1,5 ± 1,2			43,8 ± 3,0				
	5	8	8	0	2	120	5	55	2,8(2,88/2/3)	93		
		8	6	0	0	129	9	32	2,7(2,75/2/3)	90		
		7	5	2	0	64	23	15	2,45(2,57/2/2,33)	82		
		10	10	-	-	216	7	104	2,9(2,9/-/-)	97		
		10	2	-	-	334	11	84	2,7(2,7/-/-)	90		
		10	8	-	-	133	13	54	2,7(2,7/-/-)	90		

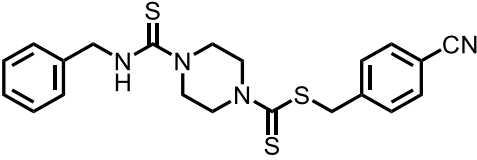
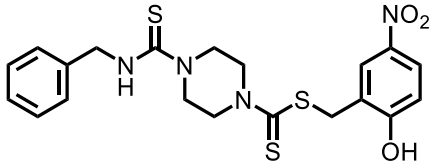
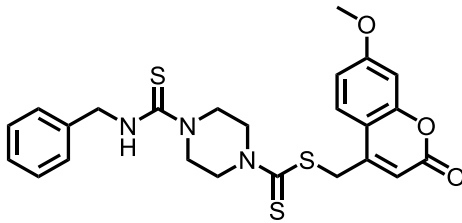
Strukturformel	Konzentration [μM]	Paare (von 10)	Paare angesaugt	♂ angesaugt	♀ angesaugt	absolute Eizahl	Deformation [%]	Eizahl normiert [%]	WMS: \emptyset ($\sigma/\sigma/\sigma$)	WMS normiert [%]	Tegument-schäden	Darm-dilatation
 <p>Schl-33.537</p>		10	9	-	-	141	10	101	2,9(2,9/-/-)	97		
		10	10	-	-	233	12	73	3(3/-/-)	100		
		9	8	1	1	351	6	77	2,9(2,89/3/3)	97		
				9,3 \pm 0,7				159,0 \pm 29,1		95,7 \pm 1,3		
		9,3 \pm 0,7				232,0 \pm 59,2		93,3 \pm 3,3				
		8,7 \pm 0,9				182,7 \pm 86,5		89,7 \pm 4,3				
 <p>Schl-33.635</p>	10	6	1	0	0	5	40	4	2,35(2,5/1,25/3)	78		
		1	0	0	0	3	33	<1(0,9)	1,6(2/1,44/1,67)	53	♂/48/+	♀/48/(+)
		0	-	0	0	0	-	0	1,15(-/1,3/1)	38		
		7	2	0	0	32	9	21	2,35(2,29/2/3)	78		
		0	-	1	0	13	23	4	1,5(-/1,4/1,6)	50	♀/72/(+)	
		0	-	0	0	0	-	0	1,35(-/1,5/1,2)	45		
		3	2	3	0	12	8	7	2,4(2/2,57/2,57)	80		
		0	-	0	0	14	14	6	1,45(-/1,7/1,2)	48	♂/72/(+)	♀/72/(+)
0	-	0	0	1	0	<1(0,3)	1,25(-/1,3/1,2)	42				
		5,3 \pm 1,2				16,3 \pm 8,1		78,7 \pm 0,7				
		0,3 \pm 0,3				10,0 \pm 3,5		50,3 \pm 1,5				
		0,0 \pm 0,0				0,3 \pm 0,3		41,7 \pm 2,0				
 <p>Schl-33.635</p>	5	5	5	5	0	105	22	60	2,5(2,6/2,8/2)	83		
		2	2	5	0	23	22	9	2,0(2/2,13/1,63)	67	♀/72/(+)	♀/24/+
		0	-	3	0	1	100	<1(0,3)	1,55(-/1,6/1,5)	52		
		3	3	7	0	37	16	21	2,5(2,33/2,85/2,29)	83		
		0	-	9	0	4	0	2	2,1(-/2,4/1,8)	70	♀/72/(+)	♀/48/(+)
		0	-	4	0	0	-	0	1,5(-/1,5/1,5)	50		

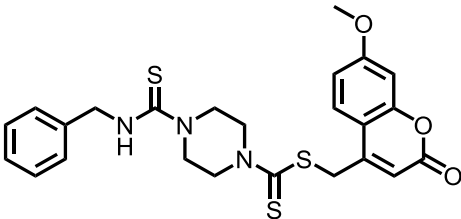
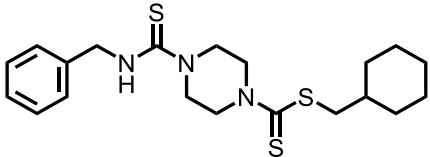
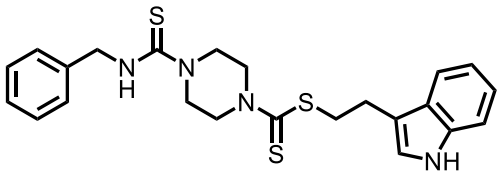
Strukturformel	Konzentration [μM]	Paare (von 10)	Paare angesaugt	σ angesaugt	φ angesaugt	absolute Eizahl	Deformation [%]	Eizahl normiert [%]	WMS: \emptyset ($\sigma/\sigma/\varphi$)	WMS normiert [%]	Tegument-schäden	Darm-dilatation
		10	9	0	0	45	4	29	2,6(2,6/-/-)	87	$\sigma/72/(+)$	$\varphi/72/(+)$
		0	-	0	0	4	0	1	1,65(-/1,5/1,8)	55		
		0	-	0	0	0	-	0	1,6(-/1,6/1,6)	53		
		6,0 \pm 2,1		62,3 \pm 21,5		84,3 \pm 1,3						
0,7 \pm 0,7		10,3 \pm 6,3		64,0 \pm 4,6								
0,0 \pm 0,0		0,3 \pm 0,3		51,7 \pm 0,9								
 <p>Schi-33.635</p>	4	5	2	1	1	6	67	3	2,3(2,4/2,2/2,2)	77	$\varphi/48/+$	
		0	-	0	0	7	43	3	1,95(-/1,9/2)	65		
		0	-	0	0	1	0	<1(0,4)	1,45(-/1,5/1,4)	48		
		4	2	2	0	18	11	28	2,55(2,5/2,5/2,67)	85	$\varphi/48/+$	
		0	-	0	0	2	0	<1(0,6)	1,5(-/1,5/1,5)	50		
		0	-	0	0	0	-	0	1,45(-/1,4/1,5)	48		
		6	4	2	0	11	9	17	2,65(2,67/2,75/2,5)	88	$\varphi/48/+$	
		0	-	3	0	5	40	1	1,7(-/1,9/1,5)	57		
		0	-	0	0	0	-	0	1,55(-/1,5/1,6)	52		
		5	2	0	0	5	20	8	2,65(2,6/2,6/2,8)	88	$\varphi/72/(+)$	
0	-	0	0	8	25	2	1,75(-/1,8/1,7)	58				
0	-	0	0	0	-	0	1,4(-/1,3/1,5)	47				
5,0 \pm 0,4		10,0 \pm 3,0		84,5 \pm 2,6								
0,0 \pm 0,0		5,5 \pm 1,3		57,5 \pm 3,1								
0,0 \pm 0,0		0,3 \pm 0,3		48,8 \pm 1,1								
 <p>Schi-33.635</p>	3	5	5	4	2	61	13	30	2,7(2,8/2,8/2,4)	90	$\varphi/72/(+)$	
		4	3	2	1	24	17	8	2,45(2,5/2,5/2,33)	82		
		0	-	1	1	11	46	4	2,4(-/2,3/2,5)	80		
		6	5	0	0	4	0	6	2,6(2,83/2,5/2)	87	$\varphi/48/(+)$	
		1	1	2	0	1	0	<1(0,3)	1,85(2/2,11/1,56)	62		
		1	0	1	0	4	0	1	1,55(2/1,56/1,44)	52		
		8	8	2	0	121	13	186	2,75(2,75/3/2,5)	92	$\varphi/72/(+)$	$\varphi/72/(+)$
		0	-	10	0	24	29	7	2,35(-/2,9/1,8)	78		
		0	-	6	0	0	-	0	2,05(-/2,6/1,5)	68		

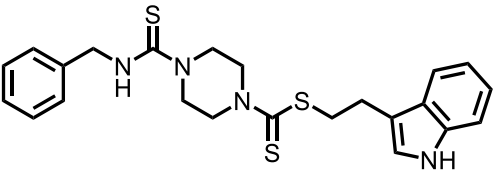
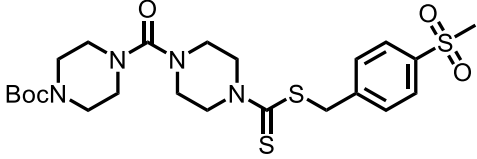
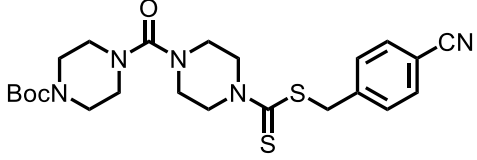
Strukturformel	Konzentration [μm]	Paare (von 10)	Paare angesaugt	♂ angesaugt	♀ angesaugt	absolute Eizahl	Deformation [%]	Eizahl normiert [%]	WMS: \emptyset (♂/♂/♀)	WMS normiert [%]	Tegument-schäden	Darm-dilatation
		7	6	2	0	46	4	71	2,7(2,86/2,67/2)	90	♂/48/(+)	♀/48/(+)
		1	1	4	0	23	17	7	2,1(2/2,56/1,67)	70		
		0	-	2	0	0	-	0	1,45(-/1,4/1,5)	48		
		8	5	1	1	53	26	27	2,45(2,5/2,5/2)	82		♀/24/(+)
5	0	2	0	4	25	2	1,84(2/2/1,4)	62				
3	2	0	0	1	100	<1(0,8)	1,55(1,67/1,57/1,43)	52				
		6,8 ± 0,6				57,0 ± 18,8			88,2 ± 1,7			
		2,2 ± 1,0				15,2 ± 5,2			70,8 ± 4,1			
		0,8 ± 0,6				3,2 ± 2,1			60,0 ± 6,1			
 <p>Schi-33.635</p>	2	8	7	2	0	73	15	36	2,9(2,88/3/3)	97		
		5	5	3	2	100	34	35	2,7(2,8/2,8/2,4)	90		
		2	2	5	3	59	34	21	2,6(3/2,63/2,38)	87		
		8	8	2	2	111	88	171	2,9(2,88/3/3)	97		♀/72/(+)
		6	6	4	1	182	9	52	2,9(3/3/2,5)	97		
		2	2	4	2	50	6	12	2,55(2,5/2,63/2,5)	85		
		6	6	4	2	29	17	45	2,8(2,83/3/2,5)	93		♀/48/(+)
		4	4	6	6	53	19	15	2,65(2,75/3/2,17)	88		
		2	2	7	0	2	0	<1(0,5)	2,65(3/2,88/2,25)	88		
		5	4	5	1	15	7	23	2,7(2,8/3/2,2)	90		♀/72/(+)
		1	1	7	2	19	16	5	2,6(3/2,67/2,44)	87		
		0	-	5	0	0	-	0	2,45(-/2,7/2,2)	82		
		6,8 ± 0,8				57,0 ± 21,8			94,3 ± 1,7			
		4,0 ± 1,1				88,5 ± 35,3			90,5 ± 2,3			
		1,5 ± 0,5				27,8 ± 15,6			85,5 ± 1,3			
	1	9	9	1	1	95	4	47	3(3/3/3)	100		
		6	6	2	3	174	15	61	2,75(2,83/2,5/2,75)	92		
		6	4	3	4	145	23	51	2,75(2,67/2,75/3)	92		

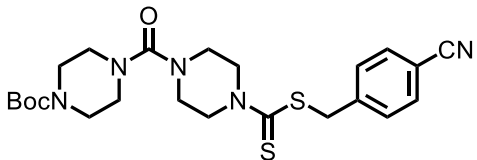
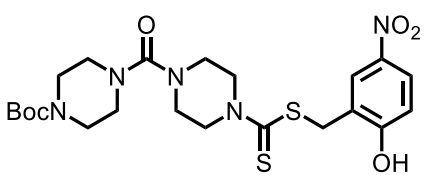
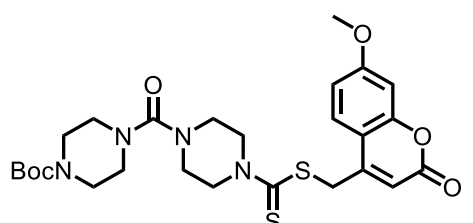
Strukturformel	Konzentration [μM]	Paare (von 10)	Paare angesaugt	σ^7 angesaugt	σ^8 angesaugt	absolute Eizahl	Deformation [%]	Eizahl normiert [%]	WMS: \emptyset ($\sigma^7/\sigma^8/\sigma^9$)	WMS normiert [%]	Tegument-schäden	Darm-dilatation	
 Schl-33.631	10	9	8	1	0	316	12	153	2,8(2,78/3/3)	93		♀/48/(+)	
		9	8	1	1	225	10	56	2,8(2,78/3/3)	93			
		8	8	1	1	162	4	66	2,9(3/2,5/2,5)	97			
 Schl-33.633	10	10	10	-	-	112	14	54	3(3/-/-)	100			
		10	10	-	-	213	10	53	2,9(2,9/-/-)	97			
		10	10	-	-	213	4	87	2,9(2,9/-/-)	97			
 Schl-33.632	10	10	10	-	-	64	13	31	3(3/-/-)	100		♀/48/+	
		7	5	2	2	105	12	26	2,7(2,71/2,67/2,67)	90			
		5	3	2	0	11	9	5	2,4(2,4/2/2,8)	80			
		10	10	-	-	23	9	8	2,9(2,9/-/-)	97		♀/72/(+)	
		9	8	1	0	51	6	21	2,85(2,89/3/2)	95			
		5	3	2	1	17	18	6	2,5(2,6/2,4/2,4)	83			
		10	10	-	-	88	6	63	3(3/-/-)	100		♀/48/(+)	
		9	8	0	0	135	14	42	2,5(2,67/1/1)	83			
		9	4	0	0	88	18	19	2,35(2,44/2/1)	78			
				10,0 \pm 0,0				58,3 \pm 19,0			99,0 \pm 1,0		
		8,3 \pm 0,7				97,0 \pm 24,6			89,3 \pm 3,5				
		6,3 \pm 1,3				38,7 \pm 24,7			80,3 \pm 1,5				
5	10	10	-	-	29	4	10	3(3/-/-)	100				
	10	10	-	-	313	9	130	3(3/-/-)	100				
	10	10	-	-	354	13	126	3(3/-/-)	100				

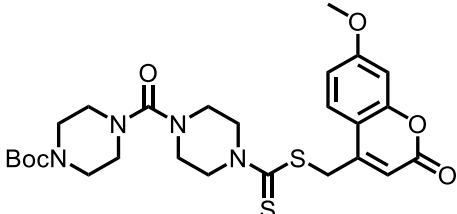
Strukturformel	Konzentration [μM]	Paare (von 10)	Paare angesaugt	σ^7 angesaugt	σ^7 angesaugt	absolute Eizahl	Deformation [%]	Eizahl normiert [%]	WMS: \emptyset ($\sigma^7/\sigma^7/\sigma^7$)	WMS normiert [%]	Tegument-schäden	Darm-dilatation
 Schl-33.634	10	10	9	-	-	111	8	54	2,9(2,9/-/-)	97		
		10	9	-	-	270	7	68	2,9(2,9/-/-)	97		
		9	9	0	1	276	8	113	2,85(2,89/2/3)	95		
 Schl-33.630	10	9	9	1	1	115	10	56	2,9(2,89/3/3)	97		
		8	8	2	1	420	12	105	2,85(2,88/3/2,5)	95		$\sigma^7/72/(+)$
		7	6	3	0	37	27	15	2,8(2,86/2,67/2,67)	93		
		10	9	-	-	264	11	190	2,9(2,9/-/-)	97		
		10	9	-	-	257	13	80	2,6(2,6/-/-)	87		
		9	8	1	0	164	18	36	2,6(2,56/3/3)	87		
 Schl-33.565	10	10	10	-	-	487	11	295	2,9(2,9/-/-)	97		
		10	9	-	-	350	7	64	2,9(2,9/-/-)	97		
		9	7	1	1	298	18	90	2,65(2,67/2/3)	88		
 Schl-33.567	10	10	10	-	-	348	8	211	2,7(2,7/-/-)	90		
		5	3	1	0	257	11	47	2,55(2,6/2,2/2,8)	85		$\sigma^7/48/(+)$
		3	3	4	2	81	22	25	2,35(2/2,29/2,71)	78		
		10	10	-	-	177	6	114	3(3/-/-)	100		
		5	4	3	0	55	4	17	2,3(2,4/2,4/2)	77	$\sigma^7/48/+$	$\sigma^7/48/+$
		4	2	2	0	9	44	2	1,6(1,75/1,83/1,17)	53		

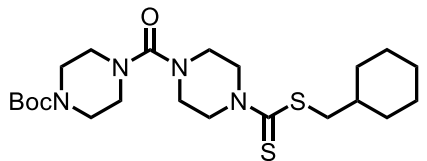
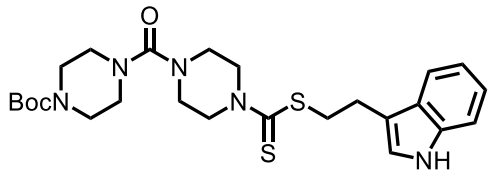
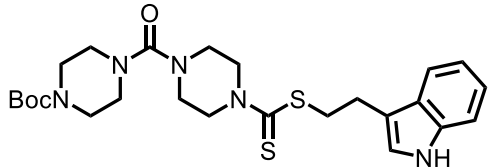
Strukturformel	Konzentration [μM]	Paare (von 10)	Paare angesaugt	♂ angesaugt	♀ angesaugt	absolute Eizahl	Deformation [%]	Eizahl normiert [%]	WMS: \emptyset (♂/♂/♀)	WMS normiert [%]	Tegument-schäden	Darm-dilatation	
 <p>Schl-33.567</p>	10	10	9	-	-	311	13	177	2,8(2,8/-/-)	93			
		7	4	2	0	130	13	51	2,35(2,43/2,67/1,67)	78		♀/48/++	
		0	-	4	0	23	26	6	1,9(-/2,5/1,3)	63			
	5	10	8	-	-	211	10	120	2,8(2,8/-/-)	83			
		6	4	2	0	37	11	15	2,4(2,5/2,5/2)	80	♂/72/(+)	♀/48/+	
		10,0 ± 0,0				261,8 ± 40,4			91,5 ± 3,5				
		5,8 ± 0,5				119,8 ± 50,0			80,0 ± 1,8				
		2,5 ± 0,9				31,5 ± 16,8			64,3 ± 5,2				
 <p>Schl-33.580</p>	10	10	9	-	-	188	12	91	2,9(2,9/-/-)	97			
		10	9	-	-	200	18	50	2,9(2,9/-/-)	97			
		9	9	0	0	57	16	23	2,9(2,89/3/3)	97			
 <p>Schl-33.579</p>	10	10	9	-	-	138	7	63	2,8(2,8/-/-)	93			
		1	0	1	0	63	21	16	1,85(1/1,67/2,22)	62	♂/48/++	♀/48/(+)	
		0	-	0	0	2	50	<1(0,5)	1,35(-/1,3/1,4)	45			
	5	9	9	1	0	61	8	30	2,75(2,78/2/3)	92			
		6	1	0	0	8	0	2	1,35(1,67/1,29/1,14)	45	♂/48/++	♀/24/++	
		1	0	0	0	0	-	0	0,85(1/0,56/1,11)	28			
		10	9	-	-	41	5	14	2,8(2,8/-/-)	93			
1	0	0	0	27	4	11	1,65(2/1,22/1,33)	55	♂/48/++	♀/48/+			
0	-	0	0	0	-	0	0,8(-/0,5/1,1)	27					

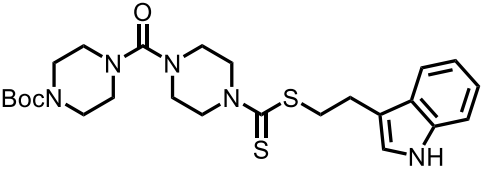
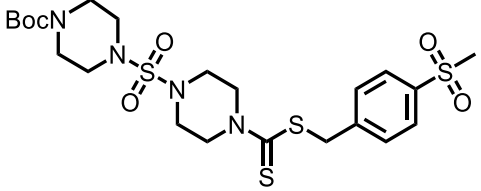
Strukturformel	Konzentration [μM]	Paare (von 10)	Paare angesaugt	♂ angesaugt	♀ angesaugt	absolute Eizahl	Deformation [%]	Eizahl normiert [%]	WMS: \emptyset (♀/♂/♀)	WMS normiert [%]	Tegument-schäden	Darm-dilatation
 <p>Schi-33.579</p>		10	10	-	-	118	19	85	2,9(2,9/-/-)	97	♂/48/+	♀/48/+
		9	0	0	0	34	9	11	1,65(1,67/2/1)	55		
		4	0	0	0	2	50	<1(0,4)	1(1/0,83/1,17)	33		
		9,8 ± 0,3			89,5 ± 23,0			93,8 ± 1,1				
4,3 ± 2,0			33,0 ± 11,4			54,3 ± 3,5						
1,3 ± 1,0			1,0 ± 0,6			33,3 ± 4,1						
5	10	10	-	-	72	15	35	2,9(2,9/-/-)	97			
	10	9	-	-	287	8	72	2,9(2,9/-/-)	97			
	9	7	0	1	161	14	66	2,75(2,78/2/3)	92			
 <p>Schi-33.601</p>	10	9	9	1	1	28	18	13	3(3/3/3)	100		
		8	7	1	0	23	13	6	2,75(2,75/2,5/3)	92		
		8	4	1	0	73	8	18	2,65(2,63/2,5/3)	88		
 <p>Schi-33.568</p>	10	10	10	-	-	204	10	124	3(3/-/-)	100		♀/72/(+)
		10	1	-	-	149	10	27	2,6(2,6/-/-)	87		
		7	1	0	0	77	22	23	2,05(2/1,33/3)	68		
		8	7	0	0	119	8	55	2,85(3/2/2,5)	95		
		8	1	0	0	113	12	28	2,35(2,38/2,5/2)	78	♀/72/(+)	
		3	0	0	0	33	0	8	1,35(1,33/1,43/1,29)	45		
		10	9	-	-	279	5	135	2,9(2,9/-/-)	97		
		9	3	0	0	132	21	33	2,55(2,56/2/3)	85	♂/48/(+)	♀/48/(+)
		6	1	0	0	20	20	8	1,9(1,67/2,5/2)	63		
10	10	-	-	109	10	54	2,8(2,8/-/-)	93				
9	5	0	0	104	18	37	2,45(2,56/1/2)	82	♀/72/(+)			
5	0	1	1	19	16	7	1,7(1,8/1,8/1,4)	57				

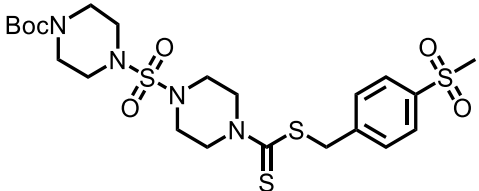
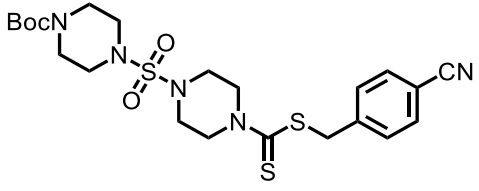
Strukturformel	Konzentration [μM]	Paare (von 10)	Paare angesaugt	♂ angesaugt	♀ angesaugt	absolute Eizahl	Deformation [%]	Eizahl normiert [%]	WMS: \emptyset (♀/♂/♀)	WMS normiert [%]	Tegument-schäden	Darm-dilatation
 <p>Schl-33.568</p>		10	9	-	-	373	13	187	2,9(2,9/-/-)	97	♀/72/+	♀/48/+
		8	0	0	0	25	0	11	1,45(2,5/2,5/1)	48		
		5	0	0	0	0	-	0	1,15(1,4/1,33/1,25)	38		
						9,6 ± 0,4	216,8 ± 49,8			96,4 ± 1,2		
					8,8 ± 0,4	104,6 ± 21,4			76,0 ± 7,2			
				5,2 ± 0,7	29,8 ± 12,9			54,2 ± 5,6				
	5	10	10	-	-	302	4	146	3(3/-/-)	100		
		10	10	-	-	480	8	120	3(3/-/-)	100		
		10	8	-	-	252	13	103	2,7(2,7/-/-)	90		
 <p>Schl-33.607</p>	10	7	6	3	2	45	13	21	2,75(2,86/2,33/2,67)	92		
		3	3	7	4	50	4	13	2,5(2,67/2,43/2,43)	83		
		3	3	5	4	136	9	33	2,55(2,67/2,57/2,43)	85		
 <p>Schl-33.589</p>		8	8	2	0	7	71	3	2,75(2,75/3/2,5)	92		♀/24/++
		6	1	2	0	10	20	3	2,3(2,33/2,25/2,25)	77		
		2	2	2	0	12	17	3	1,65(2/1,75/1,38)	55		
	10	7	7	3	0	63	30	30	2,75(2,86/3/2)	92		♀/24/++
		6	5	2	0	0	-	0	2,6(2,67/2,5/2,5)	87		
		3	3	4	0	2	0	<1(0,8)	1,95(2,33/2,14/1,43)	65		
		10	10	-	-	42	10	14	3(3/-/-)	100		
3	1	3	1	21	19	9	2(1,67/2,29/2,14)	67		♂/48/++		
1	0	3	0	23	22	8	2,25(2/2,33/2,22)	75				

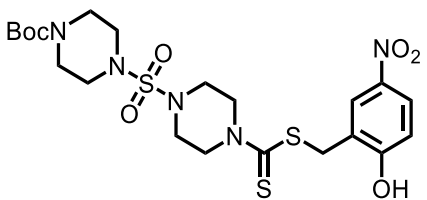
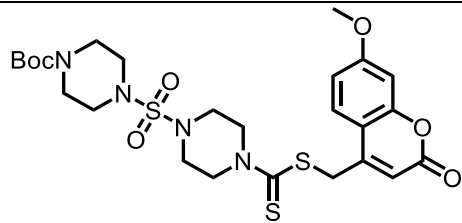
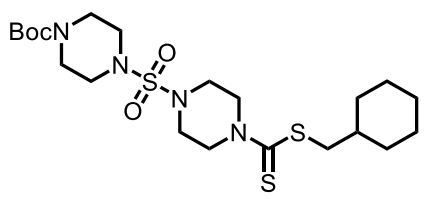
Strukturformel	Konzentration [μM]	Paare (von 10)	Paare angesaugt	♂ angesaugt	♀ angesaugt	absolute Eizahl	Deformation [%]	Eizahl normiert [%]	WMS: \emptyset (♀/♂/♀)	WMS normiert [%]	Tegument-schäden	Darm-dilatation	
 <p>Schl-33.589</p>		10	10	-	-	39	21	28	3(3/-/-)	100			
		10	9	-	-	1	0	<1(0,3)	2,3(2,3/-/-)	77		♀/48/++	
		4	4	5	0	0	-	0	1,55(1,75/1,67/1,17)	52			
			8,8 ± 0,8			37,8 ± 11,6			96,0 ± 2,3				
			6,3 ± 1,4			8,0 ± 4,9			77,0 ± 4,1				
		2,5 ± 0,7			9,3 ± 5,3			61,8 ± 5,2					
 <p>Schl-33.742</p>	10	6	6	4	4	97	10	48	2,85(2,83/3/2,75)	95			
		5	5	3	5	130	18	46	2,9(3/2,6/3)	97			
		4	4	3	6	168	14	59	2,75(2,5/2,83/3)	92			
	5	9	9	1	1	106	11	163	3(3/3/3)	100			
		9	9	1	1	263	9	75	3(3/3/3)	100			
		9	7	1	0	462	8	110	2,85(2,89/3/2)	95			
	5	7	7	3	3	116	10	57	2,9(2,86/3/3)	97			
		6	6	3	4	196	14	69	2,85(2,83/2,75/3)	95			
		4	3	4	6	116	18	40	2,8(2,75/2,67/3)	93			
	 <p>Schl-33.614</p>	10	10	9	-	-	60	27	29	2,8(2,8/-/-)	93		
5			0	1	0	4	75	1	1,8(2/1,6/1,6)	60	♂/48/+	♀/48/++	
1			0	0	0	0	-	0	1,35(2/1,33/1,22)	45			
10		3	0	0	0	3	0	1	2,05(1,67/2/2,43)	68	♂/48/+	♀/24/++	
		0	-	0	0	0	-	0	1,15(-/1/1,3)	38			
		0	-	0	0	0	-	0	0,8(-/0,5/1,1)	27			
10		10	10	-	-	93	11	67	3(3/-/-)	100			
		7	5	0	0	7	43	2	2(1,86/2,33/2)	67		♀/48/++	
		4	1	0	0	3	33	<1(0,7)	1,7(2/1,83/1,17)	57			
10		7	0	0	0	41	17	27	1,45(1,29/1,67/2)	48			
	0	-	0	0	0	-	0	1,25(-/1,2/1,3)	42	♂/48/++	♀/24/++		
	0	-	0	0	0	-	0	1,2(-/1,1/1,3)	40				

Strukturformel	Konzentration [μM]	Paare (von 10)	Paare angesaugt	σ angesaugt	♀ angesaugt	absolute Eizahl	Deformation [%]	Eizahl normiert [%]	WMS: \emptyset ($\sigma/\sigma/\text{♀}$)	WMS normiert [%]	Tegument-schäden	Darm-dilatation		
		9	3	0	0	38	18	19	2,1(2,11/2/2)	70				
		3	0	0	0	2	50	<1(0,8)	1,4(1,67/1,43/1,14)	47			$\sigma/72/(+)$	$\text{♀}/24/++$
		1	0	0	0	0	-	0	1,25(1/1,33/1,22)	42				
		7,8 \pm 1,3			47,0 \pm 14,7			75,8 \pm 9,4						
3,0 \pm 1,4			2,6 \pm 1,3			50,8 \pm 5,5								
1,2 \pm 0,7			0,6 \pm 0,6			42,2 \pm 4,8								
 <p>Schi-33.614</p>	5	10	10	-	-	163	15	82	2,9(2,9/-/-)	97				
		10	10	-	-	269	5	113	2,9(2,9/-/-)	97				
		9	0	0	0	88	91	75	1,35(1,33/1/2)	45				
		10	9	-	-	26	12	9	2,8(2,8/-/-)	93	$\sigma/72/(+)$	$\text{♀}/48/(+)$		
		6	3	0	0	12	25	5	2,05(1,83/2/2,75)	68				
		2	0	0	0	13	8	5	2,4(2/2,38/2,63)	80				
		10	10	-	-	106	8	68	3(3/-/-)	100				
		10	7	-	-	127	5	40	2,5(2,5/-/-)	83		$\text{♀}/48/+$		
		9	5	1	1	169	12	40	2,1(2,11/2/2)	70				
		8	7	2	2	118	8	58	2,9(2,88/3/3)	97				
		9	9	1	0	192	12	67	2,9(2,89/3/3)	97		$\text{♀}/72/(+)$		
		8	5	0	2	110	7	38	2,6(2,5/3/3)	87				
		10	10	-	-	103	10	51	2,9(2,9/-/-)	97				
		10	10	-	-	29	14	10	2,8(2,8/-/-)	93		$\text{♀}/48/+$		
6	1	1	0	13	27	5	2,05(2,17/2/1,75)	68						
9,6 \pm 0,4			103,2 \pm 22,1			96,8 \pm 1,1								
9,0 \pm 0,8			125,8 \pm 48,6			87,6 \pm 5,5								
6,8 \pm 1,3			78,6 \pm 29,9			70,0 \pm 7,1								

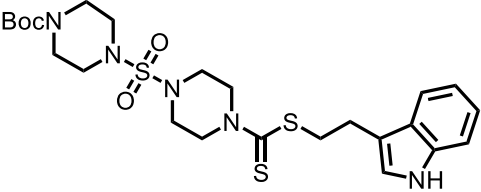
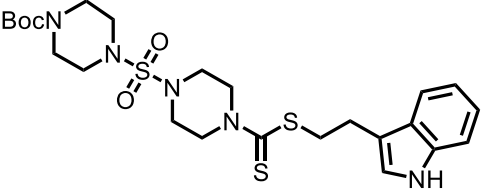
Strukturformel	Konzentration [μM]	Paare (von 10)	Paare angesaugt	σ angesaugt	♀ angesaugt	absolute Eizahl	Deformation [%]	Eizahl normiert [%]	WMS: \emptyset ($\sigma/\sigma/\text{♀}$)	WMS normiert [%]	Tegument-schäden	Darm-dilatation	
 <p>Schl-33.688</p>	10	10	10	-	-	160	12	79	2,9(2,9/-/-)	97			
		8	7	1	0	144	19	51	2,75(2,88/2,5/2)	92			
		7	7	0	1	174	19	60	2,7(2,86/2,33/2,33)	90			
	5	9	9	1	1	147	10	72	2,95(3/3/2)	98			
		10	10	-	-	276	15	97	3(3/-/-)	100			
		8	8	1	2	343	6	120	2,95(3/2,5/3)	98			
 <p>Schl-33.691</p>	10	7	2	0	0	14	14	11	2(1,86/2/2,67)	67	$\text{♀}/48/+$	$\text{♀}/24/++$	
		3	0	1	0	0	-	0	0	1,65(1,33/1,71/1,86)	55		
		1	0	0	0	0	-	0	0	1,25(1/1,33/1,22)	42		
	8	8	8	2	0	9	33	6	6	2,4(2,38/2,5/2,5)	80	$\sigma/48/(+)$	$\text{♀}/24/+++$
		1	0	8	0	5	0	1	1	2,15(2/2,11/2,22)	72		
		0	-	0	0	0	-	0	0	1,35(-/1,4/1,3)	45		
	8	7	7	1	0	14	14	7	7	2,5(2,63/2/2)	83	$\sigma/48/(+)$	$\text{♀}/24/+++$
		7	3	0	0	0	-	0	0	1,75(1,86/1,33/1,67)	58		
		4	0	0	0	0	-	0	0	1,5(1,5/1,67/1,33)	50		
			7,7 \pm 0,3			12,3 \pm 1,7			76,7 \pm 4,9				
		3,7 \pm 1,7			1,7 \pm 1,7			61,7 \pm 5,2					
		1,7 \pm 1,2			0,0 \pm 0,0			45,7 \pm 2,3					
 <p>Schl-33.691</p>	5	10	10	-	-	122	12	74	2,9(2,9/-/-)	97		$\text{♀}/72/+$	
		9	8	1	1	107	15	27	27	2,8(2,78/3/3)	93		
		8	7	1	2	24	21	9	9	2,35(2,38/2,5/2)	78		
	10	10	10	-	-	84	7	41	41	2,9(2,9/-/-)	97		$\text{♀}/48/+$
		8	6	2	2	98	23	25	25	2,7(2,75/2/3)	90		
		7	6	3	0	35	17	14	14	2,5(2,43/2,67/2,67)	83		

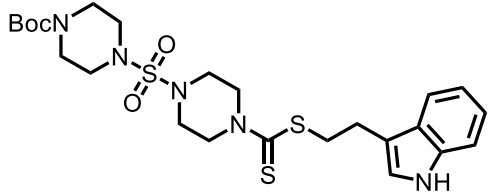
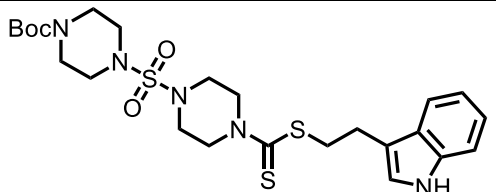
Strukturformel	Konzentration [μM]	Paare (von 10)	Paare angesaugt	♂ angesaugt	♀ angesaugt	absolute Eizahl	Deformation [%]	Eizahl normiert [%]	WMS: \emptyset (♀/♂/♀)	WMS normiert [%]	Tegument-schäden	Darm-dilatation					
 <p>Schi-33.691</p>		10	9	-	-	100	13	72	2,8(2,8/-/-)	93							
		10	10	-	-	27	30	8	2,8(2,8/-/-)	93		♀/72/+					
		7	7	3	0	5	20	1	2,4(2,43/2,67/2)	80							
		10,0 ± 0,0		9,0 ± 0,6		7,3 ± 0,3		102,0 ± 11,0		77,3 ± 25,3		21,3 ± 8,8		95,7 ± 1,3		92,0 ± 1,0	
 <p>Schi-33.617</p>	10	9	6	1	0	9	0	4	2,45(2,44/2/3)	82							
		3	0	2	0	7	0	2	2,1(2/2/2,29)	70	♂/72/+	♀/48/+					
		0	-	1	0	1	100	<1(0,2)	1,6(-/1,4/1,8)	53							
		8	6	1	0	97	22	47	2,65(2,63/2,5/3)	88							
		1	0	0	0	6	0	2	1,45(2/1,22/1,56)	48	♂/72/+	♀/48/++					
		0	-	0	0	1	0	<1(0,4)	1,2(-/1,3/1,1)	40							
		8	5	0	0	58	9	19	2,75(2,75/2,5/3)	92							
		1	0	0	0	2	0	<1(0,8)	1,75(2/1,22/2,22)	58	♀/72/++	♀/48/++					
		0	-	0	0	2	100	<1(0,7)	0,9(-/0,6/1,2)	30							
		10	7	-	-	126	3	91	2,5(2,5/-/-)	83							
4	2	0	0	32	6	10	2,4(2/2,67/2,67)	80	♂/72/+	♀/48/++							
1	0	0	0	10	20	2	1,45(2/1,33/1,44)	48									
8,8 ± 0,5		2,3 ± 0,8		0,3 ± 0,3		72,5 ± 25,3		11,8 ± 6,8		3,5 ± 2,2		86,3 ± 2,3		64,0 ± 7,0		42,8 ± 5,0	
	5	9	9	1	0	146	5	71	2,9(2,89/3/3)	97							
		1	0	0	0	19	5	5	1,65(2/1,56/1,67)	55	♂/72/+	♀/48/++					
		0	-	0	0	0	-	0	1,25(-/1,4/1,1)	42							
		7	7	2	1	61	7	20	2,95(3/2,67/3)	98							
		1	1	1	0	3	0	1	1,9(2/1,78/2)	63	♂/72/(+)	♀/48/++					
1	0	0	0	0	-	0	1,3(1/1,22/1,44)	43									

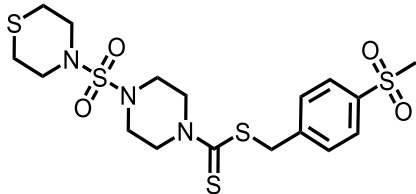
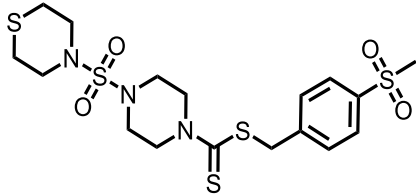
Strukturformel	Konzentration [μM]	Paare (von 10)	Paare angesaugt	σ angesaugt	φ angesaugt	absolute Eizahl	Deformation [%]	Eizahl normiert [%]	WMS: \emptyset ($\sigma/\sigma/\varphi$)	WMS normiert [%]	Tegument-schäden	Darm-dilatation
 <p>Schl-33.617</p>		10	10	-	-	153	3	110	2,9(2,9/-/-)	97		
		9	9	1	0	178	11	56	2,6(2,67/2/2)	87		$\varphi/48/(+)$
		7	7	2	1	159	8	35	2,65(2,71/2,67/2,33)	88		
		10	10	-	-	102	5	66	2,9(2,9/-/-)	97		
		10	10	-	-	339	5	107	2,8(2,8/-/-)	93		
		10	9	-	-	467	4	112	2,9(2,9/-/-)	97		
		9	8	0	0	146	3	94	2,8(2,89/2/2)	93		
		9	9	0	0	379	5	120	2,8(2,89/2/2)	93		
		9	8	0	0	496	5	118	2,75(2,89/1/2)	92		
				9,0 \pm 0,6			121,6 \pm 17,7			96,4 \pm 0,9		
		6,0 \pm 2,1			183,6 \pm 78,1			78,2 \pm 8,0				
		5,4 \pm 2,0			224,4 \pm 109,0			72,4 \pm 12,2				
 <p>Schl-33.605</p>		7	4	3	0	14	7	7	2,4(2,43/2,67/2)	80		
		1	0	0	0	0	-	0	1,75(1/1,33/2,33)	58	$\sigma/48/+$	$\varphi/24/++$
		1	0	0	0	0	-	0	1,55(1/1,56/1,67)	52		
		8	8	1	0	23	9	8	2,85(2,88/2,5/3)	95		
		0	-	0	0	3	33	1	1,9(-/1,7/2,1)	63	$\varphi/48/++$	$\varphi/72/+$
		0	-	0	0	1	0	<1(0,4)	1,5(-/1,3/1,7)	50		
		10	7	-	-	103	11	74	2,4(2,4/-/-)	80		
		0	-	0	0	5	40	2	1,8(-/1,5/2,1)	60	$\sigma/48/+$	$\varphi/24/++$
		0	-	0	0	0	-	0	1,25(-/1,3/1,2)	42		
				8,3 \pm 0,9			46,7 \pm 28,3			85,0 \pm 5,0		
		0,3 \pm 0,3			2,7 \pm 1,5			60,3 \pm 1,5				
		0,3 \pm 0,3			0,3 \pm 0,3			48,0 \pm 3,1				
	5	10	10	-	-	237	5	77	3(3/-/-)	100		
		9	9	1	0	418	10	174	2,9(2,89/3/3)	97		
		7	7	3	2	470	9	168	2,85(2,86/3/2,67)	95		

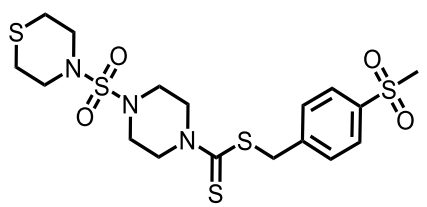
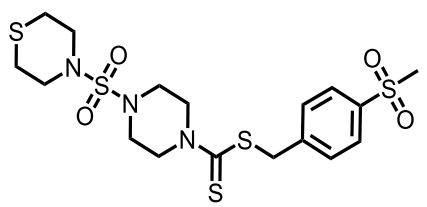
Strukturformel	Konzentration [μM]	Paare (von 10)	Paare angesaugt	♂ angesaugt	♀ angesaugt	absolute Eizahl	Deformation [%]	Eizahl normiert [%]	WMS: \emptyset ($\sigma/\sigma/\sigma$)	WMS normiert [%]	Tegument-schäden	Darm-dilatation	
 <p>Schl-33.726</p>	10	9	8	1	1	207	10	102	2,9(2,89/3/3)	97			
		7	7	3	3	183	12	64	3(3/3/3)	100			
		9	9	1	1	322	9	112	3(3/3/3)	100			
	5	10	10	-	-	218	8	107	3(3/-/-)	100			
		9	9	1	1	274	13	96	3(3(3/3)	100			
		9	8	1	1	271	6	94	2,9(2,89/3/3)	97			
 <p>Schl-33.694</p>	10	9	9	0	0	71	4	56	2,6(2,56/3/3)	87			
		8	7	0	0	234	11	131	2,9(2,88/3/3)	97			
		5	4	4	0	151	11		2,55(2,4/2,6/2,8)	85			
	 <p>Schl-33.689</p>	10	10	10	-	-	115	16	65	2,9(2,9/-/-)	97		
			8	8	2	1	168	8	66	2,75(2,75/3/2,5)	92		
			5	5	5	1	146	10	38	2,7(2,8/3/2,2)	90		
10		10	8	-	-	112	19	55	2,8(2,8/-/-)	93			
		7	6	3	2	97	20	34	2,7(2,71/2,67/2,67)	90			
		3	2	6	3	109	15	38	2,65(3/2,57/2,43)	88			
		6	5	4	2	32	6	49	2,85(2,83/3/2,75)	95			
		6	6	4	2	57	21	16	2,8(2,83/3/2,5)	93			
		3	3	7	3	57	23	14	2,75(3/3/2,29)	92			
				8,7 \pm 1,3		86,3 \pm 27,2		95,0 \pm 1,2					
		7,0 \pm 0,6		107,3 \pm 32,5		91,7 \pm 0,9							
		3,7 \pm 0,7		104,0 \pm 25,8		90,0 \pm 1,2							

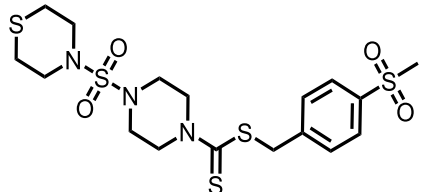
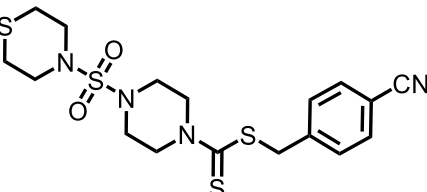
Strukturformel	Konzentration [μM]	Paare (von 10)	Paare angesaugt	σ angesaugt	Q angesaugt	absolute Eizahl	Deformation [%]	Eizahl normiert [%]	WMS: \emptyset ($\text{Q}/\sigma/\text{Q}$)	WMS normiert [%]	Tegument-schäden	Darm-dilatation
<p>Schl-33.689</p>	5	6	6	4	4	86	17	42	2,95(3/2,75/3)	98		
		7	7	3	2	90	20	32	2,85(2,86/3/2,67)	95		
		3	2	6	5	65	26	23	2,65(2,67/2,57/2,71)	88		
		10	10	-	-	178	10	89	2,9(2,9/-/-)	97		
		9	8	1	1	204	5	86	2,85(2,89/3/2)	95		
		9	9	1	0	233	9	198	2,75(2,78/3/2)	92		
<p>Schl-33.692</p>	10	9	9	1	1	76	14	59	2,85(2,89/2/3)	95		
		5	2	1	0	12	0	7	1,45(1,4/1,4/1,6)	48	$\sigma/48/(+)$	$\text{Q}/48/+$
		2	0	1	2	0	-	0	1,35(1,5/1,25/1,38)	45		
		3	3	4	0	34	9	20	1,9(1,67/1,86/2,14)	63		
		0	-	1	0	1	0	0,4	1,05(-/1,1/1)	35	$\sigma/24/+$	$\text{Q}/24/+++$
		0	-	0	0	1	0	0,5	1(-/1/1)	33		
		7	6	3	1	82	9	50	2,4(2,29/3/2,33)	80		
		2	0	6	0	5	0	1	2,05(1,5/2/2,38)	68		$\text{Q}/24/++$
		0	-	3	0	0	-	0	1,35(-/1,4/1,3)	45		
				6,3 \pm 1,8			64,0 \pm 15,1			79,3 \pm 9,2		
		2,3 \pm 1,5			6,0 \pm 3,2			50,3 \pm 9,6				
		0,7 \pm 0,7			0,3 \pm 0,3			41,0 \pm 4,0				
<p>Schl-33.692</p>	5	10	10	-	-	185	7	113	2,8(2,8/-/-)	93		
		2	1	5	1	7	0	2	2,45(2/2,5/2,63)	82		$\text{Q}/24/++$
		0	-	4	0	2	50	<1(0,7)	1,55(-/1,7/1,4)	52		
		6	6	4	0	184	1	108	2,7(2,67/2,75/2,75)	90		
		2	1	2	0	13	0	5	1,55(1,5/1,5/1,63)	52	$\sigma/72/(+)$	$\text{Q}/24/++$
		0	-	1	0	24	0	13	1,15(-/1,2/1,1)	38		

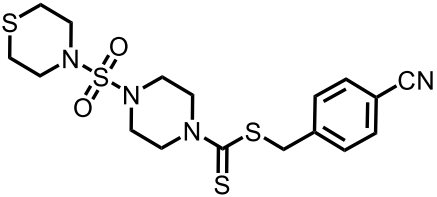
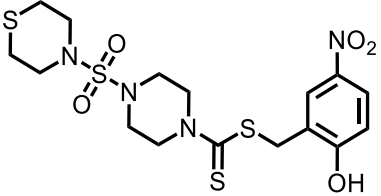
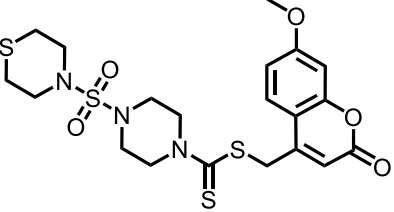
Strukturformel	Konzentration [μM]	Paare (von 10)	Paare angesaugt	σ^7 angesaugt	Q angesaugt	absolute Eizahl	Deformation [%]	Eizahl normiert [%]	WMS: \emptyset ($\text{Q}^7/\sigma^7/\text{Q}^7$)	WMS normiert [%]	Tegument-schäden	Darm-dilatation
 <p>Schl-33.692</p>		8	8	2	2	107	7	52	2,75(2,75/2,5/3)	92	$\sigma^7/72/+$	$\text{Q}^7/24/++$
		2	1	3	0	0	-	0	1,6(2/1,63/1,38)	53		
		1	0	3	0	0	-	0	1,35(1/1,56/1,22)	45		
						$8,0 \pm 1,2$	$158,7 \pm 25,8$			$91,7 \pm 0,9$		
				$2,0 \pm 0,0$	$6,7 \pm 3,8$			$62,3 \pm 9,8$				
				$0,3 \pm 0,3$	$8,7 \pm 7,7$			$45,0 \pm 4,0$				
 <p>Schl-33.692</p>	4	9	8	1	0	90	10	51	2,75(2,78/3/2)	92		$\text{Q}^7/48/++$
		2	2	5	0	26	15	10	2,2(2,5/2,63/1,63)	73		
		1	1	5	0	2	50	<1(0,5)	1,8(2/2,11/1,44)	60		
		8	8	2	0	177	12	87	2,75(2,75/3/2,5)	92		$\text{Q}^7/48/++$
		2	2	1	1	10	40	4	2,5(2,5/2,75/2,25)	83		
		1	1	4	0	0	-	0	1,6(2/1,89/1,22)	53		
		7	7	2	3	261	7	129	2,7(2,86/2,67/2)	90		$\text{Q}^7/48/++$
		0	-	0	0	21	33	7	2,55(-/3/2,1)	85		
		0	-	4	0	1	0	<1(0,4)	1,35(-/1,5/1,2)	45		
		9	8	1	1	59	19	91	2,9(2,89/3/3)	97		$\text{Q}^7/48/++$
		2	2	6	3	30	3	9	2,55(2,5/2,75/2,38)	85		
		0	-	5	0	1	0	<1(0,2)	2,2(-/2,2/2,2)	73		
		10	10	-	-	87	9	134	2,9(2,9/-/-)	97		$\text{Q}^7/48/++$
1	1	9	0	27	7	8	2,2(2/3/1,3)	73				
1	0	4	0	7	0	2	1,75(2/1,89/1,56)	58				
				$8,6 \pm 0,5$	$134,8 \pm 37,3$			$93,6 \pm 1,4$				
				$1,4 \pm 0,4$	$22,8 \pm 3,5$			$79,8 \pm 2,8$				
				$0,6 \pm 0,3$	$2,2 \pm 1,2$			$57,8 \pm 4,6$				
	3	10	10	-	-	78	22	44	2,9(2,9/-/-)	97		$\sigma^7/72/+$
		6	6	2	3	72	13	28	2,75(2,83/2,5/2,75)	92		
		1	0	6	4	36	19	9	1,9(2/2,44/1,33)	63		

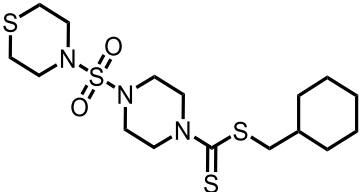
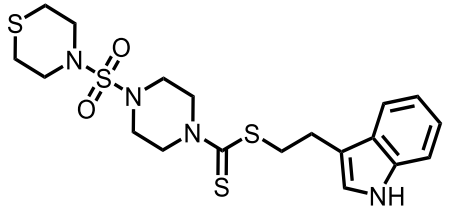
Strukturformel	Konzentration [μM]	Paare (von 10)	Paare angesaugt	♂ angesaugt	♀ angesaugt	absolute Eizahl	Deformation [%]	Eizahl normiert [%]	WMS: \emptyset ($\sigma/\sigma/\sigma$)	WMS normiert [%]	Tegument-schäden	Darm-dilatation	
 <p>Schl-33.692</p>	9	9	9	0	0	180	10	89	2,9(3/2/2)	97			
		4	4	5	3	27	22	10	2,75(3/2,83/2,33)	92		♀/48/+	
		0	-	6	2	6	50	2	2(-/2,4/1,6)	67			
	10	10	-	-	-	282	10	139	2,9(2,9/-/-)	97			
		6	6	2	4	71	17	25	2,8(2,83/2,5/3)	93		♀/72/+	
		2	0	5	4	20	20	7	2,4(2/2,63/2,38)	80			
		10	8	-	-	155	13	239	2,9(2,9/-/-)	97			
	8	2	2	6	2	42	10	12	2,55(3/2,75/2,13)	85			♀/48/+
		1	1	5	1	37	5	9	2,3(3/2,33/2,11)	77			
		4	4	6	0	5	40	1	2,35(2,5/3/1,5)	78			♀/48/+
0	-	7	1	0	0	-	0	2(-/2,4/1,6)	67				
						160,4 ± 35,2			97,0 ± 0,0				
						43,4 ± 12,9			88,0 ± 2,9				
					19,8 ± 7,6			70,8 ± 3,3					
 <p>Schl-33.692</p>	2	10	9	-	-	86	9	49	2,8(2,8/-/-)	93			
		10	10	-	-	169	16	66	3(3/3/-/-)	100			
		9	9	0	1	228	9	59	2,75(2,78/2/3)	92			
	1	9	9	1	0	197	10	120	3(3/3/3)	100			
		10	8	-	-	239	11	59	2,9(2,9/-/-)	97			
		10	10	-	-	238	5	88	3(3/-/-)	100			

Strukturformel	Konzentration [μM]	Paare (von 10)	Paare angesaugt	σ angesaugt	♀ angesaugt	absolute Eizahl	Deformation [%]	Eizahl normiert [%]	WMS: \emptyset ($\text{♀}/\sigma/\text{♀}$)	WMS normiert [%]	Tegument-schäden	Darm-dilatation
 <p>Schl-33.648</p>	10	5	1	1	0	17	24	8	2,4(2,2/2,6/2,6)	80		
		1	0	0	0	8	38	3	1,6(2/1,56/1,56)	53	$\text{♀}/72/+$	$\text{♀}/48/+$
		0	-	0	0	0	-	0	0,5(-/0,5/0,5)	17		
		2	1	0	0	15	0	24	1,2(1/1,25/1,25)	40		
		2	0	0	0	0	-	0	1(1/1/1)	33	$\text{♀}/24/++$	$\text{♀}/24/++$
		0	-	0	0	0	-	0	0,7(-/0,5/0,9)	23		
		5	0	0	0	43	16	66	1,75(1,4/2/2,2)	58		
		1	0	0	0	3	33	<1(0,9)	1,65(1/1,67/1,78)	55		
		0	-	0	0	0	-	0	0,95(-/0,9/1)	32		
		1	0	1	0	5	0	8	1,65(1/1,56/1,89)	55		
0	-	0	0	0	-	0	1,6(-/1,7/1,5)	53	$\sigma/72/(+)$			
0	-	0	0	0	-	0	0,9(-/0,8/1)	30				
		3,3 \pm 1,0			20,0 \pm 8,1			58,3 \pm 8,3				
		1,0 \pm 0,4			2,8 \pm 1,9			48,5 \pm 5,9				
		0,0 \pm 0,0			0,0 \pm 0,0			25,5 \pm 3,4				
 <p>Schl-33.648</p>	5	9	8	1	1	198	16	98	2,9(2,89/3/3)	97		
		8	7	2	2	39	26	14	2,75(2,88/2,5/2)	92		$\text{♀}/48/+$
		5	4	0	2	6	67	2	2,2(2,6/1,8/1,8)	73		
		7	7	3	2	64	8	99	2,85(2,86/3/2,67)	95		
		2	2	3	0	8	0	2	1,55(2/1,63/1,25)	52		$\text{♀}/48/+$
		0	-	0	0	2	50	<1(0,5)	1,25(-/1,5/1)	42		
		5	4	4	3	74	15	114	2,7(2,8/2,6/2,6)	90		
		2	2	0	0	9	0	3	1,55(2/1,38/1,5)	52	$\sigma/72/(+)$	$\text{♀}/24/(+)$
		0	-	0	0	6	33	1	1,3(-/1,4/1,2)	43		
		7	6	1	0	51	18	79	2,55(2,71/2,67/2)	85		
3	1	0	0	2	50	<1(0,6)	1,3(1,33/1,43/1,14)	43	$\text{♀}/72/+$	$\text{♀}/24/+$		
0	-	0	0	0	-	0	1,2(-/1,3/1,1)	40				
10	8	-	-	163	15	82	2,8(2,8/-/-)	93				
8	0	0	0	54	9	23	1,95(2/2/1,5)	98	$\text{♀}/72/(+)$	$\text{♀}/48/+$		
0	-	0	0	5	40	4	1,3(-/1,2/1,4)	43				

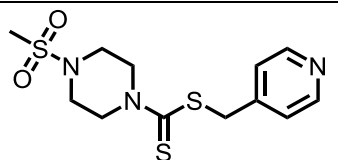
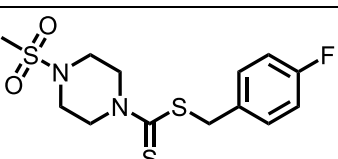
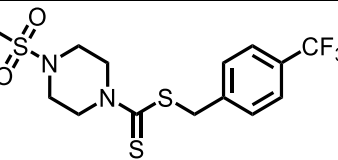
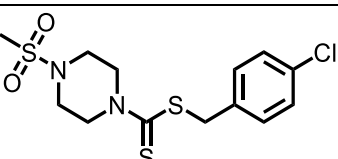
Strukturformel	Konzentration [μM]	Paare (von 10)	Paare angesaugt	σ angesaugt	φ angesaugt	absolute Eizahl	Deformation [%]	Eizahl normiert [%]	WMS: \emptyset ($\varphi/\sigma/\varphi$)	WMS normiert [%]	Tegument-schäden	Darm-dilatation	
		10	7	-	-	100	19	50	2,5(2,5/-/-)	83			
		2	0	0	0	2	0	<1(0,8)	1,3(2/1,25/1)	43		$\varphi/24/++$	
		1	0	0	0	2	0	2	1,35(1/1,22/1)	45			
		8,0 \pm 0,8			108,3 \pm 24,2			90,5 \pm 2,3					
4,2 \pm 1,2			19,0 \pm 9,0			63,3 \pm 10,2							
1,2 \pm 0,8			3,5 \pm 1,0			47,7 \pm 5,1							
 <p>Schl-33.648</p>	4	10	9	-	-	80	6	41	2,9(2,9/-/-)	97		$\varphi/72/(+)$	
		7	5	2	0	17	12	6	2,55(2,71/2,33/2)	85			
		4	0	0	0	6	33	3	2,1(2,5/1,33/2,33)	70			
		10	9	-	-	205	13	103	2,8(2,8/-/-)	93			
		6	5	2	0	51	16	214	2,2(2,33/2,75/1,25)	73		$\varphi/48/+$	
		2	1	1	0	7	14	6	1,7(2,5/1,88/1,4)	57			
		10	9	-	-	193	8	97	2,9(2,9/-/-)	97			
		10	9	-	-	44	11	19	2,6(2,6/-/-)	87			$\varphi/48/+$
		5	1	0	0	2	100	2	1,7(1,8/1,8/1,4)	57			
		10	8	-	-	112	13	56	2,8(2,8/-/-)	93			
4	1	0	1	18	33	8	1,65(2/1,5/1,33)	55		$\varphi/72/(+)$	$\varphi/48/++$		
2	0	0	0	0	-	0	1,6(2/1,5/1,5)	53					
10,0 \pm 0,0			147,5 \pm 30,5			95,0 \pm 1,2							
6,8 \pm 1,3			32,5 \pm 8,8			75,0 \pm 7,4							
3,3 \pm 0,8			3,8 \pm 1,7			59,3 \pm 3,7							
 <p>Schl-33.648</p>	3	10	7	-	-	139	4	71	2,9(2,9/-/-)	97		$\varphi/72/(+)$	
		7	6	0	0	37	22	13	2,7(2,71/2,33/3)	90			
		6	1	1	0	14	14	6	2,15(2,17/2,25/2)	72			
		10	10	-	-	212	7	106	3(3/-/-)	100			
		9	9	1	0	121	7	51	2,8(2,89/3/1)	93		$\varphi/48/+$	
		8	8	2	0	25	28	21	2,4(2,5/3/1)	80			
		9	8	10	0	251	14	126	2,75(2,78/3/2)	92			
		6	2	0	0	18	33	8	2,05(2/2,5/1,75)	68			$\varphi/72/(+)$
		4	0	0	0	6	17	5	1,7(2/1,67/1,33)	57			

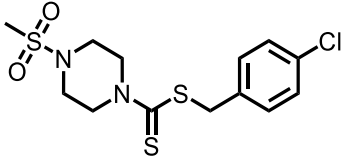
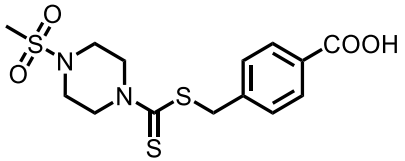
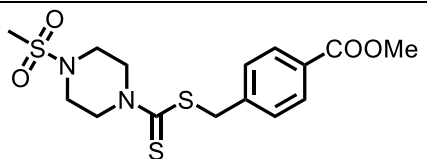
Strukturformel	Konzentration [μM]	Paare (von 10)	Paare angesaugt	σ° angesaugt	φ angesaugt	absolute Eizahl	Deformation [%]	Eizahl normiert [%]	WMS: \emptyset ($\varphi^{\circ}/\sigma^{\circ}/\varphi$)	WMS normiert [%]	Tegument-schäden	Darm-dilatation
 <p>Schl-33.648</p>		10	10	-	-	368	10	184	2,9(2,9/-/-)	97		
		9	8	1	0	125	18	53	2,65(2,67/3/2)	88		$\varphi/48/+$
		6	4	0	0	33	76	28	2,05(2,33/1,75/1,5)	68		
				9,8 \pm 0,3		242,5 \pm 47,8		96,5 \pm 1,7				
				7,8 \pm 0,8		75,3 \pm 27,9		84,8 \pm 5,7				
				6,0 \pm 0,8		19,5 \pm 6,0		69,3 \pm 4,8				
	2	10	10	-	-	124	4	63	3(3/-/-)	100		
		10	10	-	-	247	9	87	3(3/-/-)	100		
		8	8	2	2	184	8	79	3(3/3/3)	100		
	1	8	7	2	2	77	18	39	2,9(2,88/3/3)	97		
	7	7	3	3	48	19	17	3(3/3/3)	100			
	9	9	1	1	209	11	90	3(3/3/3)	100			
 <p>Schl-33.649</p>		10	10	-	-	335	12	165	2,9(2,9/-/-)	97		$\varphi/48/(+)$
		9	8	0	0	153	9	54	2,75(2,78/2/3)	92		
		2	2	6	2	35	26	12	2,55(2,5/2,5/2,63)	85		
		8	8	1	0	188	13	289	2,75(3/2,5/1)	92	$\varphi^{\circ}/72/(+)$	$\varphi^{\circ}/24/++$
		2	2	7	0	230	11	66	2,45(2,5/2,88/2)	82		
		1	1	8	1	72	4	17	1,85(2/2,33/1,33)	62		
		9	9	1	1	312	16	480	3(3/3/3)	100		
		8	8	2	2	401	13	115	2,9(3/2,5/2,5)	97		$\varphi/72/+$
		3	2	5	0	330	8	78	1,75(1,67/2,14/1,43)	58		
	10	10	10	-	-	187	12	288	2,9(2,9/-/-)	97		$\varphi^{\circ}/48/+$
		6	5	3	0	205	11	59	2,5(2,67/2,5/2)	83		
		2	2	4	2	88	17	21	2,1(2/2,38/1,88)	70		
		10	10	-	-	515	12	258	2,9(2,9/-/-)	97	$\varphi^{\circ}/72/+$	$\varphi/48/++$
	6	6	2	0	219	6	92	2,45(2,83/2,5/1,25)	82			
	0	-	7	0	37	8	31	1,25(-/1,7/0,8)	42			
			9,4 \pm 0,4		307,4 \pm 60,3		96,6 \pm 1,3					
			6,2 \pm 1,2		241,6 \pm 42,0		87,2 \pm 3,1					
			1,6 \pm 0,5		112,4 \pm 55,3		63,4 \pm 7,1					

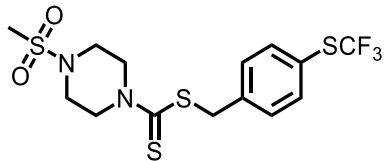
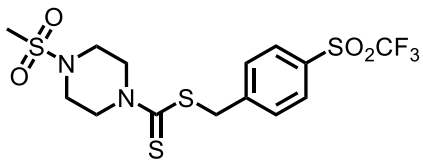
Strukturformel	Konzentration [μM]	Paare (von 10)	Paare angesaugt	♂ angesaugt	♀ angesaugt	absolute Eizahl	Deformation [%]	Eizahl normiert [%]	WMS: \emptyset (♀/♂/♀)	WMS normiert [%]	Tegument-schäden	Darm-dilatation
 <p>Schl-33.649</p>	5	8	8	2	2	331	7	163	2,9(2,88/3/3)	97		
		7	7	2	3	234	9	82	2,85(2,86/2,67/3)	95		
		5	5	3	3	137	15	48	2,7(2,8/2,6/2,6)	90		
		10	10	-	-	452	10	226	3(3/-/-)	100		
		10	10	-	-	327	11	137	3(3/-/-)	100		
		10	8	-	-	301	9	255	2,8(2,8/-/-)	93		
 <p>Schl-33.652</p>	10	10	9	-	-	174	7	136	2,9(2,9/-/-)	97		
		6	6	3	3	241	11	135	2,75(2,83/2,5/2,75)	92		
		5	5	4	5	298	12	195	2,95(3/2,8/3)	98		
 <p>Schl-33.695</p>	10	10	10	-	-	203	3	159	3(3/-/-)	100		
		10	10	-	-	215	9	120	3(3/-/-)	100		
		9	9	1	0	236	6	154	2,55(2,67/2/1)	85		♀/72/(+)

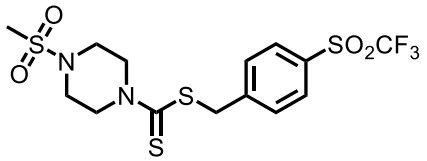
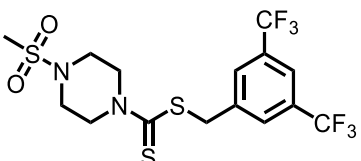
Strukturformel	Konzentration [μM]	Paare (von 10)	Paare angesaugt	♂ angesaugt	♀ angesaugt	absolute Eizahl	Deformation [%]	Eizahl normiert [%]	WMS: \emptyset (♀/♂/♀)	WMS normiert [%]	Tegument-schäden	Darm-dilatation		
 Schl-33.671	10	10	9	-	-	77	16	60	2,9(2,9/-/-)	97				
		9	8	1	1	169	7	94	2,9(2,89/3/3)	97				
		5	1	5	5	170	15	111	2,8(2,8/2,6/3)	93				
 Schl-33.678	10	3	2	0	0	64	6	50	2,2(2/1,71/2,86)	73	♀/72/+			
		0	-	0	0	1	100	0,6	1,5(-/1,4/1,6)	50				
		0	-	0	0	3	0	2	1,15(-/1,2/1,1)	38				
		9	8	1	1	105	4	62	2,8(2,77/3/3)	93	♀/72/+			
		1	0	3	0	18	0	6	1,6(2/1,67/1,44)	53				
		0	-	0	0	2	0	1	1,25(-/1,2/1,3)	42				
		9	8	1	0	70	16	43	2,45(2,44/2/3)	82	♀/48/+	♀/72/+		
		2	0	0	0	28	0	7	2,15(2/1,88/2,5)	72				
		2	0	0	0	6	67	2	1,4(1,5/1,25/1,5)	47				
				7,0 ± 2,0			79,7 ± 12,8			82,7 ± 5,8				
		1,0 ± 0,6			15,7 ± 7,9			58,3 ± 6,9						
		0,7 ± 0,7			3,7 ± 1,2			42,3 ± 2,6						
5	10	10	-	-	144	8	85	3(3/-/-)	100					
	9	9	1	0	255	6	90	2,78(2,78/2/3)	93					
	8	8	2	1	278	7	147	2,75(2,75/2,5/3)	92					

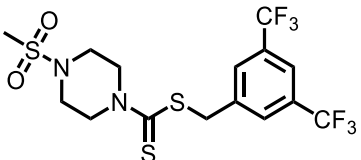
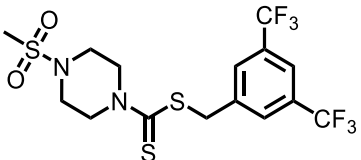
Ersatz der Nitrogruppe

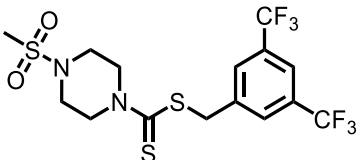
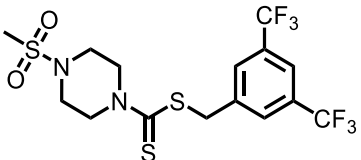
Strukturformel	Konzentration [μM]	Paare (von 10)	Paare angesaugt	σ^{r} angesaugt	σ^{f} angesaugt	absolute Eizahl	Deformation [%]	Eizahl normiert [%]	WMS: \emptyset ($\sigma^{\text{f}}/\sigma^{\text{r}}/\sigma^{\text{f}}$)	WMS normiert [%]	Tegument-schäden	Darm-dilatation
 SchI-33.651	10	10	10	-	-	164	10	62	3(3/-/-)	100		
		10	10	-	-	351	7	232	2,7(2,7/-/-)	90		
		9	9	1	0	515	8	387	2,9(2,89/3/3)	97		
 SchI-33.668	10	9	8	0	0	95	8	74	2,85(2,89/2/3)	95		
		6	4	2	1	33	21	18	2,65(2,67/2,5/2,75)	88		
		1	1	7	1	72	33	47	2,35(2/2,44/2,33)	78		
	10	10	10	-	-	85	7	55	2,9(2,9/-/-)	97		
		10	9	-	-	448	4	142	2,7(2,7/-/-)	90		
		9	9	0	1	411	9	98	2,5(2,44/3/3)	83		
 SchI-33.667	10	10	8	-	-	315	9	246	2,8(2,8/-/-)	93		
		10	6	-	-	309	10	173	2,3(2,3/-/-)	77		
		6	5	2	2	515	9	337	2,7(2,83/2/3)	90		
 SchI-33.676	10	10	6	-	-	110	6	86	2,6(2,6/-/-)	73		
		4	2	2	0	158	6	88	2,5(2,5/2,33/2,67)	83		
		3	2	3	2	9	22	6	2,1(2/2/2,29)	70		
	10	10	10	-	-	225	7	162	3(3/-/-)	100		
		9	7	1	0	291	13	91	2,7(2,78/2/2)	90		
		6	6	2	2	134	14	30	2,7(2,83/2,5/2,5)	90		

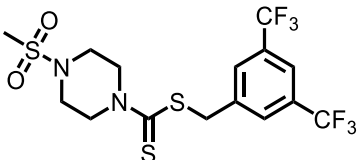
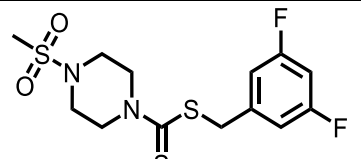
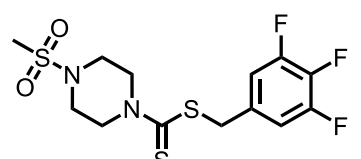
Strukturformel	Konzentration [μM]	Paare (von 10)	Paare angesaugt	♂ angesaugt	♀ angesaugt	absolute Eizahl	Deformation [%]	Eizahl normiert [%]	WMS: \emptyset (♂/♂/♀)	WMS normiert [%]	Tegument-schäden	Darm-dilatation	
 <p>Schi-33.676</p>		10	9	-	-	433	6	279	2,8(2,8/-/-)	93		♂/72/(+)	
		9	9	0	0	278	7	88	2,6(2,67/2/2)	87			
		4	3	5	1	149	19	36	2,15(1,75/2,67/2,17)	72			
		9	9	1	1	337	6	166	2,9(2,89/3/3)	97			
		9	9	0	0	416	13	146	2,8(2,88/2/2)	93			
		6	6	2	2	188	15	66	2,8(2,83/3/2,5)	93			
					9,8 ± 0,3		276,3 ± 69,8		94,3 ± 2,8				
					7,8 ± 1,3		285,8 ± 52,7		88,3 ± 2,1				
					4,8 ± 0,8		120,0 ± 38,7		81,3 ± 6,0				
		5	8	8	1	1	315	13	155	2,9(3/2,5/2,5)			97
	7	7	1	2	357	10	125	2,9(3/2,33/3)	97				
	6	5	2	2	197	11	69	2,85(3/2,5/2,75)	95				
 <p>Schi-33.693</p>	10	9	9	0	0	157	8	123	3(3/3/3)	100			
		9	9	1	1	258	11	144	3(3/3/3)	100			
		8	8	2	2	313	6	205	2,75(2,88/1,5/3)	92			
 <p>Schi-33.677</p>	10	9	8	1	1	118	6	92	2,85(2,89/2/3)	95			
		9	9	1	1	418	4	234	2,9(2,89/3/3)	97			
		7	6	3	3	232	6	152	2,75(2,71/2,67/3)	92			

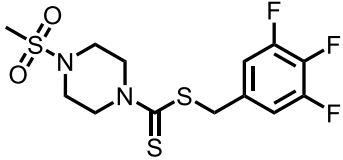
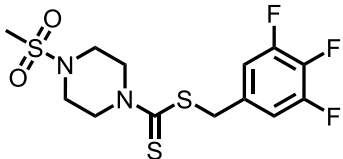
Strukturformel	Konzentration [μM]	Paare (von 10)	Paare angesaugt	♂ angesaugt	♀ angesaugt	absolute Eizahl	Deformation [%]	Eizahl normiert [%]	WMS: \emptyset (♀/♂/♀)	WMS normiert [%]	Tegument-schäden	Darm-dilatation
 <p>Schl-33.583</p>	10	8	7	2	0	186	13	85	2,5(2,5/3/2)	83		
		8	7	0	2	214	8	53	2,6(2,63/2,5/2,5)	87		
		6	6	3	0	388	11	94	2,65(2,83/2,5/2,25)	88		
 <p>Schl-33.518</p>	10	10	10	-	-	233	6	88	2,8(2,8/-/-)	93		
		8	7	0	0	56	9	37	2,6(2,63/2/3)	87	♀/72/(+)	
		5	0	1	0	48	23	36	2,15(2,4/1,8/2)	72		
		10	10	-	-	262	8	159	2,8(2,8/-/-)	93		
		3	3	1	0	62	19	11	2,65(2,67/2,43/2,86)	88	♂/72/(+)	
		0	-	2	0	69	30	21	2,4(-/2,4/2,4)	80		
		10	9	-	-	404	4	185	2,7(2,7/-/-)	90		
		4	2	2	0	62	10	16	2,3(2,5/2,67/2,67)	77	♀/48/(+)	
		1	1	0	1	26	12	6	1,55(2/1,67/1,33)	52		
		9	5	1	0	198	9	143	2,55(2,56/2/3)	85		
		1	0	1	0	38	13	12	2,5(2/2,44/2,67)	83	♀/48/(+)	♂/72/(+)
		0	-	0	0	36	39	8	1,2(-/1,3/1,1)	40		
		10	9	-	-	160	9	103	2,6(2,6/-/-)	87		
		0	-	1	0	38	16	12	1,65(-/1,7/1,6)	55	♀/72/(+)	
0	-	0	0	16	19	4	1,3(-/1,6/1)	43				
10	10	-	-	55	15	36	2,7(2,7/-/-)	93				
3	2	6	0	87	13	28	1,7(1,67/1,86/1,57)	57	♂/72/(+)			
0	-	5	0	17	24	4	1,35(-/1,7/1)	45				
		9,8 ± 0,2				218,7 ± 47,3		90,2 ± 1,4				
		3,2 ± 1,1				57,2 ± 7,5		74,5 ± 6,1				
		1,0 ± 0,8				35,3 ± 8,3		55,3 ± 6,8				

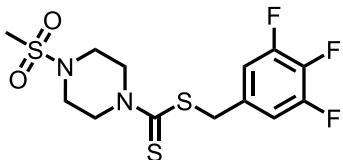
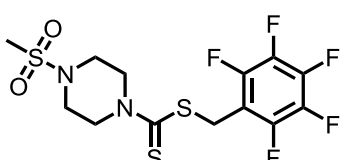
Strukturformel	Konzentration [μM]	Paare (von 10)	Paare angesaugt	♂ angesaugt	♀ angesaugt	absolute Eizahl	Deformation [%]	Eizahl normiert [%]	WMS: \emptyset (♀/♂/♀)	WMS normiert [%]	Tegument-schäden	Darm-dilatation	
 Schl-33.518	5	10	10	-	-	363	4	167	2,9(2,9/-/-)	97			
		10	9	-	-	164	8	41	2,7(2,7/-/-)	90			
		8	6	2	1	191	19	46	2,6(2,63/2,5/2,5)	87			
 Schl-33.509	10	9	9	1	0	75	8	28	2,75(2,78/2/3)	92		♀/72/+	
		6	5	4	0	99	13	66	2,5(2,67/2(2,5)	83			
		6	5	3	0	31	42	23	1,95(2/1,75/2)	65			
		10	10	-	-	30	7	18	2,7(2,7/-/-)	90			♀/48/(+)
		6	3	4	0	38	32	7	2,45(2,33/2,5/2,75)	82			
		8	7	1	0	7	71	2	2,5(2,5/2/3)	83			
		8	7	2	1	106	8	49	2,7(2,75/2,5/2,5)	90			♀/72/(+)
		6	6	4	4	14	7	4	2,3(2,17/2,5/2,5)	77			
		3	1	0	0	21	76	5	2,4(2,33/2,14/2,71)	80			
		7	7	3	0	85	9	28	2,85(2,86/3/2,67)	95			♀/48/+
		1	1	0	0	5	0	2	2,6(2/2,56/2,78)	87			
		1	0	0	1	1	100	<1(0,4)	2,15(2/1,89/2,44)	72			
		9	5	1	0	1	0	<1(0,6)	2,45(2,44/3/2)	82			
6	5	2	0	102	3	32	2,35(2,5/2,25/2)	78					
5	3	3	0	45	31	11	2,35(2,4/2,6/2)	78					
		8,6 ± 0,5			59,4 ± 19,2			89,8 ± 2,2					
		5,0 ± 1,0			51,6 ± 20,7			81,4 ± 1,8					
		4,6 ± 1,2			21,0 ± 8,0			75,6 ± 3,2					
	5	9	8	1	1	39	3	15	2,9(2,89/3/3)	97		♀/48/(+)	
		5	5	3	0	2	50	1	2,55(2,6/2,6/2,4)	85			
		3	2	4	0	0	-	0	2,05(2/2,14/2)	68			

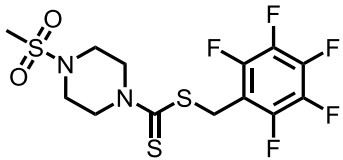
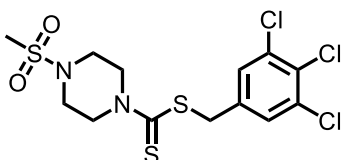
Strukturformel	Konzentration [μM]	Paare (von 10)	Paare angesaugt	σ angesaugt	q angesaugt	absolute Eizahl	Deformation [%]	Eizahl normiert [%]	WMS: \emptyset ($\sigma/\sigma/\text{q}$)	WMS normiert [%]	Tegument-schäden	Darm-dilatation	
 <p>Schi-33.509</p>		9	9	1	0	19	16	9	2,9(2,89/3/3)	97			
		3	3	6	0	9	11	2	2,55(2,67/2,57/2,43)	85			
		2	2	6	0	10	80	2	2,3(2,5/2,25/2,25)	77			
		9	9	1	0	41	10	27	2,85(2,89/3/2)	95			
		6	3	4	1	21	10	7	2,55(2,5/2,75/2,5)	85			
		3	2	4	0	8	0	2	2,25(2,33/2,14/2,43)	75			
		9,0 \pm 0,0				33,0 \pm 7,0			96,3 \pm 0,7				
		4,7 \pm 0,9				10,7 \pm 5,6			85,0 \pm 0,0				
		2,7 \pm 0,3				6,0 \pm 3,1			73,3 \pm 2,7				
 <p>Schi-33.509</p>	4	0	-	9	2	53	21	26	2,25(-/2,7/1,8)	75		$\text{q}/24/+$	
		0	-	10	0	0	-	0	0	2,5(-/3/2)	83		
		0	-	7	0	0	-	0	0	2,05(-/2,7/1,4)	68		
		3	2	6	0	4	50	6	6	2,8(2,67/2,71/3)	93		
		1	1	8	0	8	13	2	2	2,5(3/2,78/2,11)	83		
		1	1	7	0	11	46	3	3	2,6(3/2,78/2,33)	87		
		10	8	-	-	9	0	14	14	2,8(2,8/-/-)	93		
		8	7	2	1	53	15	15	15	2,85(2,88/3/2,5)	95		
		4	3	6	2	37	38	9	9	2,65(2,75/3/2,17)	88		
		8	5	2	0	6	17	9	9	2,5(2,5/3/2)	83		
		5	5	5	2	31	29	9	9	2,85(3/3/2,4)	95		
4	4	5	2	88	21	21	21	2,6(2,75/2,83/2,17)	87				
		5,3 \pm 2,3				18,0 \pm 11,7			86,0 \pm 4,4				
		3,5 \pm 1,9				23,0 \pm 12,0			89,0 \pm 3,5				
		2,3 \pm 1,0				34,0 \pm 19,6			82,5 \pm 4,8				
	3	4	4	6	1	58	10	29	2,75(3/3/2,17)	92	$\sigma/72/(+)$	$\text{q}/24/+$	
		5	5	3	1	25	20	9	2,25(3/2/2,2)	75			
		1	1	5	2	1	0	<1(0,4)	2,5(3/2,56/2,33)	83			
		7	6	3	0	37	14	57	2,85(2,86/3/2,67)	95			
		3	2	7	0	68	9	19	2,75(2,33/2,71/2,71)	92			
4	4	6	6	229	24	54	54	2,9(3/2,83/2,83)	97				

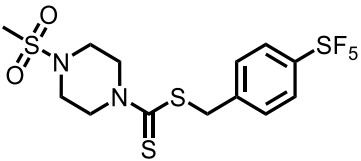
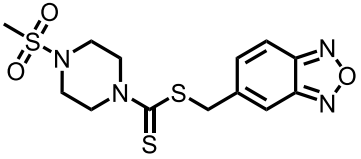
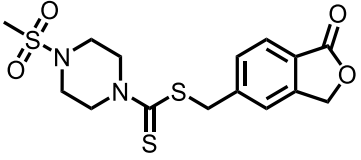
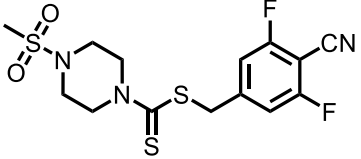
Strukturformel	Konzentration [μM]	Paare (von 10)	Paare angesaugt	σ° angesaugt	Q angesaugt	absolute Eizahl	Deformation [%]	Eizahl normiert [%]	WMS: \emptyset ($\text{Q}^{\circ}/\sigma^{\circ}/\text{Q}$)	WMS normiert [%]	Tegument-schäden	Darm-dilatation	
 <p>Schi-33.509</p>		9	9	0	0	95	15	146	2,9(3/2/2)	97			
		8	4	1	1	25	20	7	2,85(2,88/2,5/3)	95			
		4	3	3	2	115	10	27	2,6(2,75/2,5/2,5)	87			
		10	9	-	-	42	14	65	2,9(2,9/-/-)	97			
		9	9	0	0	173	18	49	2,8(2,89/2/2)	93			
		7	7	2	2	264	11	63	2,8(2,86/2,67/2,67)	93			
		7,5 \pm 1,3			58,0 \pm 13,1			95,3 \pm 1,2					
		6,3 \pm 1,4			72,8 \pm 34,9			88,8 \pm 4,6					
		4,0 \pm 1,2			152,3 \pm 59,6			90,0 \pm 3,1					
 <p>Schi-33.509</p>	2	7	7	3	3	230	17	113	2,9(3/3/2,67)	97		♀/48/(+)	
		2	2	7	4	13	8	5	2,75(3/2,88/2,5)	92			
		2	2	4	2	0	-	0	2,6(3/2,5/2,5)	87			
		9	9	1	1	81	5	125	2,9(2,89/3/3)	97			
		7	7	3	3	187	16	53	2,85(2,86/3/2,67)	95			
		4	3	6	5	230	11	55	2,75(2,75/3/2,5)	92			
		8	8	2	1	119	14	183	2,95(3/2/2,5)	98			
		5	5	5	4	112	13	32	2,75(2,8/3/2,4)	92			
		4	4	5	4	145	13	34	2,7(2,75/2,67/2,67)	90			
		10	10	-	-	123	18	189	3(3/-/-)	100			
		9	5	0	0	55	6	16	2,8(2,88/3/3)	93			
5	4	3	2	151	22	36	2,65(2,8/2,6/2,4)	88					
		8,5 \pm 0,7			138,3 \pm 32,0			98,0 \pm 0,7					
		5,8 \pm 1,5			91,8 \pm 37,7			93,0 \pm 0,7					
		3,8 \pm 0,6			131,5 \pm 47,9			89,3 \pm 1,1					
	1	8	7	2	1	55	18	21	2,7(2,75/2,5/2,5)	90		♀/48/+	
		2	2	6	6	12	17	8	2,4(2,5/2,25/2,5)	80			
		1	1	6	3	1	100	<1(0,8)	2,15(2/2/2,33)	72			
		10	10	-	-	39	0	25	3(3/-/-)	100			
		8	7	2	1	177	8	56	2,9(2,88/3/3)	97			
		7	6	3	1	313	13	75	2,65(2,71/2,67/2,33)	88			

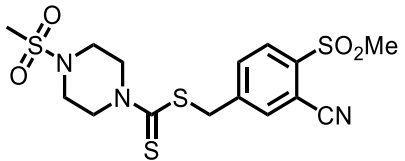
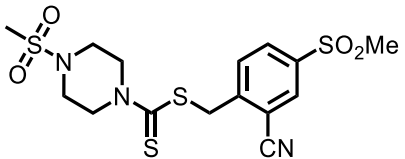
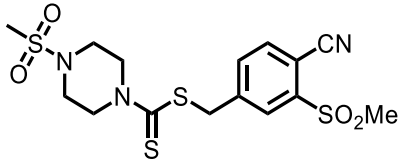
Strukturformel	Konzentration [μM]					absolute Eizahl	Deformation [%]	Eizahl normiert [%]	WMS: \emptyset ($\sigma/\sigma/\sigma$)	WMS normiert [%]	Tegument-schäden	Darm-dilatation
		Paare (von 10)	Paare angesaugt	σ angesaugt	σ angesaugt							
 SchI-33.509		10	10	-	-	32	19	18	2,9(2,9/-/-)	97		
		8	6	1	1	269	8	106	2,6(2,63/2,5/2,5)	87		
		6	6	1	1	50	10	13	2,7(2,83/2,75/2,25)	90		
		10	10	-	-	89	12	51	3(3/-/-)	100		
		9	9	1	1	201	8	78	2,9(2,89/3/3)	97		
		9	9	1	0	420	6	108	2,95(3/3/2)	98		
		9,5 \pm 0,5				53,8 \pm 12,7			96,8 \pm 2,4			
		6,8 \pm 1,6				164,8 \pm 54,5			90,3 \pm 4,2			
		5,8 \pm 1,7				196,0 \pm 101,3			87,0 \pm 5,5			
 SchI-33.582	10	8	6	2	0	121	12	56	2,55(2,5/2,5/3)	85		
		8	2	0	0	55	26	14	2,3(2,38/2/3)	77		
		7	3	0	2	159	28	38	2,45(2,43/2,33/2,67)	82		
 SchI-33.510	10	6	0	0	0	18	17	7	2,25(2/2,75/2,5)	75	σ /24/++	σ /48/(+)
		1	0	0	0	2	50	1	1,5(1/1,44/1,67)	50		
		0	-	0	0	3	33	2	1,1(-/1,1/1,1)	37		
		9	0	0	0	5	20	3	2(2/2/2)	67		
		3	0	0	0	4	0	<1(0,7)	2,15(2/2/2,43)	72	σ /48/+	σ /24/(+)
		0	-	0	0	1	100	<1(0,3)	1,25(-/1,2/1,3)	42		
		7	0	0	0	18	0	8	2(2/2/2)	67		
		1	0	0	0	3	0	<1(0,8)	1,75(2/1,56/1,89)	58	σ /48/+	σ /72/(+)
		0	-	0	0	12	58	3	1,5(-/1,5/1,5)	50		
		7,3 \pm 0,9				13,7 \pm 4,3			69,7 \pm 2,7			
		1,7 \pm 0,7				3,0 \pm 0,6			60,0 \pm 6,4			
		0,0 \pm 0,0				5,3 \pm 3,4			43,0 \pm 3,8			

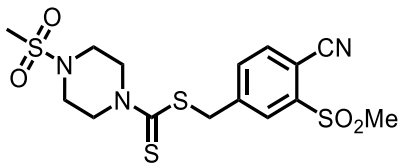
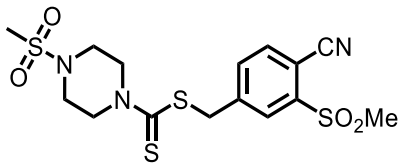
Strukturformel	Konzentration [μM]					absolute Eizahl	Deformation [%]	Eizahl normiert [%]	WMS: \emptyset ($\sigma/\sigma/\sigma$)	WMS normiert [%]	Tegument-schäden	Darm-dilatation
		Paare (von 10)	Paare angesaugt	σ angesaugt	σ angesaugt							
 <p>Schl-33.510</p>	5	10	3	-	-	84	15	32	2,5(2,5/-/-)	83		
		8	1	0	0	96	34	64	2,15(2/2,5/3)	72		
		6	4	0	0	46	76	35	2,3(2,17/2,5/2,5)	77		
		9	3	1	0	37	14	17	2,65(2,67/2/3)	88		
		8	2	0	0	32	13	8	2,25(2,25/2/3)	75		
		5	4	0	0	29	35	7	2,3(2,2/2,4/2,4)	77		
		9	4	0	0	33	21	16	2,35(2,33/2/3)	78		
		7	1	0	0	31	42	8	1,9(1,86/1,67/2,33)	63	♀/72/(+)	
		5	0	0	0	32	41	13	1,85(2/1,8/1,6)	62		
		10	7	-	-	45	0	32	2,7(2,7/-/-)	90		
		6	0	2	0	84	27	26	1,75(1,67/1,75/2)	58		
		4	1	2	0	67	36	15	2,15(2,25/2,17/2)	72		
				9,5 ± 0,3			49,8 ± 11,7			84,8 ± 2,7		
		7,3 ± 0,5			60,8 ± 17,1			67,0 ± 3,9				
		5,0 ± 0,4			43,5 ± 8,7			72,0 ± 3,5				
 <p>Schl-33.510</p>	4	9	4	0	0	54	26	27	2,55(2,56/3/2)	85		
		8	2	0	0	86	13	30	2,55(2,5/2,5/3)	85		
		3	0	2	0	50	28	17	2,2(2/2,29/2,29)	73		
		10	3	-	-	12	25	6	2,4(2,4/-/-)	80		
		10	1	-	-	14	29	6	2,1(2,1/-/-)	70		
		9	0	0	0	41	37	35	1,7(1,67/2/2)	57		
		9	2	0	0	39	5	20	2,5(2,44/3/3)	83		
		7	3	0	0	88	23	37	2,25(2,29/2,33/3)	75		
		8	0	0	0	66	35	56	1,65(1,63/2/1,5)	55		
		10	0	-	-	36	17	18	2,2(2,2/-/-)	73		
		6	1	1	0	93	15	39	2,1(2,17/2,25/1,75)	70		
		6	0	1	0	83	23	70	1,8(1,83/1,75/1,75)	60		
				9,5 ± 0,3			35,3 ± 8,7			80,3 ± 2,6		
		7,8 ± 0,9			70,3 ± 18,8			75,0 ± 3,5				
		6,5 ± 1,3			60,0 ± 9,3			61,3 ± 4,1				

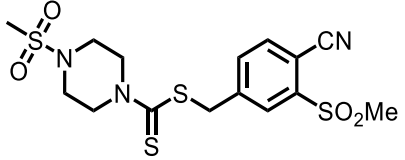
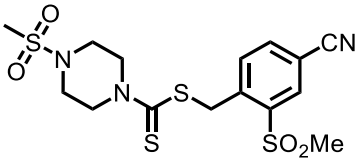
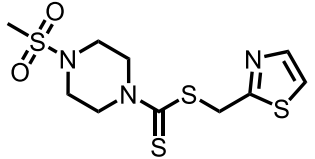
Strukturformel	Konzentration [μM]	Paare (von 10)	Paare angesaugt	♂ angesaugt	♀ angesaugt	absolute Eizahl	Deformation [%]	Eizahl normiert [%]	WMS: \emptyset ($\sigma/\sigma/\sigma$)	WMS normiert [%]	Tegument-schäden	Darm-dilatation
 <p>Schi-33.510</p>	3	8	8	1	1	59	15	29	2,9(3/2,5/2,5)	98		
		8	7	1	1	105	11	37	2,8(2,88/2/2,5)	93		
		6	4	3	0	110	22	38	2,75(2,67/2,75/3)	92		
	2	8	8	2	1	146	14	72	2,95(3/3/2,5)	98		
		7	7	3	3	306	13	107	3(3/3/3)	100		
		7	7	2	1	198	13	69	2,6(3/2,5/2,5)	87		
	1	10	9	-	-	123	2	46	2,8(2,8/-/-)	93		
		8	6	2	2	264	5	175	2,7(2,75/2/3)	90		
		7	7	0	3	489	6	368	2,75(2,86/2/3)	92		
 <p>Schi-33.569</p>	10	5	0	0	0	58	19	27	2(2/2/2)	67		
		4	0	0	0	24	42	6	2,35(2,25/2,5/2,33)	78		♀/72/(+)
		4	0	0	0	11	18	3	2(2/2/2)	67		
		2	0	1	0	7	14	3	2,45(2/2,5/2,63)	82		
		2	0	0	0	8	38	2	1,8(2/2,13/1,38)	60		♀/24/+
		2	0	1	0	4	50	2	1,6(1/1,75/1,75)	53		
		5	0	1	0	28	11	9	2,05(2/2,2/2)	68		
		3	1	0	0	13	15	5	2,1(2/2,14/2,14)	70		♀/24/+
		5	0	0	0	16	13	6	2,2(2,2/1,6/2,33)	73		
	10	3	-	-	12	17	86	2,3(2,3/-/-)	77			
	8	1	2	0	53	25	17	2,45(2,38/2,5/3)	82			
	7	4	1	1	119	26	26	2,55(2,43/3/2,67)	85			
10	8	-	-	36	6	23	2,5(2,5/-/-)	83				
7	2	2	0	78	8	25	2,2(2,14/2,67/2)	73				
6	2	3	0	106	27	25	2,15(2,17/2,25/2)	72				

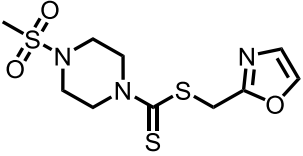
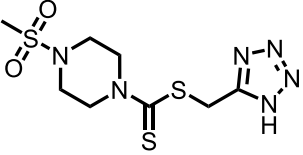
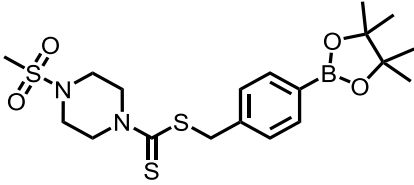
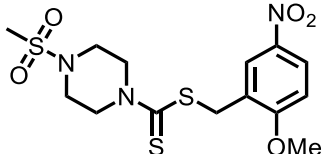
Strukturformel	Konzentration [μM]	Paare (von 10)	Paare angesaugt	σ angesaugt	φ angesaugt	absolute Eizahl	Deformation [%]	Eizahl normiert [%]	WMS: \emptyset ($\varphi/\sigma/\varphi$)	WMS normiert [%]	Tegument-schäden	Darm-dilatation
		10	4	-	-	8	0	5	2,4(2,4/-/-)	80		
		6	3	1	0	34	21	11	2,2(2,17/2,5/2)	73		
		7	2	1	0	88	26	21	2,15(2,14/2,33/2)	72		
		7,0 \pm 1,4			24,8 \pm 20,0			76,2 \pm 2,9				
5,0 \pm 1,0			35,0 \pm 26,5			72,7 \pm 3,1						
5,2 \pm 0,8			57,3 \pm 52,6			70,3 \pm 4,2						
 <p>Schl-33.569</p>	5	10	7	-	-	72	3	35	2,7(2,7/-/-)	90	φ /48/(+)	
		7	5	2	0	73	19	18	2,55(2,57/2,33/2,67)	85		
		6	5	1	0	72	24	29	2,45(2,33/2,5/2,75)	82		
		10	10	-	-	27	7	19	2,9(2,9/-/-)	97		
		9	6	1	1	77	18	24	2,7(2,67/3/3)	90		
		7	6	2	1	183	25	40	2,65(2,57/2,67/3)	88		
 <p>Schl-33.670</p>	9	1	0	0	17	12	13	1,85(1,78/2/3)	62	φ /48/+		
		7	0	0	0	14	43	8	2,3(2,29/2/2,67)		77	
		4	0	0	0	0	-	0	1,9(2/1,33/2,33)		63	
	8	10	7	1	0	136	4	44	2,85(2,88/2,5/3)	95	φ /48/+	
			8	1	1	0	94	12	39	2,4(2,38/2/3)		80
			6	3	0	0	33	46	12	1,75(1,83/1,25/2)		58
			10	4	-	-	59	12	42	2,6(2,6/-/-)		87
			9	0	0	0	35	54	11	2(2/2/2)		67
	5	0	0	0	7	71	2	1,4(1,6/1,4/1)	47			
	9,0 \pm 0,6			70,7 \pm 34,8			81,3 \pm 9,9					
	8,0 \pm 0,6			47,7 \pm 24,0			74,7 \pm 3,9					
5,0 \pm 0,6			13,3 \pm 10,0			56,0 \pm 4,7						
5	10	10	-	-	190	4	137	2,8(2,8/-/-)	93	φ /72/(+)		
	10	8	-	-	373	6	117	2,7(2,7/-/-)	90			
	10	9	-	-	387	21	85	2,4(2,4/-/-)	80			

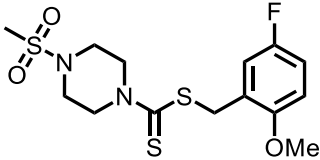
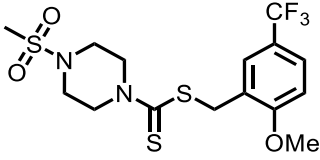
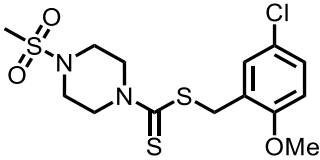
Strukturformel	Konzentration [μM]	Paare (von 10)	Paare angesaugt	♂ angesaugt	♀ angesaugt	absolute Eizahl	Deformation [%]	Eizahl normiert [%]	WMS: \emptyset (♀/♂/♀)	WMS normiert [%]	Tegument-schäden	Darm-dilatation
 Schl-33.646	10	9	9	0	0	288	8	108	3(3/3/3)	100		
		10	9	-	-	541	11	358	2,6(2,6/-/-)	87		
		9	9	0	1	696	9	523	2,85(2,89/2/3)	95		
 Schl-33.498	10	10	9	-	-	124	6	75	2,9(2,9/-/-)	97		
		8	4	0	0	252	14	46	2,75(2,75/2,5/3)	92		♀/72/(+)
		9	4	0	1	259	9	79	2,35(2,33/2/3)	78		
 Schl-33.687	10	7	6	3	1	212	7	166	2,85(2,86/3/2,67)	95		
		7	6	2	3	376	5	210	2,85(2,86/2,67/3)	95		
		6	5	4	4	478	7	312	2,8(2,83/2,5/3)	93		
 Schl-33.788	10	10	5	-	-	125	7	64	2,5(2,5/-/-)	83		
		9	1	0	0	304	9	107	2,45(2,44/2/3)	82		
		9	4	0	0	246	11	106	2,45(2,44/2/3)	82		
		7	7	0	1	205	5	101	2,8(3/2/2,67)	93		
		6	4	0	0	168	9	59	2,6(2,67/2/3)	87		
		4	2	2	2	161	19	56	2,55(2,5/2,5/2,67)	85		
	5	9	2	0	0	187	8	92	2,6(2,67/2/2)	87		
		9	6	0	1	279	8	98	2,65(2,67/2/3)	88		
		8	8	1	2	390	11	136	2,9(3/2/3)	97		

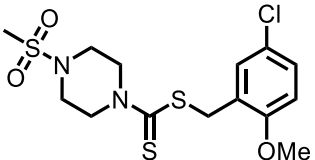
Strukturformel	Konzentration [μM]	Paare (von 10)	Paare angesaugt	σ^7 angesaugt	σ^8 angesaugt	absolute Eizahl	Deformation [%]	Eizahl normiert [%]	WMS: \emptyset ($\sigma^7/\sigma^8/\sigma^9$)	WMS normiert [%]	Tegument-schäden	Darm-dilatation
 SchI-33.655	10	10	9	-	-	120	13	45	2,6(2,6/-/-)	87		
		10	10	-	-	418	5	277	2,8(2,8/-/-)	93		
		9	8	1	1	329	14	247	2,8(2,78/3/3)	93		
 SchI-33.660	10	8	6	0	0	9	22	7	2,65(2,75/2/2,5)	88		
		6	6	4	2	78	13	44	2,8(2,83/2,75/2,75)	93		
		5	5	5	4	304	10	199	2,8(2,8/2,8/2,8)	93		
 SchI-33.690	10	8	4	0	0	5	0	4	2,5(2,5/2/3)	83		
		4	2	1	0	23	9	13	2,3(2/2,17/2,83)	77		
		1	0	1	0	23	0	15	1,45(1/1,22/1,78)	48		
		10	10	-	-	340	7	111	3(3/-/-)	100		
		8	2	0	0	27	0	11	2,65(2,63/2,5/3)	88		
		2	1	1	0	45	18	16	2,45(2,5/2,25/2,63)	82		
		10	10	-	-	213	7	153	3(3/-/-)	100		
		8	2	1	1	128	11	40	2,5(2,5/2,5/2,5)	83		
		7	1	1	0	140	17	31	2,25(2,29/2/2,33)	75		$\sigma^8/48/(+)$
		7	0	1	0	4	0	3	2,15(2/2/3)	72	$\sigma^7/72/(+)$	$\sigma^8/72/(+)$
2	0	0	0	12	33	4	1,9(2/1,25/2,5)	63				
0	-	0	0	6	33	1	1,35(-/1,2/1,5)	45				
6	1	1	0	4	0	3	2,35(2,17/2,25/3)	78				
2	0	0	0	11	27	4	1,75(1,5/1,25/2,38)	58		$\sigma^8/72/(+)$		
1	0	0	0	20	50	5	1,3(1/1,33/1,33)	43				

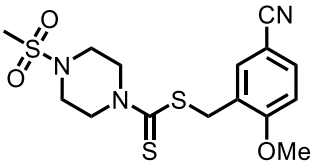
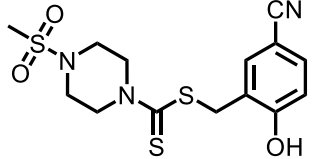
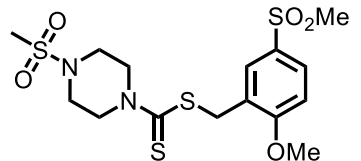
Strukturformel	Konzentration [μM]	Paare (von 10)	Paare angesaugt	σ° angesaugt	Q angesaugt	absolute Eizahl	Deformation [%]	Eizahl normiert [%]	WMS: \emptyset ($\text{Q}^{\circ}/\sigma^{\circ}/\text{Q}$)	WMS normiert [%]	Tegument-schäden	Darm-dilatation
		10	2	-	-	13	8	7	2,5(2,5/-/-)	83	$\text{Q}^{\circ}/72/+$	$\text{Q}/72/(+)$
		8	0	0	0	68	13	29	2,15(2,13/2/2,5)	72		
		0	-	0	0	40	40	34	1,35(-/1,3/1,4)	45		
		8,5 \pm 0,7 5,3 \pm 1,2 1,8 \pm 1,1				96,5 \pm 59,3 44,8 \pm 18,7 45,7 \pm 19,7			86,0 \pm 4,7 73,5 \pm 4,7 56,3 \pm 7,1			
 <p>Schl-33.690</p>	5	9	8	1	0	180	13	130	2,85(2,89/3/2)	95		
		8	8	2	1	316	10	99	2,7(2,75/3/2)	90		
		6	5	4	0	136	13	30	2,35(2,33/2/2,75)	78		
		10	3	-	-	10	10	7	2,3(2,3/-/-)	77		
		4	3	6	0	29	10	9	2,3(2/3/2)	77		
		3	1	5	0	81	14	19	2,15(2,33/2,14/2)	72		
		10	6	-	-	6	0	4	2,6(2,6/-/-)	87		
		7	5	3	0	34	12	11	2,45(2,43/3/2)	82		
		6	3	2	1	63	19	15	2,45(2,5/2,5/2,33)	82		
		9,7 \pm 0,3 6,3 \pm 1,2 5,0 \pm 1,0				65,3 \pm 57,4 126,3 \pm 94,8 93,3 \pm 22,0			86,3 \pm 5,2 83,0 \pm 3,8 77,3 \pm 2,9			
 <p>Schl-33.690</p>	4	10	10	-	-	338	7	167	2,9(2,9/-/-)	97		
		7	2	2	0	27	19	10	2,65(2,38/2,67/2,33)	88		
		3	2	1	0	37	22	13	2,5(2,33/2,57/2,57)	83		
		9	9	1	1	126	14	194	3(3/3/3)	100		
		8	5	0	0	24	13	7	2,8(2,63/3/2,5)	93		
		4	2	1	1	22	23	5	2,4(2,5/2,17/2,5)	80		
		10	10	-	-	355	12	178	2,9(2,9/-/-)	97		
		10	6	-	-	57	11	24	2,6(2,6/-/-)	87		
		9	3	0	0	103	16	87	2,1(2,11/2/2)	70		
		9,7 \pm 0,3 8,3 \pm 0,9 5,3 \pm 1,9				273,0 \pm 73,7 36,0 \pm 10,5 54,0 \pm 24,9			98,0 \pm 1,0 89,3 \pm 1,9 77,7 \pm 3,9			

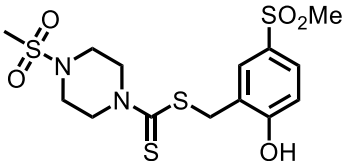
Strukturformel	Konzentration [μM]	Paare (von 10)	Paare angesaugt	♂ angesaugt	♀ angesaugt	absolute Eizahl	Deformation [%]	Eizahl normiert [%]	WMS: \emptyset ($\sigma/\sigma/\sigma$)	WMS normiert [%]	Tegument-schäden	Darm-dilatation	
 <p>Schi-33.690</p>	3	9	9	1	1	309	9	152	2,9(2,89/3/3)	97			
		10	9	-	-	397	8	139	2,9(2,9/-/-)	97			
		6	4	0	0	24	8	8	2,45(2,5/2,75/2)	82			
		10	6	-	-	50	10	25	2,7(2,7/-/-)	90			
		10	3	-	-	203	20	85	2,3(2,3/-/-)	77			
		10	3	-	-	265	13	225	2,3(2,3/-/-)	77			
		2	9	9	1	1	136	10	67	2,95(3/2/3)	98		
			7	6	2	1	46	24	16	2,8(2,86/2/2,67)	93		
			5	5	5	1	179	17	62	2,8(3/2,8/2,4)	93		
	1	9	7	1	0	101	14	50	2,85(2,89/3/2)	95			
		5	3	5	0	106	19	37	2,75(2,6/3/2,8)	92			
		4	4	6	4	176	18	61	2,9(3/3/2,67)	97			
 <p>Schi-33.684</p>	10	9	9	1	1	262	8	205	3(3/3/3)	100			
		6	6	2	2	304	7	170	2,3(2/2,17/2,83)	77			
		5	5	4	3	281	10	184	2,6(2,6/2,4/2,8)	87			
 <p>Schi-33.699</p>	10	9	8	0	1	302	8	234	2,85(2,89/2/3)	95			
		9	9	1	1	563	6	315	2,9(2,89/3/3)	97			
		8	8	2	2	294	3	192	2,9(2,89/3/3)	97			

Strukturformel	Konzentration [μM]	Paare (von 10)	Paare angesaugt	♂ angesaugt	♀ angesaugt	absolute Eizahl	Deformation [%]	Eizahl normiert [%]	WMS: \emptyset ($\text{♀}/\text{♂}/\text{♀}$)	WMS normiert [%]	Tegument-schäden	Darm-dilatation
 <p>Schi-33.702</p>	10	10 7 6	10 7 5	- 3 3	- 2 2	164 300 163	7 11 10	128 168 107	3(3/-/-) 2,95(3/3/2,67) 2,8(2,83/2,5/3)	100 98 93		
 <p>Schi-33.696</p>	10	9 8 7	9 8 7	1 2 3	1 2 1	242 230 293	8 9 8	189 129 192	3(3/3/3) 2,85(2,88/2,5/3) 2,8(2,86/2,67/2,67)	100 95 93		
 <p>Schi-33.679</p>	10	10 10 9	10 10 8	- - 0	- - 1	194 513 455	4 6 5	152 287 297	3(3/-/-) 2,9(2,9/-/-) 2,85(2,89/2/3)	100 97 95		
 <p>Schi-33.705</p>	10	3 4 4	0 0 0	0 0 0	0 0 0	223 358 178	10 13 51	174 200 116	2,65(2,67/2,57/2,71) 2,15(2/1,67/2,83) 2,1(2/1,67/2,67)	88 72 70		

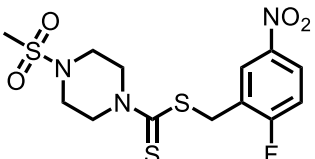
Strukturformel	Konzentration [μM]	Paare (von 10)	Paare angesaugt	σ° angesaugt	Q angesaugt	absolute Eizahl	Deformation [%]	Eizahl normiert [%]	WMS: \emptyset ($\text{Q}^{\circ}/\sigma^{\circ}/\text{Q}$)	WMS normiert [%]	Tegument-schäden	Darm-dilatation
 <p>Schl-33.656</p>	10	6	6	4	0	9	0	7	2,3(2,33/2,75/1,75)	77		
		0	-	0	0	8	38	5	1,25(-/1,2/1,3)	42	$\text{Q}^{\circ}/24/++$	$\text{Q}^{\circ}/48/++$
		0	-	0	0	0	-	0	0,65(-/0,5/0,8)	22		
		2	2	3	0	37	8	22	1,5(1,5/1,5/1,5)	50		
		0	-	1	0	9	22	3	1(-/1/1)	33	$\text{Q}^{\circ}/24/+++$	$\text{Q}^{\circ}/72/++$
		0	-	0	0	0	-	0	0,8(-/0,7/0,9)	27		
		3	1	3	0	61	15	37	2(1,67/2/2,29)	67		
		0	-	0	0	0	-	0	1,1(-/1/1,2)	37	$\text{Q}^{\circ}/24/++$	$\text{Q}^{\circ}/72/+$
		0	-	0	0	10	80	4	0,65(-/0,4/0,9)	22		
		3,7 \pm 1,2				35,7 \pm 15,0			64,7 \pm 7,9			
		0,0 \pm 0,0				5,7 \pm 2,9			37,3 \pm 2,6			
		0,0 \pm 0,0				3,3 \pm 3,3			23,7 \pm 1,7			
	5	10	9	-	-	44	20	26	2,9(2,9/-/-)	97		
		7	6	2	1	237	5	83	2,85(2,86/2,67/3)	95		
		6	6	3	1	271	10	143	2,7(2,67/2,75/2,75)	90		
 <p>Schl-33.664</p>	10	8	7	2	1	237	11	185	2,9(2,89/3/3)	97		
		4	4	5	3	414	9	231	2,7(2,75/2,67/2,67)	90		$\text{Q}^{\circ}/48/(+)$
		4	2	2	2	476	5	311	2,5(2,5/2,33/2,67)	83		
 <p>Schl-33.706</p>	10	0	-	7	0	87	18	68	1,85(-/2,1/1,6)	62		
		0	-	0	0	6	17	3	1,05(-/1,1/1)	35	$\text{Q}^{\circ}/24/+++$	$\text{Q}^{\circ}/48/+++$
		0	-	0	0	0	-	0	0,65(-/0,6/0,7)	22		
		1	1	8	0	162	11	99	2,15(3/2,63/2,11)	72		
		0	-	0	0	8	63	2	1,3(-/1,4/1,2)	43	$\text{Q}^{\circ}/24/+++$	$\text{Q}^{\circ}/24/++$
		0	-	0	0	0	-	0	1,1(-/1,2/1)	37		

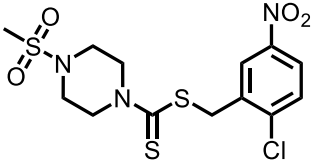
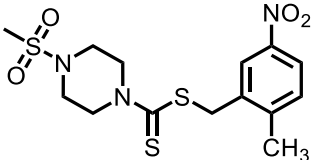
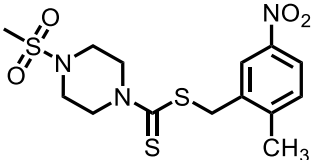
Strukturformel	Konzentration [μM]	Paare (von 10)	Paare angesaugt	σ^7 angesaugt	σ^7 angesaugt	absolute Eizahl	Deformation [%]	Eizahl normiert [%]	WMS: \emptyset ($\sigma^7/\sigma^7/\sigma^7$)	WMS normiert [%]	Tegument-schäden	Darm-dilatation	
 <p>Schi-33.706</p>		1	0	3	0	126	14	61	1,55(2/1,56/1,44)	52			
		0	-	0	0	1	0	<1(0,3)	1(-/1/1)	33	$\sigma^7/24/+++$	$\sigma^7/24/+++$	
		0	-	0	0	0	0	-	0	23			
		1	0	7	0	91	28	66	2,2(2/2,22/2,22)	73			
		0	-	1	1	11	55	3	1,35(-/1,3/1,4)	45	$\sigma^7/48/+++$	$\sigma^7/24/++$	
		0	-	0	0	0	-	0	0,95(-/0,9/1)	32			
			0,8 \pm 0,3			116,5 \pm 17,5			64,8 \pm 4,9				
			0,0 \pm 0,0			6,5 \pm 2,1			39,0 \pm 2,9				
			0,0 \pm 0,0			0,0 \pm 0,0			28,5 \pm 3,6				
			10	9	-	-	80	12	49	2,6(2,6/-/-)	87		
5		5	5	4	0	250	17	62	2,4(2,6/2/2,4)	80		$\sigma^7/72/+$	
		7	7	2	0	41	37	15	2,35(2,57/2,33/1,33)	78			
		10	9	-	-	220	6	106	2,9(2,9/-/-)	97			
		8	8	2	2	439	23	110	2,9(2,88/3/3)	97		$\sigma^7/72/(+)$	
		7	7	3	1	221	10	90	2,85(2,86/3/2,67)	95			
		9	9	1	0	153	13	110	2,8(2,78/3/3)	93			
		7	7	3	0	392	13	123	2,45(2,43/3/2)	82		$\sigma^7/48/+$	
		4	4	5	1	108	32	24	2,4(2,5/2,83/1,83)	80			
			9,7 \pm 0,3			151,0 \pm 40,4			92,3 \pm 2,9				
			6,7 \pm 0,9			360,3 \pm 56,8			86,3 \pm 5,4				
		6,0 \pm 1,0			123,3 \pm 52,5			84,3 \pm 5,4					
1		10	10	-	-	197	7	120	2,9(2,9/-/-)	97			
		9	8	1	1	348	6	86	2,9(2,89/3/3)	97			
		9	9	1	1	513	5	189	2,9(2,89/3/3)	97			

Strukturformel	Konzentration [μM]	Paare (von 10)	Paare angesaugt	♂ angesaugt	♀ angesaugt	absolute Eizahl	Deformation [%]	Eizahl normiert [%]	WMS: \emptyset (♀/♂/♀)	WMS normiert [%]	Tegument-schäden	Darm-dilatation
 <p>Schl-33.697</p>	10	9	9	0	0	551	6	430	3(3/3/3)	100		
		9	8	1	1	457	5	255	2,9(2,89/3/3)	97		
		9	9	0	1	469	5	307	2,85(2,89/2/3)	95		
 <p>Schl-33.710</p>	10	9	9	1	1	194	5	152	2,8(2,78/3/3)	93		
		8	8	2	2	360	6	201	2,85(2,88/2,5/3)	95		
		8	8	2	2	317	4	207	2,85(2,88/2,5/3)	95		
 <p>Schl-33.576</p>	10	7	7	2	1	153	13	70	2,4(2,43/2,67/2)	80	♀/24/(+)	
		2	2	3	0	12	17	3	2,3(2,5/2,13/2,38)	77		
		1	1	3	0	4	0	1	2,2(2/2,22/2,22)	73		
		10	10	-	-	65	2	32	2,9(2,9/-/-)	97		
		8	8	2	2	477	10	120	2,9(2,88/3/3)	97		
		8	8	2	2	376	8	154	2,9(2,88/3/3)	97		
		9	8	1	1	135	10	97	2,9(2,89/3/3)	97		
		9	9	1	0	412	10	129	2,4(2,44/2/2)	80		
		8	8	2	0	604	11	133	2,75(2,75/3/2,5)	92		
				8,7 ± 0,9			117,7 ± 26,8			91,3 ± 5,7		
		6,3 ± 2,2			300,3 ± 145,4			84,7 ± 6,2				
		5,7 ± 2,3			328,0 ± 176,9			87,3 ± 7,3				
5	10	10	-	-	447	8	216	3(3/-/-)	100			
	7	7	3	3	504	10	126	3(3/3/3)	100			
	7	7	2	3	312	13	127	2,95(3/2,67/3)	98			

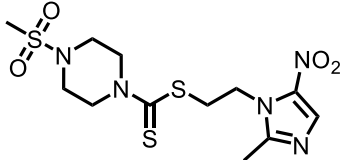
Strukturformel	Konzentration [μM]	Paare (von 10)	Paare angesaugt	σ angesaugt	q angesaugt	absolute Eizahl	Deformation [%]	Eizahl normiert [%]	WMS: \emptyset ($\text{q}^2/\sigma/\text{q}$)	WMS normiert [%]	Tegument-schäden	Darm-dilatation
 <p>Schl-33.590</p>	10	8	8	1	2	164	9	81	2,85(2,88/2,5/3)	95		
		6	6	3	3	207	13	73	2,8(3/2,75/2,25)	93		
		7	7	2	2	118	12	41	2,9(3/2,67/2,67)	97		
	5	7	7	3	2	126	14	62	2,85(2,86/3/2,67)	95		
		7	7	3	1	134	14	47	2,85(2,86/3/2,67)	95		
		7	7	2	1	218	11	76	2,8(3/2,33/2,67)	93		

Ersatz der 2-Hydroxygruppe des Benzylsubstituenten mit 5-Nitro-Gruppe

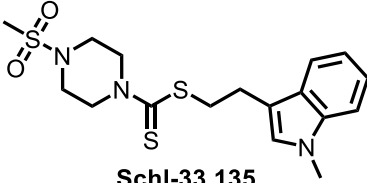
Strukturformel	Konzentration [μM]	Paare (von 10)	Paare angesaugt	σ angesaugt	q angesaugt	absolute Eizahl	Deformation [%]	Eizahl normiert [%]	WMS: \emptyset ($\text{q}^2/\sigma/\text{q}$)	WMS normiert [%]	Tegument-schäden	Darm-dilatation
 <p>Schl-33.609</p>	10	9	4	0	0	170	7	78	2,65(2,67/2/3)	88		
		8	2	0	0	254	16	63	2,5(2,5/2,5/2,5)	83		$\text{q}/48/(+)$
		8	3	0	1	252	12	61	2,5(2,5/2,5/2,5)	83		

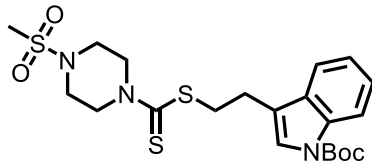
Strukturformel	Konzentration [μM]	Paare (von 10)	Paare angesaugt	σ° angesaugt	Q angesaugt	absolute Eizahl	Deformation [%]	Eizahl normiert [%]	WMS: ϕ ($\text{Q}^{\circ}/\sigma^{\circ}/\text{Q}$)	WMS normiert [%]	Tegument-schäden	Darm-dilatation
 Schl-33.625	10	5	2	0	1	72	21	36	2,45(2,6/2,4/2,2)	82		
		0	-	0	0	17	41	6	2(-/1,9/2,1)	67	$\text{Q}^{\circ}/48/+$	$\text{Q}/48/+$
		0	-	0	0	4	75	1	1,25(-/1,2/1,3)	42		
		9	5	0	0	194	13	299	2,65(2,67/2/3)	88		
		1	0	1	0	67	13	19	1,7(2/1,89/1,44)	57	$\text{Q}^{\circ}/72/++$	$\text{Q}/48/(+)$
		0	-	0	0	15	13	4	1,45(-/1,5/1,4)	48		
	8	4	0	0	116	10	179	2,6(2,63/2,5/2,5)	87			
	1	0	0	0	78	18	22	1,5(1/1,67/1,44)	50	$\text{Q}^{\circ}/48/+$	$\text{Q}/48/(+)$	
	0	-	1	0	73	11	17	1,35(-/1,5/1,2)	45			
	8	0	0	0	78	12	120	2,45(2,5/2,5/2)	82			
3	0	0	0	46	20	13	1,75(2/1,57/1,71)	58	$\text{Q}^{\circ}/48/++$	$\text{Q}/48/(+)$		
0	-	0	0	13	46	3	1,35(-/1,5/1,2)	45				
		7,5 \pm 0,9			115,0 \pm 28,1			84,8 \pm 1,6				
		1,3 \pm 0,6			52,0 \pm 13,4			58,0 \pm 3,5				
		0,0 \pm 0,0			26,3 \pm 15,8			45,0 \pm 1,2				
 Schl-33.641	10	9	8	1	1	111	14	55	2,9(2,89/3/3)	97		
		10	8	-	-	137	18	48	2,8(2,8/-/-)	93		
		9	7	1	0	109	16	38	2,85(2,89/2/3)	95		
 Schl-33.641	10	10	2	-	-	274	14	103	2,3(2,3/-/-)	77		
		9	1	0	0	492	11	326	2,5(2,5/2/3)	83		
		9	3	0	0	606	10	456	2,55(2,56/2/3)	85		

Dithiocarbamatkonjugat mit Metronidazol

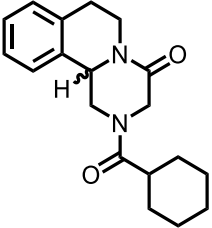
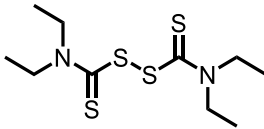
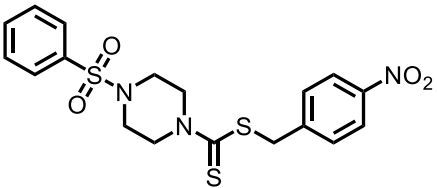
Strukturformel	Konzentration [μM]	Paare (von 10)	Paare angesaugt	σ angesaugt	φ angesaugt	absolute Eizahl	Deformation [%]	Eizahl normiert [%]	WMS: \emptyset ($\varphi/\sigma/\varphi$)	WMS normiert [%]	Tegument-schäden	Darm-dilatation
 <p>Schl-33.715</p>	10	10 9 8	10 8 8	- 1 2	- 1 2	289 475 316	6 8 9	226 265 207	3(3/-/-) 2,9(2,89/3/3) 2,85(2,88/2,5/3)	100 97 95		

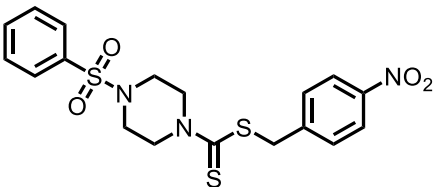
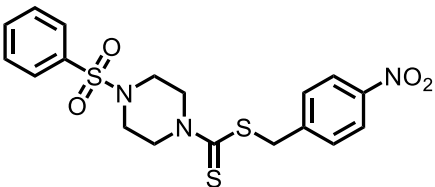
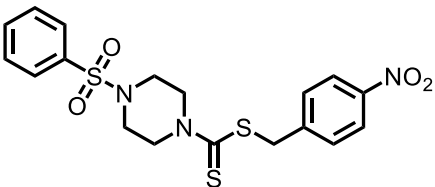
Indol-Derivate

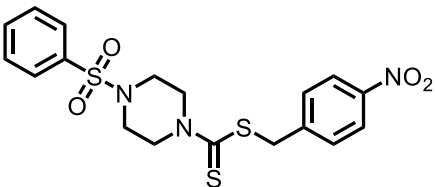
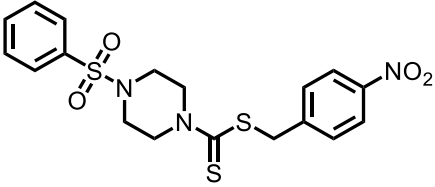
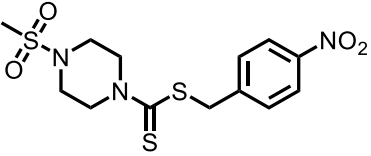
Strukturformel	Konzentration [μM]	Paare (von 10)	Paare angesaugt	σ angesaugt	φ angesaugt	absolute Eizahl	Deformation [%]	Eizahl normiert [%]	WMS: \emptyset ($\varphi/\sigma/\varphi$)	WMS normiert [%]	Tegument-schäden	Darm-dilatation
 <p>Schl-33.135</p>	10	10 8 5	10 8 2	- 2 1	- 1 0	473 697 119	14 18 19	442 218 36	2,8(2,8/-/-) 2,3(2,38/2,5/1,5) 1,3(1,4/1,4/1)	93 77 43		

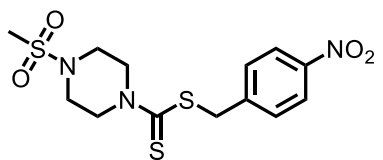
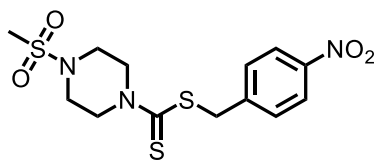
Strukturformel	Konzentration [μM]	Paare (von 10)	Paare angesaugt	♂ angesaugt	♀ angesaugt	absolute Eizahl	Deformation [%]	Eizahl normiert [%]	WMS: \emptyset (♀/♂/♀)	WMS normiert [%]	Tegument-schäden	Darm-dilatation
 <p>Schl-33.161</p>	10	10 10 6	10 10 6	- - 3	- - 0	110 353 54	9 8 22	71 110 18	2,9(2,9/-/-) 2,8(2,8/-/-) 2(2,33/2/1)	97 93 67		

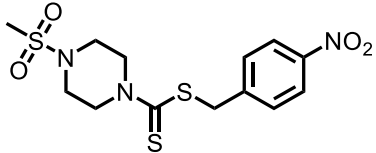
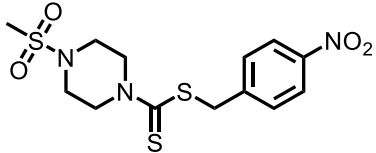
Referenzverbindungen

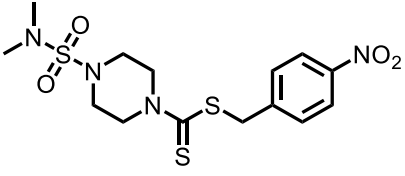
Strukturformel	Konzentration [μM]	Paare (von 10)	Paare angesaugt	σ angesaugt	♀ angesaugt	absolute Eizahl	Deformation [%]	Eizahl normiert [%]	WMS: \emptyset ($\text{♀}/\sigma/\text{♀}$)	WMS normiert [%]	Tegument-schäden	Darm-dilatation	
 <p>Praziquantel</p>	10	10	0	-	-	0	-	0	0(0/-/-)	0	Paralyse		
		10	0	-	-	0	-	0	0(0/-/-)	0			
		10	0	-	-	0	-	0	0(0/-/-)	0			
	5	10	0	-	-	0	-	0	0(0/-/-)	0	Paralyse		
		10	0	-	-	0	-	0	0(0/-/-)	0			
		10	0	-	-	0	-	0	0(0/-/-)	0			
 <p>Disulfiram</p>	10	7	6	3	2	6	0	2	2,85(2,86/3/2,67)	95	$\sigma/48/(+)$		
		7	7	2	0	0	0	0	2,9(3/3/2,33)	97			
		7	7	1	0	0	-	0	2,7(2,86/2,33/2,33)	90			
 <p>Schl-32.330</p>	20	1	1	4	0	68	12	41	1,65(2/1,56/1,67)	55		$\text{♀}/24/+++$	
		0	-	1	0	0	0	-	0	1,35(-/1,3/1,4)			45
		0	-	0	0	0	0	-	0	1,15(-/1,3/1)			38
	17,5	1	1	4	0	102	6	62	1,75(2/1,67/1,78)	58		$\text{♀}/24/+++$	
		1	0	1	0	0	-	0	1,55(2/1,1/1,6)	52			
		1	0	0	0	0	-	0	1,25(1/1,33/1,22)	42			
	15	5	3	2	0	181	6	110	2(2/2/2)	67		$\text{♀}/24/++$	
		0	-	3	0	0	-	0	1,65(-/1,3/2)	55			
		0	-	0	0	1	100	<1(0,3)	1,35(-/1,3/1,4)	45			
	12,5	8	7	1	0	213	7	129	2,6(2,63/2,5/2,5)	87		$\text{♀}/48/++$	
		0	-	5	0	94	16	17	2,15(-/2,2/2,1)	72			
		0	-	0	0	0	-	0	1,5(-/1,5/1,5)	50			

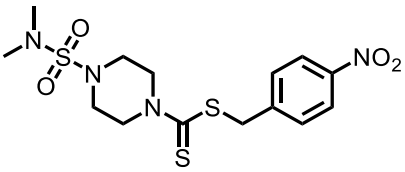
Strukturformel	Konzentration [μM]	Paare (von 10)	Paare angesaugt	σ angesaugt	♀ angesaugt	absolute Eizahl	Deformation [%]	Eizahl normiert [%]	WMS: \emptyset ($\text{♀}/\sigma/\text{♀}$)	WMS normiert [%]	Tegument-schäden	Darm-dilatation
 <p>Schl-32.330</p>		1	1	3	0	167	13	61	1,8(3/2/1,33)	60	$\sigma/48/(+)$	$\text{♀}/24/+++$
		0	-	0	0	0	-	0	1,4(-/1,4/1,4)	47		
		0	-	0	0	0	-	0	1,05(-/1/1,1)	35		
		2	2	6	0	187	8	68	2,05(3/2,5/1,13)	68		
 <p>Schl-32.330</p>	10	2	0	0	0	3	33	<1(0,9)	1,35(1/1,38/1,5)	45	$\text{♀}/24/++$	
		1	0	0	0	0	-	0	1,15(1/1,11/1,22)	38		
		3,7 \pm 2,2			189 \pm 13,3			71,7 \pm 8,0				
		0,7 \pm 0,7			32,3 \pm 30,8			54,7 \pm 8,7				
 <p>Schl-32.330</p>	10	0,3 \pm 0,3			0,0 \pm 0,0			41,0 \pm 4,6				
		9	0	1	0	164	6	99	2,8(2,78/3/3)	93	$\text{♀}/48/+$	
		0	-	7	1	257	6	47	2,2(-/2,1/2,3)	73		
		0	-	4	1	4	25	1	2(-/1,8/2,2)	67		
		9	9	1	1	313	14	108	3(3/3/3)	100	$\sigma/72/(+)$	$\text{♀}/48/++$
		0	-	9	0	30	20	10	1,35(-/1,7/1)	45		
		0	-	0	2	0	-	0	1,1(-/1,2/1,1)	37		
		9	9	1	1	228	10	83	2,85(2,89/3/2)	95	$\text{♀}/48/++$	
		1	1	8	5	251	4	74	2,45(3/2,56/2,22)	82		
		0	-	2	2	32	6	14	1,6(-/1,8/1,4)	53		
9	8	1	1	337	7	122	2,9(2,89/3/3)	97	$\text{♀}/72/+$	$\text{♀}/48/++$		
1	0	8	2	201	5	59	2,15(2/2,78/1,56)	72				
0	-	0	0	3	33	1	1,5(-/1,6/1,4)	50				
9,0 \pm 0,0			260,5 \pm 40,0			96,3 \pm 1,5						
0,5 \pm 0,3			184,8 \pm 53,1			68,0 \pm 8,0						
0,0 \pm 0,0			9,8 \pm 7,5			51,8 \pm 6,2						
	7,5	10	9	-	-	172	6	104	2,8(2,8/-/-)	93	$\text{♀}/72/(+)$	
		5	4	4	0	243	7	44	2,45(2,2/2,4/3)	82		
		0	-	3	2	82	13	25	2,45(-/2,1/2,8)	82		

Strukturformel	Konzentration [μM]	Paare (von 10)	Paare angesaugt	♂ angesaugt	♀ angesaugt	absolute Eizahl	Deformation [%]	Eizahl normiert [%]	WMS: \emptyset (♀/♂/♀)	WMS normiert [%]	Tegument-schäden	Darm-dilatation	
 <p>Schl-32.330</p>		10	9	-	-	270	9	98	2,9(2,9/-/-)	97		♂/72/+	
		7	6	3	2	280	7	82	2,75(2,71/3/2,67)	92			
		5	4	4	3	145	22	63	2,5(2,6/2,2/2,6)	83			
		10	9	-	-	313	5	113	2,9(2,9/-/-)	97		♀/72/+	
4	4	5	0	171	15	50	2,7(3/2,83/2,17)	90					
1	0	2	0	28	14	12	2,2(2/2/2,44)	73					
		10,0 ± 0,0				251,7 ± 41,7		95,7 ± 1,3					
		5,3 ± 0,9				231,3 ± 32,0		88,0 ± 3,1					
		2,0 ± 1,5				85,0 ± 33,8		79,3 ± 3,2					
 <p>Schl-32.330</p>	5	9	9	1	1	270	9	93	3(3/3/3)	100			
		7	7	3	3	333	14	111	2,95(3/2,67/3)	98			
		2	1	6	6	197	13	65	2,85(3/2,75/2,88)	95			
	5	9	9	1	1	159	8	96	2,85(2,89/2/3)	95			
		8	8	2	2	286	6	52	2,7(2,75/2/3)	90			
		6	4	3	3	428	10	130	2,55(2,33/2,75/3)	85			
	2,5	10	10	-	-	150	7	91	2,9(2,9/-/-)	97			
		10	9	-	-	330	7	60	2,8(2,8/-/-)	93			
		9	7	1	1	354	9	107	2,852,89/2/3)	95			
	1	10	9	-	-	188	8	114	2,9(2,9/-/-)	97			
		10	9	-	-	349	6	64	2,9(2,9/-/-)	97			
		10	10	-	-	403	6	122	2,9(2,9/-/-)	97			
 <p>Schl-32.329</p>	20	4	0	0	0	99	10	60	2,5(2,5/2,5/2,5)	83			
		0	-	0	0	0	-	0	1,6(-/1,6/1,6)	53	♀/48/+++		
		0	-	0	0	21	19	6	1,35(-/1,4/1,3)	45			
	17,5	8	0	0	0	117	6	71	2,5(2,5/2/3)	83			
		2	0	0	0	0	-	0	1,65(2/1,38/1,75)	55	♀/48/++		
		1	0	0	0	65	12	20	1,2(2/0,89/1,33)	40			

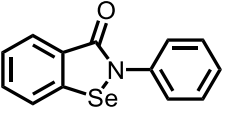
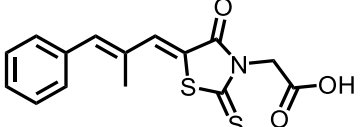
Strukturformel	Konzentration [μM]	Paare (von 10)	Paare angesaugt	σ angesaugt	♀ angesaugt	absolute Eizahl	Deformation [%]	Eizahl normiert [%]	WMS: \emptyset ($\text{♀}/\sigma/\text{♀}$)	WMS normiert [%]	Tegument-schäden	Darm-dilatation	
 <p>Schi-32.329</p>	15	8	0	0	0	71	14	43	2,6(2,63/2/3)	87			
		2	0	0	0	0	-	0	1,45(2/1,5/1,63)	48	$\sigma/48/+$	$\text{♀}/72/+$	
		2	0	0	0	0	54	9	16	1,25(1/1,13/1,5)	42		
		6	1	1	0	0	56	5	21	1,4(1,33/1,5/1,5)	47		
		1	0	0	0	0	25	12	7	0,85(1/0,78/0,89)	28	$\text{♀}/48/++$	$\text{♀}/48/++$
		0	-	0	0	0	-	0	0,8(-/0,6/1)	27			
		2	0	0	0	223	7	81	1,35(1/1,5/1,38)	45			
		0	-	0	0	12	17	4	1,05(-/1,1/1)	35	$\text{♀}/48/++$	$\text{♀}/24/++$	
		0	-	0	0	5	20	2	0,9(-/0,8/1)	30			
		5,3 \pm 1,8				116,7 \pm 53,3			59,7 \pm 13,7				
		1,0 \pm 0,6				12,3 \pm 7,2			37,0 \pm 5,9				
		0,7 \pm 0,7				19,7 \pm 17,2			33,0 \pm 4,6				
 <p>Schi-32.329</p>	12,5	6	0	0	0	161	10	98	2,6(2,67/2/3)	87			
		2	0	0	0	0	24	8	4	1,7(1,5/1,75/1,75)	57	$\text{♀}/48/+$	$\text{♀}/48/+$
		1	0	0	0	0	1	0	<1(0,3)	1,25(2/1,11/1,22)	42		
		5	0	0	0	0	123	5	45	1,8(2/1,6/1,6)	60		
		0	-	0	0	0	4	25	1	0,95(-/1/0,9)	32	$\text{♀}/48/++$	$\text{♀}/48/+$
		0	-	0	0	1	100	<1(0,4)	0,9(-/0,8/1)	30			
		3	0	0	0	60	12	22	2,05(2/2,5/2)	68			
		0	-	0	0	56	5	17	1,2(-/1,2/1,2)	40	$\text{♀}/48/++$	$\text{♀}/24/+$	
		0	-	0	0	3	100	1	0,95(-/0,9/1)	32			
		4,7 \pm 0,9				114,7 \pm 29,5			71,7 \pm 8,0				
		0,7 \pm 0,7				28,0 \pm 15,1			43,0 \pm 7,4				
		0,3 \pm 0,3				1,7 \pm 0,7			34,7 \pm 3,7				
	10	10	1	-	-	60	12	36	2,5(2,5/-/-)	83			
		10	0	-	-	140	10	26	2(2/-/-)	67		$\text{♀}/72/(+)$	
		8	0	0	0	105	22	32	2,4(2,38/2/3)	80			

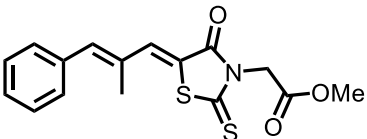
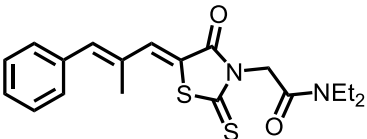
Strukturformel	Konzentration [μM]					absolute Eizahl	Deformation [%]	Eizahl normiert [%]	WMS: \emptyset ($\sigma/\sigma/\sigma$)	WMS normiert [%]	Tegument-schäden	Darm-dilatation
		Paare (von 10)	Paare angesaugt	σ angesaugt	σ angesaugt							
 <p>Schl-32.329</p>		10	6	-	-	72	6	55	2,6(2,6/-/-)	87		
		8	3	0	0	190	19	42	2,3(2,38/2/2)	77	$\sigma/24/+$	
		6	4	0	0	144	16	26	2,05(2,5/1,25/1,5)	68		
		8	2	2	2	115	4	42	2,25(2,25/2/2,5)	75		
		1	0	0	0	54	6	16	1,2(1/1,22/1,22)	40	$\sigma/72/+$	$\sigma/48/+$
		0	-	0	0	0	-	0	1,2(-/1,2/1,2)	40		
		8	0	0	0	57	11	21	2,05(2/2,5/2)	68		
		3	0	0	0	15	0	4	1,35(1,33/1,43/1,29)	45	$\sigma/48/+$	$\sigma/48/++$
		1	0	0	0	15	13	7	1,2(1/1,33/1,11)	40		
			9,0 \pm 0,6			76,0 \pm 13,4			78,3 \pm 4,2			
		5,5 \pm 2,1			99,8 \pm 39,8			57,3 \pm 8,8				
		3,8 \pm 1,9			66,0 \pm 34,8			57,0 \pm 10,1				
 <p>Schl-32.329</p>	7,5	9	5	0	1	77	10	47	2,55(2,56/2/3)	85		
		9	3	1	0	175	12	32	2,4(2,33/3/3)	80		
		9	3	0	0	229	15	69	2,65(2,67/2/3)	88		
	5	10	6	-	-	140	4	85	2,7(2,7/-/-)	90		
		10	7	-	-	232	7	42	2,7(2,7/-/-)	90		
		10	4	-	-	209	20	63	2,7(2,7/-/-)	90		
	2,5	10	10	-	-	67	5	41	2,9(2,9/-/-)	97		
		9	7	1	0	338	4	62	2,8(2,78/3/3)	93		
		9	7	0	0	347	11	105	2,65(2,67/2/3)	88		
	1	7	7	3	3	80	5	48	3(3/3/3)	100		
		7	7	3	3	344	9	63	3(3/3/3)	100		
		7	5	2	3	261	12	79	2,65(2,71/2/3)	88		

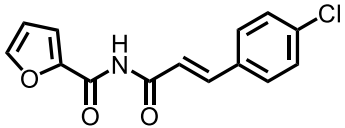
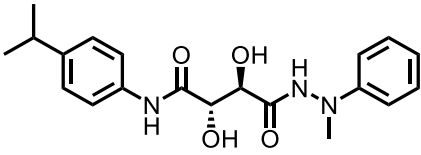
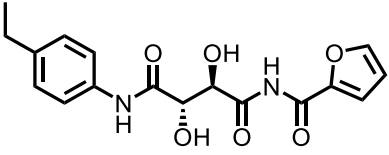
Strukturformel	Konzentration [μM]	Paare (von 10)	Paare angesaugt	♂ angesaugt	♀ angesaugt	absolute Eizahl	Deformation [%]	Eizahl normiert [%]	WMS: \emptyset (♀/♂/♀)	WMS normiert [%]	Tegument-schäden	Darm-dilatation
 SchI-32.361	25	5	1	1	0	238	10	115	2,3(2,2/1,8/3)	77		
		0	-	0	0	23	30	6	1,4(-/1,4/1,4)	47	♀/48/++	♀/24/++
SchI-32.361	22,5	8	3	2	2	144	26	70	2,5(2,38/3/3)	83		
		0	-	2	0	8	13	2	1,8(-/1,6/2)	60	♂/48/(+)	♀/48/++
SchI-32.361	20	9	6	0	1	244	21	118	2,65(2,67/2/3)	88		
		1	0	2	0	61	21	15	1,75(2/1,33/2,11)	58	♀/48/+	♀/48/++
SchI-32.361	20	10	8	-	-	300	13	109	2,7(2,7/-/-)	90		
		9	5	1	1	305	4	89	2,7(2,78/2/2)	90	♂/48/+	♀/72/(+)
SchI-32.361	20	5	0	1	0	124	5	54	2(2,2/1,6/2)	67		
		10	9	-	-	452	10	164	2,9(2,9/-/-)	97		
SchI-32.361	20	9	5	0	0	389	7	114	2,45(2,56/1/2)	82	♂/72/(+)	♀/72/+
		3	3	2	0	91	11	40	1,6(1,67/1,57/1,57)	53		
SchI-32.361	17,5	10	10	-	-	289	11	140	3(3/-/-)	100		
		9	9	1	0	369	11	93	2,85(2,89/3/2)	95		♀/48/++
SchI-32.361	17,5	4	4	2	0	114	7	47	2,1(2,25/2,33/1,67)	70		
		9	7	0	0	243	9	88	2,75(2,78/2/3)	92		
SchI-32.361	17,5	5	5	3	1	165	8	49	2,25(2,2/2,2/2,4)	75	♂/48/+	♀/72/(+)
		4	3	1	3	81	12	35	2,1(2,25/1,57/2,17)	70		
			9,7 ± 0,3			332,0 ± 62,1			91,7 ± 2,7			
			6,3 ± 2,7			251,7 ± 98,4			76,7 ± 9,6			
			2,7 ± 1,5			72,3 ± 36,4			53,3 ± 7,8			

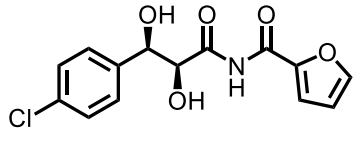
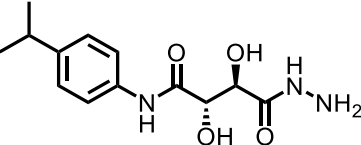
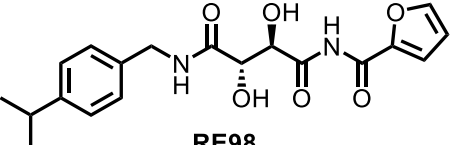
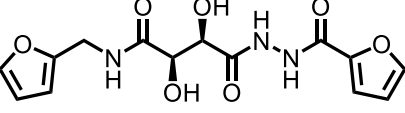
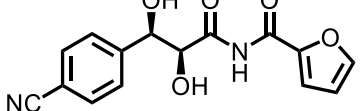
Strukturformel	Konzentration [μM]	Paare (von 10)	Paare angesaugt	σ^7 angesaugt	σ^8 angesaugt	absolute Eizahl	Deformation [%]	Eizahl normiert [%]	WMS: \emptyset ($\sigma^7/\sigma^8/\sigma^9$)	WMS normiert [%]	Tegument-schäden	Darm-dilatation
		10	9	-	-	356	7	129	2,9(2,9/-/-)	97		$\sigma^7/72/(+)$
		6	6	3	1	267	6	79	2,55(2,67/2,25/2,5)	85		
		3	3	2	1	150	16	65	2(2,67/1,57/1,86)	67		
		9,7 \pm 0,3			296,0 \pm 32,8			96,3 \pm 2,3				
6,7 \pm 1,2			267,0 \pm 58,9			85,0 \pm 5,8						
3,7 \pm 0,3			115,0 \pm 19,9			69,0 \pm 1,0						
 <p>Schl-32.361</p>	15	8	8	1	0	172	7	105	2,85(2,88/2,5/3)	95		
		9	8	1	1	316	5	78	2,85(2,89/2/3)	95		
		9	6	1	0	136	10	50	2,75(2,78/2/3)	92		
	12,5	10	9	-	-	91	8	56	2,9(2,9/-/-)	97		
		9	8	0	0	184	15	46	2,85(2,89/2/3)	95		
		9	7	0	0	150	11	55	2,85(2,89/2/3)	95		
	10	7	6	3	3	184	7	112	2,95(3/2,67/3)	98		
		8	8	1	2	372	7	92	2,9(3/2/3)	97		
		7	7	2	3	255	11	94	2,8(2,86/2,33/3)	93		
	10	10	9	-	-	328	12	99	2,8(2,8/-/-)	93		
		10	10	-	-	346	13	106	2,9(2,9/-/-)	97		
		9	9	1	1	407	22	135	2,9(2,89/3/3)	97		
	7,5	9	9	1	1	212	8	129	3(3/3/3)	100		
		8	8	1	2	309	9	77	2,85(2,89/2/3)	95		
		7	4	3	1	122	23	45	2,7(2,57/3/3)	90		

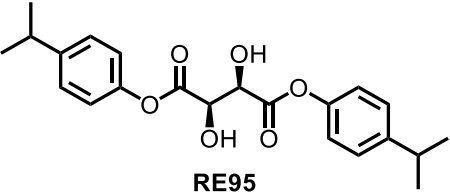
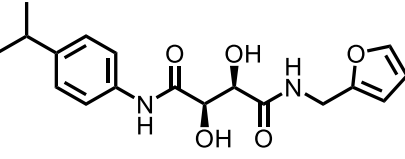
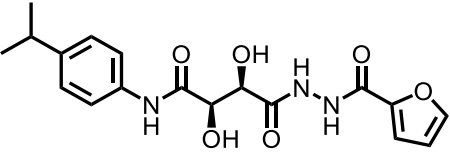
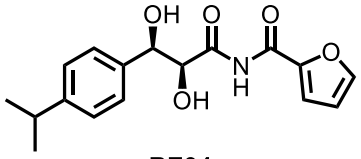
weitere Testungen

Strukturformel	Konzentration [μM]	Paare (von 10)	Paare angesaugt	σ angesaugt	♀ angesaugt	absolute Eizahl	Deformation [%]	Eizahl normiert [%]	WMS: \emptyset ($\text{♀}/\sigma/\text{♀}$)	WMS normiert [%]	Tegument-schäden	Darm-dilatation	
 <p>Ebselen</p>	100	0	-	0	0	0	0	0	1(-/1/1)	33			
		0	-	0	0	0	0	0	0	1(-/1/1)	33	$\text{♀}/24/+++$	
		0	-	0	0	0	0	0	0	0,4(-/0,6/0,2)	13		
	50	2	0	0	0	0	5	0	2	1,4(2/1,5/1)	47		
		1	0	0	0	0	0	0	0	1,3(2/1,44/1)	43	$\text{♀}/72/+++$	$\text{♀}/48/(+)$
		0	-	0	0	0	0	0	0	0,95(-/1,0/0,9)	32		
	25	7	7	3	3	3	143	13	49	3(3/3/3)	100		
		7	7	3	3	3	193	21	65	3(3/3/3)	100		
		7	6	3	3	3	179	16	59	2,85(2,86/2,67/3)	95		
	10	9	9	1	1	1	137	21	47	3(3/3/3)	100		
		8	9	1	1	1	118	12	39	3(3/3/3)	100		
		9	9	1	1	1	494	12	162	3(3/3/3)	100		
 <p>EPH3</p>	100	10	10	-	-	128	9	120	2,8(2,8/-/-)	93			
		10	10	-	-	401	11	125	2,9(2,9/-/-)	97			
		10	9	-	-	661	12	202	2,9(2,9/-/-)	97			
	50	8	8	2	2	2	222	14	207	2,9(2,88/3/3)	97		
		9	9	1	1	1	500	15	156	2,85(2,89/2/3)	95		
		10	7	-	-	-	799	15	244	2,9(2,9/-/-)	97		
	25	10	10	-	-	-	91	15	85	2,9(2,9/-/-)	97		
		10	9	-	-	-	450	16	141	2,9(2,9/-/-)	97		
		10	9	-	-	-	620	9	190	2,9(2,9/-/-)	97		
	10	10	10	-	-	-	171	12	160	2,9(2,9/-/-)	97		
		10	10	-	-	-	522	10	163	2,9(2,9/-/-)	97		
		10	10	-	-	-	523	10	160	2,9(2,9/-/-)	97		

Strukturformel	Konzentration [μM]	Paare (von 10)	Paare angesaugt	σ angesaugt	♀ angesaugt	absolute Eizahl	Deformation [%]	Eizahl normiert [%]	WMS: \emptyset ($\text{♀}/\sigma/\text{♀}$)	WMS normiert [%]	Tegument-schäden	Darm-dilatation
 <p>EPH5</p>	100	5	0	0	0	5	40	3	1,75(1,33/1,4/2,4)	58		$\text{♀}/72/(+)$
		3	0	0	0	6	17	2	2,1(2,33/1,71/2,29)	70		
		3	0	0	0	0	-	0	1,8(2/1,71/1,71)	60		
	50	8	0	0	0	12	8	7	2,35(2,38/2,5/2)	78		
		7	0	0	0	2	0	<1(0,6)	2,05(2/2,33/2)	68		
		5	0	0	0	1	100	<1(0,5)	2,2(2/2,4/2,4)	73		
	25	10	10	-	-	120	25	66	2,9(2,9/-/-)	97		
		10	9	-	-	370	12	103	2,9(2,9/-/-)	97		
		10	9	-	-	520	17	252	2,9(2,9/-/-)	97		
 <p>EPH4</p>	100	3	0	0	0	1	0	<1(0,5)	1,2(1,33/1,14/1,14)	40		$\sigma/72/(+)$
		1	0	0	0	1	0	<1(0,3)	1(1/1/1)	33	$\text{♀}/24/+++$	
		2	0	0	0	0	-	0	1(1/1/1)	33		
	50	2	0	0	0	77	18	43	1,3(1,5/1,25/1,25)	43		
		0	-	0	0	2	0	<1(0,6)	1,1(-/1/1,2)	37	$\text{♀}/24/++$	$\sigma/48/++$
		0	-	0	0	0	-	0	1,2(-/1,2/1,2)	40		
	25	9	9	1	1	279	16	154	2,9(2,89/3/3)	97		
		5	0	2	0	103	25	29	1,7(2/1,4/1,4)	57	$\text{♀}/48/++$	$\text{♀}/48/+$
		2	0	0	0	7	57	4	1,5(2/1,38/1,38)	50		
	10	10	9	-	-	305	19	111	2,9(2,9/-/-)	97		
		10	10	-	-	657	17	129	3(3/-/-)	100		
		10	10	-	-	313	12	62	3(3/-/-)	100		

Strukturformel	Konzentration [μM]	Paare (von 10)	Paare angesaugt	σ^7 angesaugt	σ^8 angesaugt	absolute Eizahl	Deformation [%]	Eizahl normiert [%]	WMS: \emptyset ($\sigma^7/\sigma^8/\sigma^9$)	WMS normiert [%]	Tegument-schäden	Darm-dilatation
 <p>RE003</p>	100	7	3	3	3	7	0	2	2,8(2,71/3/3)	93		
		6	5	4	0	11	0	3	3(3/3/3)	100		
		4	2	4	0	44	68	11	2,65(2,75/2,33/2,83)	88		
	50	10	10	-	-	131	16	45	2,8(2,8/-/-)	93		
		9	9	0	0	193	14	46	3(3/3/3)	100		
		8	8	2	0	114	24	30	2,7(2,63/3/3)	90		
	25	10	10	-	-	127	15	43	3(3/-/-)	100		
		8	8	0	2	330	10	78	3(3/3/3)	100		
		8	7	1	1	200	15	52	2,9(3/2,5/2,5)	97		
	10	10	10	-	-	128	17	44	3(3/-/-)	100		
		10	9	-	-	374	7	88	3(3/-/-)	100		
		9	7	1	1	216	13	56	2,9(2,89/3/3)	97		
 <p>RE116</p>	25	10	10	-	-	83	6	62	3(3/-/-)	100		
		9	8	1	1	179	10	54	3(3/3/3)	100		
		9	7	1	1	207	19	55	2,85(2,89/2/3)	95		
 <p>RE117</p>	25	8	8	2	2	70	6	52	3(3/3/3)	100		
		8	7	1	1	189	10	58	2,9(2,88/3/3)	97		
		8	7	1	2	196	12	52	2,7(2,75/2/3)	90		

Strukturformel	Konzentration [μM]	Paare (von 10)	Paare angesaugt	σ^7 angesaugt	σ^8 angesaugt	absolute Eizahl	Deformation [%]	Eizahl normiert [%]	WMS: \emptyset ($\sigma^7/\sigma^8/\sigma^9$)	WMS normiert [%]	Tegument-schäden	Darm-dilatation
 RE24	25	9 9 9	9 9 9	1 1 1	0 1 1	118 251 306	12 6 15	88 77 81	3(3/3/3) 2,85(2,89/3/2) 2,85(2,89/3/2)	100 95 95		
 RE127	25	9 8 9	9 8 9	1 2 1	0 2 0	119 183 293	6 10 15	89 56 78	3(3/3/3) 3(3/3/3) 2,9(2,89/3/3)	100 100 97		
 RE98	25	10 10 10	10 9 9	- - -	- - -	139 373 402	9 9 16	104 114 106	3(3/-/-) 2,8(2,8/-/-) 2,8(2,8/-/-)	100 93 93		
 RE74	25	10 10 10	10 9 9	- - -	- - -	420 667 594	9 8 6	313 204 157	3(3/-/-) 2,8(2,8/-/-) 2,9(2,9/-/-)	100 93 97		
 RE36	25	9 9 9	8 9 9	1 1 1	0 1 1	124 300 413	15 10 10	93 92 109	2,9(2,8/3/3) 2,8(2,78/3/3) 2,85(2,89/2/3)	97 93 95		

Strukturformel	Konzentration [μM]	Paare (von 10)	Paare angesaugt	♂ angesaugt	♀ angesaugt	absolute Eizahl	Deformation [%]	Eizahl normiert [%]	WMS: \emptyset (♀/♂/♀)	WMS normiert [%]	Tegument-schäden	Darm-dilatation
 <p>RE95</p>	25	10 10 8	10 9 4	- - 1	- - 1	404 821 168	10 14 38	302 251 44	3(-/-) 2,8(2,8/-/-) 2,8(2,88/2/3)	100 93 93		
 <p>RE73</p>	25	8 9 7	8 7 6	2 1 2	2 1 2	173 323 212	11 10 15	129 99 56	3(3/3/3) 2,8(2,78/3/3) 2,85(3/2,33/2,67)	100 93 95		
 <p>RE70</p>	25	9 10 10	9 10 10	1 - -	0 - -	116 320 466	10 12 12	87 98 123	3(3/3/3) 2,8(2,8/-/-) 2,8(2,8/-/-)	100 93 93		
 <p>RE34</p>	25	10 10 10	9 7 9	- - -	- - -	125 260 157	12 8 14	93 80 42	3(3/-/-) 2,9(2,9/-/-) 2,8(2,8/-/-)	100 97 93		

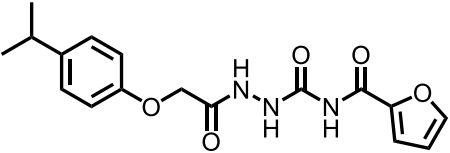
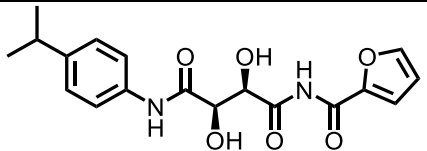
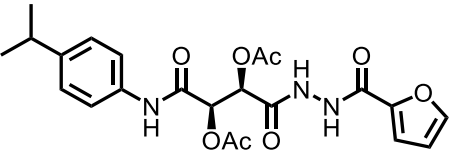
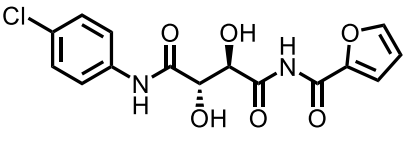
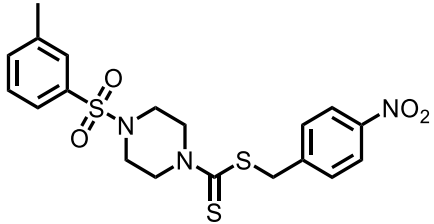
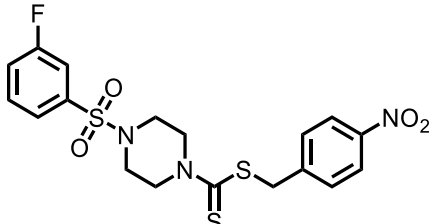
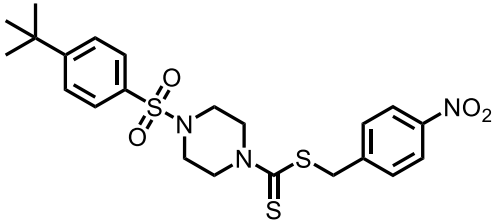
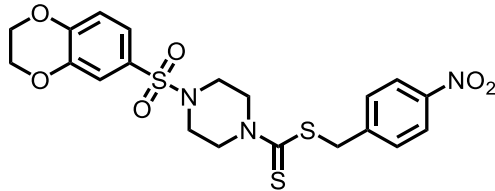
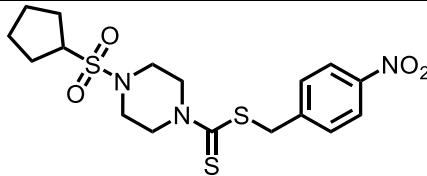
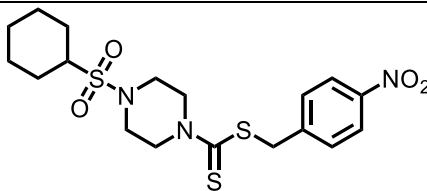
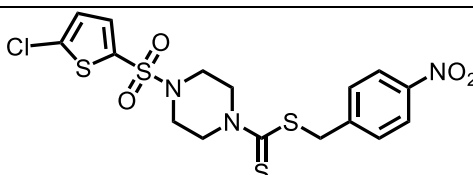
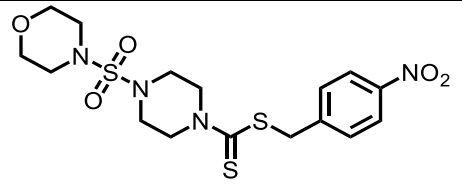
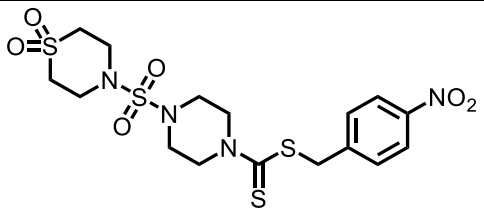
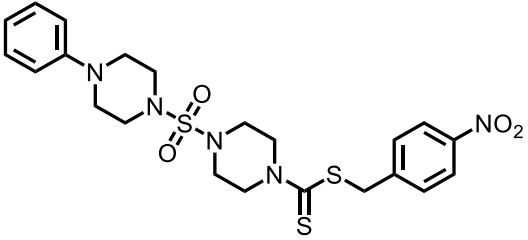
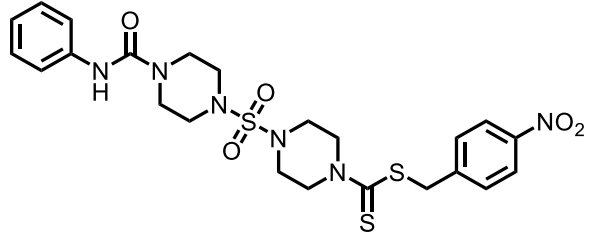
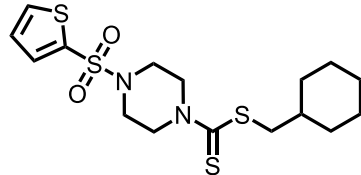
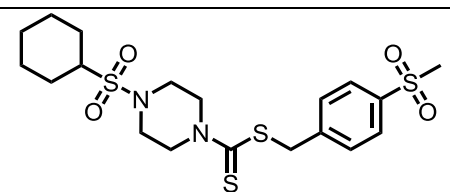
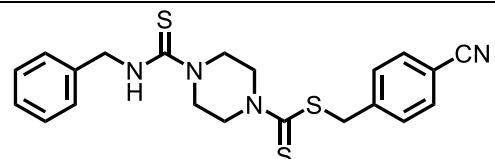
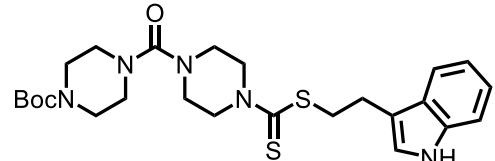
Strukturformel	Konzentration [μM]	Paare (von 10)	Paare angesaugt	σ^7 angesaugt	σ^8 angesaugt	absolute Eizahl	Deformation [%]	Eizahl normiert [%]	WMS: ϕ ($\sigma^7/\sigma^8/\sigma^9$)	WMS normiert [%]	Tegument-schäden	Darm-dilatation
 <p>NL20</p>	25	9 8 8	9 8 8	1 2 2	0 2 0	111 289 265	10 9 9	83 88 70	3(3/3/3) 2,9(2,88/3/3) 2,9(2,88/3/3)	100 97 97		
 <p>RE51</p>	25	9 8 8	9 8 8	0 1 1	0 2 2	84 316 264	7 7 14	63 97 70	2,7(2,78/1/3) 2,4(2,63/1,5/3) 2,7(2,75/2/3)	90 80 90		
 <p>RE65</p>	25	8 9 9	8 9 9	2 1 1	2 1 0	103 254 302	9 10 13	77 78 80	2,95(3/3/2,5) 2,9(2,89/3/3) 2,9(2,89/3/3)	98 97 97		
 <p>RE123</p>	25	10 10 10	9 10 10	- - -	- - -	123 289 306	10 6 9	92 88 81	2,9(2,9/-/-) 3(3/-/-) 2,8(2,8/-/-)	97 100 93		

Tabelle II: Langzeit-Testung

Strukturformel	96 h		120 h	
	WMS: $\bar{\varnothing}$ ($\sigma^2/\sigma/\varphi$)	WMS normiert [%]	WMS: $\bar{\varnothing}$ ($\sigma^2/\sigma/\varphi$)	WMS normiert [%]
 <p>Schl-33.048</p>	0,6(-/0,8/0,4)	20	0,4(-/0,8/0)	13
 <p>Schl-33.058</p>	0,35(-/0,4/0,3)	12	0,2(-/0,3/0,1)	7
 <p>Schl-33.081</p>	0,3(-/0,1/0,5)	10	0,3(-/0,3/0,3)	10

Strukturformel	96 h		120 h	
	WMS: \emptyset (♀/♂/♀)	WMS normiert [%]	WMS: \emptyset (♀/♂/♀)	WMS normiert [%]
 <p>Schl-33.353</p>	0,65(-/0,7/0,6)	22	0,3(-/0,2/0,4)	10
 <p>Schl-33.600</p>	0,15(-/0,2/0,1)	5	0,1(-/0,2/0)	3
 <p>Schl-33.071</p>	0,35(-/0,3/0,4)	12	0,25(-/0,4/0,1)	8
 <p>Schl-33.593</p>	0,7(-/0,7/0,7)	23	0,7(-/0,7/0,7)	23

Strukturformel	96 h		120 h	
	WMS: \emptyset (♀/♂/♀)	WMS normiert [%]	WMS: \emptyset (♀/♂/♀)	WMS normiert [%]
 <p>Schl-33.292</p>	0,65(1/0,6/0,5)	22	0,3(-/0,1/0,5)	10
 <p>Schl-33.779</p>	0,35(-/0,3/0,4)	12	0,25(-/0,3/0,2)	8
 <p>Schl-33.438</p>	1,35(1,8/1/0,8)	45	0,15(-/0/0,3)	5
 <p>Schl-33.757</p>	0,3 (-/0,3/0,3)	10	0,25(-/0,2/0,3)	8

Strukturformel	96 h		120 h	
	WMS: \emptyset (♀/♂/♀)	WMS normiert [%]	WMS: \emptyset (♀/♂/♀)	WMS normiert [%]
 Schl-33.536	0,7(-/0,9/0,5)	23	0,55(-/0,8/0,3)	18
 Schl-33.635	0,6(-/0,6/0,6)	20	0,3(-/0,5/0,1)	10
 Schl-33.567	0,85(1/1/0,67)	28	0,75(1/0,89/0,56)	25
 Schl-33.691	0,55(-/0,6/0,5)	18	0,4(-/0,4/0,4)	13

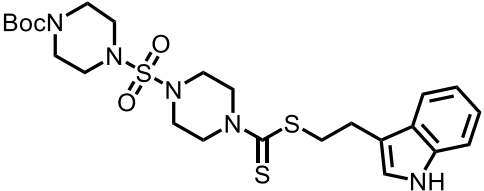
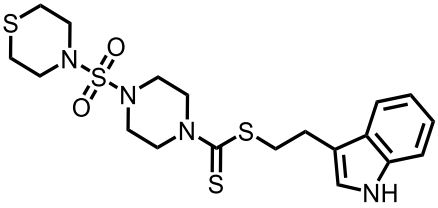
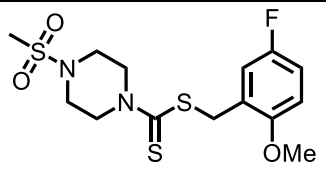
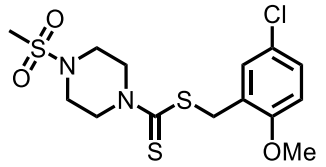
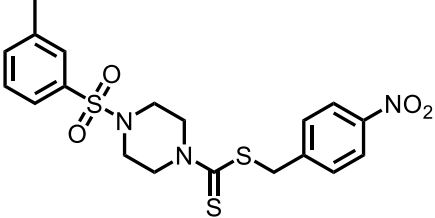
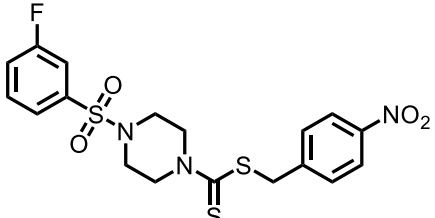
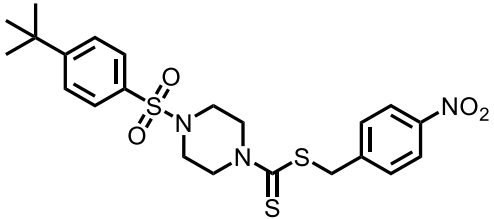
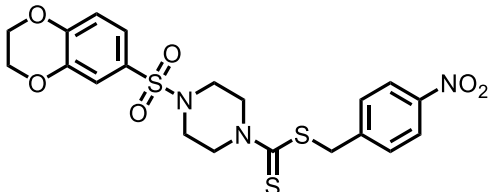
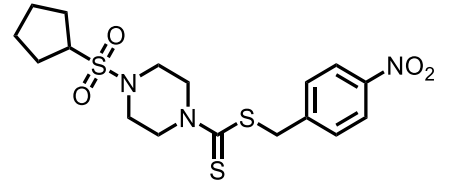
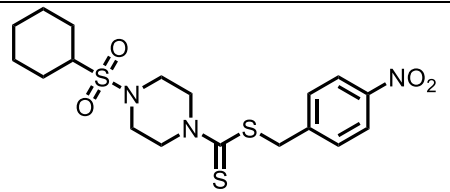
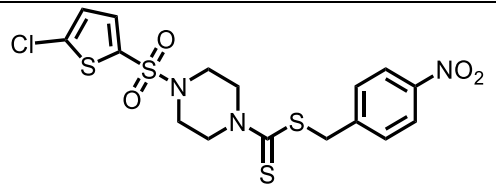
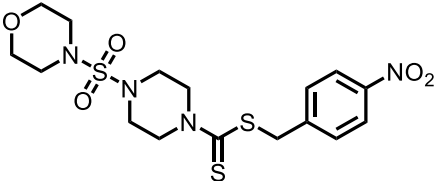
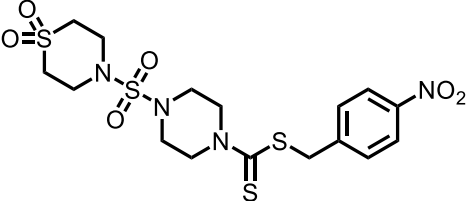
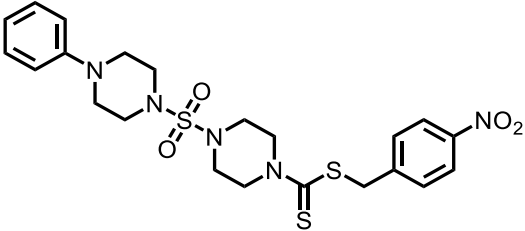
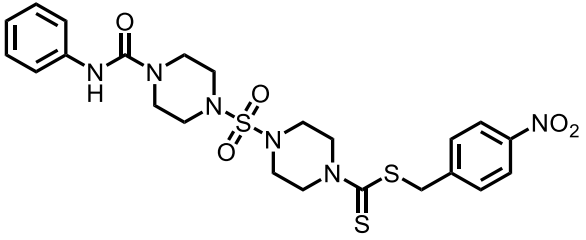
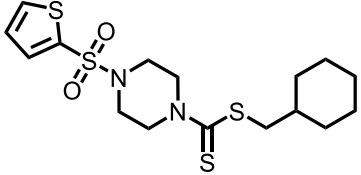
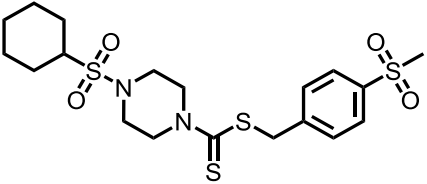
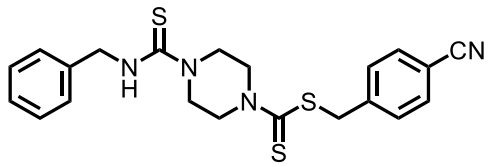
Strukturformel	96 h		120 h	
	WMS: \emptyset (\varnothing / σ / \varnothing)	WMS normiert [%]	WMS: \emptyset (\varnothing / σ / \varnothing)	WMS normiert [%]
 <p>Schl-33.692</p>	0,25(-/0,2/0,3)	8	0,15(-/0,1/0,2)	5
 <p>Schl-33.678</p>	0,45(-/0,4/0,5)	15	0,4(-/0,4/0,4)	13
 <p>Schl-33.656</p>	0,6(-/0,6/0,6)	20	0,35(-/0,1/0,6)	12
 <p>Schl-33.706</p>	0,2(-/0,2/0,2)	7	0,2(-/0,2/0,2)	7

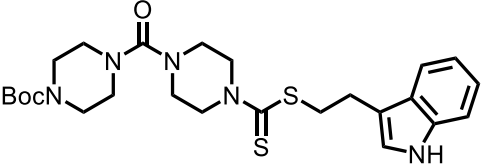
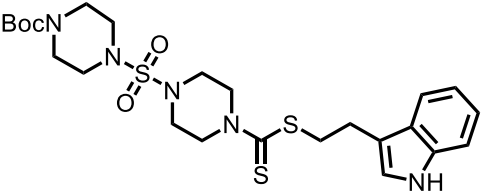
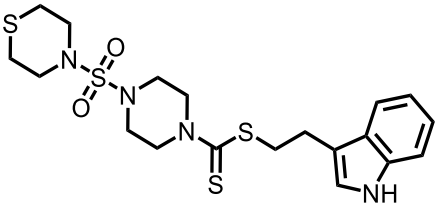
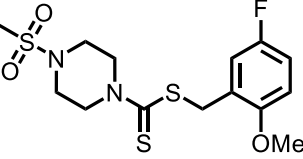
Tabelle III: Inhibitor-Auswaschung

Strukturformel	Konzentration [μM]	Paare (von 10)	Paare angesaugt	σ angesaugt	♀ angesaugt	absolute Eizahl	Deformation [%]	Eizahl normiert [%]	WMS: \emptyset ($\text{♀}/\sigma/\text{♀}$)	WMS normiert [%]	Tegument-schäden	Darm-dilatation
 <p>Schl-33.048</p>	10	10 10 10	10 9 9	- - -	- - -	423 274 374	6 7 5	153 81 163	2,9(2,9/-/-) 2,8(2,8/-/-) 2,9(2,9/-/-)	97 93 97		
 <p>Schl-33.058</p>	10	8 6 6	7 5 4	2 3 3	0 1 1	218 155 282	6 7 6	79 46 123	2,8(2,88/3/2) 2,7(2,83/2,75/2,25) 2,35(2,5/2,75/1,5)	93 90 78		
 <p>Schl-33.081</p>	10	5 2 2	4 2 2	0 1 0	0 2 1	18 2 0	11 0 -	7 <1(0,6) 0	1,4(1,4/1,6/1,2) 1,7(2,5/1,25/1,75) 1,7(2/1,63/1,63)	47 57 57	$\sigma/48/(+)$	$\text{♀}/72/(+)$

Strukturformel	Konzentration [μM]	Paare (von 10)	Paare angesaugt	σ^7 angesaugt	Q angesaugt	absolute Eizahl	Deformation [%]	Eizahl normiert [%]	WMS: \emptyset ($\text{Q}^7/\sigma^7/\text{Q}$)	WMS normiert [%]	Tegument-schäden	Darm-dilatation
 <p>Schl-33.353</p>	10	5 0 0	0 - -	0 0 1	0 0 0	361 4 2	7 0 0	131 1 <1(0,9)	1,55(1,6/1,4/1,6) 1,45(-/1,6/1,3) 1,35(-/1,4/1,3)	52 48 45	$\text{Q}^7/24/+$	
 <p>Schl-33.600</p>	10	2 1 0	2 0 -	5 7 7	0 0 1	53 0 0	4 - -	19 0 0	1,35(1,5/1,25/1,38) 1,7(1/2,11/1,22) 1,6(-/2/1,2)	45 57 53	$\text{Q}^7/24h/++$	
 <p>Schl-33.071</p>	10	1 2 0	1 2 -	4 1 2	0 2 1	57 11 4	7 28 50	21 3 2	1,45(2/1,44/1,33) 1,4(1,5/1,5/1,25) 1,45(-/1,4/1,5)	48 47 48	$\text{Q}^7/24/++$	
 <p>Schl-33.593</p>	10	9 7 6	8 6 6	1 3 4	0 3 4	245 194 247	10 12 8	89 57 107	2,8(2,89/2/2) 2,75(2,86/2,67/2,33) 2,55(2,5/3/2,25)	93 92 85		

Strukturformel	Konzentration [μM]	Paare (von 10)	Paare angesaugt	σ^7 angesaugt	Q angesaugt	absolute Eizahl	Deformation [%]	Eizahl normiert [%]	WMS: \emptyset ($\text{Q}^7/\sigma^7/\text{Q}$)	WMS normiert [%]	Tegument-schäden	Darm-dilatation
 <p>Schl-33.292</p>	10	10 8 8	8 6 8	- 2 2	- 1 2	144 48 222	10 29 9	52 14 97	2,6(2,6/-/-) 2,65(2,63/3/2,5) 2,85(2,88/3/2,5)	87 88 95		$\text{Q}^7/24/(+)$
 <p>Schl-33.779</p>	10	1 0 1	0 - 0	0 0 0	0 0 0	33 1 2	12 0 50	12 <1(0,3) <1(0,9)	1,2(1/1,22/1,22) 1,35(-/1,4/1,3) 1,3(1/1,33/1,33)	40 45 43	$\text{Q}^7/24/++$	$\text{Q}^7/24/++$
 <p>Schl-33.438</p>	10	10 10 9	9 8 9	- - 0	- - 1	170 236 408	10 4 4	62 69 177	2,9(2,9/-/-) 2,7(2,7/-/-) 2,9(3/1/3)	97 90 97		

Strukturformel	Konzentration [μM]	Paare (von 10)	Paare angesaugt	σ^7 angesaugt	σ^8 angesaugt	absolute Eizahl	Deformation [%]	Eizahl normiert [%]	WMS: ϕ ($\sigma^7/\sigma^8/\sigma^9$)	WMS normiert [%]	Tegument-schäden	Darm-dilatation
 <p>Schl-33.757</p>	10	9 4 5	2 3 5	0 3 3	0 3 3	52 73 90	8 21 22	19 22 39	2,25(2,22/3/2) 2,5(2,75/2,17/2,5) 2,55(2,8/2,4/2,6)	75 83 85		$\sigma^8/24/(+)$
 <p>Schl-33.536</p>	10	6 1 3	5 1 3	4 7 5	0 1 1	161 18 6	9 32 33	58 5 3	2,25(2,5/2,75/1) 2,3(3/2,56/1,67) 2,45(3/2,57/1,86)	75 77 82		$\sigma^8/24/+$
 <p>Schl-33.635</p>	10	2 3 2	1 3 2	0 4 3	0 6 6	15 75 76	13 19 24	5 22 33	2,3(2/2,25/2,5) 2,3(3/2,14/1,86) 2,05(2,5/1,75/2,13)	77 77 68		
 <p>Schl-33.567</p>	10	10 7 8	10 7 8	- 3 2	- 3 2	446 253 427	13 5 5	162 74 186	2,9(2,9/-/-) 2,9(3/3/2,33) 2,95(3/3/2,5)	97 97 98		$\sigma^8/24/(+)$

Strukturformel	Konzentration [μM]	Paare (von 10)	Paare angesaugt	σ^7 angesaugt	σ^8 angesaugt	absolute Eizahl	Deformation [%]	Eizahl normiert [%]	WMS: \emptyset ($\sigma^7/\sigma^8/\sigma^9$)	WMS normiert [%]	Tegument-schäden	Darm-dilatation
 <p>Schi-33.691</p>	10	8 8 7	5 6 7	2 1 3	0 1 1	24 7 56	4 0 16	9 2 24	2,35(2,38/3/1,5) 2,55(2,75/2,5/2) 2,9(3/3/2,33)	78 85 97		$\sigma^8/24/+$
 <p>Schi-33.692</p>	10	8 6 5	4 6 5	2 2 3	1 2 5	160 128 137	13 9 12	58 38 60	2,8(2,88/2,5/2,5) 2,35(3/1,5/2) 2,75(3/2,4/2,6)	93 78 92		
 <p>Schi-33.678</p>	10	5 2 2	2 2 2	0 4 4	0 2 4	28 19 53	11 37 28	10 6 23	2,15(2,2/1,8/2,4) 2,5(3/2,13/2,5) 2,25(2,5/2,25/2,13)	72 83 75		
 <p>Schi-33.656</p>	10	9 8 7	8 8 7	1 1 2	1 2 2	103 272 235	2 9 6	37 80 102	2,75(2,78/3/2) 2,7(2,88/2/2) 2,9(3/2,67/2,67)	92 90 97		

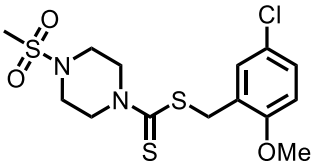
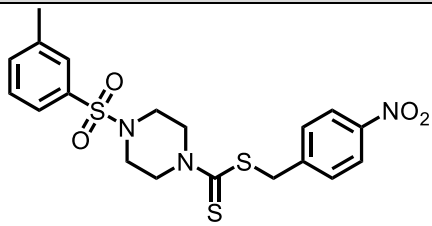
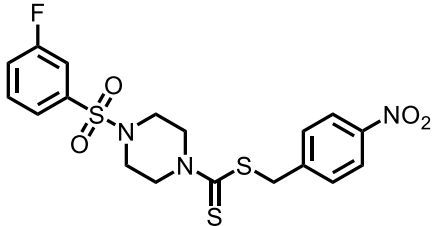
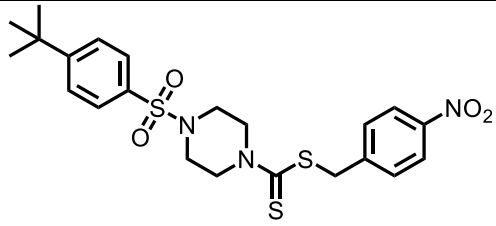
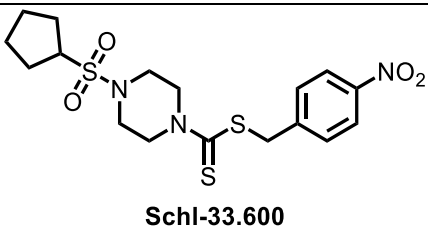
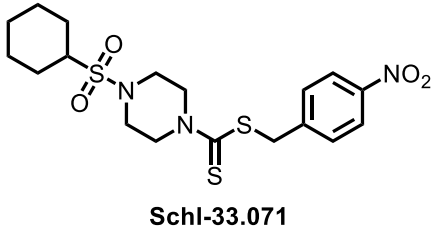
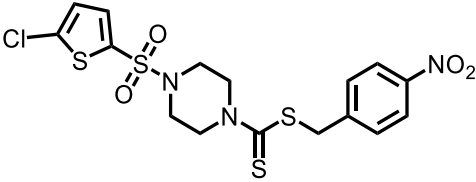
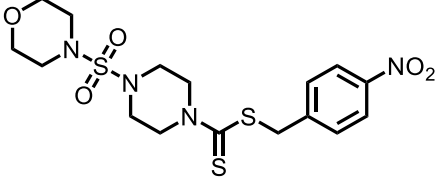
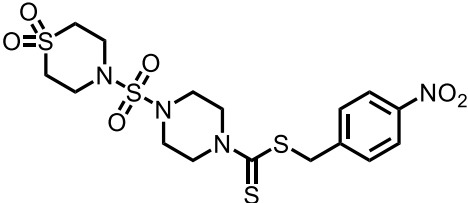
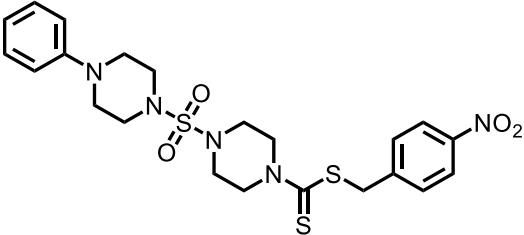
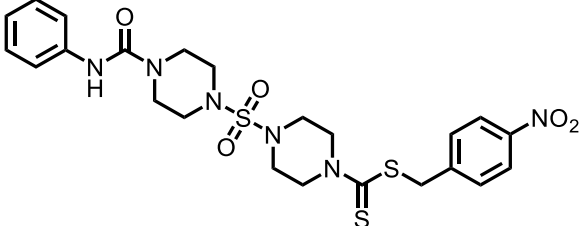
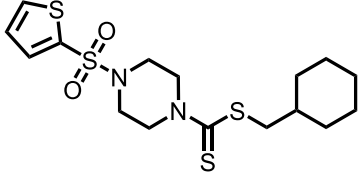
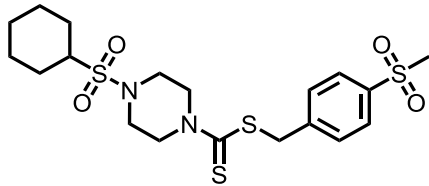
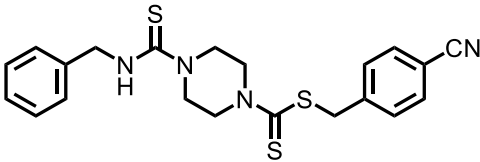
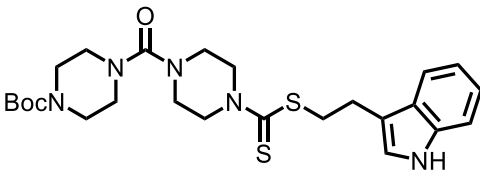
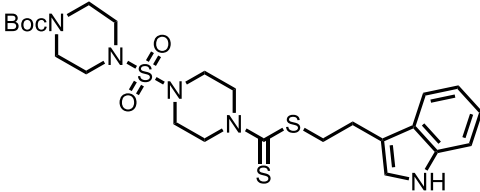
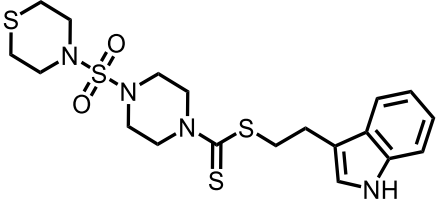
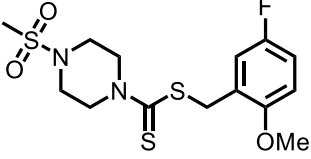
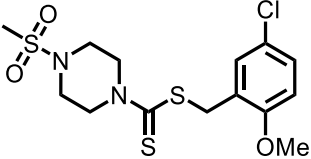
Strukturformel	Konzentration [μM]	Paare (von 10)	Paare angesaugt	σ angesaugt	♀ angesaugt	absolute Eizahl	Deformation [%]	Eizahl normiert [%]	WMS: \emptyset ($\text{♀}/\sigma/\text{♀}$)	WMS normiert [%]	Tegument-schäden	Darm-dilatation
 <p>Schl-33.706</p>	10	1 0 0	1 - -	7 6 7	0 0 0	127 0 0	17 - -	46 0 0	2,2(2/2,67/1,33) 1,7(-/2,1/1,3) 1,85(-/2/1,7)	73 57 62		$\text{♂}/24/++$

Tabelle IV: Schistosomula-Testung

Strukturformel	Konzentration [μM]	\emptyset Score
 <p>Schl-33.048</p>	5	3
 <p>Schl-33.058</p>	5	2
	1	3
 <p>Schl-33.081</p>	1	3
 <p>Schl-33.353</p>	5	2
	1	3
 <p>Schl-33.600</p>	5	2
 <p>Schl-33.071</p>	5	2
	1	3

Strukturformel	Konzentration [μM]	\emptyset Score
 <p style="text-align: center;">Schl-33.593</p>	1	3
 <p style="text-align: center;">Schl-33.292</p>	5	3
 <p style="text-align: center;">Schl-33.779</p>	5	3
 <p style="text-align: center;">Schl-33.438</p>	5	3
 <p style="text-align: center;">Schl-33.757</p>	5	3
 <p style="text-align: center;">Schl-33.536</p>	5	3

Strukturformel	Konzentration [μM]	\emptyset Score
 <p>Schl-33.635</p>	5	3
 <p>Schl-33.567</p>	5	3
 <p>Schl-33.691</p>	5	3
 <p>Schl-33.692</p>	5	2
	1	3
 <p>Schl-33.678</p>	5	2
 <p>Schl-33.656</p>	5	3
 <p>Schl-33.706</p>	1	3

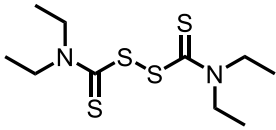
Strukturformel	Konzentration [μM]	\emptyset Score
 <p data-bbox="533 383 662 412">Disulfiram</p>	1	1

Tabelle V: Zytotoxizitätsmessungen

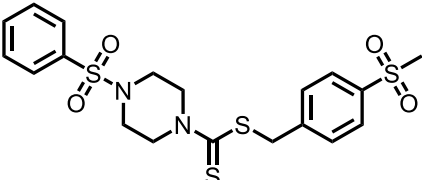
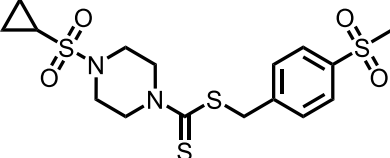
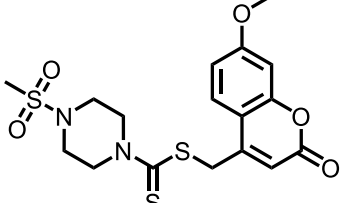
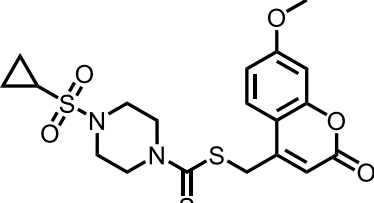
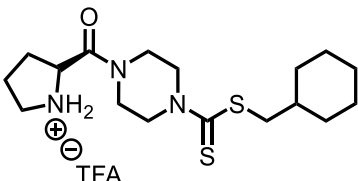
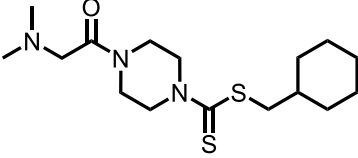
Erläuterungen zur Tabelle der Ergebnisse der Zytotoxizitätsmessungen

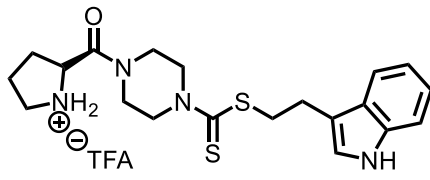
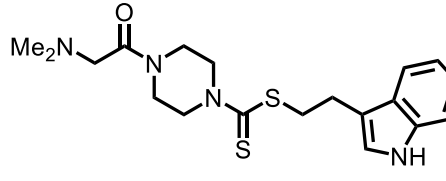
Zytotoxizitätsmessungen wurden in Kooperation mit Prof. GRÜNWELLER der PHILIPPS-Universität Marburg durchgeführt. Hierzu wurden zunächst HepG2 (Leber)- und LS174T (Darm)-Zellen (7500 Zellen/well) in einer transparenten 96 well-Platte der Firma GREINER BIO-ONE GmbH (Frickhausen, Deutschland) ausgesät und mit 200 µL IMDM (*Iscove's Modified Dulbecco's Medium*) und 10% FCS (*fetal calf serum*) für 24 h bei 37°C und 5% CO₂ inkubiert. Sodann wurde das Medium erneuert und die Zellen mit den in DMSO gelösten Testsubstanzen (50 µM und 100 µM) versetzt. DMSO selbst diente als Referenzsubstanz. Am Ende der Behandlung wurde das Medium abgenommen und die Zellen vorsichtig mit PBS (*phosphate-buffered saline*) gewaschen. Die Zellansätzen wurden schließlich mit 110 µL eines 10%igen WST-1-Reagenzes (*Cell Proliferation Reagent*) der Firma ROCHE (Mannheim, Deutschland) in PBS überschichtet und für etwa 3 Stunden weiter inkubiert. Die Absorption der Proben wurde mittels eines *Tecan Safire II* (Crailsheim, Deutschland) bei 600 nm (Referenz) und bei 450 nm (Testsubstanzen) gemessen. Die Auswertung der Daten erfolgte mithilfe der Software xFluor II. Die Angaben zur Aktivität gegenüber *S. mansoni* beschränken sich auf deutliche Effekte, die im Allgemeinen mehr als einen der beobachteten Parameter betrafen.

Legende zur Tabelle der Zytotoxizitätsmessungen

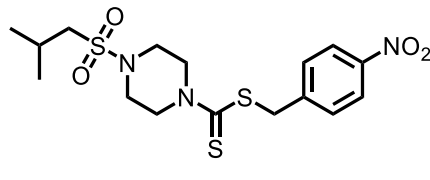
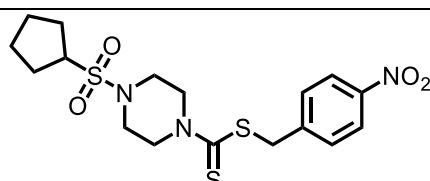
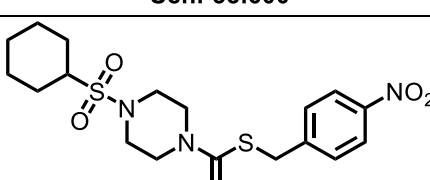
- ✘ - zytotoxisch bei der getesteten Konzentration
- ✘✘ - zytotoxisch bei 25 µM
- ✓ - nicht zytotoxisch bei der getesteten Konzentration
- n.t. - bei angegebener Konzentration nicht getestet

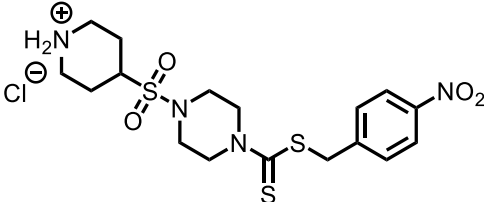
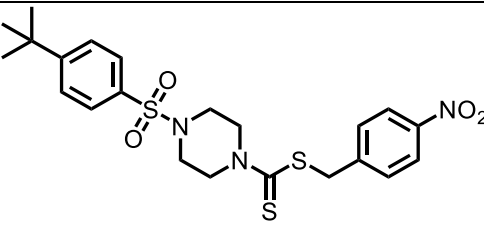
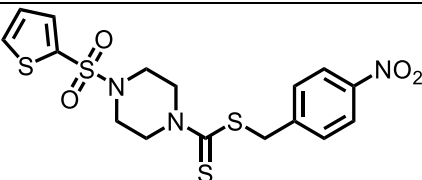
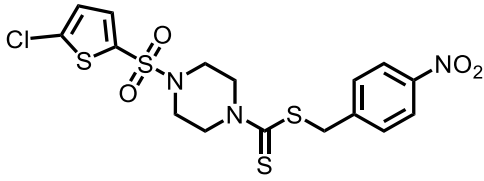
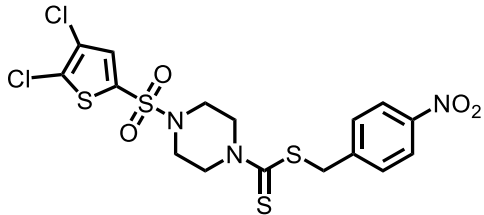
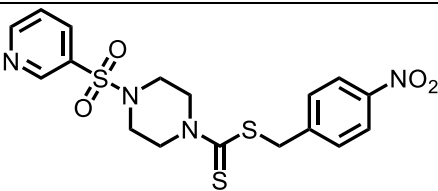
Zytotoxizität antischistosomal aktiver Verbindungen der Kombinationsserie I

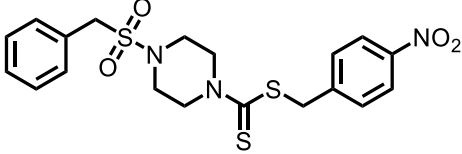
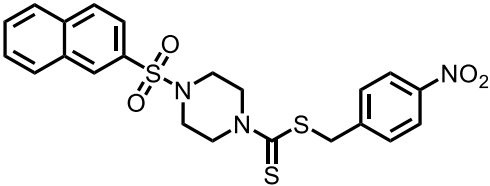
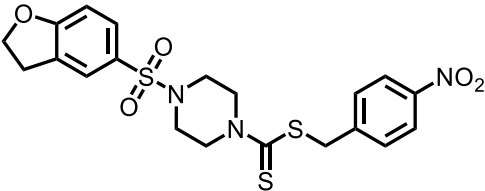
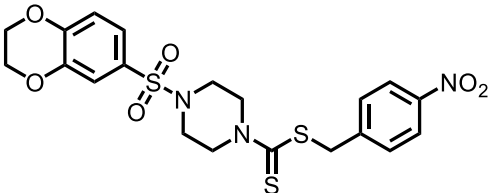
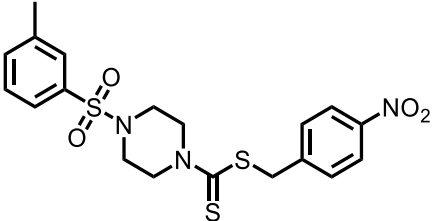
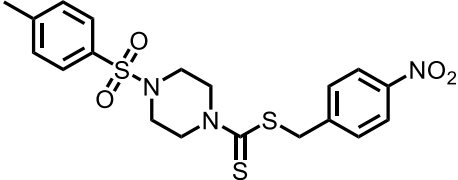
Strukturformel	HepG2		LS174T		Aktivität gegen <i>S. mansoni</i>
	[100 µM]	[50 µM]	[100 µM]	[50 µM]	
 <p>Schl-33.014</p>	x	x	✓	✓	≥ 10 µM
 <p>Schl-33.015</p>	x	x	✓	✓	≥ 10 µM
 <p>Schl-33.003</p>	x	n.t.	n.t.	n.t.	≥ 10 µM
 <p>Schl-33.023</p>	x	n.t.	n.t.	n.t.	≥ 10 µM
 <p>Schl-33.792</p>	x	x	x	x	≥ 5 µM
 <p>Schl-33.184</p>	x	x	x	x	≥ 10 µM

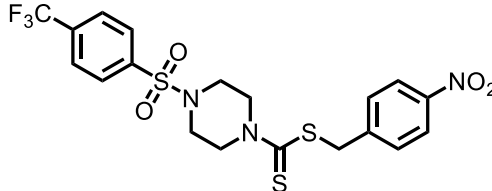
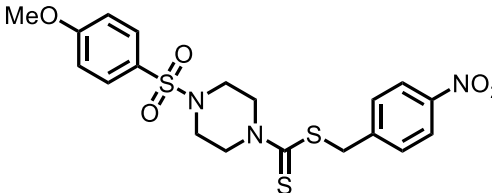
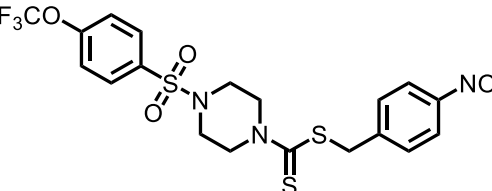
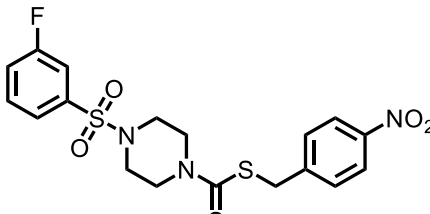
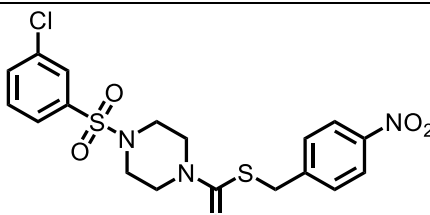
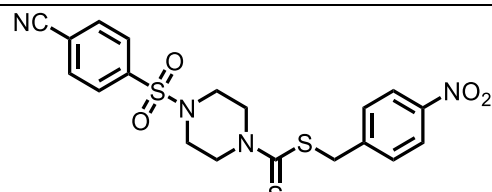
Strukturformel	HepG2		LS174T		Aktivität gegen <i>S. mansoni</i>
	[100 µM]	[50 µM]	[100 µM]	[50 µM]	
 <p>Schl-33.791</p>	x	x	x	x	≥ 4 µM
 <p>Schl-33.780</p>	x	x	x	✓	≥ 10 µM

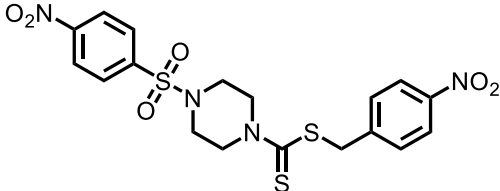
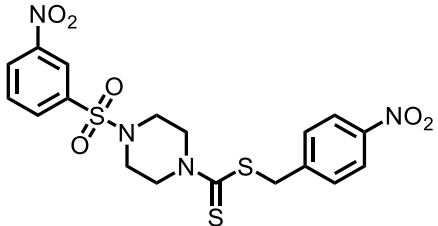
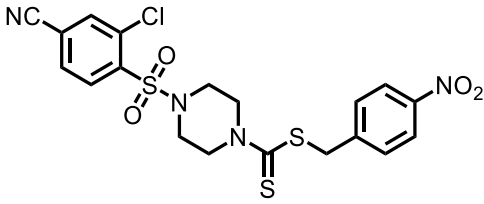
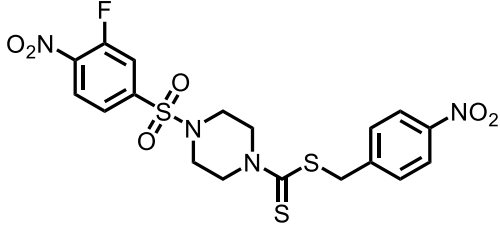
Zytotoxizität antischistosomal aktiver Sulfonamide

Strukturformel	HepG2		LS174T		Aktivität gegen <i>S. mansoni</i>
	[100 µM]	[50 µM]	[100 µM]	[50 µM]	
 <p>Schl-33.610</p>	x	✓	x	✓	≥ 10 µM
 <p>Schl-33.600</p>	✓	✓	n.t.	n.t.	≥ 10 µM
 <p>Schl-33.071</p>	✓	✓	n.t.	n.t.	≥ 3 µM

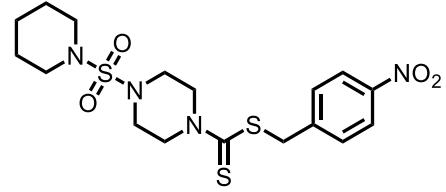
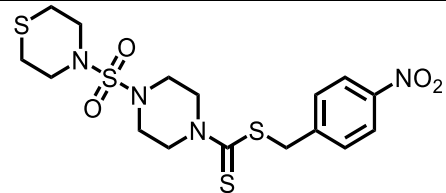
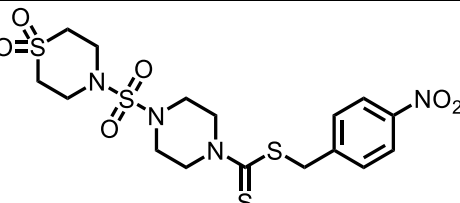
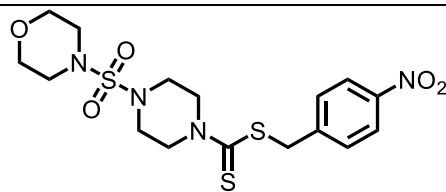
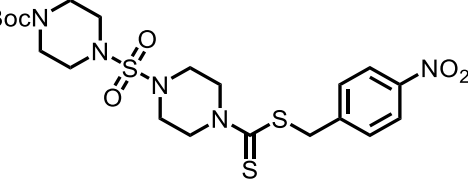
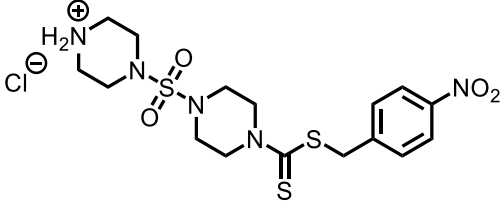
Strukturformel	HepG2		LS174T		Aktivität gegen <i>S. mansoni</i>
	[100 µM]	[50 µM]	[100 µM]	[50 µM]	
 <p>Schl-33.645</p>	x	x	x	x	≥ 10 µM
 <p>Schl-33.081</p>	✓	✓	n.t.	n.t.	≥ 5 µM
 <p>Schl-33.082</p>	x	✓	x	xx	≥ 5 µM
 <p>Schl-33.593</p>	✓	✓	n.t.	n.t.	≥ 10 µM
 <p>Schl-33.591</p>	x	✓	✓	✓	≥ 10 µM
 <p>Schl-33.084</p>	x	n.t.	n.t.	n.t.	≥ 10 µM

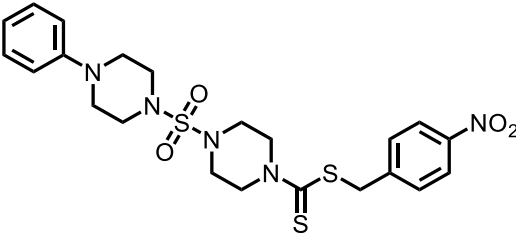
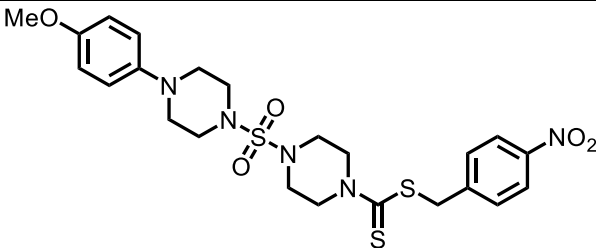
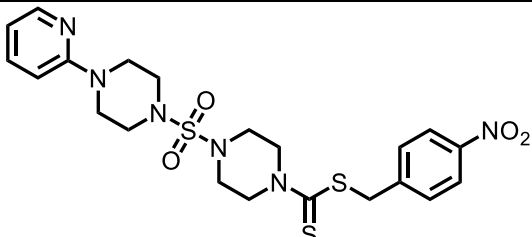
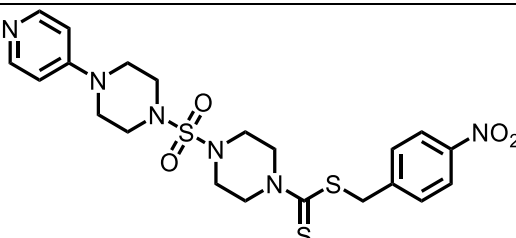
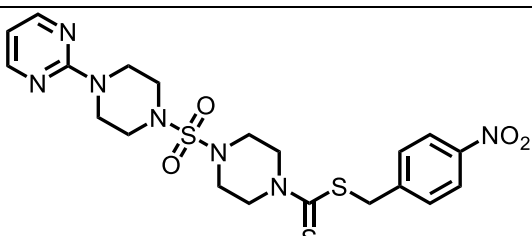
Strukturformel	HepG2		LS174T		Aktivität gegen <i>S. mansoni</i>
	[100 µM]	[50 µM]	[100 µM]	[50 µM]	
 Schl-33.491	x	x	x	✓	≥ 5 µM
 Schl-33.599	x	x	✓	✓	≥ 10 µM
 Schl-33.572	x	x	x	✓	≥ 10 µM
 Schl-33.353	✓	✓	n.t.	n.t.	≥ 10 µM
 Schl-33.048	✓	✓	✓	✓	≥ 10 µM
 Schl-33.053	x	n.t.	n.t.	n.t.	≥ 10 µM

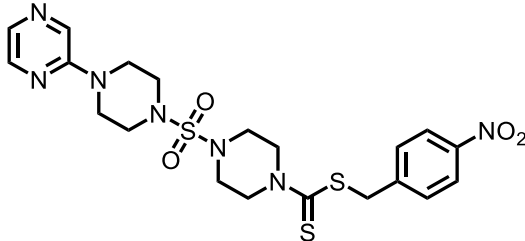
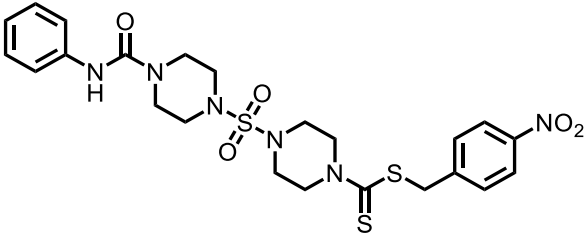
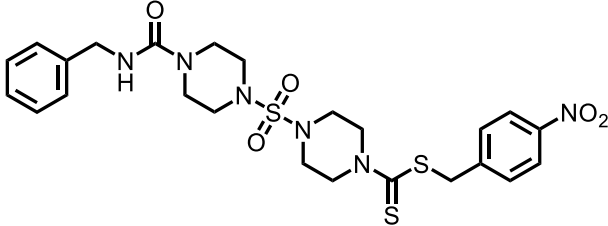
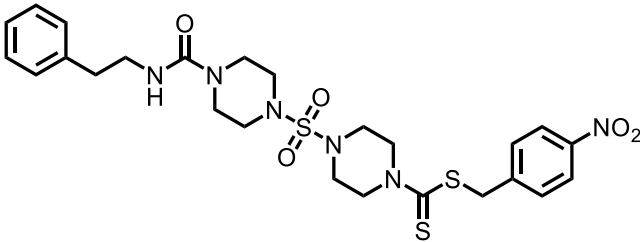
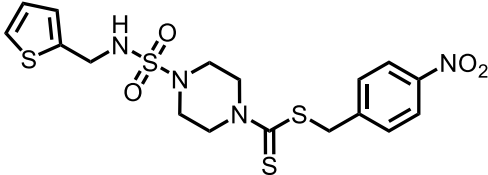
Strukturformel	HepG2		LS174T		Aktivität gegen <i>S. mansoni</i>
	[100 µM]	[50 µM]	[100 µM]	[50 µM]	
 <p>Schl-33.066</p>	×	n.t.	n.t.	n.t.	≥ 10 µM
 <p>Schl-33.056</p>	×	n.t.	n.t.	n.t.	≥ 10 µM
 <p>Schl-33.439</p>	×	✓	n.t.	n.t.	≥ 10 µM
 <p>Schl-33.058</p>	✓	✓	✓	✓	≥ 10 µM
 <p>Schl-33.064</p>	×	n.t.	n.t.	n.t.	≥ 10 µM
 <p>Schl-33.059</p>	×	n.t.	n.t.	n.t.	≥ 10 µM

Strukturformel	HepG2		LS174T		Aktivität gegen <i>S. mansoni</i>
	[100 µM]	[50 µM]	[100 µM]	[50 µM]	
 SchI-33.051	✗	n.t.	n.t.	n.t.	≥ 10 µM
 SchI-33.055	✓	✓	✓	✓	≥ 10 µM
 SchI-33.541	✗	✓	✓	✓	≥ 10 µM
 SchI-33.588	✗	✗	✗	✓	≥ 10 µM

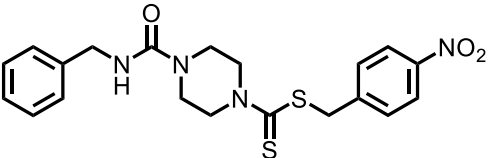
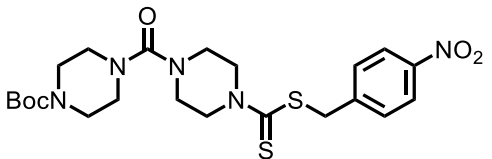
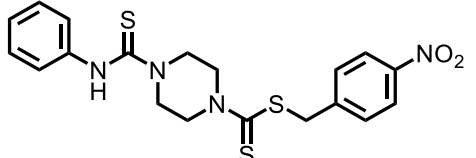
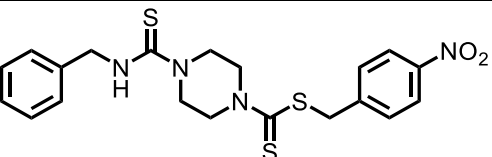
Zytotoxizität antischistosomal aktiver Schwefelsäurediamide

Strukturformel	HepG2		LS174T		Aktivität gegen <i>S. mansoni</i>
	[100 µM]	[50 µM]	[100 µM]	[50 µM]	
 <p>Schl-33.083</p>	✗	✓	n.t.	n.t.	≥ 10 µM
 <p>Schl-33.290</p>	✗	✗	n.t.	n.t.	≥ 10 µM
 <p>Schl-33.779</p>	✓	✓	n.t.	n.t.	≥ 5 µM
 <p>Schl-33.292</p>	✓	✓	n.t.	n.t.	≥ 10 µM
 <p>Schl-33.332</p>	✗	✗	n.t.	n.t.	≥ 5 µM
 <p>Schl-33.362</p>	✗	✗	n.t.	n.t.	≥ 10 µM

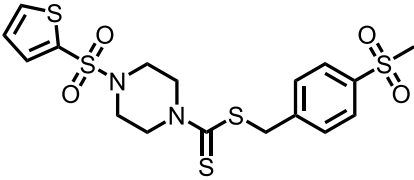
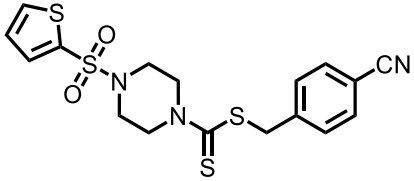
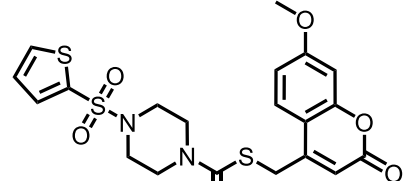
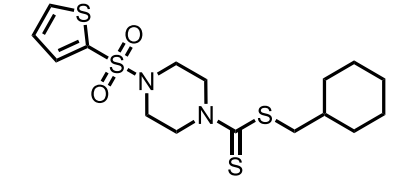
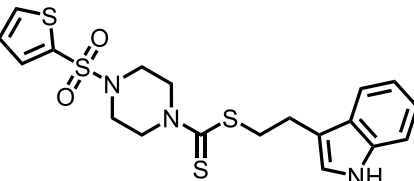
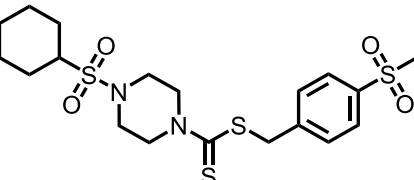
Strukturformel	HepG2		LS174T		Aktivität gegen <i>S. mansoni</i>
	[100 µM]	[50 µM]	[100 µM]	[50 µM]	
 <p>Schl-33.438</p>	✓	✓	✓	✓	≥ 10 µM
 <p>Schl-33.480</p>	✗	✓	✗	✗	≥ 10 µM
 <p>Schl-33.456</p>	✗	✗	✓	✓	≥ 10 µM
 <p>Schl-33.494</p>	✗	✗	✗	✗	≥ 10 µM
 <p>Schl-33.354</p>	✗	✓	✓	✓	≥ 4 µM

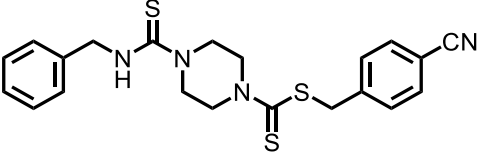
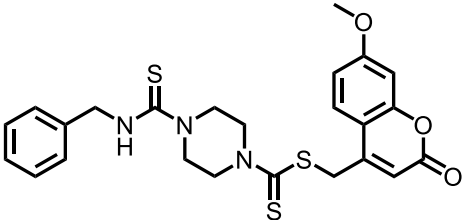
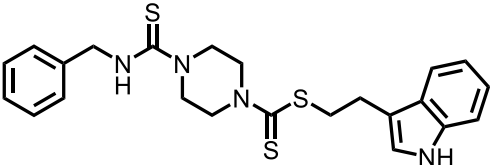
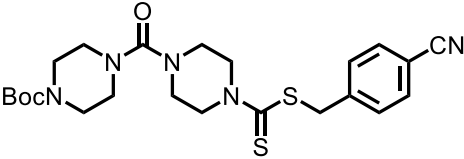
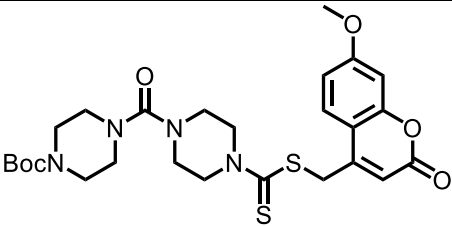
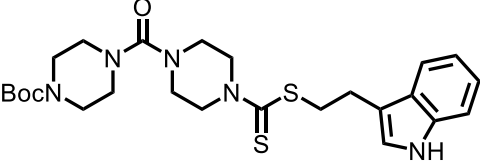
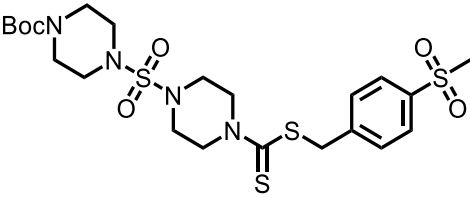
Strukturformel	HepG2		LS174T		Aktivität gegen <i>S. mansoni</i>
	[100 µM]	[50 µM]	[100 µM]	[50 µM]	
 <p>Schl-33.743</p>	x	x	n.t.	n.t.	≥ 10 µM
 <p>Schl-33.757</p>	✓	✓	n.t.	n.t.	≥ 10 µM
 <p>Schl-33.436</p>	x	✓	n.t.	n.t.	≥ 10 µM
 <p>Schl-33.506</p>	x	x	x	✓	≥ 5 µM
 <p>Schl-33.409</p>	x	x	n.t.	n.t.	≥ 10 µM

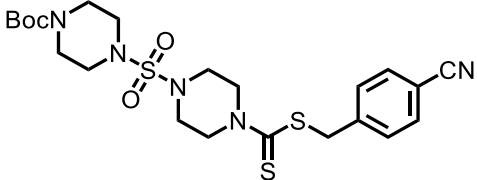
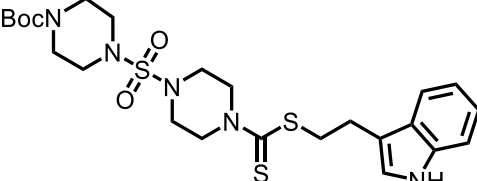
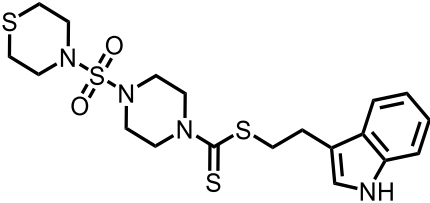
Zytotoxizität antischistosomal aktiver (Thio-)Harnstoffe

Strukturformel	HepG2		LS174T		Aktivität gegen <i>S. mansoni</i>
	[100 µM]	[50 µM]	[100 µM]	[50 µM]	
 Schl-33.205	x	n.t.	n.t.	n.t.	≥ 10 µM
 Schl-33.331	x	✓	n.t.	✓	≥ 4 µM
 Schl-33.193	x	✓	n.t.	n.t.	≥ 10 µM
 Schl-33.250	x	xx	n.t.	✓	≥ 10 µM

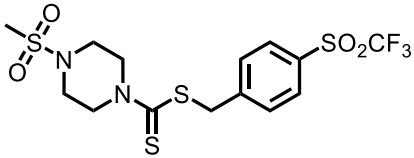
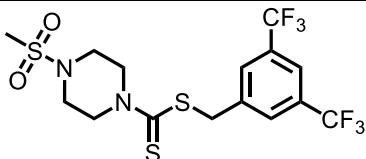
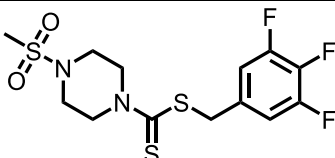
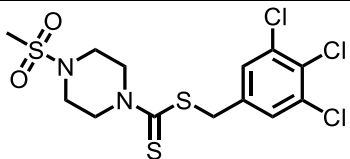
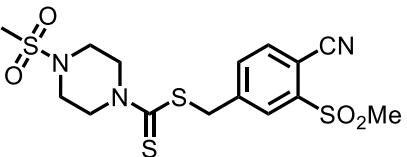
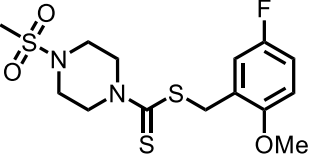
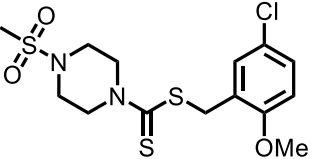
Zytotoxizität antischistosomal aktiver Verbindungen der Kombinationsserie II

Strukturformel	HepG2		LS174T		Aktivität gegen <i>S. mansoni</i>
	[100 µM]	[50 µM]	[100 µM]	[50 µM]	
 Schl-33.507	✗	✓	✓	✓	≥ 4 µM
 Schl-33.526	✗	✓	✗	✓	≥ 10 µM
 Schl-33.504	✗	✗	✓	✓	≥ 10 µM
 Schl-33.536	✓	✓	✗	✗	≥ 10 µM
 Schl-33.537	✗	✓	✗	✓	≥ 10 µM
 Schl-33.635	✓	✓	n.t.	n.t.	≥ 3 µM

Strukturformel	HepG2		LS174T		Aktivität gegen <i>S. mansoni</i>
	[100 µM]	[50 µM]	[100 µM]	[50 µM]	
 <p>Schl-33.567</p>	✓	✓	✗	✗	≥ 10 µM
 <p>Schl-33.579</p>	✗	✗	✗	✗	≥ 10 µM
 <p>Schl-33.568</p>	✗	✗	n.t.	n.t.	≥ 10 µM
 <p>Schl-33.589</p>	✗	✓	✓	✓	≥ 10 µM
 <p>Schl-33.614</p>	✗	✓	n.t.	n.t.	≥ 10 µM
 <p>Schl-33.691</p>	✓	✓	n.t.	n.t.	≥ 10 µM
 <p>Schl-33.617</p>	✗	✗	✗	✗	≥ 10 µM

Strukturformel	HepG2		LS174T		Aktivität gegen <i>S. mansoni</i>
	[100 µM]	[50 µM]	[100 µM]	[50 µM]	
 <p>Schl-33.605</p>	x	x	n.t.	n.t.	≥ 10 µM
 <p>Schl-33.692</p>	✓	✓	n.t.	n.t.	≥ 3 µM
 <p>Schl-33.678</p>	✓	✓	n.t.	n.t.	≥ 10 µM

Zytotoxizität antischistosomal aktiver Verbindungen zum Ersatz der Nitro-Gruppe

Strukturformel	HepG2		LS174T		Aktivität gegen <i>S. mansoni</i>
	[100 µM]	[50 µM]	[100 µM]	[50 µM]	
 SchI-33.518	✓	✓	n.t.	n.t.	≥ 10 µM
 SchI-33.509	✓	✓	✓	✓	≥ 5 µM
 SchI-33.510	✗	✓	n.t.	n.t.	≥ 5 µM
 SchI-33.670	✓	✓	n.t.	n.t.	≥ 10 µM
 SchI-33.690	✓	✓	n.t.	n.t.	≥ 10 µM
 SchI-33.656	✓	✓	n.t.	n.t.	≥ 10 µM
 SchI-33.706	✓	✓	n.t.	n.t.	≥ 10 µM

Veröffentlichungen

Die nachfolgend aufgeführten wissenschaftlichen Beiträge sind aus vorliegender Arbeit hervorgegangen.

Publikationen

- Mäder, P., **Rennar, G. A.**, Ventura, A. M. P., Grevelding, C. G. & Schlitzer, M.;
Chemotherapy for Fighting Schistosomiasis: Past, Present and Future;
ChemMedChem 13, 2374–2389 (2018); <https://doi.org/10.1002/cmdc.201800572>

Vorträge

- Dithiocarbamates - Fighting against Schistosomiasis
2nd Retreat of the LOEWE Centre DRUID, Schloss Rauischholzhausen, 25-26.11.2019
- Dithiocarbamates as potential Agents against Schistosomiasis
Drug Design & Development Seminar (DDDS) of the German Society for Parasitology (DGP) & the LOEWE Center DRUID, Gießen, 26-29.03.2019
- Synthesis and *in-vitro*-Testing of Dithiocarbamates as potential Agents against Schistosomiasis
1st Retreat of the LOEWE Centre DRUID, Schloss Rauischholzhausen, 26-27.11.2018

Poster

- Chemistry Against Infectious Diseases
- Phenotypic Screens and in silico Approaches -
DRUID Frühjahrssymposium, Frankfurt a. M., 03-04.02.2020
- Targeting Infectious Diseases
DRUID Frühjahrssymposium, Marburg, 18-19.02.2019
- Dithiocarbamate Derivatives as Novel Antischistosomal Agents
DPhG Jahrestagung / Annual meeting, Hamburg, 02-05.10.2018
- Synthesis and *in vitro* testing of Dithiocarbamates as Novel Anthelmintic Inhibitors against Schistosomiasis
28th Annual Meeting of the German Society for Parasitology, Berlin, 21-24.03.2018

Lebenslauf

Die Seite 593 enthält persönliche Daten. Sie ist deshalb nicht Bestandteil der Online-Veröffentlichung.

Die Seite 594 enthält persönliche Daten. Sie ist deshalb nicht Bestandteil der Online-Veröffentlichung.

Danksagung

Zum Schluss gilt es allen „Danke“ zu sagen, die mich während der Erstellung dieser Arbeit unterstützt und begleitet haben.

Mein größter Dank gilt meinem Doktorvater Herrn Prof. Dr. Martin Schlitzer für die interessante Themenstellung sowie die Möglichkeit in seinem Arbeitskreis meine Dissertation anfertigen zu dürfen. Neben der Betreuung und dem fachlichen Beistand sowie zahlreicher Diskussionen und damit verbundener Denkansätze, möchte ich mich vor allem auch für das entgegengebrachte Vertrauen und die Freiräume bei der Bearbeitung des Themas bedanken.

Weiterhin danke ich Herrn Prof. Dr. Christoph G. Grevelding für die hervorragende Kooperation im Rahmen von DRUID sowie die Übernahme des Zweitgutachtens. Außer der Möglichkeit, die *in-vitro*-Testungen an *S. mansoni* in seinem Arbeitskreis durchführen zu können, danke ich auch für seine freundliche Aufnahme.

Herrn Prof. Dr. Manfred Jung danke ich für die bereitwillige Übernahme des Drittgutachtens.

Herrn Prof. Dr. Carsten Culmsee und Herrn Prof. Dr. Arnold Grünweller danke ich für die Bereitschaft der Prüfungskommission anzugehören.

Dr. Kerstin Lange-Grünweller und Nina Schmidt danke ich für die Durchführung der Zytotoxizitätsmessungen.

Prof. Dr. Lundström-Stadelmann und Reto Rufener danke ich für die *in-vitro*-Testungen gegen den Parasiten *Echinococcus multilocularis*.

Dr. Simone Häberlein und Hicham Houhou danke ich für die Testungen am Leberegel *Fasciola hepatica*.

Prof. Dr. Min Hu und Xuesong Li danke ich für die Testung eines Teils meiner Verbindungen an *S. japonicum*.

Prof. Dr. Karl Hoffmann und Gilda Padalino danke ich für ein initiales Schistosomula-Screening von Fosmidomycin-Derivaten.

Dr. Thomas Spangenberg von der Firma MERCK KGaA danke ich für die weitere Profilierung ausgewählter Verbindungen.

Ein großer Dank geht außerdem an alle aktuellen und ehemaligen Kollegen in der Arbeitsgruppe Schlitzer für die Unterstützung im Laboralltag und das Miteinander. Insbesondere seien dabei vor allem die langjährigen Kollegen hervorgehoben: Eva M. Schäfer,

Dr. A. Lena Pfaff, Dr. Alejandra M. Peter Ventura, Tom L. Gallinger, Thi Lan Phuong Pham, Rolf E. Emmerich, Christin Wedra und Simone Müller. Als Teil der Gruppe gilt überdies ein besonderer Dank Frau Dr. Regina Ortmann und Herrn Reiner Müller für die zahlreichen Gespräche und fachlichen Hilfestellungen sowie wertvollen Anregungen im Labor. Ein ebenso großes Dankeschön gebührt meinen Auszubildenden Claudia Heerklotz und Luca Sardone für ihren Einsatz und die stets angenehme Arbeitsatmosphäre im Labor.

Der gesamten Arbeitsgruppe Grevelding danke ich für die herzliche Aufnahme in den Arbeitskreis. Ich habe mich immer sehr wohl bei Euch gefühlt. Besonders bei Dr. Simone Häberlein aber auch Dr. Thomas Quack möchte ich mich für die gute Einführung in die Welt der Schistosomen sowie die hilfreichen Ratschläge und stetige Diskussionsbereitschaft bedanken.

Auch meinen Vertiefungspraktikanten Sonja Engel, Corinna Arend, Henning Kutzner, Alexander Kraus, Mike Pohl, Florian Koch, Valerij Talagayev und ganz besonders Rolf E. Emmerich danke ich für ihren Beitrag zum Gelingen dieser Arbeit. Weiterhin danke ich allen meinen Schüler- und Wahlpflichtpraktikanten für ihre motivierte Mitarbeit.

Der Arbeitsgruppe Steinmetzer Danke ich für die Möglichkeit die analytische und präparative HPLC nutzen zu können. Insbesondere Benjamin Wenzel sei an dieser Stelle nochmals für den technischen Support gedankt.

Allen Mitarbeitern der analytischen Serviceabteilungen, ganz besonders Stefan Newel und Nina Zitzer danke ich für die stets schnelle Messung meiner zahlreichen Proben sowie der kompetenten Hilfe bei fachlichen Problemen.

Frau Spanknebel, Frau Buder, Frau Lins, Frau Schutte und in Besonderem Frau Lorek danke ich für die Unterstützung bei der Überwindung aller bürokratischen Hürden und Hilfestellung bei jedweden Angelegenheiten sowie der Ausführung der Chemikalienbestellungen.

Meinen Korrekturlesern sei an dieser Stelle ebenfalls nochmals herzlich gedankt.

Meiner Freundin Isabell Schencking danke ich für ihr immerwährendes Verständnis, wenn ich mal wieder wenig Zeit hatte. Danke, dass du immer für mich da bist. Du hast mir täglich die Kraft gegeben, um an diesen Punkt zu gelangen.

Zu guter Letzt danke ich meinen Eltern, ohne deren grenzenlose Unterstützung mein Studium sowie die vorliegende Arbeit nicht möglich gewesen wären.

Eidesstattliche-Erklärung

Ich versichere, dass ich meine Dissertation mit dem Titel

**„Antischistosomal-aktive Dithiocarbamat-Derivate
unter besonderer Berücksichtigung von Nitrogruppen-Bioisosteren
und der Schwefelsäurediamid-Teilstruktur
- Synthese und *in-vitro*-Testung -“**

selbständig ohne unerlaubte Hilfe angefertigt und mich dabei keiner anderen als der von mir ausdrücklich bezeichneten Quellen bedient habe. Alle vollständig oder sinngemäß übernommenen Zitate sind als solche gekennzeichnet.

Die Dissertation wurde in der jetzigen oder einer ähnlichen Form noch bei keiner anderen Hochschule eingereicht und hat noch keinen sonstigen Prüfungszwecken gedient.

Marburg, den

.....
(Georg Alexander Rennar)